



Problemas resueltos de Química Inorgánica

Juan M. Gutiérrez-Zorrilla
Beñat Artetxe

Departamento de Química Orgánica e Inorgánica. UPV/EHU
2024

Tema 1B. El núcleo**Problemas****RAZONAD TODAS LAS RESPUESTAS**

1.	Determine the number of protons, neutrons, and electrons in a $^{210}\text{Po}^{2+}$ ion. El número atómico del polonio es 84 , lo que significa que tienen 84 protones, puesto que presenta carga +2, posee $84-2 = 82$ electrones. El número de neutrones es A-Z; por lo tanto, $210-84 = 126$ neutrones.
2.	Classify the following sets of nuclides as examples of either isotopes, isobars, or isotones: (a) ^{12}C , ^{13}C , and ^{14}C (b) ^{40}Ar , ^{40}K , and ^{40}Ca (c) ^{14}C , ^{15}N , and ^{16}O (a) ^{12}C , ^{13}C , and ^{14}C isótopos (Z=6) (b) ^{40}Ar , ^{40}K , and ^{40}Ca isóbáros (A=40) (c) ^{14}C , ^{15}N , and ^{16}O isóttonos (A-Z=8)
3.	Predict the most likely modes of decay and the products of decay of the following nuclides: (a) ^{17}F (b) ^{105}Ag (c) ^{185}Ta (a) The atomic weight of fluorine is 18.998 u. Because the mass of a ^{17}F nuclide is smaller than the average fluorine atom, the ^{17}F nuclide must contain fewer neutron. It is therefore likely to be a neutron poor. Because it is a relatively light nuclide, ^{17}F might be expected to decay by positron emission: $^{17}_{\text{9}}\text{F} \rightarrow ^{17}_{\text{8}}\text{O} + \beta^+$ (b) The atomic weight of silver is 107.868 u. Because the mass of the ^{105}Ag nuclide is smaller than the average silver atom, this nuclide contains fewer neutrons than the stable isotopes of silver. Since ^{105}Ag is a relatively heavy neutron-poor nuclide, we expect it to decay by electron capture: $^{105}_{\text{47}}\text{Ag} + e^- \rightarrow ^{105}_{\text{46}}\text{Pd} + h\nu$ (c) The atomic weight of tantalum is 180.948 u. The ^{185}Ta isotope is therefore likely to be a neutron-rich isotope, which decays by electron emission: $^{185}_{\text{73}}\text{Ta} \rightarrow ^{185}_{\text{74}}\text{W} + \beta^-$
4.	Predict a likely mode of decay and the products of decay of the following unstable nuclides: (a) ^{109}Mo (b) ^{202}Fr (c) ^{196}Rn (d) ^{132}Sb (e) ^{27}P (f) ^{90}Ru
5.	Predict the products of the following nuclear reactions: (a) electron emission by ^{14}C (b) positron emission by ^8B (c) electron capture by ^{125}I (d) alpha emission by ^{210}Rn (e) gamma-ray emission by ^{56m}Ni (a) electron emission by ^{14}C $^{14}_{\text{6}}\text{C} \rightarrow ^{14}_{\text{7}}\text{N} + \beta^-$ (b) positron emission by ^8B $^8_{\text{5}}\text{B} \rightarrow ^8_{\text{4}}\text{Be} + \beta^+$ (c) electron capture by ^{125}I $^{125}_{\text{53}}\text{I} + e^- \rightarrow ^{125}_{\text{52}}\text{Te} + h\nu$ (d) alpha emission by ^{210}Rn $^{210}_{\text{86}}\text{Rn} \rightarrow ^{206}_{\text{84}}\text{Po} + ^4_2\text{He}$ (e) gamma-ray emission by ^{56m}Ni $^{56m}_{\text{28}}\text{Ni} \rightarrow ^{56}_{\text{28}}\text{Ni} + \gamma$
6.	Calculate the binding energy of ^{235}U if the mass of this nuclide is 235.043 9301(19) u https://physics.nist.gov/cgi-bin/Compositions/stand_alone.pl?ele=&all=all 1. A neutral ^{235}U atom contains 92 protons, 92 electrons, and 143 neutrons. The predicted

	<p>mass of a ^{235}U atom is therefore 236.9601 u, to four significant figures: $[92(1.0072764666) \text{ u}] + [92(0.0005485799) \text{ u}] + [143(1.00866491595) \text{ u}] = 236.9589873 \text{ u}$ total mass = 236.9589873 u</p> <ol style="list-style-type: none"> 2. To calculate the mass defect for this nuclide, we subtract the observed mass from the predicted mass $236.9589873 \text{ u} - 235.043\ 93012 \text{ u} = 1.91506 \text{ u}$ mass defect = 1.915062 u 3. Using the conversion (931.494) factor that relates the binding energy to the mass defect, we obtain a binding energy for ^{235}U of 1783.86 MeV per atom 4. Energía de enlace por nucleón $1783.86/235 = 7.5909 \text{ MeV}$
7.	<p>The most abundant isotope of uranium is ^{238}U; 99.274% of the atoms in a sample of uranium are ^{238}U. Calculate the activity of the ^{238}U in 1 L of a 1.00 M solution of the uranyl ion, UO_2^{2+}. Assume that the rate constant for the decay of this isotope is 4.87×10^{-18} disintegrations per second.</p> <ol style="list-style-type: none"> 1. The rate at which the ^{238}U isotope decays depends on the rate constant for this reaction (λ) and the number of uranium atoms in the sample (N). The rate constant for the decay of this nuclide was given in the statement of the problem and we can calculate the number of uranium atoms in the sample by noting that a liter of 1.00 M UO_2^{2+} solution contains 1 mole of uranium atoms: 2. Rate = $\lambda N = (4.87 \times 10^{-18} \text{ s}^{-1})(6.02 \times 10^{23} \text{ atoms}) \cdot 0.99274 = 2.9114 \times 10^6 \text{ atom/s}$ 3. To calculate the activity of this sample, we have to convert from disintegrations per second to curies: $2.9114 \times 10^6 / 3.7 \times 10^{10} = 7.8687 \times 10^{-5} \text{ Ci}$ 4. The curie is a very large unit of measurement. Activities of samples handled in the laboratory are therefore often reported in millicuries (mCi) or microcuries (mCi). This sample has an activity of 78.69 μCi.
8.	<p>How long would it take for a sample of ^{222}Rn that weighs 0.750 g to decay to 0.100 g? Assume a half-life for ^{222}Rn of 3.823 days.</p> <ol style="list-style-type: none"> 1. We can start by calculating the rate constant for this decay from the half-life: $\lambda = \frac{\ln 2}{t_{1/2}} = \frac{0.6931}{3.823 \text{ d}} = 0.1813 \text{ d}^{-1}$ 2. We then turn to the integrated form of the first-order rate law: $\ln \left[\frac{(N)}{(N)_0} \right] = -\lambda t$ 3. The ratio of the number of atoms that remain in the sample to the number of atoms present initially is the same as the ratio of grams at the end of the time period to the number of grams present initially: $\ln \left[\frac{0.100}{0.750} \right] = -0.1813t$ 4. Solving for t, we find that it takes 11.1 days for 0.750 g of ^{222}Rn to decay to 0.100 g of this nuclide. t = 11.1 d
9.	<p>The skin, bones and clothing of an adult female mummy discovered in Chimney Cave, Lake Winnemucca, Nevada, were dated by radiocarbon analysis. How old is this mummy if the sample retains 73.9% of the activity of living tissue?</p> <ol style="list-style-type: none"> 1. Because ^{14}C decays by first-order kinetics, the log of the ratio of the ^{14}C in the sample today (N) to the amount that would be present if it was still alive (N_0) is proportional to the rate constant for this decay and the time since death:

	<p>$\ln \left[\frac{(N)}{(N)_0} \right] = -\lambda t$</p> <p>2. The rate constant for this reaction can be calculated from the half-life of ^{14}C, which is 5730 years:</p> $\lambda = \frac{\ln 2}{t_{1/2}} = \frac{0.6931}{5730 \text{ y}} = 1.210 \times 10^{-4} \text{ y}^{-1}$ <p>3. If the sample retains 73.9% of its activity, the ratio of the activity today (N) to the original activity ($(N)_0$) is 0.739. Substituting what we know into the integrated form of the first-order rate law gives the following equation:</p> $\ln(0.739) = -(1.210 \times 10^{-4} \text{ y}^{-1})(t)$ <p>4. Solving the equation for the unknown gives an estimate of the time since death: $t = 2500 \text{ years}$</p>
10.	<p>A study of the radioactivity of carbon from trees felled when the most recent glaciation reached its maximum extent showed the activity to be about 8.9% of the activity of carbon from trees cut today. How long ago did the trees fall? The half-life of carbon-14 is 5730 years.</p> <p>In time t, the activity will diminish by the factor $\exp(-\lambda t) = \exp[-(\ln 2)t/t_{1/2}]$, where λ is the decay constant and $t_{1/2}$ is the half-life. Note that we can expect the answer to lie between 3 and 4 half-lives (diminishment by factors of 1/23 and 1/24 or to 12.5% and 6.25% of the original activity).</p> <p>The activity is 8.9% of the original level when</p> $e^{\frac{(-\ln 2)t}{t_{1/2}}} = 0.089 \Rightarrow \frac{(\ln 2)t}{t_{1/2}} = -\ln(0.089)$ $t = \frac{-t_{1/2}[\ln(0.089)]}{\ln 2} = 3.490t_{1/2} = \mathbf{20000 \text{ y}}$
11.	<p>Technetium-99 has a metastable excited state, or isomer, (^{99m}Tc) that is commonly used as a tracer in nuclear medicine. It decays with a half-life of 6.01 hours by emission of a gamma ray. What is the activity, in becquerel (Bq) and curie (Ci), of 1 mg of this isomer? Note: 1 Ci \equiv 3.70×10^{10} Bq; 1 Bq \equiv 1 disintegration/s.</p> <ol style="list-style-type: none"> 1. The decay constant & half-life are related by $\lambda = \frac{\ln 2}{t_{1/2}} = \frac{0.6931}{6.01 \times 3600 \text{ s}} = 3.203 \times 10^{-5} \text{ s}^{-1}$ <ol style="list-style-type: none"> 2. As the atomic mass number $A = 99$ for this isotope, approximately 99 grams of it contains 6.02×10^{23} atoms (Avogadro's number). So our sample, of mass 1 mg, contains $N = \frac{0.001 \text{ g} \times 6.02 \times 10^{23} \text{ atoms/mol}}{99 \text{ g/mol}} = 6.08 \times 10^{18} \text{ atoms}$ <ol style="list-style-type: none"> 3. Its activity {not to be confused with the atomic mass number A} is: $A(t) = \lambda N(t) = 3.203 \times 10^{-5} \text{ s}^{-1} \times 6.08 \times 10^{18} = \mathbf{1.94 \times 10^{14} \text{ Bq}}$ $\text{or } \frac{1.94 \times 10^{14} \text{ Bq}}{3.70 \times 10^{10} \text{ Bq/Ci}} = \mathbf{5.2 \times 10^3 \text{ Ci}}$

12.	<p>Consider a decay chain starting at ^{239}Pu (Plutonium-239) a man-made element which has A= 239 and Z= 94. One path of the chain consists of the following decays in sequential order:</p> <p>$\alpha, \alpha, \beta, \alpha, \beta, \alpha, \alpha, \alpha, \beta, \beta, \alpha$</p> <p>What is the A and Z of the final nucleus? How many neutrons are there in the final nucleus?</p> <ol style="list-style-type: none"> First, recall that for a given element the letter Z denotes the number of protons in the X nucleus and A denotes the total number of nucleons (both protons and neutrons) in the X nucleus. In each α decay a Helium-4 nucleus breaks off of the parent nucleus. This reduces A by 4 and Z by 2. We write this succinctly as $\begin{array}{c} A \\ Z \\ \square \end{array} X \rightarrow \begin{array}{c} A-4 \\ Z-2 \\ \square \end{array} X + {}_2^4\text{He}$ During β decay one of the neutrons in the nucleus changes into a proton and an electron (and an antineutrino). This means that A remains the same because both a proton and a neutron are nucleons and that Z increases by 1. We can write a β decay as $\begin{array}{c} A \\ Z \\ \square \end{array} X \rightarrow \begin{array}{c} A \\ Z+1 \\ \square \end{array} X + e^-$ <p>We might then keep track of our decay chain sequence in the following table:</p> <table border="1" style="width: 100%; border-collapse: collapse;"> <thead> <tr> <th></th> <th></th> <th>α</th> <th>α</th> <th>β</th> <th>α</th> <th>β</th> <th>α</th> <th>α</th> <th>α</th> <th>β</th> <th>β</th> <th>α</th> </tr> </thead> <tbody> <tr> <td>Z</td> <td>94</td> <td>92</td> <td>90</td> <td>91</td> <td>89</td> <td>90</td> <td>88</td> <td>86</td> <td>84</td> <td>85</td> <td>86</td> <td>84</td> </tr> <tr> <td>A</td> <td>239</td> <td>235</td> <td>231</td> <td>231</td> <td>227</td> <td>227</td> <td>223</td> <td>219</td> <td>215</td> <td>215</td> <td>215</td> <td>211</td> </tr> <tr> <td>Elm</td> <td>Pu</td> <td>U</td> <td>Th</td> <td>Pa</td> <td>Ac</td> <td>Th</td> <td>Ra</td> <td>Rn</td> <td>Po</td> <td>At</td> <td>Rn</td> <td>Po</td> </tr> </tbody> </table> <p>So, we find A= 239 - 28 = 211 and Z= 94 - 10 = 84. The number of neutrons is simply A-Z=127.</p>			α	α	β	α	β	α	α	α	β	β	α	Z	94	92	90	91	89	90	88	86	84	85	86	84	A	239	235	231	231	227	227	223	219	215	215	215	211	Elm	Pu	U	Th	Pa	Ac	Th	Ra	Rn	Po	At	Rn	Po
		α	α	β	α	β	α	α	α	β	β	α																																									
Z	94	92	90	91	89	90	88	86	84	85	86	84																																									
A	239	235	231	231	227	227	223	219	215	215	215	211																																									
Elm	Pu	U	Th	Pa	Ac	Th	Ra	Rn	Po	At	Rn	Po																																									

14.	<p>El plutonio-239 se desintegra a través de la siguiente serie de emisiones α y β^-: $2\alpha, \beta, \alpha, \beta, 3\alpha, 2\beta$ y 2α. Escriba la secuencia de reacciones nucleares mostrando los nuevos isótopos que se producen en cada etapa.</p> <ol style="list-style-type: none"> First, recall that for a given element the letter Z denotes the number of protons in the X nucleus and A denotes the total number of nucleons (both protons and neutrons) in the X nucleus. In each α decay a Helium nucleus breaks off of the parent nucleus. This reduces A by 4 and Z by 2 During β decay one of the neutrons in the nucleus changes into a proton and an electron (and an antineutrino). This means that A remains the same because both a proton and a neutron are nucleons and that Z increases by 1. We might then keep track of our decay chain sequence in the following table: <table border="1" style="width: 100%; border-collapse: collapse;"> <thead> <tr> <th></th> <th></th> <th>α</th> <th>α</th> <th>β</th> <th>α</th> <th>β</th> <th>α</th> <th>α</th> <th>α</th> <th>β</th> <th>β</th> <th>α</th> </tr> </thead> <tbody> <tr> <td>Z</td> <td>94</td> <td>92</td> <td>90</td> <td>91</td> <td>89</td> <td>90</td> <td>88</td> <td>86</td> <td>84</td> <td>85</td> <td>86</td> <td>84</td> </tr> <tr> <td>A</td> <td>239</td> <td>235</td> <td>231</td> <td>231</td> <td>227</td> <td>227</td> <td>223</td> <td>219</td> <td>215</td> <td>215</td> <td>215</td> <td>207</td> </tr> <tr> <td>Elm</td> <td>Pu</td> <td>U</td> <td>Th</td> <td>Pa</td> <td>Ac</td> <td>Th</td> <td>Ra</td> <td>Rn</td> <td>Po</td> <td>At</td> <td>Rn</td> <td>Pb</td> </tr> </tbody> </table>			α	α	β	α	β	α	α	α	β	β	α	Z	94	92	90	91	89	90	88	86	84	85	86	84	A	239	235	231	231	227	227	223	219	215	215	215	207	Elm	Pu	U	Th	Pa	Ac	Th	Ra	Rn	Po	At	Rn	Pb
		α	α	β	α	β	α	α	α	β	β	α																																									
Z	94	92	90	91	89	90	88	86	84	85	86	84																																									
A	239	235	231	231	227	227	223	219	215	215	215	207																																									
Elm	Pu	U	Th	Pa	Ac	Th	Ra	Rn	Po	At	Rn	Pb																																									

15.	<p>Predict the products of the following nuclear reactions:</p> <ul style="list-style-type: none"> (a) electron emission by ^{40}K (b) alpha emission by ^{239}Pu (c) alpha emission by ^{236}U (d) positron emission by ^{39}K (e) alpha capture by ^{238}U $^{40}_{19}\text{K} \rightarrow ^{40}_{20}\text{Ca} + \beta^-$ $^{239}_{94}\text{Pu} \rightarrow ^{235}_{92}\text{U} + ^4_2\text{He}$ $^{236}_{92}\text{U} \rightarrow ^{232}_{90}\text{Th} + ^4_2\text{He}$ $^{39}_{19}\text{K} \rightarrow ^{39}_{18}\text{Ar} + \beta^+$ $^{238}_{92}\text{U} + ^4_2\text{He} \rightarrow ^{242}_{94}\text{Pu}$
16.	<p>What is the half-life of a 208 g sample of sodium-24 if it decays to 13.0 g of sodium-24 within 60.0 hours?</p> $\ln \left[\frac{(N)}{(N)_0} \right] = -\lambda t$ $\ln \left[\frac{13}{208} \right] = -\lambda 60 = -2.7725$ $\lambda = \frac{2.7725}{60} = 0.0462$ $t_{1/2} = \frac{\ln 2}{\lambda} = \frac{\ln 2}{0.0462} = 15 \text{ h}$
17.	<p>El radio tiene un periodo de semidesintegración de 5.95×10^{10} s. Si se dispone de una muestra de radio que contiene 2.5×10^{26} núcleos, determina: a) ¿cuál es la actividad de la muestra?; b) ¿qué número de núcleos quedarán 10 años después?</p> <p>a) La constante de desintegración se puede obtener a partir del periodo de semidesintegración, utilizando la expresión: $t_{1/2} = \ln 2 / \lambda$, es decir, $\lambda = \ln 2 / t_{1/2} = \ln 2 / 5.95 \times 10^{10} \text{ s} = 1.40 \times 10^{-11} \text{ s}^{-1}$</p> <p>La actividad de la muestra radiactiva se obtiene a partir de la constante de desintegración y el número de núcleos de la muestra:</p> $A = \lambda N = 1.40 \times 10^{-11} \times 2.5 \times 10^{26} = 3.50 \times 10^{15} \text{ Bq}$ <p>b) El número de núcleos que quedan a los 10 años se puede obtener a partir de la ley de desintegración radiativa:</p> $\ln(N/N_0) = -\lambda t$ $N = N_0 \exp(-\lambda t) = 2.5 \times 10^{26} \exp(-1.40 \times 10^{-11} \cdot 315360000) = 2.48 \times 10^{26} \text{ núcleos}$

18.	<p>Un elemento radiactivo tiene una vida media de 128 días. Calcula: a) la constante de desintegración; b) el periodo de semidesintegración; c) el tiempo necesario para que la muestra se reduzca a la cuarta parte.</p> <p>https://en.wikipedia.org/wiki/Exponential_decay#Mean_lifetime</p> <p>La constante de desintegración se puede obtener por medio de la expresión: $\tau = 1/\lambda$, donde τ es la vida media y λ la constante de desintegración. Teniendo en cuenta que $\tau = 128$ d se tiene: $\lambda = 1/128$ d = $7.8125 \cdot 10^{-3}$ d⁻¹</p> <p>El periodo de semidesintegración $t_{1/2}$ esta relacionado con la constante de desintegración λ mediante la ecuación: $t_{1/2} = \ln 2 / \lambda$, luego:</p> $t_{1/2} = \ln 2 / \lambda = \ln 2 / 7.8125 \cdot 10^{-3} \text{ d}^{-1} = 88.72 \text{ d}$ <p>Cuando la muestra radiactiva se reduce a la cuarta parte se cumple que $N = N_0/4$</p> <p>Sustituyendo esta valor de N en la ley de desintegración radiactiva se tiene:</p> $\ln(N/N_0) = -\lambda t; \ln[(N_0/4)/N_0] = -\lambda t; \ln 4 = \lambda t$ $t = \ln 4 / \lambda = \ln 4 / 7.8125 \cdot 10^{-3} \text{ d}^{-1} = 177.4 \text{ d}$ <p>que es el tiempo necesario para que la muestra radiactiva se reduzca a la cuarta parte.</p>
19.	<p>Cuando un núcleo de un átomo de Litio (7Li) es bombardeado por un protón (1H) se producen dos partículas α (4He) según la siguiente reacción nuclear:</p> $^1H + ^7Li \rightarrow 2 ^4He$ <p>Calcula la energía liberada en esta reacción nuclear por cada núcleo de litio-7 que reacciona.</p> <p>Masas atómicas: $^1H = 1,0078 \text{ u}$; $^7Li = 7,0160 \text{ u}$; $^4He = 4,0026 \text{ u}$.</p> <p>La masa de los productos de la reacción es: $2 \times 4.0026 \text{ u} = 8.0052 \text{ u}$</p> <p>La masa de los reactivos de la reacción es: $1.0078 \text{ u} + 7.0160 \text{ u} = 8.0238 \text{ u}$</p> <p>Luego el defecto de masa en la reacción es: $\Delta m = 8.0238 \text{ u} - 8.0052 \text{ u} = 0.0186 \text{ u}$</p> <p>Teniendo en cuenta que: $\Delta m = 0.0186 \text{ u} \times 1.66 \cdot 10^{-27} = 0.03087 \cdot 10^{-27} \text{ kg}$ y la energía liberada será: $E = \Delta mc^2 = 0.03087 \cdot 10^{-27} \times 3 \cdot 10^8 = 0.278 \cdot 10^{-11} \text{ J}$ $E = 0.278 \cdot 10^{-11} \text{ J} / (1.602 \cdot 10^{-19} \times 10^6) = 17.3 \text{ MeV}$</p>
20.	<p>Una muestra de carbono-14 tiene una actividad de $8.217 \cdot 10^7 \text{ Bq}$. Calcula: a) la cantidad de carbono-14 en gramos que contiene la muestra; b) la actividad al cabo de 10^{10} s.</p> <p>$N = A/\lambda = 8.217 \cdot 10^7 \text{ Bq} / 3.835 \cdot 10^{-12} \text{ s}^{-1} = 2.14 \cdot 10^{19} \text{ núcleos}$</p> <p>El número de moles de muestra será:</p> <p>$n = N/N_A = 2.14 \cdot 10^{19} \text{ núcleos} / 6.022 \cdot 10^{23} \text{ mol}^{-1} = 3.55 \cdot 10^{-5} \text{ mol}$</p> <p>$m (^{14}\text{C}) = n \cdot 14.0032 = 3.55 \cdot 10^{-5} \times 14.0032 = 4.97 \cdot 10^{-4} \text{ g}$</p> <p>La actividad al cabo de 10^{10} s será:</p> <p>$\ln(A/A_0) = -\lambda t$; $A = A_0 \exp(-\lambda t) = 8.217 \cdot 10^7 \times \exp(-3.835 \cdot 10^{-12} \text{ s} \times 10^{10} \text{ s}) = 5.6 \cdot 10^7 \text{ Bq}$</p>

21.	<p>Un instrumento de madera que pesa 25 g presenta una actividad de ^{14}C de 4.65 Bq. La actividad del ^{14}C en un árbol vivo es de 0.255 Bq/g, el periodo de semidesintegración del ^{14}C es de 5730 años. Determine la edad de dicho instrumento. (<i>En realidad lo que ha de estimar es el año en que el árbol fue talado</i>).</p> <p>árbol vivo (1)</p> <p>instrumento de madera (2)</p> <p>$A_2 = 4.65 \text{ Bq} / 25 \text{ g} = 0.186 \text{ Bq/s}$</p> <p>$\ln 2 = kt_{1/2}$</p> <p>$k = \ln 2 / t_{1/2} = 1.21 \times 10^{-4} \text{ a}^{-1}$</p> <p>$A_1 = 0.255 \text{ Bq/g}$</p> <p>$\ln(A_2/A_1) = -k(t_2-t_1)$</p> <p>$t_1 = 0; t_2 = x$</p> <p>$\ln(0.186/0.255) = 1.21 \times 10^{-4} (t_2-0)$</p> <p>$t_2 = 2608 \text{ a}$</p> <p>el árbol del instrumento fue cortado en el año 600 AC.</p>
22.	<p>En marzo de 2002, científicos del Laboratorio Nacional de Oak Ridge publicaron que habían sometido a una muestra de acetona deutera, $\text{CD}_3\text{C(O)CD}_3$, a una cavitación intensa, habiendo detectado la formación de neutrones y tritio en la muestra. Una posible explicación a este hecho fue que la fusión de los núcleos de deuterio, que pueden tener lugar de dos formas diferentes, estaba teniendo lugar a altas temperaturas y presiones de las burbujas que colapsaban:</p> <p>1) $^2\text{H} + ^2\text{H} \rightarrow ^3\text{H} + \text{p}$</p> <p>2) $^2\text{H} + ^2\text{H} \rightarrow ^3\text{He} + \text{n}$</p> <p>a) ¿Qué grupo de productos es más estable?</p> <p>H-2: 2.01410177812 u</p> <p>H-3: 3.01604927790 u</p> <p>He-3: 3.01602932007</p> <p>p: 1.007276466621 u</p> <p>n: 1.00866491595 u</p> <p>1) $\Delta m = 3.01604927790 + 1.007276466621 - (2 \times 2.01410177812) = -4.878 \times 10^{-3} \text{ u}$</p> <p>¶¶¶ $\Delta m = 3.01602932007 + 1.00866491595 - (2 \times 2.01410177812) = -3.509 \times 10^{-3} \text{ u}$</p>
23	<p>Considere la reacción nuclear</p> <p>$^{235}\text{U} + \text{n} \rightarrow ^{133}\text{Sb} + ^{99}\text{Nb} + 4\text{n}$</p> <p>a) Explique qué tipo de reacción se trata y determine la energía liberada por átomo de uranio.</p> <p>b) Qué cantidad de uranio-235 se necesita para producir 10^6 kWh</p> <p>c) Explique la naturaleza de los productos</p>
24	<p>At the end of a star's life cycle, it can collapse, resulting in a supernova explosion that leads to the formation of heavy elements by multiple neutron-capture events. Write a balanced nuclear reaction for the formation of each isotope during such an explosion.</p> <p>a. ^{106}Pd from nickel-58</p> <p>b. selenium-79 from iron-56</p>
25	<p>When a star reaches middle age, helium-4 is converted to short-lived beryllium-8 (mass = 8.00530510 amu), which reacts with another helium-4 to produce carbon-12. How much energy is released in each reaction (in megaelectronvolts)? How many atoms of helium must be "burned" in this process to produce the same amount of energy obtained from the fusion of 1 mol of hydrogen atoms to give deuterium?</p>

26	Jerri prepared a sample of ^{93}Tc and measured its activity to be 46.1 Bq. After 35 minutes, she measures the activity of the sample again, and it has decreased to 39.8 Bq. Assuming that the amount radiation produced by ^{93}Mo (the product of this decay) is negligible, calculate the half-life of ^{93}Tc .
E1. EX2014	Cobalt-60 (^{60}Co), which is often used as a radiation source in medicine, has a half-life of 5.27 yr. How long after a new sample has been delivered will its activity have reduced to (a) 1/3 and (b) 1/10 of its value on delivery?
Ex2. EX2013	Una muestra de un material radiactivo presenta el lunes por la mañana un nivel de radiactividad de 2000 Bq. El miércoles por la mañana la medida de la radiactividad es de 125 Bq. Determine el periodo de semidesintegración (en horas). ¿Cuántas desintegraciones por hora tendrán lugar el sábado por la mañana? 1 Bq \equiv 1 desintegración/s.
Ex3. EX2021	El americio-241 es un isótopo radioactivo que se emplea en los detectores de humo. Posee un periodo de semidesintegración de 432.6 años y emite una partícula α para transformarse en un isótopo de neptunio. A) Determine la actividad en el día de hoy de una muestra de 0.0241 mg de ^{241}Am preparada por Glenn T. Seaborg el 19 de enero de 1951. B) Calcule la energía liberada en el proceso. C) Calcule la energía de enlace por nucleón para el ^{241}Am . D) Indique la serie de desintegración a la que pertenece el isótopo de neptunio.

Me he convertido en la muerte, el destructor de mundos.... - J. Robert Oppenheimer

Tema 3. Ácidos y bases en disolución acuosa

Problemas

RAZONAD TODAS LAS RESPUESTAS

1. Dibuje la estructura de Lewis de las siguientes especies químicas, identifique los átomos potencialmente dadores de cada una de ellas y clasifique cada uno de ellos como base dura, blanda o frontera:

a. $\text{NH}_2\text{-CH}_2\text{-COOH}$; b. piridina; c. SO_4^{2-} ; d. $\text{P}(\text{CH}_3)_3$; e. CO; (f) CN^-

a.	glicina $\text{NH}_2\text{-CH}_2\text{-COOH}$		N (NH_2), base frontera O carboxilato, base dura
b.	piridina		N, base frontera
c.	SO_4^{2-}		O sulfato, base dura
d.	$\text{P}(\text{CH}_3)_3$		P, base blanda
e.	CO		C, base blanda
f.	CN^-		C, base blanda N, base frontera

2. Para cada uno de los siguientes elementos, indique su número de oxidación esperado y la fórmula de la forma en la que se encuentre en agua a pH comprendido entre 5.5 y 7:

a. Li b. Al c. Cn d. Bh e. Rn f. Uuo g. No h. Os i. Pb.

	EO	r	z^2/r	Carácter	En H_2O
a. Li	(I)	90	0.011	Muy débilmente ácido	$\text{Li}(\text{H}_2\text{O})_n$
b. Al	(III)	67	0.134	Moderadamente ácido	$\text{Al}_2\text{O}_3, \text{Al}(\text{OH})_3$
c. Cn	(II)	120	0.033	Débilmente	$\text{Cn}(\text{H}_2\text{O})_n$
d. Bh	(IV)	80	0.200	Muy fuertemente ácido	BhO_n^{4-}
e. Rn	(0)	120	0	No ácido	Rn
f. Og	(0)	130	0	No ácido	Og
g. No	(II)	124	0.032	Muy débilmente ácido	$\text{No}(\text{H}_2\text{O})_n$
h. Os	(VIII)	53	1.207		
				(IV)	OsO_4^{4-}
i. Pb	(II)	133	0.030	Débilmente ácido	$\text{PbO}, \text{Pb}(\text{OH})_2$

3.	<p>Lista los siguientes hipotéticos oxoaniones en orden creciente de basicidad:</p> <p>a. MO_5^{2-} b. MO_5^{5-} c. MO_7^{5-}.</p> <p>$\text{pK}_{\text{b}1} = 10.0 + 5.7x - 10.2y$</p> <table border="1" data-bbox="282 316 1092 451"> <thead> <tr> <th>Tipos</th><th>$\text{pK}_{\text{b}1}$ (cal)</th><th>red.</th><th>Ejemplos</th></tr> </thead> <tbody> <tr> <td>MO_5^{2-}</td><td>18.1</td><td>MO</td><td>No básico</td></tr> <tr> <td>MO_5^{5-}</td><td>-12.5</td><td>$\text{M}^{2.5-}$</td><td>Muy fuertemente básico</td></tr> <tr> <td>MO_7^{5-}</td><td>-1.1</td><td>$\text{M}^{1.5-}$</td><td>Muy fuertemente básico</td></tr> </tbody> </table>	Tipos	$\text{pK}_{\text{b}1}$ (cal)	red.	Ejemplos	MO_5^{2-}	18.1	MO	No básico	MO_5^{5-}	-12.5	$\text{M}^{2.5-}$	Muy fuertemente básico	MO_7^{5-}	-1.1	$\text{M}^{1.5-}$	Muy fuertemente básico																										
Tipos	$\text{pK}_{\text{b}1}$ (cal)	red.	Ejemplos																																								
MO_5^{2-}	18.1	MO	No básico																																								
MO_5^{5-}	-12.5	$\text{M}^{2.5-}$	Muy fuertemente básico																																								
MO_7^{5-}	-1.1	$\text{M}^{1.5-}$	Muy fuertemente básico																																								
4.	<p>Which member of the following pairs is the stronger acid? Give reasons for your choice.</p> <p>(a) $[\text{Fe}(\text{H}_2\text{O})_6]^{3+}$ or $[\text{Fe}(\text{H}_2\text{O})_6]^{2+}$ Fe(III) tiene mayor z^2/r que Fe(II): 0.115 vs 0.043</p> <p>(b) $[\text{Al}(\text{H}_2\text{O})_6]^{3+}$ or $[\text{Ga}(\text{H}_2\text{O})_6]^{3+}$ Ga tiene mayor electronegatividad que Al: 1.81 vs 1.61, efecto de alternancia</p> <p>(c) Si(OH)_4 or Ge(OH)_4 Ge tiene mayor electronegatividad que Si: 2.01 vs 1.90</p> <p>(d) HClO_3 or HClO_4 HClO_4 tiene mayor número de grupos oxo que HClO_3</p> <p>(e) H_2CrO_4 or HMnO_4 HMnO_4 tiene mayor número de grupos oxo que H_2CrO_4</p> <p>(f) H_3PO_4 or H_2SO_4 H_2SO_4 tiene mayor número de grupos oxo que H_3PO_4. En nuestro nivel de aproximación, podemos decir que la fuerza de un oxoácido depende sólo del número de grupos oxo presentes: $\text{pK}_a = 8.5 - 5.7(x - y)$</p>																																										
5.	<p>A) Nombre cada uno de los siguientes oxoaniones, calcule su $\text{pK}_{\text{b}1}$ aproximado e indique si su disolución acuosa será neutra, moderada o tan fuertemente básica que reaccionará con el agua para formar un hidroxoanión:</p> <table border="1" data-bbox="282 1185 1394 1477"> <thead> <tr> <th>Oxoanión</th> <th>nombre</th> <th>$\text{c. } \text{IO}_6^{5-}$ aprox.</th> <th>$\text{d. } \text{XeO}_6^{4-}$ aprox.</th> <th>$\text{e. } \text{PO}_3^{3-}$ carácter</th> <th>$\text{f. } \text{IO}^-$</th> </tr> </thead> <tbody> <tr> <td>a. NO_3^-</td> <td>nitrato (V)</td> <td>NO</td> <td>No básico</td> <td></td> <td></td> </tr> <tr> <td>b. ClO_4^-</td> <td>perclorato; clorato(VII)</td> <td>ClO_2</td> <td>No básico</td> <td></td> <td></td> </tr> <tr> <td>c. IO_6^{5-}</td> <td>periodato; hexaoxoyodato(VII)</td> <td>I^{2-}</td> <td>Muy fuertemente básica</td> <td></td> <td></td> </tr> <tr> <td>d. XeO_6^{4-}</td> <td>perxenato; hexaoxoxenato(VIII)</td> <td>Xe^-</td> <td>Moderadamente básica</td> <td></td> <td></td> </tr> <tr> <td>e. PO_3^{3-}</td> <td>trioxofosfato(III)</td> <td>$\text{P}^{1.5-}$</td> <td>Muy fuertemente básica</td> <td></td> <td></td> </tr> <tr> <td>f. IO^-</td> <td>hipoyodoso; oxoyodato(I)</td> <td>I^-</td> <td>Moderadamente básica</td> <td></td> <td></td> </tr> </tbody> </table> <p>B) Dispóngalos en orden creciente de basicidad.</p> $\text{ClO}_4^- < \text{NO}_3^- < \text{IO}^- < \text{XeO}_6^{4-} < \text{PO}_3^{3-} < \text{IO}_6^{5-}$ $\text{MO}_x^{y-} + \text{H}_2\text{O} \rightleftharpoons [\text{MO}_{(x-1)}\text{OH}]^{(y-1)-} + \text{OH}^-$ <p>Podemos desarrollar una ecuación que teniendo en cuenta los efectos del número de grupos oxo y el de la carga negativa de un oxoanión, nos permita un cálculo razonable de la primera constante de hidrólisis de un oxoanión: $\text{pK}_{\text{b}1} = 10.0 + 5.7x - 10.2y$</p> <ol style="list-style-type: none"> los valores más altos de $\text{pK}_{\text{b}1}$ corresponden a la basicidad más débil. los grupos oxo adicionales debilitan la basicidad. la carga negativa adicional aumenta la basicidad. 	Oxoanión	nombre	$\text{c. } \text{IO}_6^{5-}$ aprox.	$\text{d. } \text{XeO}_6^{4-}$ aprox.	$\text{e. } \text{PO}_3^{3-}$ carácter	$\text{f. } \text{IO}^-$	a. NO_3^-	nitrato (V)	NO	No básico			b. ClO_4^-	perclorato; clorato(VII)	ClO_2	No básico			c. IO_6^{5-}	periodato; hexaoxoyodato(VII)	I^{2-}	Muy fuertemente básica			d. XeO_6^{4-}	perxenato; hexaoxoxenato(VIII)	Xe^-	Moderadamente básica			e. PO_3^{3-}	trioxofosfato(III)	$\text{P}^{1.5-}$	Muy fuertemente básica			f. IO^-	hipoyodoso; oxoyodato(I)	I^-	Moderadamente básica		
Oxoanión	nombre	$\text{c. } \text{IO}_6^{5-}$ aprox.	$\text{d. } \text{XeO}_6^{4-}$ aprox.	$\text{e. } \text{PO}_3^{3-}$ carácter	$\text{f. } \text{IO}^-$																																						
a. NO_3^-	nitrato (V)	NO	No básico																																								
b. ClO_4^-	perclorato; clorato(VII)	ClO_2	No básico																																								
c. IO_6^{5-}	periodato; hexaoxoyodato(VII)	I^{2-}	Muy fuertemente básica																																								
d. XeO_6^{4-}	perxenato; hexaoxoxenato(VIII)	Xe^-	Moderadamente básica																																								
e. PO_3^{3-}	trioxofosfato(III)	$\text{P}^{1.5-}$	Muy fuertemente básica																																								
f. IO^-	hipoyodoso; oxoyodato(I)	I^-	Moderadamente básica																																								

6. When dissolved in water, which of the following salts will give neutral, acidic, or basic solutions: (a) potassium fluoride; (b) ammonium chloride? Explain your reasoning.

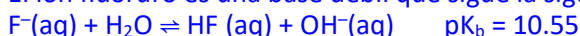
a) Potassium fluoride



	r (pm)	z^2/r	Carácter	En H ₂ O
K (I)	152	0.007	No ácido	K (H ₂ O) _n ⁺

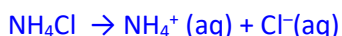
El ión potasio en agua estará hidratado, pero al ser un catión no ácido no afectará al pH.

El ión fluoruro es una base débil que sigue la siguiente reacción:

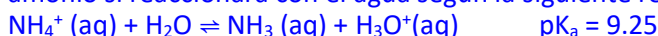


Por tanto, la disolución resultante será ligeramente **básica**.

b) Ammonium chloride



El anión cloruro tampoco afecta en este caso por tratarse de una base muy débil, pero el ión amonio sí reaccionara con el agua según la siguiente reacción:



Vemos que actúa como ácido liberando iones hidronio, por tanto, la disolución resultante será **ácida**.

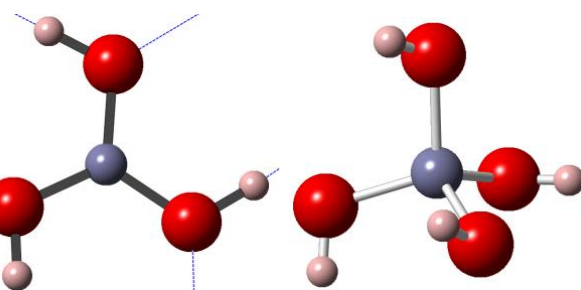
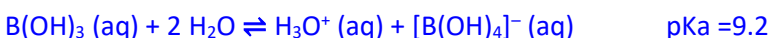
7. Predecir si son los reactivos o los productos los que están favorecidos en los siguientes equilibrios:

- a. $Nb_2S_5 + 5 HgO \rightleftharpoons Nb_2O_5 + 5 HgS$
ADBB + ABBD \Rightarrow **ABDB + ABBB**
- b. $La_2(CO_3)_3 + Tl_2S_3 \rightleftharpoons La_2S_3 + Tl_2(CO_3)_3$
ABDB + ABBB \Leftarrow **ADBB + ABBD**
- c. $2 CH_3MgF + HgF_2 \rightleftharpoons (CH_3)_2Hg + 2 MgF_2$
BBADBD + ABBD \Rightarrow **BBAB + ADBD**

8. Boric acid, B(OH)₃(aq), acts as an acid in water. However, it does not do so as a hydrogen ion donor; instead, it acts as a Lewis acid toward the hydroxide ion. Depict this process in an equation for the reaction of boric acid with sodium hydroxide solution.

El ácido bórico al actuar como un ácido de Lewis, es una molécula aceptora de pares de electrones.

Una reacción ácido-base de Lewis es una reacción de formación de un complejo resultado de la cesión de un par electrónico de la base OH⁻ al ácido B(OH)₃, por tanto, la reacción que aquí tendrá lugar será:



9. Use acid–base concepts to comment on the fact that the only important ore of mercury is cinnabar, HgS, whereas zinc occurs in nature as sulfides, silicates, carbonates, and oxides

Hg es un ácido de Lewis blando y tiene preferencia por las bases blandas para formar compuestos estables. Zn es un ácido de Lewis frontera y por lo tanto se combinara tanto con bases duras como blandas y por eso aparece en la naturaleza formando tanto sulfuros (base blanda) como silicatos, carbonatos u óxidos (bases duras).

- 10.** Dar dos ejemplos de cationes para cada una de las siguientes categorías: **a.** Da disoluciones neutras en agua; **b.** da una disolución muy débilmente ácida, pero la acidez se ve enmascarada debido al dióxido de carbono disuelto; **c.** da una disolución débilmente ácida (comparable en acidez al vinagre); **d.** se hidroliza reversiblemente para dar una disolución fuertemente ácida; **e.** se hidroliza irreversiblemente en agua.

	z^2/r	pK_a	Ej	Categoría
a	< 0.01	> 14	Na^+, K^+	No ácidos
b	0.01 – 0.04	11.5 – 14	$\text{Li}^+, \text{Ca}^{2+}$	Muy débilmente ácidos
c	0.04 – 0.10	6 – 11.5	$\text{Co}^{2+}, \text{Lu}^{3+}$	Débilmente ácidos
d	0.16 – 0.22	-4 – 1	$\text{Ti}^{4+}, \text{Mo}^{4+}$	Fuertemente ácidos
e	> 0.22	< -4	$\text{V}^{5+}, \text{W}^{6+}$	Muy fuertemente ácidos

- 11.** Considerar los siguientes cationes:
a. U^{3+} **b.** Ag^+ **c.** Pa^{5+} **d.** C^{4+} **e.** As^{3+} **f.** Tl^+ **g.** Th^{4+} .
a. Clasificarlos en función de su acidez y describir la reacción de sus cloruros en agua.
b. ¿Cuáles de ellos darán precipitados cuando se disuelven en agua? ¿Qué se podría hacer para rectificar esto si ocurriera la precipitación?, **acidificar**
c. Si las disoluciones de estos se ajustaran a un pH final comprendido entre 5.5 y 7, en qué forma química se hallarán presentes los elementos?
d. Calcular los valores de pK_a para cada uno de los cationes y determinar si alguno de ellos necesita ser reclasificado.

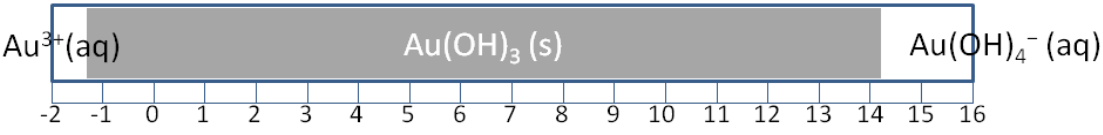
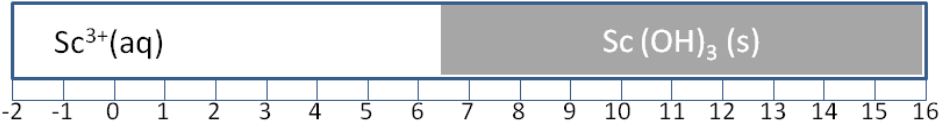
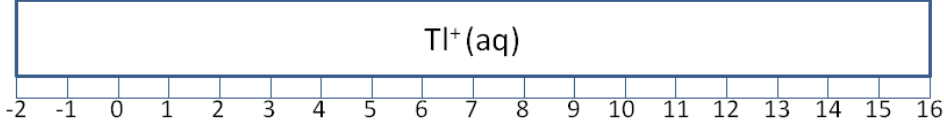
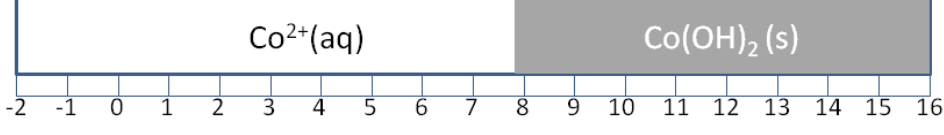
	z	r	χ_p	z^2/r	Carácter	Precipitado en H_2O	Forma a pH [5.5-7]	pK_a	Reclasificación.
U^{3+}	3	116	1.38	0.08	DA	No	$\text{U}(\text{H}_2\text{O})_n^{3+}$	8.30	DA
Ag^+	1	129	1.93	0.008	MDA	No	$\text{Ag}(\text{H}_2\text{O})_n^+$	10.82	DA
Pa^{5+}	5	92	1.5	0.27	MFA	No	H_2PaO_4^-	-8.81	MFA
C^{4+}	4	30	2.55	0.53	MFA	No	HCO_3^-	-40.78	MFA
As^{3+}	3	72	2.18	0.125	FA	Sí	$\text{As}(\text{OH})_3$	-1.64	FA
Tl^+	1	164	1.62	0.006	NA	No	Tl^+	13.59	MDA
Th^{4+}	4	108	1.3	0.15	MODA	Sí	$\text{Th}(\text{OH})_4$	2.08	MODA

MDA: muy débilmente ácido; DA: débilmente ácido; MODA: moderadamente ácido; FA: fuertemente ácido; MFA: muy fuertemente ácido

- 12.** Nombra cada uno de los siguientes oxoaniones, calcula su pK_{b1} aproximado e indicar si su disolución acuosa será neutra, moderada o tan fuertemente básica que reaccionará con el agua para formar un hidroxooanión:

a. CO_3^{2-}	b. BrO_4^-	c. IO_6^{5-}	d. XeO_6^{4-}	e. AsO_3^{3-}	f. IO^-
$[\text{MO}_x]^{y-}$	Nombre	pK_{b1}	basicidad	formación $[\text{MO}_{(x-1)}\text{OH}]^{(y-1)-}$	
a. CO_3^{2-}	anión carbonato	6.7	moderado	si	
b. BrO_4^-	anión perbromato	22.6	no básico	no	
c. IO_6^{5-}	anión peryodato	-35.24	muy fuerte	si	
d. XeO_6^{4-}	anión perxenato	3.4	moderado	si	
e. AsO_3^{3-}	anión arsenito	-3.5	muy fuerte	si	
f. IO^-	anión hipoyodito	5.2	moderado	si	

$$pK_{b1} = 10.0 + 5.7 \times -10.2 + y$$

13.	<p>Ordenar en grado creciente de blandura cada una de las siguientes listas de ácidos y bases de Lewis:</p> <ol style="list-style-type: none"> Cu^+, Au^+, Ag^+, K^+. Br^-, I^-, F^-, Cl^-. Mo^{2+}, Mo^{4+}, Mo^{6+}. BF_3, $\text{B}(\text{OCH}_3)_3$, $\text{B}(\text{CH}_3)_3$ <p> a. K^+, Cu^+, Ag^+, Au^+. Cercanía al oro b. I^-, Br^-, Cl^-, F^-. Peso atómico dentro de un mismo grupo c. Mo^{6+}, Mo^{4+}, Mo^{2+}. Estado de oxidación del elemento d. BF_3, $\text{B}(\text{OCH}_3)_3$, $\text{B}(\text{CH}_3)_3$. Influencia de los sustituyentes </p>																																								
14.	<p>Use the pK_a data for the ions Au^{3+}, Sc^{3+}, Ti^+, and Co^{2+} to (a) Draw predominance diagrams including these cations; (b) classify the acidity of these cations; (c) estimate the pH above which their hydroxides would precipitate.</p> <table border="1" data-bbox="271 579 1373 788"> <thead> <tr> <th>Catión</th><th>z</th><th>r</th><th>z^2/r</th><th>x_p</th><th>categoría</th><th>pK_a</th><th>pH</th></tr> </thead> <tbody> <tr> <td>Au^{3+}</td><td>3</td><td>99</td><td>0.091</td><td>2.54</td><td>Fuertemente ácido</td><td>-1.7</td><td></td></tr> <tr> <td>Sc^{3+}</td><td>3</td><td>88</td><td>0.102</td><td>1.36</td><td>Moderadamente ácido</td><td>6.4</td><td></td></tr> <tr> <td>Ti^+</td><td>1</td><td>164</td><td>0.006</td><td>1.62</td><td>No ácido</td><td>14.6</td><td></td></tr> <tr> <td>Co^{2+}</td><td>2</td><td>88</td><td>0.045</td><td>1.88</td><td>Débilmente ácido</td><td>8.0</td><td></td></tr> </tbody> </table> $\text{pH} = \text{p}K_a - \left(\frac{1}{z} \right) \log[\text{M}^{z+}] - \frac{5.6}{z}$    	Catión	z	r	z^2/r	x_p	categoría	pK_a	pH	Au^{3+}	3	99	0.091	2.54	Fuertemente ácido	-1.7		Sc^{3+}	3	88	0.102	1.36	Moderadamente ácido	6.4		Ti^+	1	164	0.006	1.62	No ácido	14.6		Co^{2+}	2	88	0.045	1.88	Débilmente ácido	8.0	
Catión	z	r	z^2/r	x_p	categoría	pK_a	pH																																		
Au^{3+}	3	99	0.091	2.54	Fuertemente ácido	-1.7																																			
Sc^{3+}	3	88	0.102	1.36	Moderadamente ácido	6.4																																			
Ti^+	1	164	0.006	1.62	No ácido	14.6																																			
Co^{2+}	2	88	0.045	1.88	Débilmente ácido	8.0																																			
15.	<p>Un lago cercano al Oak Ridge National Laboratory se ha contaminado con plutonio procedente del reprocessado del combustible nuclear. Predecir si la mayor parte del plutonio se hallará disuelta en el agua o sedimentada en el fondo del lago. Indicar si esta situación se verá alterada cuando el lago sufra los efectos de la lluvia ácida.</p> <table style="width: 100%; border-collapse: collapse;"> <tr> <td style="width: 30%;">EO</td> <td style="width: 15%;">r</td> <td style="width: 30%;">z^2/r</td> <td style="width: 25%;">Carácter</td> <td style="width: 30%;"></td> </tr> <tr> <td>Pu (IV)</td> <td>100</td> <td>0.16</td> <td>Fuertemente ácido</td> <td>$\text{En H}_2\text{O}$</td> </tr> <tr> <td colspan="4">En H₂O pH=3</td> <td>PuO_2, $\text{Pu}(\text{OH})_4$ (s)</td> </tr> <tr> <td colspan="5">Los hidróxidos se solubilizan $\text{Pu}(\text{OH})_4 + \text{H}^+ + \text{H}_2\text{O} \rightarrow [\text{Pu}(\text{H}_2\text{O})_n(\text{OH})_3]^+$</td> </tr> </table>	EO	r	z^2/r	Carácter		Pu (IV)	100	0.16	Fuertemente ácido	$\text{En H}_2\text{O}$	En H₂O pH=3				PuO_2 , $\text{Pu}(\text{OH})_4$ (s)	Los hidróxidos se solubilizan $\text{Pu}(\text{OH})_4 + \text{H}^+ + \text{H}_2\text{O} \rightarrow [\text{Pu}(\text{H}_2\text{O})_n(\text{OH})_3]^+$																								
EO	r	z^2/r	Carácter																																						
Pu (IV)	100	0.16	Fuertemente ácido	$\text{En H}_2\text{O}$																																					
En H₂O pH=3				PuO_2 , $\text{Pu}(\text{OH})_4$ (s)																																					
Los hidróxidos se solubilizan $\text{Pu}(\text{OH})_4 + \text{H}^+ + \text{H}_2\text{O} \rightarrow [\text{Pu}(\text{H}_2\text{O})_n(\text{OH})_3]^+$																																									

17.

Describe lo que ocurrirá cuando se disuelven los siguientes compuestos en agua :

- a. KCl b. NbCl₅ c. FeCl₃ d. CCl₄ e. AsCl₅ f. IF₅ g. CaCl₂.

Indica la fórmula y el nombre de los oxoaniones que se formen.

	r	Z^2/r	carácter	en H ₂ O
a. KCl	K(I)	152	0.007	no ácido
b. NbCl ₅	Nb(V)	78	0.320	muy fuerte se desprende HCl; NbO ₄ ³⁻ (niobato)
c. FeCl ₃	Fe(III)	78	0.115	moderado precipita Fe(OH) ₃
d. CCl ₄	C(IV)	30	0.533	muy fuerte inmiscible con H ₂ O
e. AsCl ₅	As(V)	60	0.417	muy fuerte se desprende HCl, AsO ₄ ³⁻ (areseniato)
f. IF ₅	I(V)	109	0.229	muy fuerte se desprende HI, IO ₆ ⁵⁻ (periodato)
g. CaCl ₂	Ca(II)	114	0.035	muy débil Ca(H ₂ O) _n

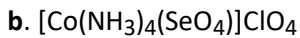
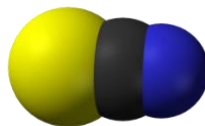
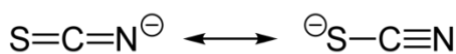
18.

En cada uno de los siguientes complejos, clasifique tanto los iones metálicos como los ligandos en duros, blandos e intermedios:



Pd(II): ácido blando

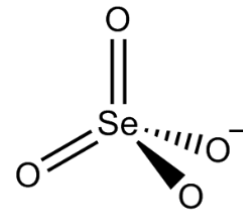
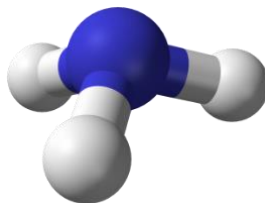
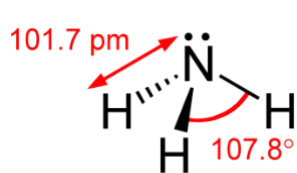
–SCN: ligando S dador → base blanda



Co(III): ácido duro

:NH₃: ligando N dador → base intermedia-dura

SeO₄²⁻: ligando O dador → base dura



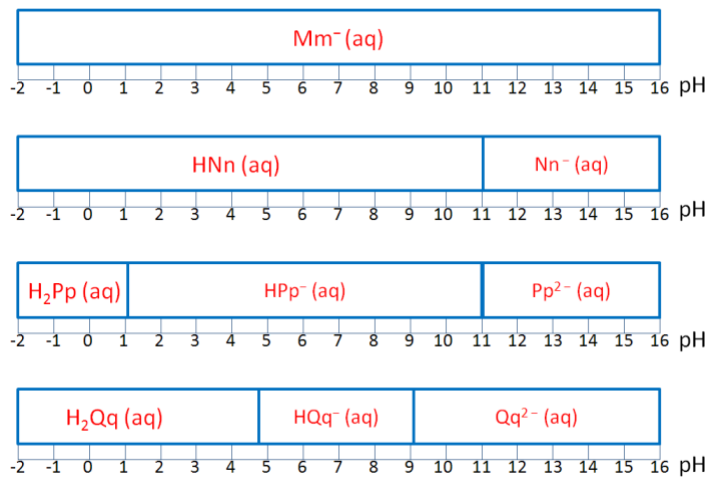
19.

When two sodium salts, NaX and NaY, are dissolved in water to give solutions of equal concentration, the pH values obtained are 7.3 and 10.9, respectively. Which is the stronger acid, HX or HY? Explain your reasoning.

El ácido más fuerte es el conjugado de la base más débil, en este caso X^- es una base conjugada más débil que el anión Y^-, por lo tanto el ácido más fuerte es HX.

20.

Algunos aniones de nuevos elementos no metálicos han sido descubiertos. Haga un diagrama de predominancia sobre todo el rango de pH para **a.** Mm^- , que es no básico; **b.** Nn^- que es moderadamente básico; **c.** Pp^{2-} que es moderadamente básico y **d.** QqH^- que es débilmente básico y débilmente ácido.



Aniones no básicos:
 $pK_b > 14$

Aniones muy débilmente básicos:
 $11.5 < pK_b < 14$

Aniones débilmente básicos:
 $6 < pK_b < 11.5$.

Aniones moderadamente básicos:
 $1 < pK_b < 6$.

Aniones fuertemente básicos:
 $-4 < pK_b < 1$.

Aniones muy fuertemente básicos:
 $pK_b < -4$.

- a. Una especie no básica como el Mm^- predominará sobre todo el intervalo de pH y no se protonará.
- b. Puesto que el Nn^- es moderadamente básico su pK_b estará entre 1-6 (pongamos 3 $\Rightarrow pOH = 3$), así que por debajo de pH 11 estará protonado.
- c. Pp^{2-} es moderadamente básico como el anterior, pero al tener 2 cargas negativas puede volverse a protonar a pH muy ácidos.
- d. HQq^- es un anión parcialmente protonado, debe haber regiones de predominancias para las especies que surgen de ganar y perder un protón. Como es una base débil su pK_b se situará entre 6 y 11.5, digamos 9 por lo que el $pOH = 9$ ($pH = 5$). También es un ácido débil con un $pK_a = 6 - 11.5$, un $pH = 9$ estaría bien.

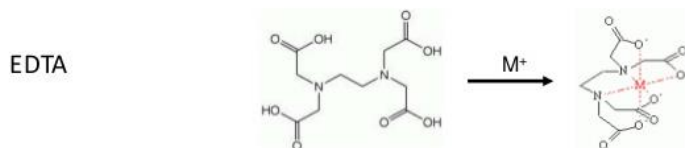
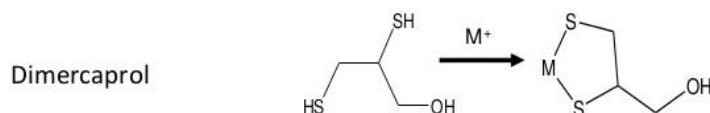
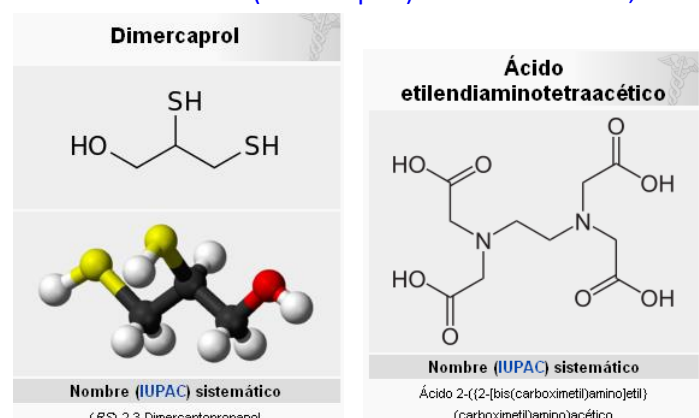
21.

You are a physician dealing with victims of a spill of some radioactive ions: francium ion (Fr^+); actinium ion (Ac^{3+}); polonium ion (Po^{2-}); perastataste ion (AtO_6^{5-}); and meitnerium ion Mt^{2+} . (a) Which ion is the one most likely to be removed from the body upon administration of the drug EDTA $^{4-}$? (b) Which ions is most likely to be removed from the body upon administration of the drug British anti-Lewisite?

- | | |
|--|-----------|
| francium ion (Fr^+) | AL duro |
| actinium ion (Ac^{3+}) | AL duro |
| polonium ion (Po^{2-}) | BL blanda |
| perastataste ion (AtO_6^{5-}) | BL dura |
| meitnerium ion (Mt^{2+}) | AL blando |

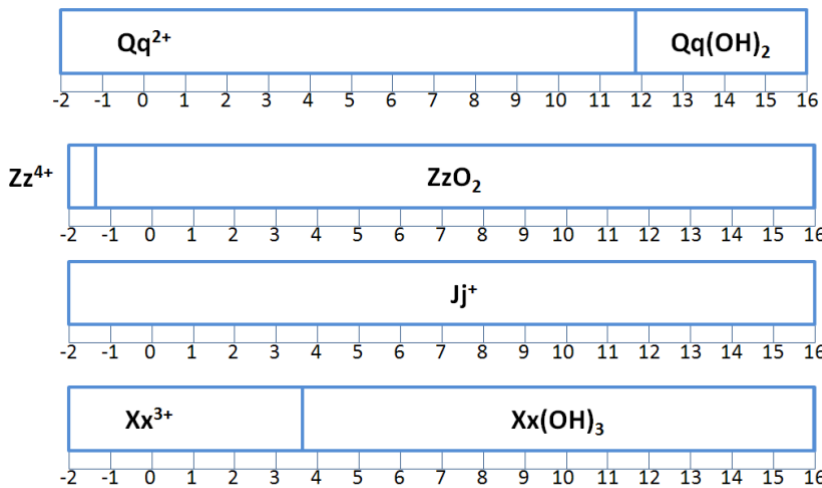
EDTA: cationes duros o frontera, Ac^{3+}

British anti-Lewisite (dimercaprol): cationes blandos, Mt^{2+}



22

Below are shown the predominance diagrams for some unknown cations, which you have established by titration experiments (to determine pKa values). And conductance experiments (to determine ionic charges). (a) Which of the cations shown is most acidic? (b) Roughly speaking, what is the pKa of each cation? (c) Give the acidity classification of each cation (d) On each predominance diagram, shade in the pH region in which you expect to see a precipitate.



Ex. 1

Consider the following cations:

- a. U^{3+} b. Au^+ c. Sm^{3+} d. C^{4+} e. Bi^{3+} f. Mo^{6+} g. Fe^{4+} .

1. Classify them according to their acidity and describe the reaction of their chlorides in water.

DATOS:

Catión	U^{3+}	Au^+	Sm^{3+}	C^{4+}	Bi^{3+}	Mo^{6+}	Fe^{4+}
r (pm)	116	151	110	40	117	73	72
χ_P	1.38	2.54	1.17	2.55	2.02	2.16	1.83
z	3	1	3	4	3	6	4
z^2/r	0.078	0.0066	0.082	0.40	0.077	0.493	0.222
Clasificación	DA	MDA	DA	MFA	MA	MFA	MFA
En H_2O	$U^{3+}(aq)$	$Au^+(aq)$	$Sm^{3+}(aq)$	CO_3^{2-}	$Bi(OH)_3$	MoO_4^{2-}	FeO_4^{4-}

MDA (cátion muy débilmente ácido): la hidrólisis de estos iones puede ser detectada. Sus hidróxidos no precipitan pero son menos solubles que los de los cationes no ácidos. $Au(I)$

DA (cátion débilmente ácido): estos iones muestran suficiente acidez como para reaccionar con concentraciones moderadas de ion hidróxido y precipitar el correspondiente hidróxido metálico insoluble en disoluciones neutras o ligeramente básicas. $U(III)$, $Sm(III)$

MA (cátion moderadamente ácido): estos iones son indiscutiblemente ácidos y pueden precipitar como hidróxidos metálicos a pH < 7. $Bi(III)$

MFA (cátion muy fuertemente ácido): reaccionan irreversiblemente con el agua y generan un óxido o un hidróxido, que actuará como un ácido, ionizándose para dar un oxoanión. $C(IV)$, $Mo(VI)$, $Fe(IV)$.

Todos los cloruros de cationes con acidez moderada o superior desprenden HCl al ser disueltos en agua. El CCl_4 es un disolvente orgánico inmiscible con el agua, no hay reacción.

2. ¿Cuáles de ellos darán precipitados cuando se disuelven en agua? ¿Qué se podría hacer para rectificar esto si ocurriera la precipitación?
- Los cationes que darán precipitados al disolver en agua son los MA, FA: $Bi(III)$. Los MFA darán oxoaniones que son especies solubles: $C(IV) \rightarrow HCO_3^-$; $Mo(VI) \rightarrow MoO_4^{2-}$; $Fe(IV) \rightarrow FeO_4^{4-}$
 - Acidificar la disolución.
3. Si las disoluciones de estos se ajustaran a un pH final comprendido entre 5.5 y 7, en qué forma química se hallarán presentes los elementos?



Ex. 2

Considera los siguientes cationes: a) Ga^{3+} ; b) K^+ ; c) Lu^{3+} ; d) Si^{4+} ; e) Sb^{3+} ; f) Mn^{7+} ; g) V^{5+} .

1. Clasifíquelos en función de su acidez y describir la reacción de sus cloruros en agua.
2. ¿Cuáles de ellos darán precipitados cuando se disuelven en agua? ¿Qué se podría hacer para rectificar esto si ocurriera la precipitación?
3. Si las disoluciones de estos se ajustaran a un pH final comprendido entre 5.5 y 7, ¿en qué forma química se hallarán presentes los elementos?

Escriba la fórmula de los oxoaniones que se formen.

Ex. 4

20150119

Considere los siguientes cationes: a) Au^{3+} ; b) Ca^{2+} ; c) Co^{2+} ; d) K^+ ; e) Pb^{2+} ; f) Sc^{3+} ; g) Ti^{4+} ; h) Tl^+ .

3.1. Clasifíquelos en función de su acidez.

3.2. Estime el pH por encima del cual precipitarían sus hidróxidos (óxidos) a partir de disoluciones 10^{-3} M del cation.

3.3. Dibuje los diagramas de *predominancia ácido-base* de cada uno de los cationes.

3.4. Indique el tipo de mineral más probable para cada uno de los cationes.

3.1; 3.2, 3.4

Catión	z	r	z^2/r	χ_p	categoría	pK_a	pH	mineral
Au^{3+}	3	99	0.091	2.54	Fuertemente ácido	-1.7	-2.6	estado nativo
Ca^{2+}	2	114	0.035	1.00	Muy débilmente ácido	12.1	10.8	carbonato
Co^{2+}	2	88	0.045	1.88	Débilmente ácido	8.0	6.7	sulfuros, óxidos
K^+	1	152	0.007	0.82	No ácido	14.6	sol	haluros
Pb^{2+}	2	133	0.030	2.33	Moderadamente ácido	5.5	3.7	sulfuro
Sc^{3+}	3	88	0.102	1.36	Mod-Débilmente ácido	6.1	5.2	fosfato
Ti^{4+}	4	74	0.216	1.54	Fuertemente ácido	-3.9	-4.6	óxido
Tl^+	1	164	0.006	1.62	No ácido	14.6	12	sulfuro

$$pK_a = 15.14 - 88.18 \cdot \left[\frac{z^2}{r} + 0.096 \cdot (\chi_p - 1.50) \right]$$

Cationes no ácidos:

$$z^2/r < 0.01,$$

$$pK_a > 14$$

Cationes muy débilmente ácidos:

$$0.01 < z^2/r < 0.04,$$

$$11.5 < pK_a < 14$$

Cationes débilmente ácidos:

$$0.04 < z^2/r < 0.10,$$

$$6 < pK_a < 11.5$$

Cationes moderadamente ácidos:

$$0.10 < z^2/r < 0.16,$$

$$1 < pK_a < 6$$

Cationes fuertemente ácidos:

$$0.16 < z^2/r < 0.22,$$

$$-4 < pK_a < 1$$

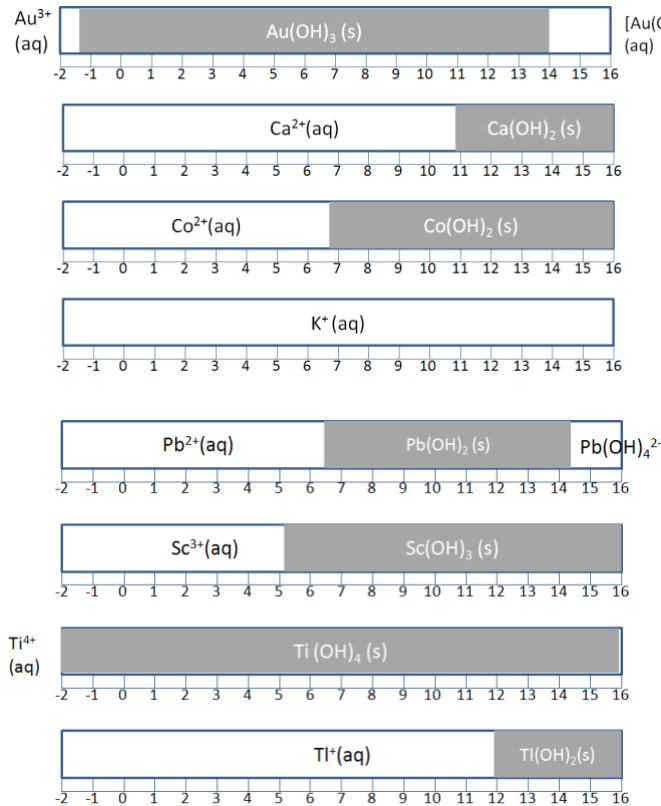
Cationes muy fuertemente ácidos:

$$z^2/r > 0.22,$$

$$pK_a < -4$$

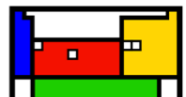
$$\text{pH} = pK_a - \left(\frac{1}{z} \right) \log[M^{z+}] - \frac{5.6}{z}$$

3.3



Ex. 5	<p>A. ¿Cuál será efecto sobre el pH del agua (si hubiera) cuando se añaden las siguientes sales? Escriba la reacción química correspondiente: (a) B_2O_3; (b) $\text{Fe}(\text{NO}_3)_3$; (c) Na_2CO_3.</p> <p>$\text{B}_2\text{O}_3(s) + 3 \text{H}_2\text{O} \rightarrow 2 \text{B(OH)}_3(aq)$</p> <p>$\text{B(OH)}_3(aq) + 2 \text{H}_2\text{O} \rightleftharpoons \text{H}_3\text{O}^+(aq) + [\text{B(OH)}_4]^- (aq) \quad pK_a = 9.2$</p> <p>pH disminuye</p> <p>$\text{Fe}(\text{NO}_3)_3(s) + \text{H}_2\text{O} \rightarrow \text{Fe}^{3+}(aq) + 3 \text{NO}_3^-(aq)$</p> <p>$[\text{Fe}(\text{H}_2\text{O})_6]^{3+} + \text{H}_2\text{O} \rightleftharpoons [\text{Fe}(\text{H}_2\text{O})_5(\text{OH})]^{2+} + \text{H}_3\text{O}^+$</p> <p>pH disminuye</p> <p>$\text{Na}_2\text{CO}_3(s) + \text{H}_2\text{O} \rightarrow 2 \text{Na}^+(aq) + \text{CO}_3^{2-}(aq)$</p> <p>$\text{CO}_3^{2-}(aq) + \text{H}_2\text{O} \rightleftharpoons \text{HCO}_3^-(aq) + \text{OH}^-(aq) \quad pK_b = 3.8$</p> <p>pH aumenta</p> <p>B. The recent concern about the presence of radon is actually mainly concerned with its radioactive decay product, polonium. Assume that polonium in aqueous solution would be present with an oxidation state of +4. (a) Predict whether Po would be more likely be present in a lake of pH 5.5-7 as a cation or as an oxide. (b) Predict two possible formulas for the oxoanion of polonium. Tell whether each could be present in a lake of pH 5.5-7.</p> <p>Po(IV) $r = 108 \text{ pm}$</p> <p>$z^2/r = 0.148 \rightarrow$ fuertemente ácido \rightarrow hidróxido u óxido: PoO_2</p> <p>$[\text{PoO}_5]^{6-}$</p> <p>$[\text{PoO}_3]^{2-}$</p>
--------------	--

*Deben entregar para su corrección sólo los marcados con \$



Apéndice B. Radios iónicos de Shannon-Prewitt (pm) 2007 Año de Mendeléiev

	1	2	3	4	5	6	7	8	9	10	11	12	13	14	15	16	17	18
1	H																	He
2	Li +1 90	Be +2 99																Ne
3	Na +1 116	Mg +2 86																Ar
4	K +1 152	Ca +2 114	Sc +3 88	Ti +2 100	V +3 81	Cr +4 74	Mn +5 68	Fe +6 58	Co +7 60	Ni +3 74	Cu +2 87	Zn +2 88	Ga +3 76	Ge +2 87	As +3 72	Se +4 64	Br +7 53	Kr
5	Rb +1 166	Sr +2 132	Y +3 104	Zr +4 86	Nb +3 86	Mo +4 82	Tc +5 78	Ru +6 73	Rh +7 70	Pd +5 70	Ag +6 69	Cd +2 109	In +3 94	Sn +4 83	Sb +3 90	Te +6 70	I +7 69	Xe
6	Cs +1 181	Ba +2 149	La +3 117	Hf +4 85	Ta +3 86	W +4 82	Re +5 78	Os +6 74	Ir +7 67	Pt +7 66	Au +5 71	Hg +3 99	Tl +2 116	Pb +1 164	Bi +2 133	Po +3 117	At +6 81	Rn
7	Fr +1 194	Ra	Ac +3 126	Rf	Db	Sg	Bh	Hs	Mt	Uun	Uuu	Uub		Uuq		Uuh		Uuo

Ln	Ce +3 115 +4 101	Pr +3 113 +4 99	Nd +3 112	Pm +3 111	Sm +3 110	Eu +2 131 +3 109	Gd +3 108	Tb +3 106 +4 90	Dy +2 121 +3 105	Ho +3 104	Er +3 103	Tm +2 117 +3 102	Yb +2 116 +3 101	Lu +3 100
An	Th +4 108	Pa +3 118 +4 104 +5 92	U +3 116 +4 103 +5 90 +6 87	Np +3 115 +4 101 +5 89 +6 85	Pu +3 114 +4 100 +5 88 +6 85	Am +4 99	Cm +3 111 +4 99	Bk +3 110 +4 97	Cf +3 109 +4 96	Es	Fm	Md	No +2 124	Lr

→ Atomic radius decreases → Ionization energy increases → Electronegativity increases →																		
1	2	3	4	5	6	7	8	9	10	11	12	13	14	15	16	17	18	
Group →	↓ Period																	
1	H 2.20																He	
2	Li 0.98	Be 1.57															Ne	
3	Na 0.93	Mg 1.31															Ar	
4	K 0.82	Ca 1.00	Sc 1.36	Ti 1.54	V 1.63	Cr 1.66	Mn 1.55	Fe 1.83	Co 1.88	Ni 1.91	Cu 1.90	Zn 1.65	Ga 1.81	Ge 2.01	As 2.18	Se 2.55	Br 2.96	Kr 3.00
5	Rb 0.82	Sr 0.95	Y 1.22	Zr 1.33	Nb 1.6	Mo 2.16	Tc 1.9	Ru 2.2	Rh 2.28	Pd 2.20	Ag 1.93	Cd 1.69	In 1.78	Sh 1.96	Sb 2.05	Te 2.1	I 2.66	Xe 2.60
6	Cs 0.79	Ba 0.89	*	Hf 1.3	Ta 1.5	W 2.36	Re 1.9	Os 2.2	Ir 2.20	Pt 2.28	Au 2.54	Hg 2.00	Tl 1.62	Pb 1.87	Bi 2.02	Po 2.0	At 2.2	Rn 2.2
7	Fr 0.7	Ra 0.9	**	Rf	Db	Sg	Bh	Hs	Mt	Ds	Rg	Cn	Uut	Fl	Uup	Lv	Uus	Uuo
*																		
**																		
La Ce Pr Nd Pm Sm Eu Gd Tb Dy Ho Er Tm Yb Lu																		
1.1 1.12 1.13 1.14 1.13 1.17 1.2 1.2 1.1 1.22 1.23 1.24 1.25 1.1 1.27																		
Ac Th Pa U Np Pu Am Cm Bk Cf Es Fm Md No Lr																		
1.1 1.3 1.5 1.38 1.36 1.28 1.13 1.28 1.3 1.3 1.3 1.3 1.3 1.3 1.3 1.3 1.3																		

Values are given for the elements in their most common and stable oxidation states.

http://en.wikipedia.org/wiki/Electronegativities_of_the_elements_%28data_page%29

Tema 4. Reacciones redox

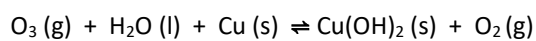
Problemas

RAZONAD TODAS LAS RESPUESTAS

1.	<p>Los siguientes ejemplos son procesos de reducción. En cada caso (a) identifique el estado de oxidación del elemento en los reactivos y productos; (b) Escriba los correspondientes diagramas de predominancia redox (emplee los diagramas de Latimer-jmgz); (c) Escriba las semirreacciones de reducción ajustadas en medio ácido.</p> <p> $\text{WO}_3 \rightarrow \text{WO}_2$ $E^\circ = -0.03 \text{ V}$ $\text{H}_2\text{MoO}_4 \rightarrow \text{MO}_2$ $E^\circ = 0.65 \text{ V}$ $\text{Cr}_2\text{O}_7^{2-} \rightarrow \text{Cr}^{3+}$ $E^\circ = 0.65 \text{ V}$ </p>
2.	<p>¿Cuáles de las siguientes reacciones se espera que tengan lugar? (Utilice diagramas de predominancia redox)</p> <p> a) $\text{Fe}^{2+} + \text{Cu} \rightarrow \text{Fe} + \text{Cu}^{2+}$ NO b) $\text{Mn} + 2 \text{Ag}^+ \rightarrow \text{Mn}^{2+} + 2 \text{Ag}$ SI c) $2 \text{Na} + \text{Cu}^{2+} \rightarrow 2 \text{Na}^+ + \text{Cu}$ SI d) $\text{Bh} + \text{Hs}^{2+} \rightarrow \text{Bh}^{2+} + \text{Hs}$ SI </p>
3.	<p>(a) List two chemical forms of nitrogen that theoretically should oxidize Mn to Mn^{2+}. (b) Balance the equation for the redox reaction that should occur in acid solution between one of these forms of nitrogen (your choice) and Mn, yielding Mn^{2+} and a likely nitrogen-containing product. (c) List two chemical forms of manganese that should oxidize NH_4^+ to N_2. (d) Balance the equation for the two redox reactions that should occur between each of these two chemical forms of Mn and NH_4^+ to give N_2 and a Mn-containing product.</p>
4.	<p>Elegir de cada uno de los siguientes conjuntos de aniones el que requiera las condiciones oxidantes más fuertes para su síntesis.</p> <p>a. FeO_4^{2-}, RuO_4^{2-}, OsO_6^{6-}.</p> <p><u>Tendencia vertical en los elementos del bloque d:</u> los elementos de la primera serie de transición son muy reactivos a adoptar el nº de oxidación del grupo, es más estable para los de la 2ª y mucho más para los de la 3º serie.</p> <p>$\text{FeO}_4^{2-} \rightarrow \text{Fe}^{3+}$ $E^\circ = 2.20 \text{ V}$ $\text{RuO}_4^{2-} \rightarrow \text{Ru}^{3+}$ $E^\circ = 0.90 \text{ V}$</p> <p>b. GeO_4^{4-}, AsO_4^{3-}, SeO_4^{2-}, BrO_4^-.</p> <p><u>Entre los elementos del bloque p del mismo periodo, el numero de oxidación más alto se incrementa al ir hacia a la derecha de la TP y por lo tanto también las condiciones oxidantes para su síntesis.</u></p> <p>c. SeO_4^{2-}, TeO_6^{6-}, PoO_6^{6-}</p> <p>$\text{SeO}_4^{2-} \rightarrow \text{H}_2\text{SeO}_3$ $E^\circ = 1.15 \text{ V}$ $\text{TeO}_6^{6-} \rightarrow \text{TeO}_2$ $E^\circ = 1.02 \text{ V}$ $\text{PoO}_6^{6-} \rightarrow \text{PoO}_2$ $E^\circ = 1.52 \text{ V}$</p> <p><u>Tendencia vertical en un grupo del bloque p:</u> Con los elementos en el estado de oxidación más alto depende del periodo al que pertenezca dicho elemento. Los más inestables son los elementos cabecera (más electronegativos y pequeños) y los del periodo 6º (esto por efecto del par inerte “efectos relativistas”).</p> <p>.</p>

5.

Calcular E° para la reacción



¿Es la oxidación del cobre por ozono un proceso espontáneo a 25 °C en condiciones de $pO_3 = 1.00 \times 10^{-4}$ atm y $pO_2 = 1.00$ atm?

$$E^\circ = 1.247 \text{ V}$$

$$E = 1.349 \text{ V a reacción espontánea}$$

6.

El diagrama de Latimer para el fósforo en medio ácido indica que el H_3PO_3 podría no desproporcionar en H_3PO_4 y PH_3 . Sin embargo, los potenciales son muy parecidos. Calcular las concentraciones en el equilibrio de las tres especies a partir de una disolución inicial 1 M de H_3PO_3 . ¿Tendrá lugar la desproporción?

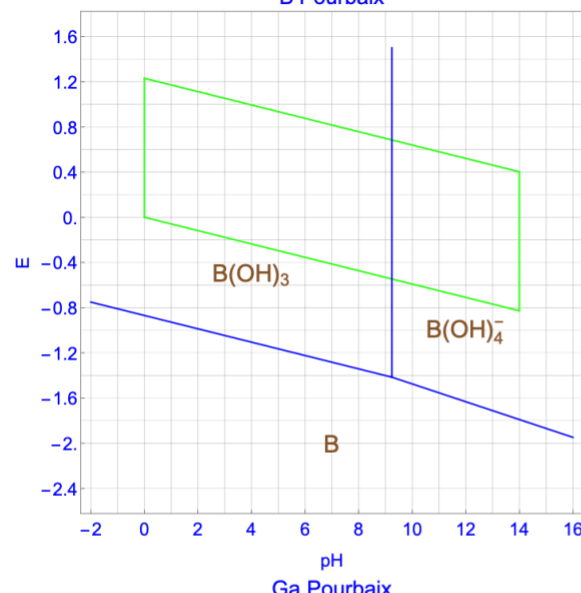
$$x = 0.136 \text{ M} \quad a[\text{PH}_3] = 0.136 \text{ M}; [\text{H}_3\text{PO}_4] = 3x = 0.409 \text{ M}; [\text{H}_3\text{PO}_3] = 1-4x = 0.454 \text{ M}.$$

Por lo tanto el H_3PO_3 desproporciona parcialmente

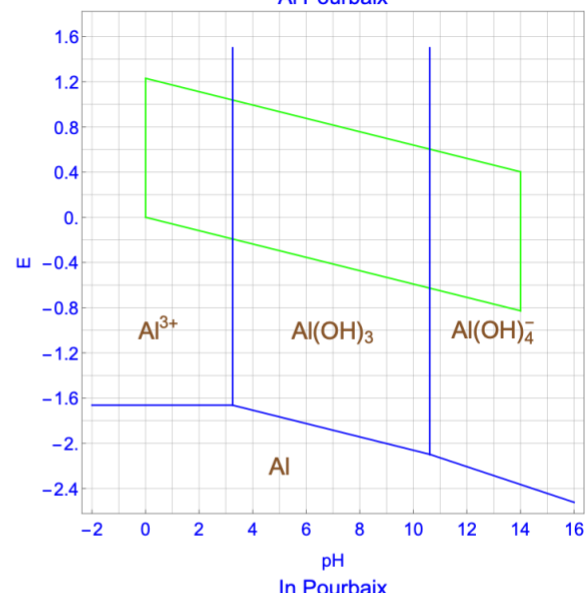
7.

Construya y comente los diagramas de Frost de los elementos del grupo 13

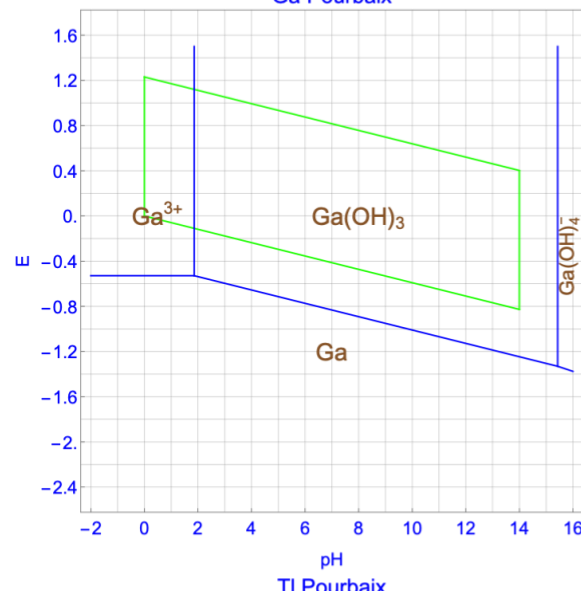
B Pourbaix



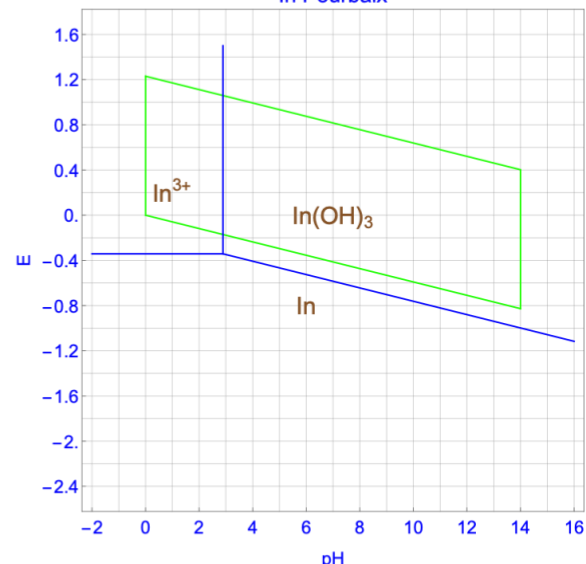
Al Pourbaix



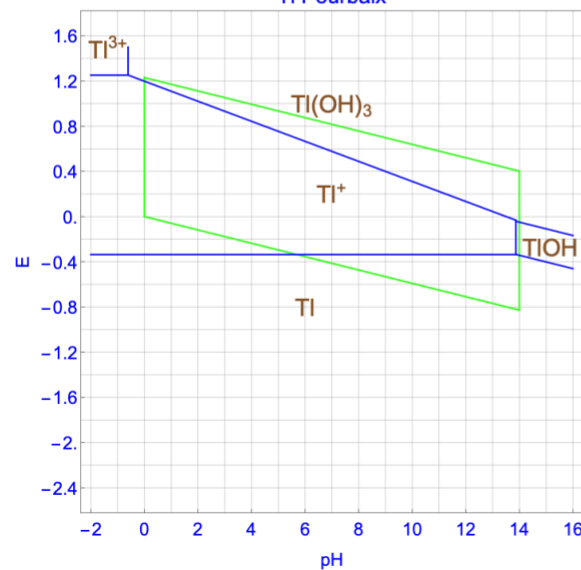
Ga Pourbaix



In Pourbaix

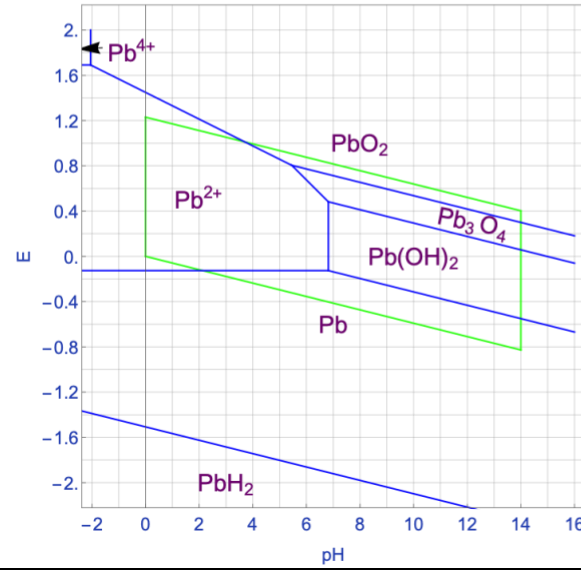
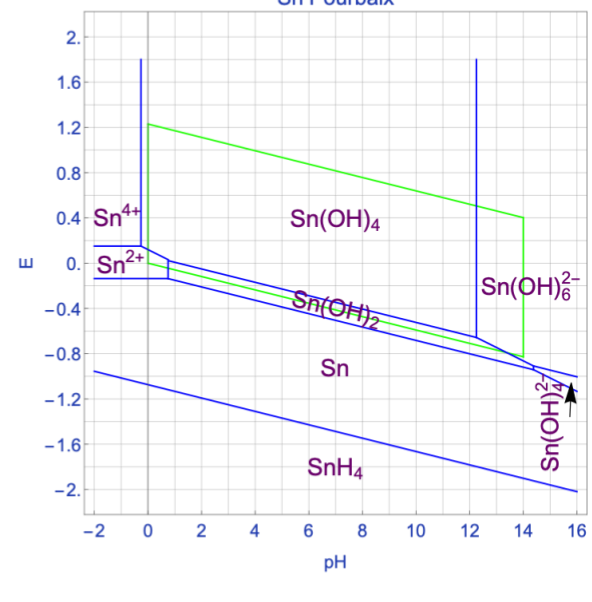
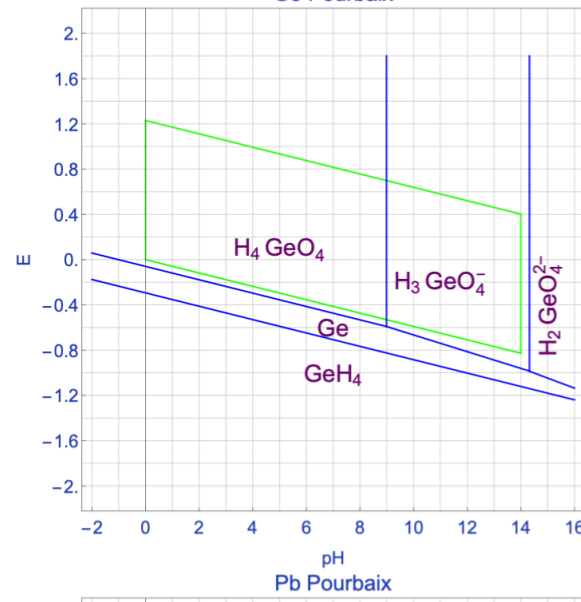
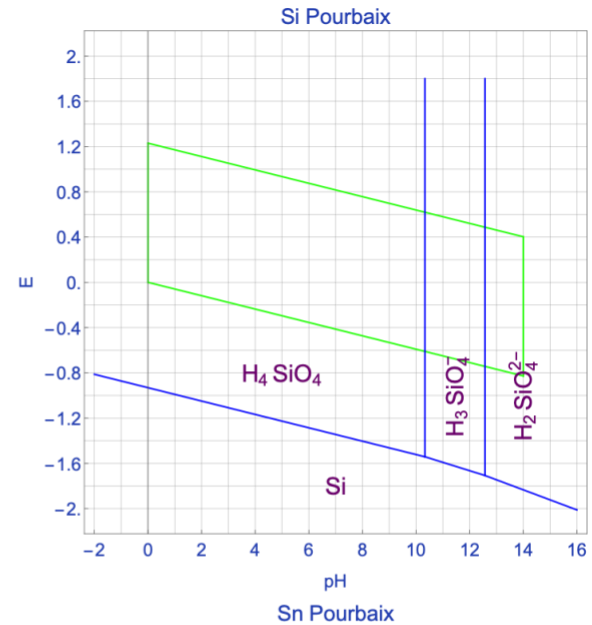
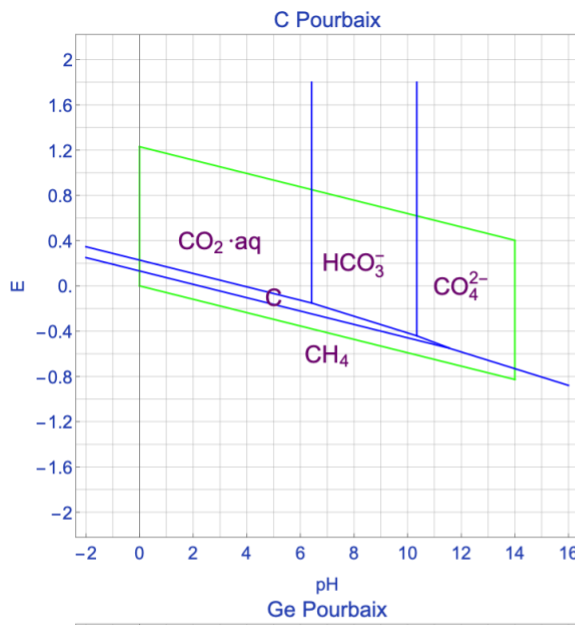


Tl Pourbaix



8.

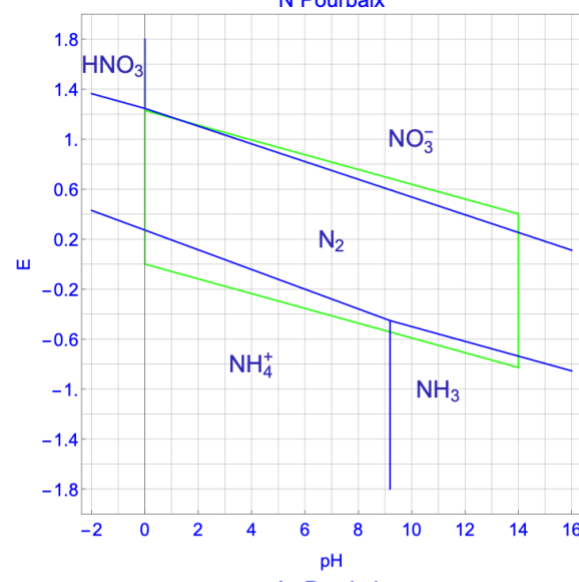
Construya y comente los diagramas de Frost de los elementos del grupo 14



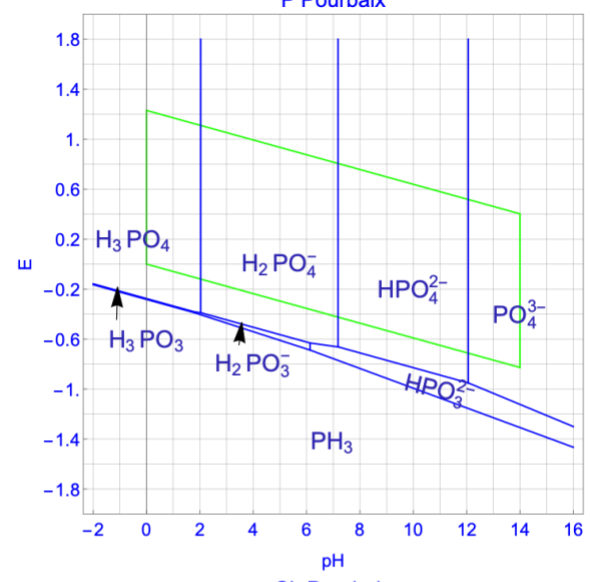
9.

Construya y comente los diagramas de Frost de los elementos del grupo 15

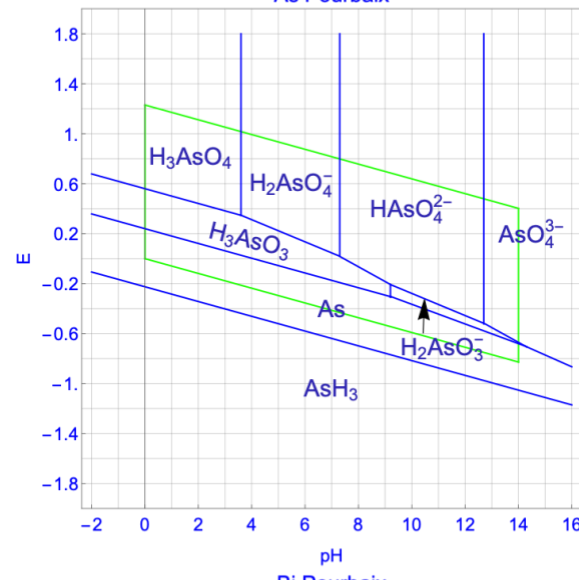
N Pourbaix



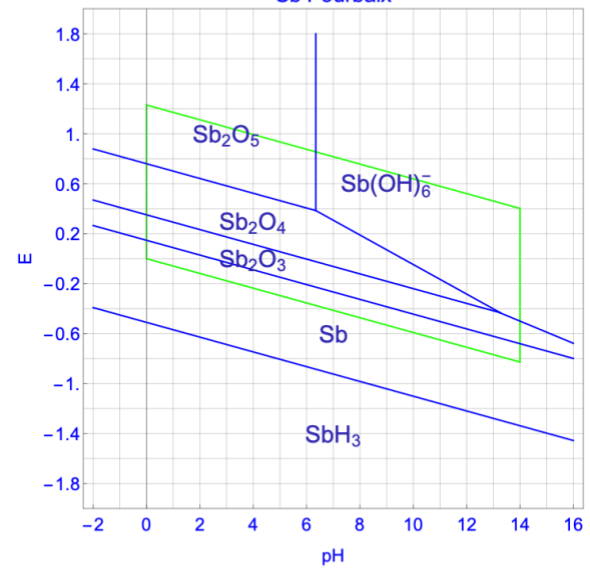
P Pourbaix



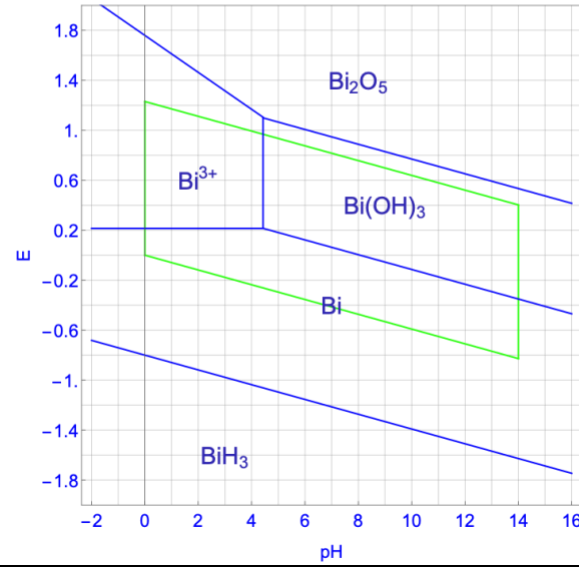
As Pourbaix



Sb Pourbaix

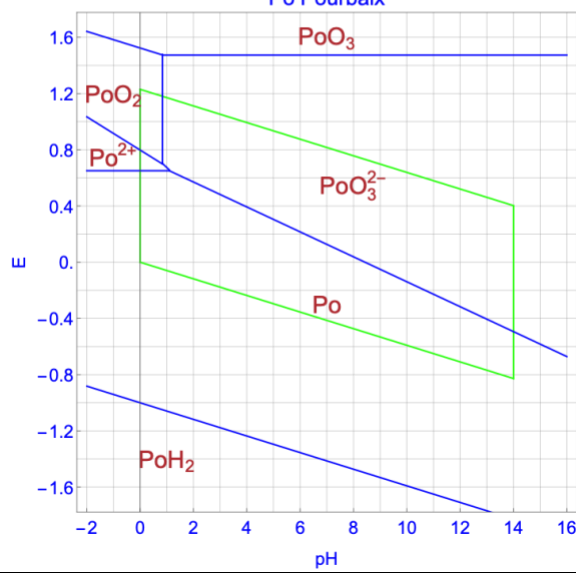
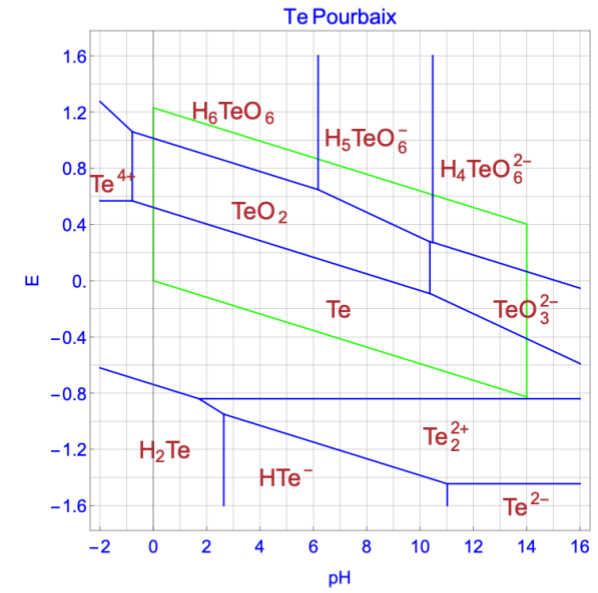
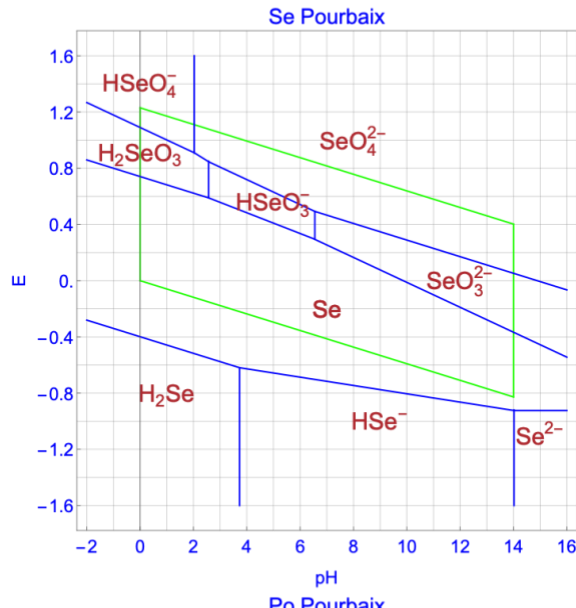
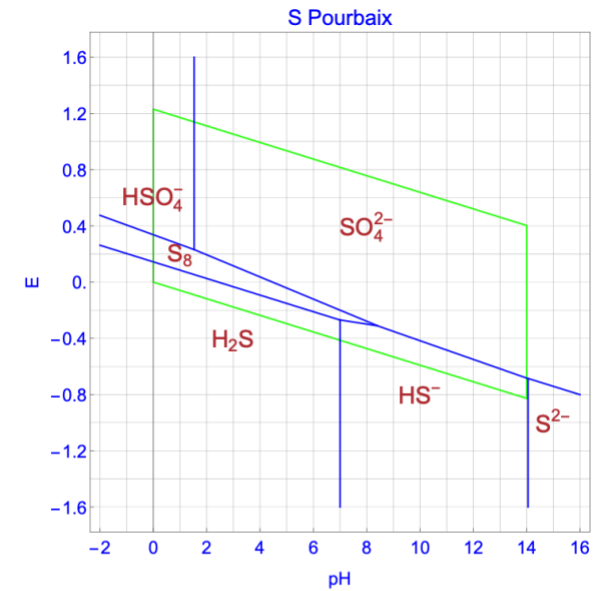
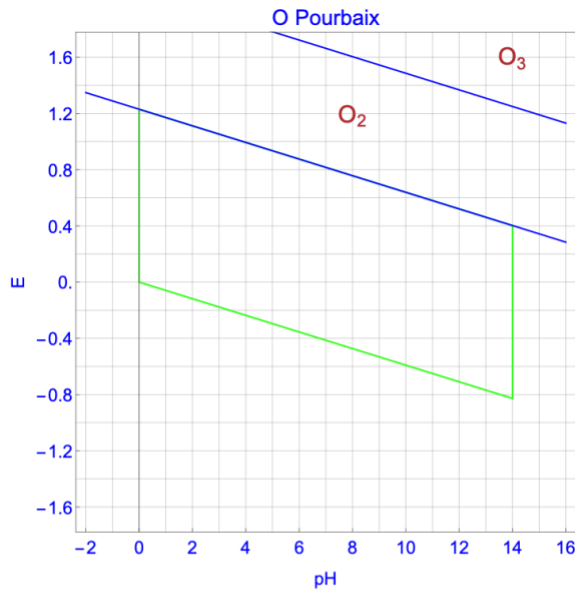


Bi Pourbaix



10.

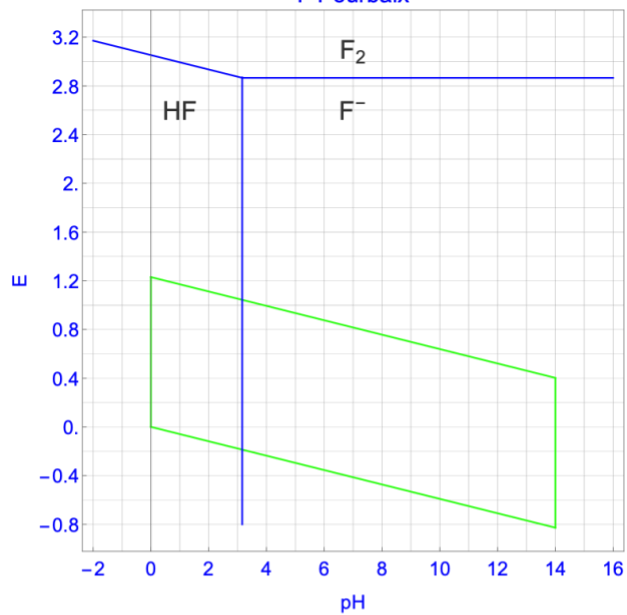
Construya y comente los diagramas de Frost de los elementos del grupo 16



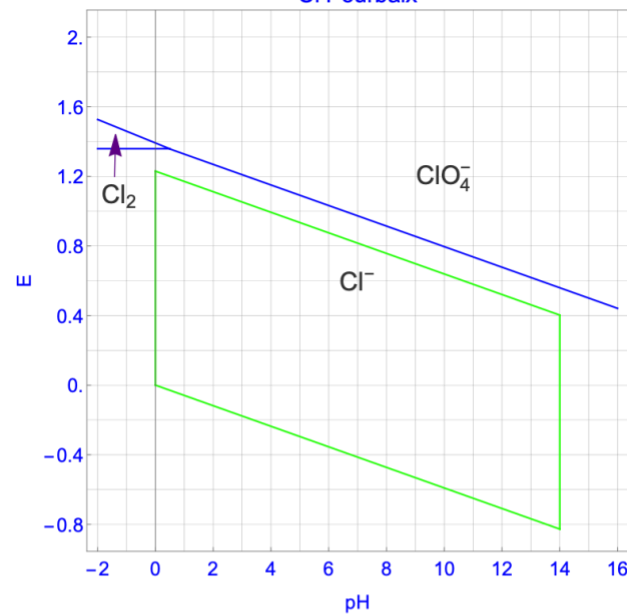
11.

Construya y comente los diagramas de Frost de los elementos del grupo 17

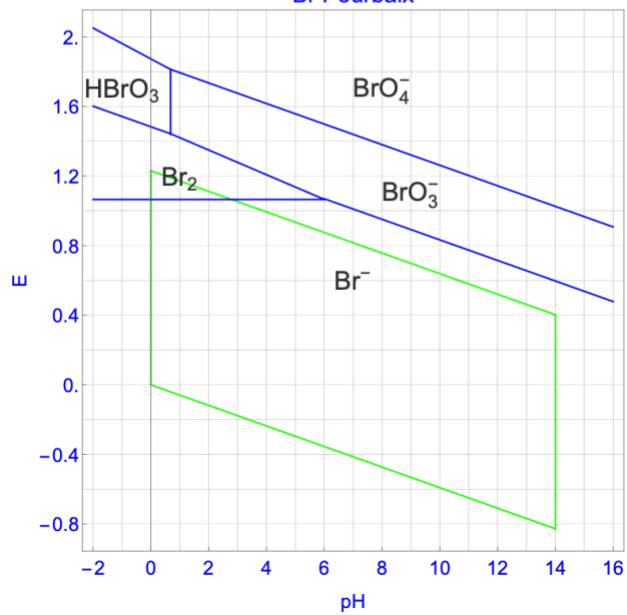
F Pourbaix



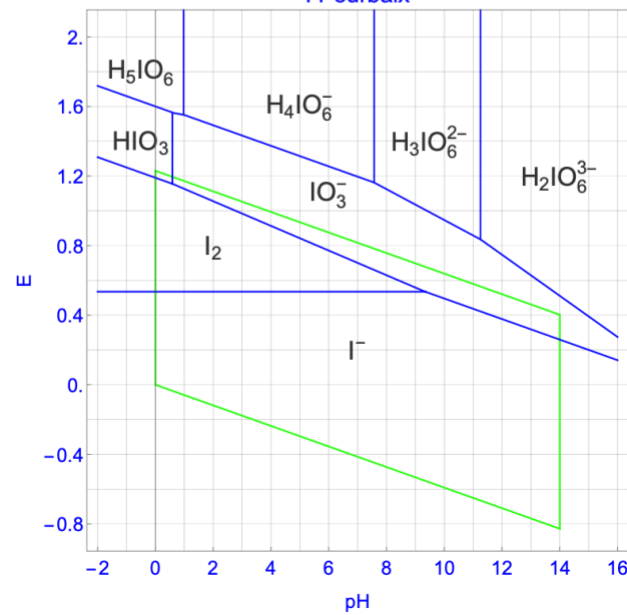
Cl Pourbaix



Br Pourbaix



I Pourbaix



12.

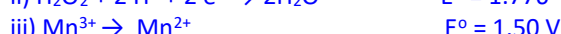
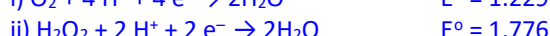
Construya el diagrama de Frost del Mn en medio ácido y: (a) Comente la estabilidad del Mn^{3+} . (b) Cuál es número de oxidación del Mn en los productos cuando se emplea MnO_4^- como agente oxidante en medio ácido. (c) ¿Podría el O_2 servir como agente oxidante para oxidar el Mn^{2+} a Mn^{3+} en disolución ácida? ¿Podría el H_2O_2 ?

a) $Mn(III)$ desproporcionará a $Mn(II)$ y MnO_2 ya que se sitúa encima de línea que une ambas especies.

b) MnO_2



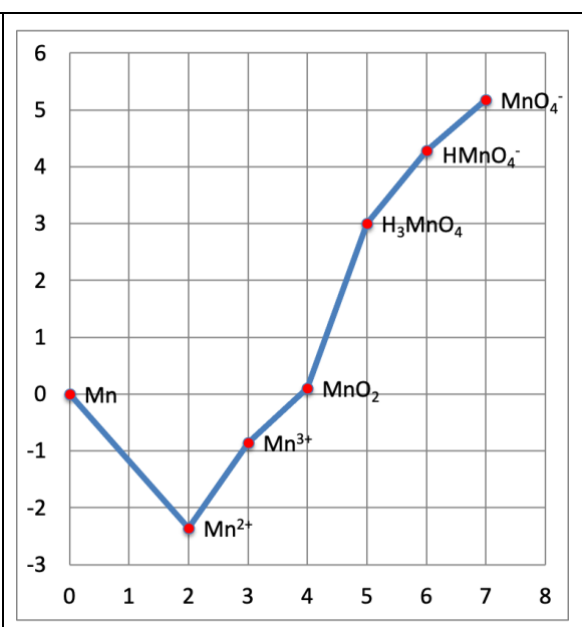
c)



i) – iii) $E^\circ = -0.271 \text{ V}$ a No espontánea, por lo tanto NO.

ii) – iii) $E^\circ = 0.276 \text{ V}$ a Espontánea, por lo tanto SI.

pH 0	n	E°	NE
MnO_4^-	7	0,9	5,179
$HMnO_4^-$	6	1,28	4,279
H_3MnO_4	5	2,9	2,999
MnO_2	4	0,95	0,099
Mn^{3+}	3	1,509	-0,851
Mn^{2+}	2	-1,18	-2,36
Mn	0	0	0



13.

De acuerdo con los correspondientes diagramas de Pourbaix (I):

a. ¿Cuál es la especie más oxidante del cobalto?. CoO_2 Co(IV)

b. ¿Cuál es el agente reductor más fuerte, en medio ácido, del selenio?. H_2Se

c. ¿Qué ion con carga +2 de los metales del bloque f del periodo 6º es el menos reductor?

Disponemos de datos de Ce, Pr, Sm, Eu, Yb, de estos iones con carga +2 estable en H_2O hay Sm, Eu, Yb. El menos reductor de los iones M^{2+} es el de europio.

d. ¿Cuál es la forma del iridio más oxidante? IrO_4^{2-}

e. ¿Qué trióxido de los metales del bloque f del periodo séptimo es el más oxidante?

Disponemos de datos de U, Np, Pu y Am, el más oxidante es el $AmO_3 \cdot H_2O$

f. ¿Qué elementos de la tabla periódica tienen un único estado de oxidación estable en disolución acuosa?

M^+ : Li, Na, K, Rb, Cs

$M^{n+}/M(OH)_n$: Be, Mg, Sr; Sc, Y, La, Zr, Hf, Zn, Cd, Al, In

He, Ne, Ar, Kr, Xe

Ta (Ta_2O_5), Au

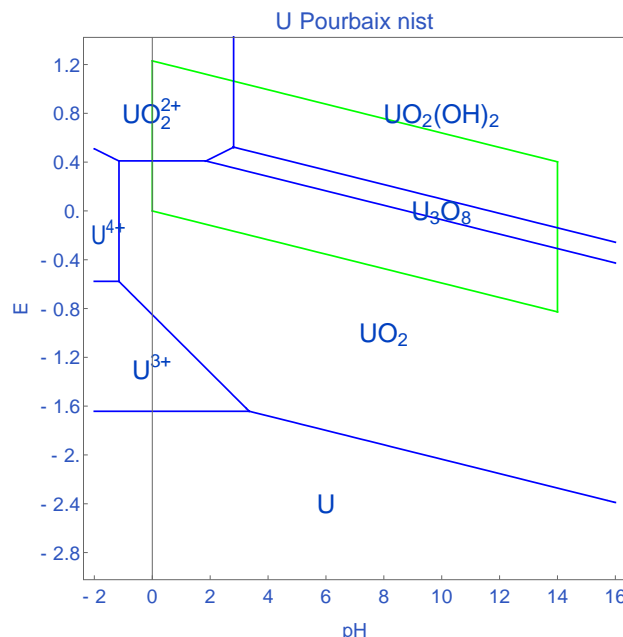
X⁻/HX: F, Cl

(Una única especie estable; varias especies de un único estado de oxidación)

14.

Estudia el destino del uranio (procedente del reprocessado del combustible nuclear) vertido en un lago natural en los supuestos siguiente:

- Si el lago está bien aireado y no contaminado.
- Si el lago está aireado pero altamente contaminado debido a la lluvia ácida ($\text{pH} = 3$).
- Suponga que algo de uranio metálico cae al lago ($\text{pH} = 3$), y se deposita en el fondo del mismo, donde el oxígeno está ausente y existen condiciones reductoras (debido a la descomposición de la materia orgánica). ¿Permanecerá como uranio elemental? Si no, escriba una ecuación química para describir lo que sucede.



- Si el lago está bien aireado y no contaminado.

Zona oxidante $\text{pH} = 7$, $\text{UO}_2(\text{OH})_2$

- Si el lago está aireado pero altamente contaminado debido a la lluvia ácida ($\text{pH} = 3$).

Zona oxidante $\text{pH} = 3$, UO_2^{2+}

- Suponga que algo de uranio metálico cae al lago ($\text{pH} = 3$), y se deposita en el fondo del mismo, donde el oxígeno está ausente y existen condiciones reductoras (debido a la descomposición de la materia orgánica). ¿Permanecerá como uranio elemental? Si no, escriba una ecuación química para describir lo que sucede.

Puede pasar a U^{3+} y luego a UO_2 mediante sucesivos procesos de reducción del agua.

15.

La reacción de ácido clorhídrico con dióxido de manganeso genera cloruro de manganeso(II), cloro y agua.

- Escriba la reacción molecular ajustada por el método del ion-electrón.
- ¿Qué volumen de cloro se obtiene, medido a 700 mm de Hg y 30 °C al reaccionar 150 ml de ácido del 35% y densidad 1,17 g/ml, con la cantidad necesaria de dióxido de manganeso.



b.

$$PV = nRT$$

$$\frac{700}{760} (\text{atm}) \times V(L) = n(\text{mol}) \times 0.082 \left(\frac{\text{atm} \cdot L}{\text{mol} \cdot K} \right) \times T(K)$$

$$\text{n: } 150 \text{ mL} \times 1.17 = 175.5 \text{ g} \times 0.35 = 61.425 \text{ g(HCl)} / 36.5 = 1.683 \text{ mol(HCl)} / 4 = 0.42 \text{ mol(Cl}_2\text{)}$$

$$V = 0.42 \times 0.082 \times (273 + 30) / 0.921 = 11.33 \text{ L de Cl}_2.$$

16.	<p>A. ¿Cuál es el pH más adecuado para llevar a cabo la síntesis de FeO_4^{2-}, 0, 7 ó 14?</p> <p>B. ¿Cuál de los siguientes pH, 0, 7 ó 14 es idóneo para usar el FeO_4^{2-}, como un poderoso agente oxidante?</p> <p>$\text{pH} = 0 \quad \text{FeO}_4^{2-} \xrightarrow{2.20} \text{Fe}^{3+} \xrightarrow{0.771} \text{Fe}^{2+} \xrightarrow{-0.44} \text{Fe}$</p> <p>$\text{pH} = 14 \quad \text{FeO}_4^{2-} \xrightarrow{0.72} \text{Fe(OH)}_3 \xrightarrow{-0.56} \text{Fe(OH)}_2 \xrightarrow{-0.877} \text{Fe}$</p> <p>a. El pH más adecuado para llevar a cabo la síntesis del FeO_4^{2-} será aquel que requiera unas condiciones oxidantes menos fuertes (el que tenga menor valor de potencial E), por lo que entre los posibles, 0, 7 o 14, el más adecuado es el pH 14, donde el valor de E es menor ($E \approx +0.75 \text{ V}$).</p> <p>b. El pH idóneo para usar el FeO_4^{2-} como poderoso agente oxidante es aquel en el que su potencial de reducción sea mayor, es decir a pH=0, donde alcanza el mayor valor de potencial ($E > +2.00 \text{ V}$).</p>
17.	<p>Calcular la constante de equilibrio para la reacción a 25 °C</p> $\text{Fe}^{3+} + \text{Ag} \rightleftharpoons \text{Fe}^{2+} + \text{Ag}^+$ $\text{Fe}^{3+} \xrightarrow{0.771} \text{Fe}^{2+}$ $\text{Ag}^+ \xrightarrow{0.799} \text{Ag}$ $E = E^\circ - \frac{0.0591}{1} \log \frac{[\text{Ag}^+]}{[\text{Fe}^{3+}]} = 0.771 - 0.799 - \frac{0.0591}{1} \log K_e = -0.028 - \frac{0.0591}{1} \log K_e$ <p>En el <u>equilibrio</u> $E = 0$</p> $0 = -0.028 - \frac{0.0591}{1} \log K_e$ $\log K_e = \frac{-0.028}{0.0591} = -0.474 \Rightarrow K_e = 0.336$
18.	<p>La variación de energía libre para la reacción: $\text{CO} + \frac{1}{2}\text{O}_2 \rightleftharpoons \text{CO}_2$, es $\Delta G = -257 \text{ kJ/mol(CO)}$ a 298 K. Calcular E° de la reacción.</p> <p>a) $\frac{1}{2}\text{O}_2 + 2\text{H}^+ \xrightarrow{+2e^-} \text{H}_2\text{O}$</p> <p>b) $\text{CO}_2 + 2\text{H}^+ \xrightarrow{+2e^-} \text{CO} + \text{H}_2\text{O}$</p> <p>b-a) $\text{CO} + \frac{1}{2}\text{O}_2 \longrightarrow \text{CO}_2 + \text{H}_2\text{O}$</p> $\Delta G = -nFE^\circ = -257000 \text{ J mol}^{-1} = -2 \times 96485.381 \times E^\circ$ $E^\circ = \frac{257000}{2 \times 96485.381} = 1.33 \text{ V}$

19.	<p>¿Qué reacción se espera que tenga lugar en disolución acuosa ácida cuando:</p> <ol style="list-style-type: none"> se mezclan disoluciones de Fe^{2+} y H_2O_2? ácido fosforoso se añade lentamente a una disolución de CuSO_4? I_2 se añade gota a gota a una disolución de tiosulfato? VO^{2+} se añade a una disolución de Sn^{2+}? selenio elemental se agita en una disolución de Mn^{2+}? se burbujea SO_2 en una disolución de Mn^{3+}?
	<p>1. Se mezclan disoluciones de Fe^{2+} y H_2O_2</p>
	$\text{Red: } \text{H}_2\text{O}_2 + 2\text{H}^+ \xrightarrow{+2e^-} 2\text{H}_2\text{O} \quad E^\circ = +1.763 \text{ V}$ $\text{Ox: } \text{Fe}^{2+} \xrightarrow{-1e^-} \text{Fe}^{3+} \quad E^\circ = -0.771 \text{ V}$ $\text{H}_2\text{O}_2 + 2\text{Fe}^{2+} + 2\text{H}^+ \rightarrow 2\text{H}_2\text{O} + 2\text{Fe}^{3+} \quad E^\circ = +0.992 \text{ V} \rightarrow \Delta G < 0 \text{ (R. esp)}$
	<p>2. Ácido fosforoso se añade lentamente a una disolución de CuSO_4</p>
	$\text{Red: } \text{Cu}^{2+} \xrightarrow{+2e^-} \text{Cu} \quad E^\circ = +0.340 \text{ V}$ $\text{Ox: } \text{H}_3\text{PO}_3 + \text{H}_2\text{O} \xrightarrow{-2e^-} \text{H}_3\text{PO}_4 + 2\text{H}^+ \quad E^\circ = +0.276 \text{ V}$ $\text{Cu}^{2+} + \text{H}_3\text{PO}_3 + \text{H}_2\text{O} \rightarrow \text{Cu} + \text{H}_3\text{PO}_4 + 2\text{H}^+ \quad E^\circ = +0.616 \text{ V} \rightarrow \Delta G < 0 \text{ (R. esp)}$
	<p>3. I_2 se añade gota a gota a una disolución de tiosulfato</p>
	$\text{Red: } \text{I}_2 \xrightarrow{+2e^-} 2\text{I}^- \quad E^\circ = +0.540 \text{ V}$ $\text{Ox: } 2\text{S}_2\text{O}_3^{2-} \xrightarrow{-2e^-} \text{S}_4\text{O}_6^{2-} \quad E^\circ = -0.080 \text{ V}$ $\text{I}_2 + 2\text{S}_2\text{O}_3^{2-} \rightarrow 2\text{I}^- + \text{S}_4\text{O}_6^{2-} \quad E^\circ = +0.460 \text{ V} \rightarrow \Delta G < 0 \text{ (R. esp)}$
	<p>4. VO^{2+} se añade a una disolución de Sn^{2+}</p>
	$\text{Red: } \text{VO}^{2+} + 2\text{H}^+ \xrightarrow{+1e^-} \text{V}^{3+} + \text{H}_2\text{O} \quad E^\circ = +0.337 \text{ V}$ $\text{Ox: } \text{Sn}^{2+} \xrightarrow{-2e^-} \text{Sn}^{4+} \quad E^\circ = -0.154 \text{ V}$ $2\text{VO}^{2+} + 4\text{H}^+ + \text{Sn}^{2+} \rightarrow \text{V}^{3+} + 2\text{H}_2\text{O} + \text{Sn}^{4+} \quad E^\circ = +0.183 \text{ V} \rightarrow \Delta G < 0 \text{ (R. esp)}$
	<p>5. Selenio elemental se agita en una disolución de Mn^{2+}</p> <p>No se dará ninguna reacción, ya que ambas especies son muy estables respecto la oxidación o reducción de ambos. Ninguna reacción entre estos dos elementos en la forma en la que se indica tendría lugar termodinámicamente de forma viable.</p>
	<p>6. Se burbujea SO_2 en una disolución de Mn^{3+}</p>
	$\text{Red: } \text{Mn}^{3+} \xrightarrow{+1e^-} \text{Mn}^{2+} \quad E^\circ = +1.500 \text{ V}$ $\text{Ox: } \text{SO}_2 + \text{H}_2\text{O} \xrightarrow{-2e^-} \text{SO}_4^{2-} + 4\text{H}^+ \quad E^\circ = -0.158 \text{ V}$ $2\text{Mn}^{3+} + \text{SO}_2 + \text{H}_2\text{O} \rightarrow 2\text{Mn}^{2+} + \text{SO}_4^{2-} + 4\text{H}^+ \quad E^\circ = +1.342 \text{ V} \rightarrow \Delta G < 0 \text{ (R. esp)}$

20.	<p>¿Cuál será el agente reductor más fuerte en condiciones estándar: Se, Sn²⁺, Sn⁴⁺, Cr²⁺, Mg²⁺ o Fe(CN)₆⁴⁻?</p> <p>H₂SeO₃ → Se E° = 0.74 V</p> <p>Sn⁴⁺ → Sn²⁺ E° = 0.15 V</p> <p>Sn⁴⁺ no se puede oxidar más</p> <p>Cr³⁺ → Cr²⁺ E° = -0.41 V</p> <p>Mg²⁺ no se puede oxidar más</p> <p>Fe(CN)₆³⁻ → Fe(CN)₆⁴⁻ E° = 0.48 V</p> <p>Un agente reductor debe oxidarse, por lo tanto el agente reductor más poderoso será aquel que tenga el potencial de reducción más negativo. En este caso es el Cr(II) ya que su oxidación a Cr(III) es espontánea.</p>
21.	<p>¿Cuál será el agente oxidante más fuerte en condiciones estándar: HNO₂, UO₂²⁺, Cl₂, Sn⁴⁺, CrO₃, MnO₂ o H₂O₂?</p> <p>HNO₂ → N₂ E° = 1.452 V</p> <p>UO₂²⁺ → U⁴⁺ E° = 0.332 V</p> <p>Cl₂ → Cl⁻ E° = 1.36 V</p> <p>Sn⁴⁺ → Sn²⁺ E° = 0.15 V</p> <p>CrO₃, Cr₂O₇²⁻ → Cr³⁺ E° = 1.36 V</p> <p>MnO₂ → Mn²⁺ E° = 1.23 V</p> <p>H₂O₂ → H₂O E° = 1.776 V</p> <p>Un agente oxidante debe reducirse, por lo tanto el agente oxidante más poderoso será aquel que tenga el potencial de reducción más positivo. En este caso es el H₂O₂ que se reduce a H₂O.</p>
22.	<p>2 H₂ + O₂ → 2 H₂O</p> <p>¿Qué dos semirreacciones electroquímicas sumadas darán la reacción química anterior?</p> <p>i) 2H⁺(aq) + 2e⁻ → H₂ (g) E° (I/0) = 0.000 V</p> <p>ii) 2H⁺(ac) + 1/2O₂(g) + 2e⁻ → H₂O(l) E° (0/-II)= 1.229 V</p> <p>ii) - i) 2 H₂ + O₂ → 2 H₂O E° = 1.229 V</p>
23.	<p>Entre las especies siguientes, Al³⁺, Br⁻, Ag⁺, Au⁺, Fe y F⁻, seleccione: (a) el mejor oxidante; (b) el mejor reductor; (c) el menos oxidante; (d) el menos reductor.</p> <ul style="list-style-type: none"> • Al³⁺ → Al E° (III/0)= -1.66 V • Br₂ → Br⁻ E° (0/-I)= 1.07 V • Ag²⁺ → Ag⁺ → Ag E°(II/I)= 1.98 V; E° (I/0)= 0.799 V • Au³⁺ → Au⁺ → Au E°(III/I)= 1.29 V; E° (I/0)= 1.298 V • Fe²⁺ → Fe E° (II/0)= -0.473 V • F₂ → F⁻ E° (0/-I)= 2.87 V <p>a. el mejor oxidante, Au⁺ (el que presenta el potencial de reducción más alto) b. el mejor reductor, Fe (el que presenta el potencial de oxidación (-reducción) más alto) c. el menos oxidante, F⁻ (el que no se puede reducir más) d. el menos reductor, Al³⁺ (el que no se puede oxidar más)</p>

24.

Comentar lo siguiente: la reacción en una celda electroquímica se detiene después de cierto tiempo, aunque los reactivos aun se encuentran presentes.

Sea la reacción



$$E = E^{\circ} - \frac{0.0591}{n} \log Q$$

Cuando se alcanza el equilibrio $E = 0$

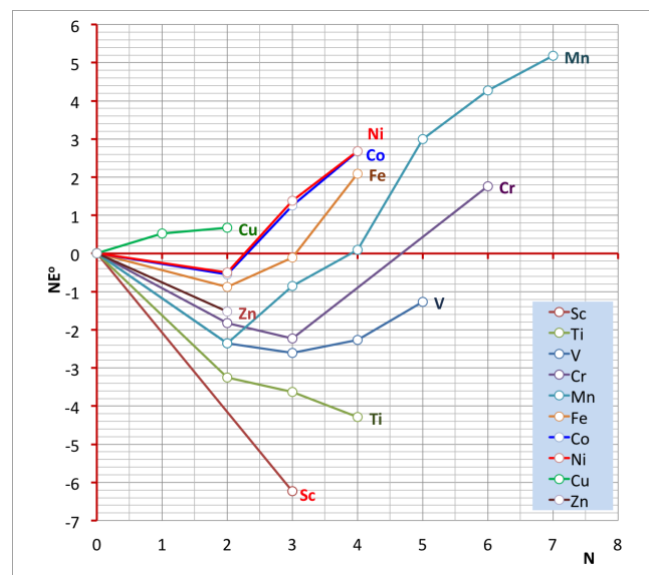
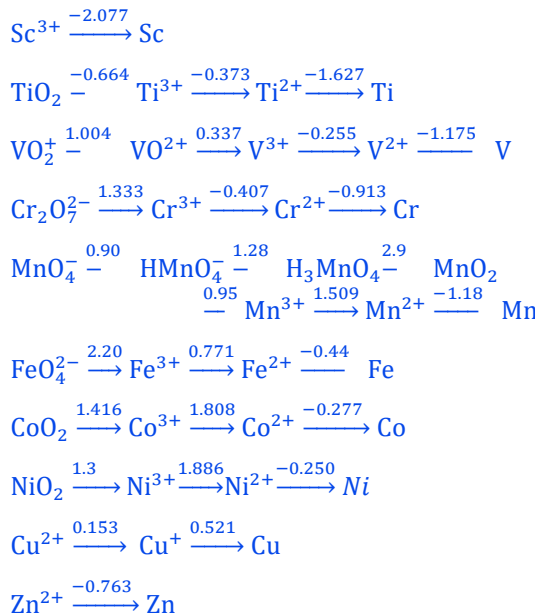
$$E^{\circ} = \frac{0.0591}{n} \log K_e$$

$$K_e = \frac{[C]^c [D]^d}{[A]^a [B]^b}$$

Por lo tanto, en el equilibrio deben existir todos los compuestos que participan en la reacción para evitar que la K_e sea igual a 0 ó infinito.

25.

A partir de los correspondientes diagramas de Latimer construya los diagramas de Frost de los metales de la primera serie de transición.

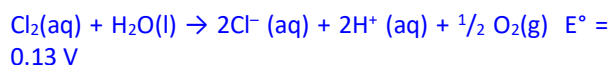


26.

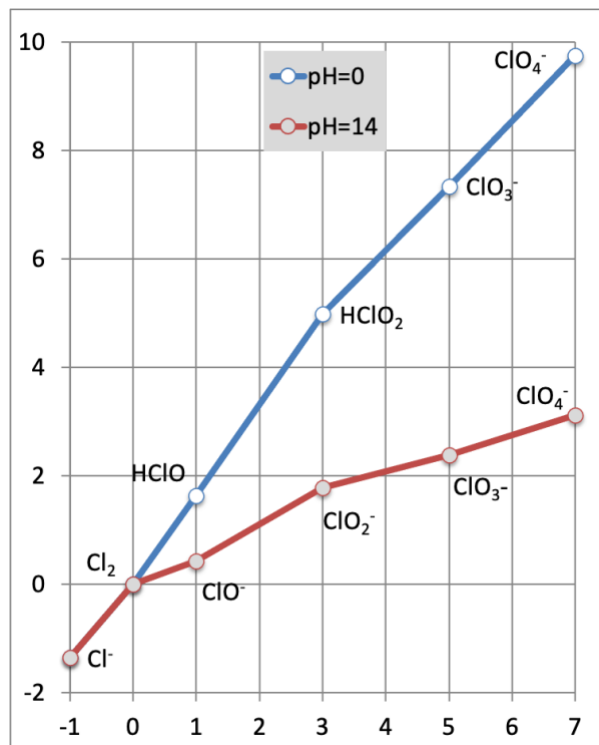
Responda a las siguientes cuestiones a partir del correspondiente diagrama de Frost para el Cl. (a) Cuál es la consecuencia de disolver Cl_2 en disolución acuosa básica; (b) cuál es la consecuencia de disolver Cl_2 en disolución acuosa ácida; (c) ¿la resistencia del HClO_3 a desproporcionar en medio ácido es un fenómeno termodinámico o cinético?

(a) The Frost diagram for chlorine in basic solution is shown in Figure. If the points for Cl^- and ClO_4^- are connected by a straight line, Cl_2 lies above it. Therefore, Cl_2 is thermodynamically susceptible to disproportionation to Cl^- and ClO_4^- when it is dissolved in aqueous base. In practice, the oxidation of ClO^- is slow, so a solution of Cl^- and ClO^- is formed when Cl_2 is dissolved in aqueous base.

(b) The Frost diagram for chlorine in acidic solution is shown in Figure. If the points for Cl^- and any positive oxidation state of chlorine are connected by a straight line, the point for Cl_2 lies below it (if only slightly). Therefore, Cl_2 will not disproportionate. However, E° for the Cl_2/Cl^- couple, 1.36 V, is more positive than E° for the $\text{O}_2/\text{H}_2\text{O}$ couple, 1.23V. Therefore, Cl_2 is thermodynamically capable of oxidizing water as follows, although the reaction is very slow:

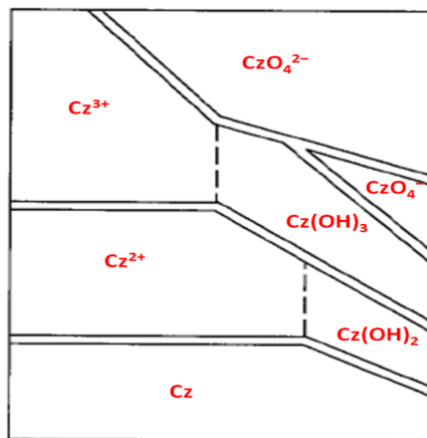


(c) The point for ClO_3^- in acidic solution on the Frost diagram in Figure lies above the single straight line connecting the points for Cl_2 and ClO_4^- . Therefore, since ClO_3^- is thermodynamically unstable with respect to disproportionation in acidic solution (i.e. it should disproportionate), the failure of it to exhibit any observable disproportionation must be due to a **kinetic barrier**.



27.

A new element, cannizzarium (Cz) has just discovered. Careful electrochemical measurements have established the Pourbaix diagram (Figure 1). The following thermodynamically stable species are involved: Cz^{3+} , Cz^{2+} , Cz(s) , Cz(OH)_3 , Cz(OH)_2 , CzO_4^{2-} and CzO_4^{3-} . Locate each species in the appropriate predominance region in the diagram. (b) Which species is the best reducing agent? (c) Which species is the best oxidizing agent?



ácido	básico	E°
	CzO_4^{2-}	6
	CzO_4^{3-}	5
Cz^{3+}	Cz(OH)_3	3
Cz^{2+}	Cz(OH)_2	2
Cz(s)		0

Cz más reductora

CzO_4^{2-} más oxidante

28.

¿Qué reacción, si sucede alguna, se lleva a cabo cuando se adiciona bromo y yodo a una disolución que contiene KI 1 M y KBr 1 M?



$$E^\circ = 1.07 \text{ V}$$



$$E^\circ = -0.54 \text{ V}$$

$$E = E^\circ - \frac{0.0591}{n} \log \frac{[\text{Br}^-]}{[\text{I}^-]} = 1.07 - (-0.549) - \frac{0.0591}{1} \log \frac{1}{1} = 1.619 \text{ V}$$

El bromo reacciona con prácticamente todo el yoduro presente para formar yodo y bromuro hasta que se alcance el equilibrio, $\log K_e = 27.4 \Rightarrow K_e = 2.5 \times 10^{27}$.

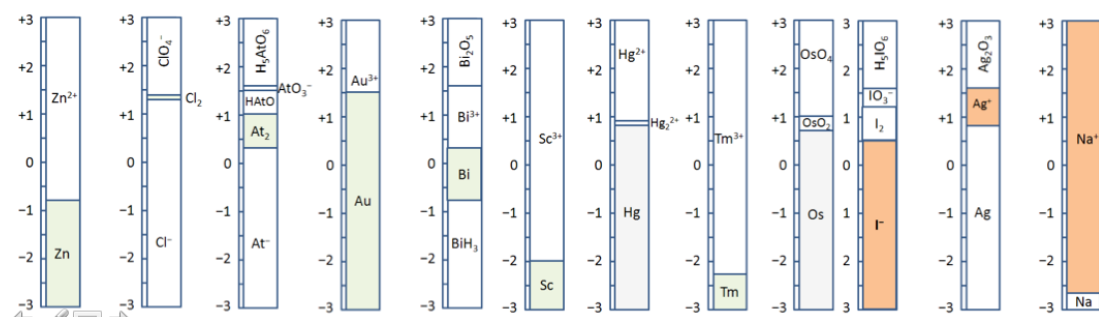
29.

Which of the following elements -Zn, Cl₂, At₂, Au, Bi, Sc, Hg, Tm, Os- will react (a) with a solution of I⁻ to generate I₂; (b) with a solution of Ag⁺ to generate Ag and (c) with a solution of Na⁺ to generate Na?

Zn ²⁺ /Zn	$E^\circ = -0.762$
Cl ₂ /Cl ⁻	$E^\circ = 1.358$
At ₂ /At ⁻	$E^\circ = 0.3$
Au ³⁺ /Au	$E^\circ = 1.498$
Bi ³⁺ /Bi	$E^\circ = 0.308$
Sc ³⁺ /Sc	$E^\circ = -2.03$
Hg ₂ ²⁺ /Hg	$E^\circ = 0.7973$
Tm ³⁺ /Tm	$E^\circ = -2.319$
OsO ₂ /Os	$E^\circ = 0.656$

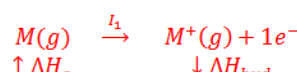


ninguno



30.

- A. Bajo condiciones estándar, el Li es mejor agente reductor que el Cs por 0.12 V. El primer potencial de ionización del Li es más alto que el del Cs, en 35 kcal. Reconcilie la discrepancia que hay en la capacidad de reducción empleando un ciclo termodinámico.



$$\uparrow \Delta H_a \quad \downarrow \Delta H_{hyd}$$



$$\Delta H_f(M^+, aq) = \Delta H_a(M, s) + I_1 M(g) + \Delta H_{hyd}(M^+, g) + \Delta H_{hyd}(e^-, g)$$

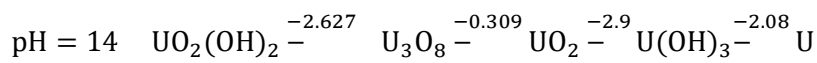
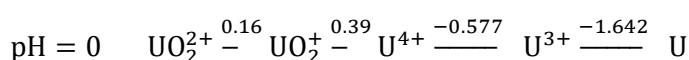
	$\Delta H_f(M^+, aq)$	$\Delta H_a(M, s)$	$I_1(M, g)$	$\Delta H_{hyd}(M^+, g)$
Li	-278.5	+159	520	-538
Cs	-258.3	+77	376	-291

- B. ¿Por qué el calcio es casi equivalente al potasio como agente redutor, a pesar de que el calcio tiene un potencial de ionización desfavorable?

	$\Delta H_f(M^+, aq)$	$\Delta H_a(M, s)$	$I_1(M, g)$	$I_2(M^+, g)$	$\Delta H_{hyd}(M^+, g)$
Ca	-542.8	178	589.8	1145.4	-1653
K	-252.4	+89	418.8	-351	

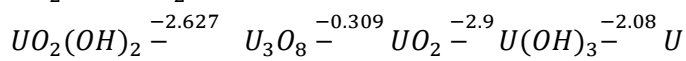
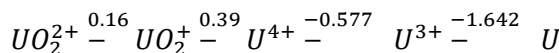
Ex 1

A partir de los diagramas de Latimer del **Uranio** siguientes:

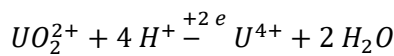


- Indique las especies que desproporcionan y escriba las reacciones de desproporción.
- Construya y comente los diagramas de Frost en ambos medios.
- Complete el diagrama de Pourbaix adjunto, escriba las ecuaciones de las líneas frontera (a - g) y las reacciones de donde provienen.
- Indique el destino sufrido por un vertido de U en: (a) un lago bien aireado y no contaminado; (b) un lago bien aireado pero sometido a la acción de la lluvia ácida.

Uranio NIST POURBAIX

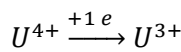


a1.



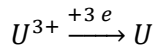
$$E = E^\circ - \frac{0.0591}{2} \log \frac{1}{[\text{H}^+]^4} = 0.273 - 0.1182 \text{pH}$$

a2.



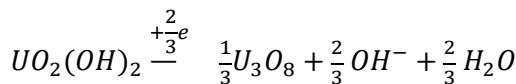
$$E = E^\circ = -0.577$$

a3.



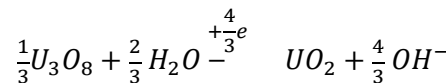
$$E = E^\circ = -1.642$$

b1.



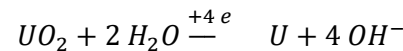
$$E = E^\circ - \frac{0.0591}{\frac{2}{3}} \log [\text{OH}^-]^{\frac{2}{3}} = -0.139 - 0.0591(\text{pH} - 14) = 0.689 - 0.0591 \text{pH}$$

b2.



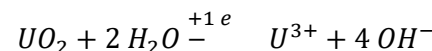
$$E = E^\circ - \frac{0.0591}{\frac{4}{3}} \log [\text{OH}^-]^{\frac{4}{3}} = -0.309 - 0.0591(\text{pH} - 14) = 0.519 - 0.0591 \text{pH}$$

b3.



$$E = E^\circ - \frac{0.0591}{4} \log [\text{OH}^-]^4 = -2.272 - 0.0591(\text{pH} - 14) = -1.444 - 0.0591 \text{pH}$$

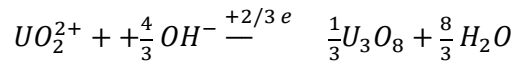
ab1.



$$E = E^{\circ} - \frac{0.0591}{1} \log [OH^-]^4 = E^{\circ} - 0.2364(pH - 14) = -0.85 - 0.2364pH$$

$$E^{\circ} = -1.444 \times 4 + 1.642 \times 3 = -0.85$$

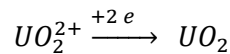
ab2.



$$E = E^{\circ} - \frac{0.0591}{\frac{2}{3}} \log \frac{1}{[OH^-]^{\frac{4}{3}}} = E^{\circ} + 0.1182(pH - 14) = -0.85 - 1182pH$$

$$E^{\circ} = [0.273 \times 2 - 0.577 - 1.642 \times 3 + 1.444 \times 4 - 0.519 \times (4/3)] (2/3) = 0.190$$

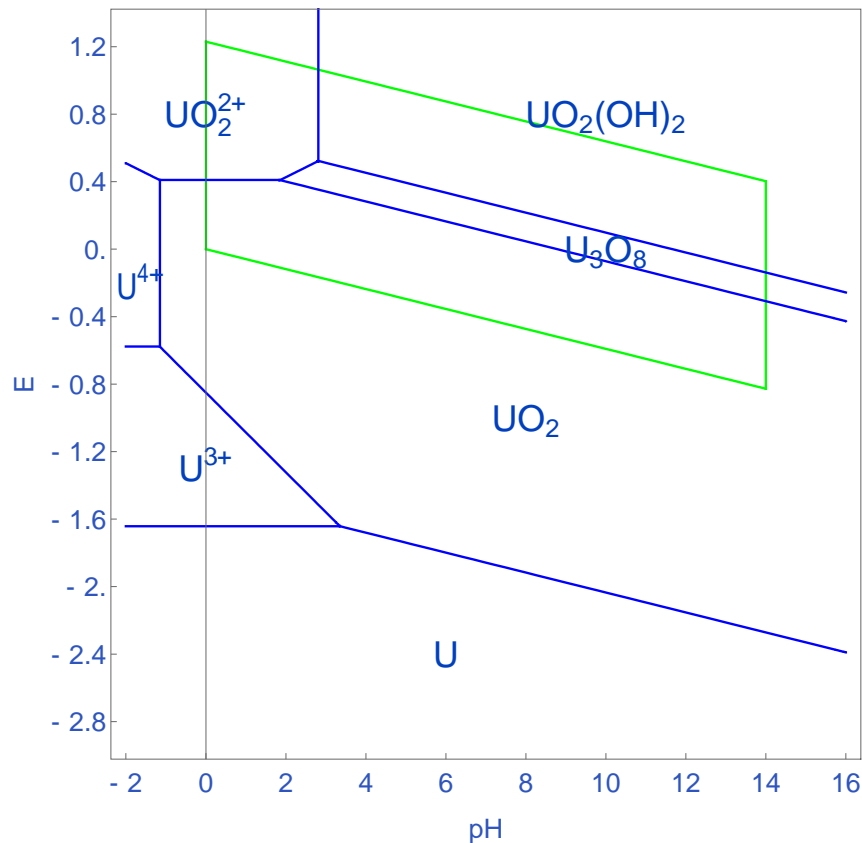
ab3.



$$E = E^{\circ} = 0.4095$$

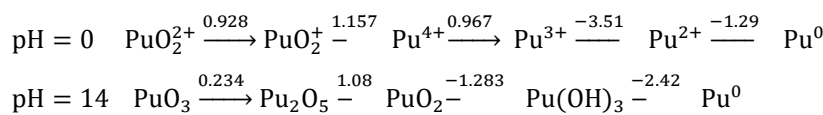
$$E^{\circ} = 0.273 \times 2 - 0.577 - 1.642 \times 3 + 1.444 \times 4 = 0.410$$

U Pourbaix nist



Ex 2 2013

A partir de los diagramas de Latimer del plutonio:



- Indique las especies que desproporcionan y escriba las reacciones de desproporción.
- Construya y comente los diagramas de Frost en ambos medios.
- Complete el diagrama de Pourbaix adjunto, escriba las ecuaciones de todas las líneas frontera y las semirreacciones de donde provienen.
- Indique el destino sufrido por un vertido de Pu en: i) un lago bien aireado y no contaminado; ii) una turbera.

DATOS:

$$\text{H}_2\text{O} / \text{H}_2, E^\circ = 0.000 \text{ V}; \text{O}_2 / \text{H}_2\text{O}, E^\circ = 1.23 \text{ V}$$

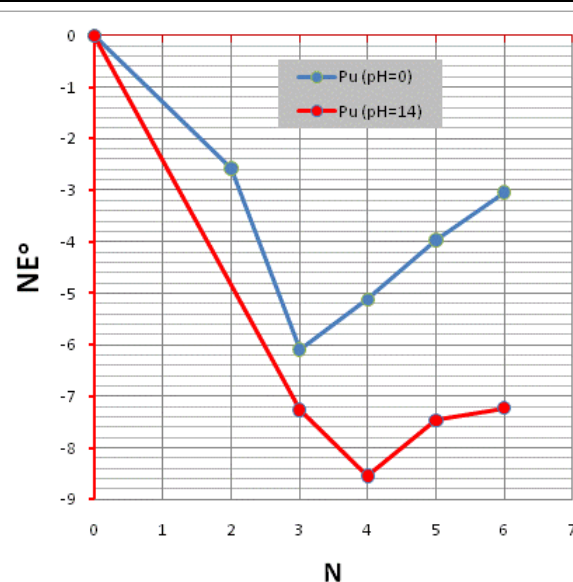
Ex 20140120

- Indique las especies que desproporcionan y escriba las reacciones de desproporción.

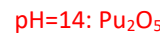


- Construya y comente los diagramas de Frost en ambos medios.

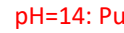
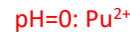
	Pu	NE	pH=0		Pu	NE	pH=14
6	0,928	-3,038	(PuO_2) ²⁺	6	0,234	-7,229	PuO_3
5	1,157	-3,966	(PuO_2) ⁺	5	1,08	-7,463	Pu_2O_5
4	0,967	-5,123	Pu^{4+}	4	-1,283	-8,543	PuO_2
3	-3,510	-6,09	Pu^{3+}	3	-2,42	-7,26	Pu(OH)_3
2	-1,290	-2,58	Pu^{2+}	0	0	0	Pu
0	0,000	0	Pu				



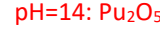
Desproporcionan:



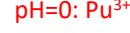
Especies más reducторas:



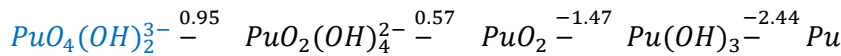
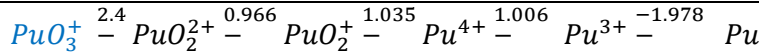
Especies más oxidantes:



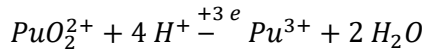
Especies más estables:



- Complete el diagrama de Pourbaix adjunto, escriba las ecuaciones de todas las líneas frontera y las semirreacciones de donde provienen.

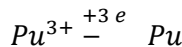


a2.



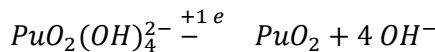
$$E = E^\circ - \frac{0.0591}{3} \log \frac{1}{[H^+]^4} = 1.002 - 0.0788 \text{pH}$$

a3.



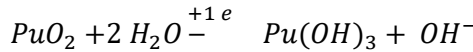
$$E = E^\circ = -1.978$$

b2.



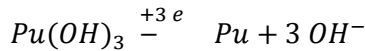
$$E = E^\circ - \frac{0.0591}{1} \log [OH^-]^4 = 0.57 - 0.1182(\text{pH} - 14) = 2.225 - 0.1182 \text{pH}$$

b3.



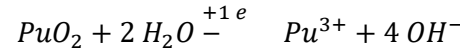
$$E = E^\circ - \frac{0.0591}{1} \log [OH^-] = -1.47 - 0.0591(\text{pH} - 14) = -0.642 - 0.0591 \text{pH}$$

b4.



$$E = E^\circ - \frac{0.0591}{3} \log [OH^-]^3 = -2.52 - 0.0591(\text{pH} - 14) = -1.692 - 0.0591 \text{pH}$$

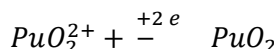
ab1.

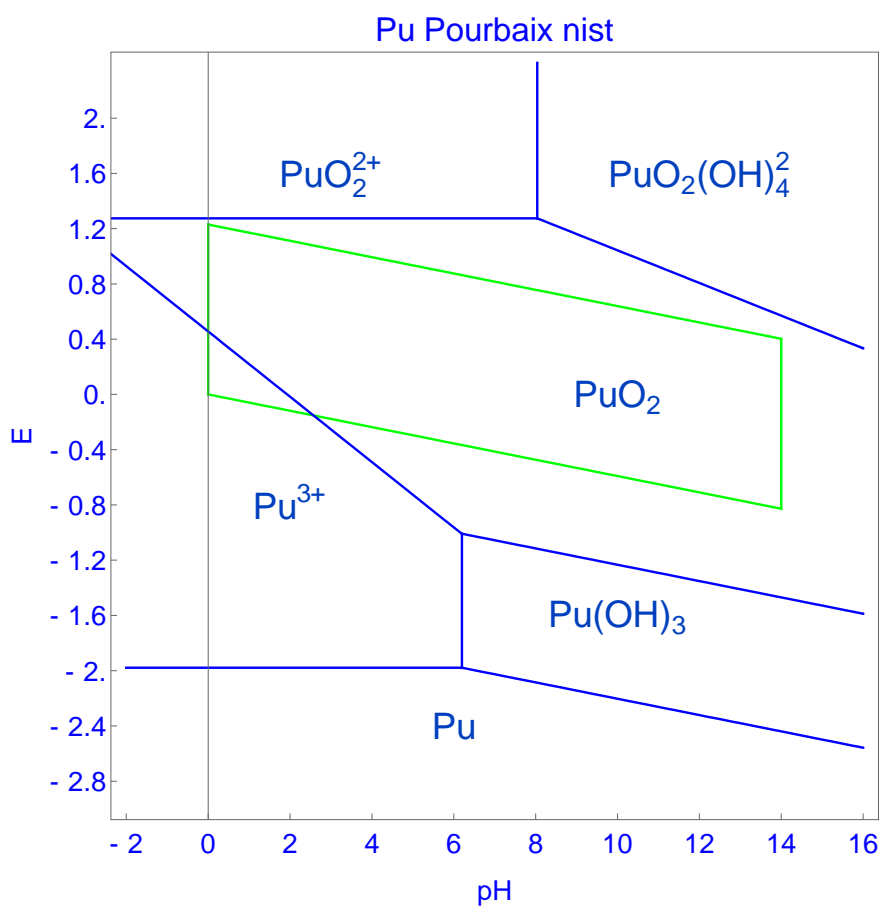


$$E = E^\circ - \frac{0.0591}{1} \log [OH^-]^4 = E^\circ - 0.2364(\text{pH} - 14) = 0.456 - 0.2364 \text{pH}$$

$$E^\circ = -0.642 - 1.612 \times 3 + 1.978 \times 3 = 0.456$$

ab2.





- d. Indique el destino sufrido por un vertido de **Pu** en: a) un lago bien aireado y no contaminado; b) una turbera.
- Lago bien aireado y no contaminado:** pH ~ 6 (medio neutro) y condiciones oxidantes $\Rightarrow \text{PuO}_2$ (precipitado en el fondo del lago).
- Turbera:** pH ~ 3 (medio ácido) y condiciones reductoras $\Rightarrow \text{Pu}^{3+}$, disuelto, muy contaminante.
- e. Señale el área donde es más probable que tenga lugar pasivación de este metal.

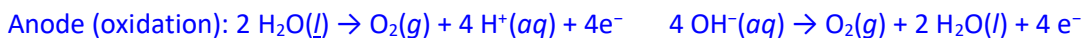
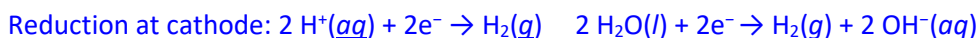
Tema 6. Hidrógeno

RAZONAD TODAS LAS RESPUESTAS

1.

Write equations for the following processes, noting appropriate conditions:

(a) electrolysis of water



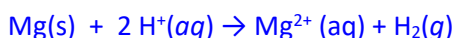
(b) electrolysis of molten LiH



(c) CaH₂ reacting with water



(d) Mg treated with dilute nitric acid



(e) combustion of H₂



(f) reaction of H₂ with CuO.



2.

A. Name and classify the following hydrogen compounds:

- (a) BaH₂, (b) SiH₄, (c) NH₃, (d) AsH₃, (e) PdH_{0.9}, (f) HI.

nombre	carácter	estado	
(a) BaH ₂	hidruro de bario	iónico	sólido
(b) SiH ₄	silano	covalente	gas
(c) NH ₃	amoniaco	covalente	gas
(d) AsH ₃	arsina	covalente	gas
(e) PdH _{0.9}	hidruro de paladio	metálico	sólido
(f) HI	yoduro de hidrógeno	covalente	gas

B. Identify the compounds from Exercise A that provide the most pronounced example of the following chemical characteristics and give a balanced equation that illustrates each of the characteristics: (a) hydridic character, (b) Brønsted acidity, (c) variable composition, (d) Lewis basicity.

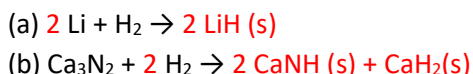
- | | | |
|--------------------------|--------------------|---------------------|
| (a) hydridic character | BaH ₂ | hidruro de bario |
| (b) Brønsted acidity | HI | yoduro de hidrógeno |
| (c) variable composition | PdH _{0.9} | hidruro de paladio |
| (d) Lewis basicity | NH ₃ | amoniaco |

C. Divide the compounds in Exercise A into those that are solids, liquids, or gases at room temperature and pressure. Which of the solids are likely to be good electrical conductors?

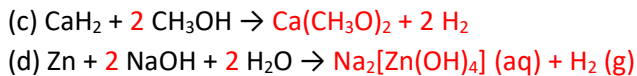
- (a) BaH₂ (s); (b) SiH₄ (g); (c) NH₃ (g); (d) AsH₃ (g); (e) PdH_{0.9}, (s); (f) HI (g).

Conductor: e) PdH_{0.9}

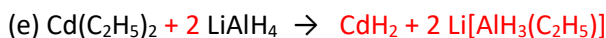
3. Complete y ajuste las reacciones siguientes:



Metal imides (Li_2NH , CaNH) were synthesized by ball milling of their respective metal nitrides (Li_3N , Ca_3N_2) in a H_2 atmosphere at 1 MPa and at room temperature. (Chem. Commun. , 2004, 2210–2211). Zeitschrift fuer Anorganische und Allgemeine Chemie (1996) 622, 2079–2082

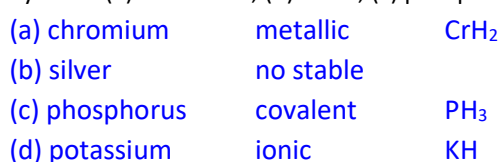


<http://www.nuffieldfoundation.org/practical-chemistry/reaction-between-zinc-and-copper-oxide>



In the BH_4^- and AlH_4^- anions, the hydrogen atoms are arranged tetrahedrally around the boron or aluminum and retain significant hydride or electron-rich character. For this reason, the complex hydrides have achieved significant and broad use as reducing agents in many different areas of chemistry. In ADVANCES IN INORGANIC CHEMISTRY AND RADIOCHEMISTRY, Volumen 8, H. J. Emeleus, A. G. Sharpe, Eds.) Academic Press, New York, 1966

4. A. Which of the following elements is likely to form an ionic, metallic, or covalent hydride or no stable hydride: (a) chromium; (b) silver; (c) phosphorus; (d) potassium?



iónicos		metálicos												covalentes				
1	2	3	4	5	6	7	8	9	10	11	12	13	14	15	16	17		
H_2																		
LiH	BeH ₂																	
NaH	MgH ₂																	
KH	CaH ₂	ScH ₂ ScH _{2.9}	TiH TiH ₂ TiH _x	VH ₂ V ₂ H	CrH	MnH	FeH	CoH _x	NiH NiH _x Ni ₂ H	CuH	Zn	Ga ₂ H ₆	GeH ₄	AsH ₃	H ₂ Se	HBr		
RbH	SrH ₂	YH YH ₂ YH ₃ YH _x	ZrH ZrH ₂	NbH _x NbH ₂	MoH	Tc ₂ H _{0.9}	Ru	RhH	PdH PdH _x	Ag	Cd	InH ₃	SnH ₄	SbH ₃	H ₂ Te	HI		
CsH	BaH ₂	LaH ₂ LaH ₃	HfH ₂	TaH Ta ₂ H TaH _x	W	Re	Os	Ir	Pt	Au	Hg	TiH TiH ₂ TiH ₃	PbH ₄	BiH ₃	PoH ₂	At		
Fr	Ra	AcH ₂	Rf	Db	Sg	Bh	Hs	Mt	Uun	Uuu	Uub		Uuq		Uuh			

- B. Write the expected formulas for the hydrides of the Period 4 main group elements from potassium to bromine. What is the trend in the formulas? In what way are the first two members of the series different from the others?

4	KH	CaH ₂	ScH ₂	TiH	VH ₂	CrH	MnH	FeH	CoH _x	NiH	CuH	Zn	Ga ₂ H ₆	GeH ₄	AsH ₃	H ₂ Se	HBr
	Iónicos	Metálicos												Polim.	Covalentes		

5. KMgH₃ crystallizes with a CaTiO₃-type structure. Draw a diagram to show a unit cell of KMgH₃. What is the coordination number of each atom? List the bond distances.

BCS File Format

```
#H3 K1 Mg1 :: PM-3M :: CC=638209
221
4.025 4.025 4.025 90.0 90.0 90.0
3
H 1 3c 0 0.5 0.5
K 1 1a 0 0 0
Mg 1 1b 0.5 0.5 0.5
```

Celda cúbica primitiva, don los iones K⁺ ocupan los vértices de la misma, el ion Mg²⁺ se sitúa en el interior de la celda y los hidruros ocupan los centros de las caras.

El contenido de la celda unidad es: 1 K⁺, 1 Mg²⁺ y 3 H⁻, por lo tanto, Z = 1.

data_638209-ICSD

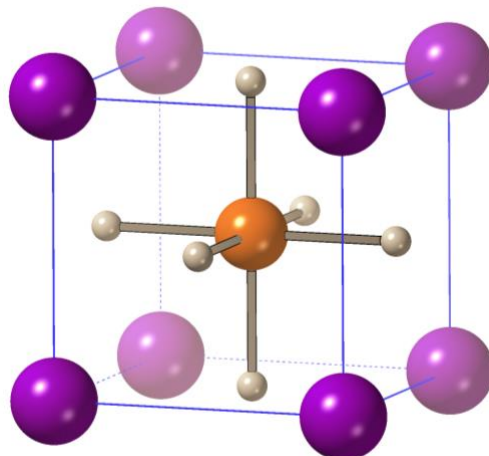
P m-3m (221)

a = 4.025 (1) Å

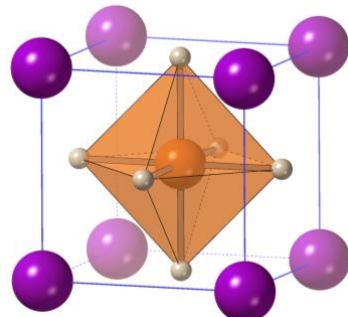
Mg1 - H1 = 2.0125(5) Å = a/2

Mg1 - K1 = 3.4858(5) Å = (a√3)/2

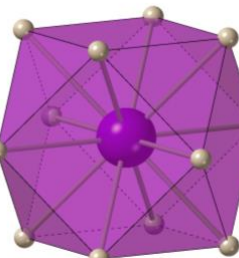
K1 - H1 = 2.8461(5) Å = (a√2)/2



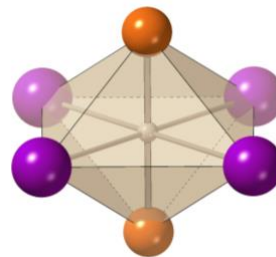
Coordinación:



Mg: OC-6; 6 H

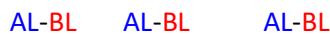
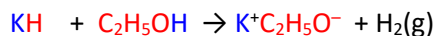
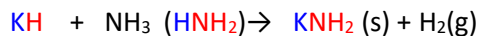


K: CUOC-12; 12 H

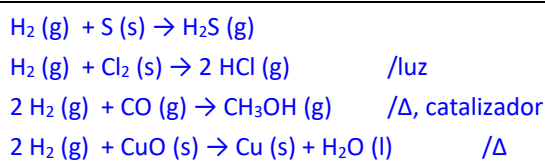


H: OC-6; 2 Mg + 4 K

6. Write equations for the reactions of KH with NH₃ and with ethanol. Identify the conjugate acid–base pairs in each reaction.



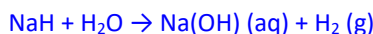
<p>7.</p>	<p>Algunos metales reaccionan con haluros de hidrógeno (HCl) para dar el correspondiente haluro metálico e hidrógeno:</p> $\text{M (s)} + \text{n HX (g)} \rightarrow \text{MX}_n (\text{s}) + \frac{\text{n}}{2} \text{H}_2 (\text{g})$ <p>a. Si la energía libre de formación de HCl (g) es de $-95.1 \text{ kJ mol}^{-1}$, ¿cuál debe ser la del haluro metálico para que la reacción sea espontánea?</p> $\text{M (s)} + \text{n HX (g)} \rightarrow \text{MX}_n (\text{s}) + \frac{\text{n}}{2} \text{H}_2 (\text{g})$ $\Delta G_{\text{reacción}} = \Sigma \Delta G_{\text{productos}} - \Sigma \Delta G_{\text{reactivos}} =$ $\Delta G_{\text{reacción}} = \Delta G(\text{MX}_n) - \text{n} \Delta G(\text{HX}) < 0 \Rightarrow \Delta G(\text{MX}_n) < \text{n} \Delta G(\text{HX})$ $\Rightarrow \Delta G(\text{MX}_n) < \text{n} * (-95.1 \text{ kJ mol}^{-1})$ <p>b. ¿Cuál(es) de los siguientes metales darán hidrógeno cuando reaccionan con HCl (g): Ba, Pb, Hg, Ti?</p> <ul style="list-style-type: none"> • Ba, $E^\circ(\text{Ba}^{2+} \rightarrow \text{Ba}) = -2.91 \text{ V}$ • Pb, $E^\circ(\text{Pb}^{2+} \rightarrow \text{Pb}) = -0.125 \text{ V}$ • Hg, $E^\circ(\text{Hg}_2^{2+} \rightarrow \text{Hg}) = +0.796 \text{ V}$ • Ti, $E^\circ(\text{Ti}^{2+} \rightarrow \text{Ti}) = -1.63 \text{ V}$ • Ba y Ti darían hidrógeno al reaccionar con HCl. <p>The surface of metallic lead is protected by a thin layer of lead oxide, PbO. This renders the lead essentially insoluble in sulphuric acid, and so, in the past, a useful container of this acid. Lead reacts slowly with hydrochloric acid and nitric acid, HNO_3. In the latter case, nitrogen oxides are formed together with lead(II) nitrate, $\text{Pb}(\text{NO}_3)_2$.</p> <p>Titanium metal does not react with mineral acids at ambient temperature but does react with hot hydrochloric acid to form titanium(III) complexes.</p>
<p>8.</p>	<p>A. Describa los diferentes tipos de hidruros que se forman cuando el hidrógeno reacciona con los siguientes elementos o compuestos: a) Na, b) Ca, c) CO, d) N_2, e) S, f) Cl_2, g) CuO.</p> <p>Las cuatro clases de compuestos binarios del H son:</p> <p>Metálicos</p> <ul style="list-style-type: none"> • Los hidruros intersticiales se forman con metales y aleaciones. Enlace metálico, se mantienen las propiedades metálicas pero aumenta la fragilidad del metal. Sistemas no-estequiométricos <p>Salinos (iónicos)</p> <ul style="list-style-type: none"> • Son sólidos iónicos que contienen el ion H^- y son análogos a los haluros salinos. La电解sis de disoluciones de hidruros salinos en haluros alcalinos fundidos produce H_2 en el ánodo. <p>Moleculares</p> <ul style="list-style-type: none"> • Los hidruros covalentes son compuestos moleculares del hidrógeno con los elementos no metálicos de los grupos 13-17. <p>Poliméricos</p> <ul style="list-style-type: none"> • Be, Al y C forman hidruros poliméricos <p>En el BeH_2, cada Be ocupa un centro tetraédrico, dando lugar a una estructura 3D</p> <p>La estructura del AlH_3 consiste en una red infinita 3D, en la cual cada Al(III) está en un cetro octaédrico AlH_6, y los H puentean pares de Al.</p> <p>El grafito reacciona con H_2 a altas presiones para dar un compuesto polimérico bidimensional.</p> <p>B. Escriba las ecuaciones de las reacciones.</p> <p>Salinos (salt-like)</p> $\text{H}_2 (\text{g}) + 2\text{Na} (\text{s}) \rightarrow 2 \text{NaH} (\text{s})$ $\text{H}_2 (\text{g}) + \text{Ca} (\text{s}) \rightarrow \text{CaH}_2 (\text{s})$ <p>Moleculares</p> $3 \text{H}_2 (\text{g}) + \text{N}_2 (\text{g}) \rightarrow 2 \text{NH}_3 (\text{g}) \quad / \Delta, \text{ presión, catalizador}$



9. (a) Describe in detail the bonding which occurs in the compounds formed between hydrogen and
- (i) sodium (in sodium hydride): NaH, compuesto iónico formado por una red de cationes Na⁺ y aniones H⁻ con estructura tipo halita.
 - (ii) carbon (in methane): CH₄, compuesto covalente molecular, apolar, gas, con una geometría tetraédrica
 - (iii) nitrogen (in ammonia): NH₃, compuesto covalente molecular, polar, gas, con una geometría piramidal.

(b) Describe the reactions, if any, which take place between water and the hydrides of the elements in (a).

NaH: reacción violenta se produce la formación H₂(g) y una disolución de NaOH



CH₄: no tiene lugar reacción

NH₃: reacción de hidrólisis para dar una disolución alcalina.



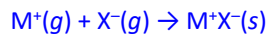
(c) Comment upon the significance of the relative values of the following boiling points of the halogen hydrides:

HF	HCl	HBr	HI
19.5	-85	-67	-36 (°C)

Los puntos de ebullición dependen de las fuerzas intermoleculares, todos los compuestos son covalentes moleculares, cuyas moléculas se unen por interacciones dipolo-dipolo, excepto el HF que forma enlace de hidrógeno fuertes.

-
10. The hydride ion is sometimes considered similar to a halide ion; for example, the lattice energies of sodium hydride and sodium chloride are $-808 \text{ kJ}\cdot\text{mol}^{-1}$ and $-788 \text{ kJ}\cdot\text{mol}^{-1}$, respectively. However, the enthalpy of formation of sodium hydride is much less than that of a sodium halide, such as sodium chloride. Use the data tables in the appendices to calculate enthalpy of formation values for the two compounds and identify the factor(s) that cause the values to be so different.

Looking at a generic Born-Haber cycle, where X = H or Cl, we see that there are two features that differ.



Thus, the enthalpy of formation of the crystal lattice has to be the driving force for the formation of a solid ionic hydride. The ionization energy of a metal cation is always positive. It is in the theoretical enthalpy change of formation of chloride ion with that of hydride ion where the crucial difference arises:

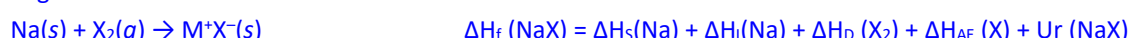


$$\Delta H = -248 \text{ kJ}\cdot\text{mol}^{-1}$$



$$\Delta H = +149 \text{ kJ}\cdot\text{mol}^{-1}$$

With the H—H bond much stronger than the Cl—Cl bond and a much lower electron affinity of hydrogen than chlorine, anion formation for the hydride ion is significantly positive, whereas that for chloride is very negative.



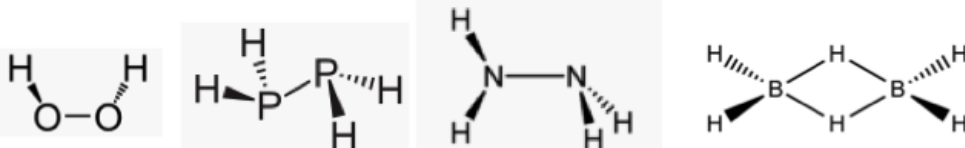
$$\Delta H_f(\text{NaH}) = \Delta H_s(\text{Na}) + \Delta H_i(\text{Na}) + 149 + (-808) = \text{cte} - 659$$

$$\Delta H_f(\text{NaCl}) = \Delta H_s(\text{Na}) + \Delta H_i(\text{Na}) - 248 + (-788) = \text{cte} - 1036$$

$$\Delta H_f(\text{NaCl}) - \Delta H_f(\text{NaH}) = -377 \text{ kJ}\cdot\text{mol}^{-1}$$

11. Predict which of the following hydrides is likely to be strongly hydrogen bonded and so deduce the likely phases of each of the hydrides at room temperature: (a) H_2O_2 ; (b) P_2H_4 ; (c) N_2H_4 ; (d) B_2H_6 .

	H_2O_2	P_2H_4	N_2H_4	B_2H_6
Melting point ($^{\circ}\text{C}$)	-0.43	-99	2	-164.85
Boiling point ($^{\circ}\text{C}$)	150.2	52	114	-92.5
H-bonding	Yes	No	Yes	No



12. Explain the following observations.

(a) Interstitial hydrides are less dense than the parent metal.

In interstitial hydrides, the hydrogen atoms are occupying spaces between the metal atoms. This can result in the lattice swelling and hence a lower density.

(b) Interstitial hydrides have variable composition

(c) Interstitial hydrides are poorer conductors of electricity than the parent metal.

Interstitial hydrides most commonly exist within metals or alloys. Their bonding is generally considered metallic. Such bulk transition metals form interstitial binary hydrides when exposed to hydrogen. These systems are usually non-stoichiometric, with variable amounts of hydrogen atoms in the lattice.. Palladium absorbs up to 900 times its own volume of hydrogen at room temperatures

(d) Ionic hydrides are denser than the parent metal.

In ionic hydrides, the metals are present as the cation. The ionic radius of a metal is always much smaller than that of the metallic radius. For ionic hydrides, it is sometimes better to consider that the lattice consists of the hydride ions with the metal cations occupying the interstices. As a result, the density of the ionic solid could be higher than that of the metal itself.

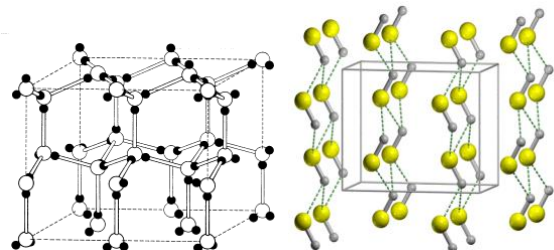
13. The IR spectrum of a 0.01 M solution of tertbutanol in CCl_4 shows a sharp peak at 3610 cm^{-1} ; in the IR spectrum of a similar 1.0 M solution, this absorption is much diminished in intensity, but a very strong, broad peak at 3330 cm^{-1} is observed. Rationalize these observations.

- Cuando las disoluciones son muy diluidas el tertbutanol no puede formar enlaces de hidrógeno con otras moléculas de alcohol y por lo tanto la vibración del enlace O-H aparece como una señal aguda situada a 3610 cm^{-1} en el espectro IR. Cuando la concentración es más elevada se producen interacciones de enlace de hidrógeno entre moléculas de alcohol, esto implica un debilitamiento del enlace O-H y por lo tanto su señal aparece en el IR a números de onda menores.

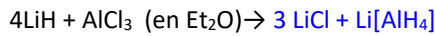
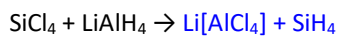
Cambios espectrales. Uno de los cambios más significativos que se observan en la formación de enlaces de hidrógeno por los grupos O – H o N – H es el que se produce en el espectro infrarrojo. Como resultado de la interacción, el enlace O – H o N – H se debilita y alarga ligeramente, y la posición de la banda correspondiente a la vibración de tensión se desplaza a números de onda más bajos. Esto ocurre independientemente de si las moléculas se autoasocian o se asocian con otro donante de electrones. Los enlaces vibran al absorber la energía adecuada dando lugar a un espectro característico. Según la fortaleza de los enlaces y la masa de los átomos implicados será necesaria más o menos energía para que se produzca la absorción de la radiación. Además, la simetría de la molécula y la de cada modo normal definen las absorciones activas, por lo que el espectro IR se convierte en una propiedad molecular específica del compuesto en cuestión.

14. A. If the hydrogen bond between a pair of hydrogen and fluorine atoms is the strongest hydrogen bond, why does water have a much higher melting point than hydrogen fluoride?

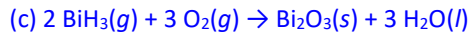
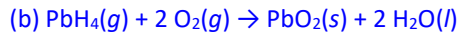
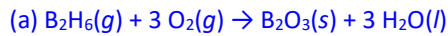
El hielo tiene una estructura tridimensional (3D) basada en la participación de cada molécula de agua en la formación de cuatro EH. En cambio, el HF presenta una estructura monodimensional (1D) de enlaces de hidrógeno con 2 EH por molécula de HF, y con interacciones débiles entre las cadenas.



- B. Suggest products for the following reactions:



- C. Write balanced chemical equations for the air oxidation of (a) B_2H_6 ; (b) PbH_4 ; (c) BiH_3 .



15. The first list below contains the formula of a hydride. Each has a ‘partner’ in the second list of phrases. Match the ‘partners’; there is only one match for each pair. Structural descriptions refer to the solid state.

<u>List 1</u>	<u>List 2</u>
BeH_2	3D lattice with octahedral metal centres
$[\text{PtH}_4]^{2-}$	Non-stoichiometric hydride
NaH	$\text{M}(0)$ complex
$[\text{NiH}_4]^{4-}$	Polymeric chain
$[\text{PtH}_6]^{2-}$	M(IV) complex
$[\text{TcH}_9]^{2-}$	Tricapped trigonal prismatic hydrido complex
$\text{HfH}_{2.1}$	Square planar complex
AlH_3	Saline hydride

16.

El compuesto Sr_2RuH_6 cristaliza en una red tipo CaF_2 donde los iones octaédricos $[\text{RuH}_6]^{4-}$ sustituyen a los iones calcio y los cationes Sr^{2+} reemplazan a los aniones F^- . Dibuje la celda unidad del compuesto e indique que estructura tipo es. Determine las distancias $\text{Ru}-\text{Ru}$, $\text{Sr}-\text{Sr}$ y $\text{Ru}-\text{Sr}$ y $\text{Ru}-\text{H}$ más cortas.

Sr_2RuH_6	átomo	x/a	y/b	z/c
ICSD: 655142	H1	0.223	0	0
Fm3-m	Ru1	0	0	0
a: 7.60 Å	Sr1	0.25	0.25	0.25

Moyer, R.O.jr.; Stanitski, C.; Tanaka, J.; Kay, M.I.; Kleinberg, R. $\text{H}_6\text{Ru}_1\text{Sr}_2$. *J. Solid State Chem.*, 1971, 3, 541.

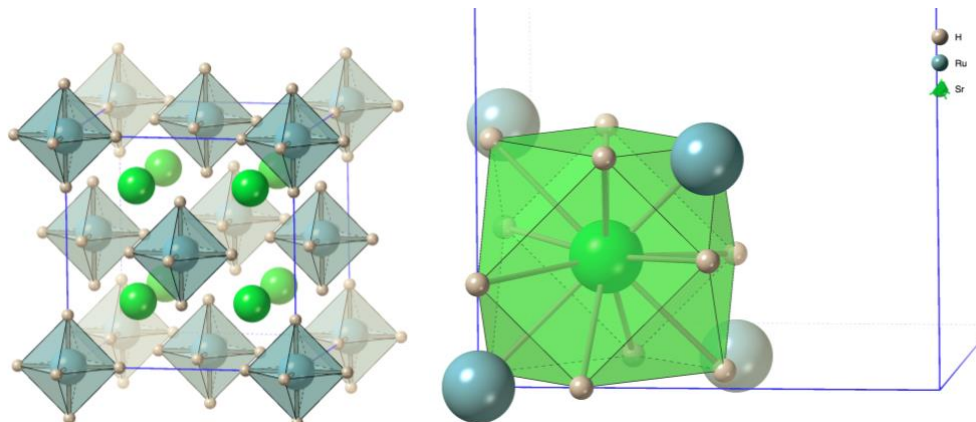
Fm3-m

a: 7.60 Å

V: 438.98 Å³

El compuesto presenta un empaquetamiento cúbico compacto de iones octaédricos RuH_6^{2-} por lo que se sitúan en los vértices y los centros de las caras de la celda unidad. Los cationes Sr^{2+} ocupan todos los huecos tetraédricos de la celda. El contenido de la celda es 4 RuH_6^{2-} aniones y 8 cationes Sr^{2+} por lo que, Z = 4 Sr_2RuH_6 .

$$Dx = \frac{Z \times PM}{V \times N_A} = \frac{4 \times (101.07 + 6 \cdot 1.008 + 2 \cdot 87.62)}{438.98 \times 6.022} = 4.272 \text{ Mg} \cdot \text{m}^{-3}$$



$$d(\text{Ru} - \text{Ru}) = \frac{a\sqrt{2}}{2} = \frac{7.60\sqrt{2}}{2} = 5.374 \text{ Å}$$

$$d(\text{Sr} - \text{Sr}) = \frac{a}{2} = \frac{7.60}{2} = 3.800 \text{ Å}$$

$$d(\text{Sr} - \text{Ru}) = \frac{a\sqrt{3}}{4} = \frac{7.60\sqrt{4}}{4} = 3.291 \text{ Å}$$

$$d(\text{Ru} - \text{H}) = a \cdot x = 7.60 \cdot 0.223 = 1.695 \text{ Å}$$

La coordinación del rutenio es octaédrica OC-6 y la del estroncio es cuboctaédrica CUOC-12.

17. Describe the important physical differences and a chemical difference between each of the hydrogen compounds of the p-block elements in Period 2 and their counterparts in Period 3.

Energía libre Gibbs de formación, $\Delta_f G^\circ / (\text{kJ mol}^{-1})$ de compuestos binarios de H de los elementos representativos

P G	1	2	13	14	15	16	17		
2	LiH(s)	BeH ₂ (s)	B ₂ H ₆ (g)	CH ₄ (g)	NH ₃ (g)	H ₂ O(l)	HF(g)		
3	NaH(s)	MgH ₂ (s)	AlH ₃ (s)	SiH ₄	PH ₃ (g)	H ₂ S(g)	HCl(g)		
	-68.4	(+20)	+86.7	-50.7	-16.5	-237.1	-273.2		
	-33.5	-35.9	(-1)	+56.9	+13.4	-33.6	-95.3		
Estabilidad → Fuerza ácida →								Fuerza ácida →	←Estabilidad

Para el periodo 2 todas las entalpías de formación son exergónicas (excepto BeH₂ y B₂H₆), en el periodo 3 los correspondientes son menos estables (excepto MgH₂ y AlH₃), pues ambos son compuestos iónicos que presentan una energía reticular mayor que los correspondientes del periodo 2, que son o covalente extendido BeH₂ o molecular B₂H₆.

Los hidruros del periodo 2 tienden a ser ácidos de Bronsted más débiles y bases de Bronsted más fuertes que sus correspondientes del periodo 3.

CH₄ es inerte frente al O₂ y el H₂O, pero el SiH₄ reacciona vigorosamente con ambos.

Los ángulos de enlace en los hidruros covalentes del periodo 2 refleja mas la hibridación sp³ que en los homólogos del periodo 3.

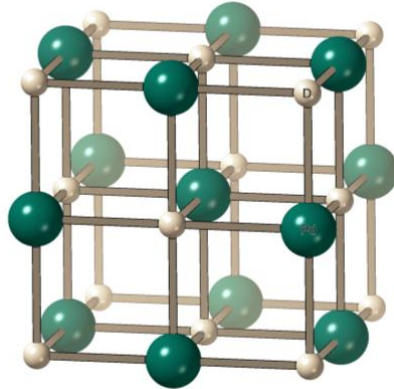
18. El paladio sólido absorbe hidrógeno incluso en condiciones normales hasta un límite estequiométrico de PdH_{0.7}. A altas presiones se absorbe más hidrógeno hasta formas los hidruros binarios PdH o incluso PdH₂. Los datos cristalográficos del PdH se dan a continuación

BCS File Format

```
H1 Pd1 :: FM-3M :: CC=638417
225
4.085 4.085 4.085 90.0 90.0 90.0
H 1 4a 0 0 0
Pd 1 4b 0.5 0.5 0.5
```

- (a) Describa la estructura cristalina y determine el contenido de la celda unidad y la densidad del compuesto;
 (b) Calcule las distancias de enlace Pd-H; (c) Indique los poliedros de coordinación del Pd y del H.

Estructura cúbica centrada en las caras, las posiciones de los H son los vértices y los centros de las caras; las posiciones del paladio son todos los huecos octaédricos (centros de las aristas y el interior de la celda. Basada en un empaquetamiento compacto de H. Se basa en un empaquetamiento cúbico compacto de Pd donde el H ocupa todos los huecos octaédricos.



El contenido de la celda unidad es 4, lo que implica que hay 4 Pd por celda y 4 = 4 H por celda.

$$D_x = [4 \times (106.42 + 1.008)] / [68.167 \cdot 0.6022] = 10.46 \text{ g/cm}^3$$

$$d(\text{Pd-H}) = a/2 = 4.085/2 = 2.043 \text{ \AA}$$

El poliedro de coordinación del Pd es OC-6

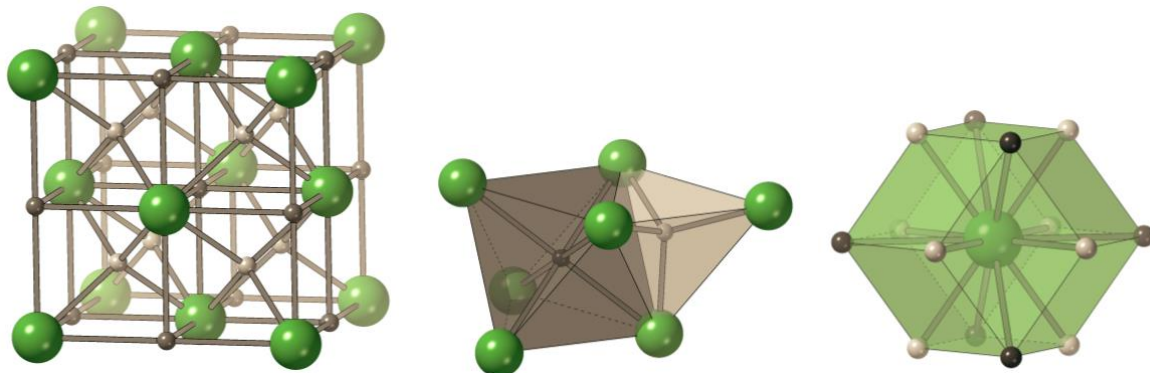
El poliedro de coordinación del H es OC-6

19. Describa la estructura del compuesto LaH₃

BCS File Format

```
#H3 La1 :: FM-3M :: CC=638226
225
5.617 5.617 5.617 90.0 90.0 90.0
3
La 1 4a 0 0 0
H 1 8c 0.25 0.25 0.25
H 2 4b 0.5 0.5 0.5
```

Compuesto que presenta una celda cúbica centrada en las caras, basada en un empaquetamiento cúbico compacto de La, donde los hidruros están ocupando todos los huecos octaédricos (H2) y tetraédricos (H1). El contenido de la celda unidad: 1 La (vértices) + 3 La (c. caras) = 4; 8 H en huecos T y 4 en huecos O = 12. Por lo tanto, el contenido de la celda unidad es Z = 4. El símbolo Pearson es cF16.



$$Dx = \frac{Z \times PM}{V \times N_A} = \frac{4 \times (138.91 + 3 \cdot 1.008)}{5.617^3 \times 0.6022} = 5.3197 \text{ g} \cdot \text{cm}^{-3}$$

$$d(\text{La} - \text{H1}) = \frac{a\sqrt{3}}{4} = \frac{5.617\sqrt{3}}{4} = 2.432 \text{ \AA}$$

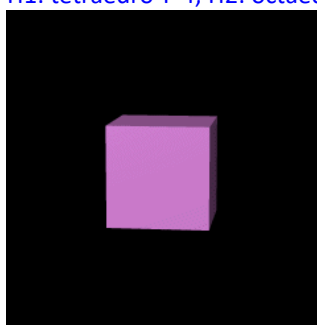
$$d(\text{La} - \text{H2}) = \frac{a}{2} = 2.809 \text{ \AA}$$

$$d(\text{Fe} - \text{Fe}) = \frac{a\sqrt{2}}{2} = \frac{5.617\sqrt{2}}{2} = 3.972 \text{ \AA}$$

$$d(\text{H2} - \text{H1}) = \frac{a\sqrt{3}}{4} = \frac{5.617\sqrt{3}}{4} = 2.432 \text{ \AA}$$

Los poliedros de coordinación son:

H1: tetraedro T-4; H2: octaedro, OC-6; La: rombododecaedro RDD-14



(https://en.wikipedia.org/wiki/Rhombic_dodecahedron)

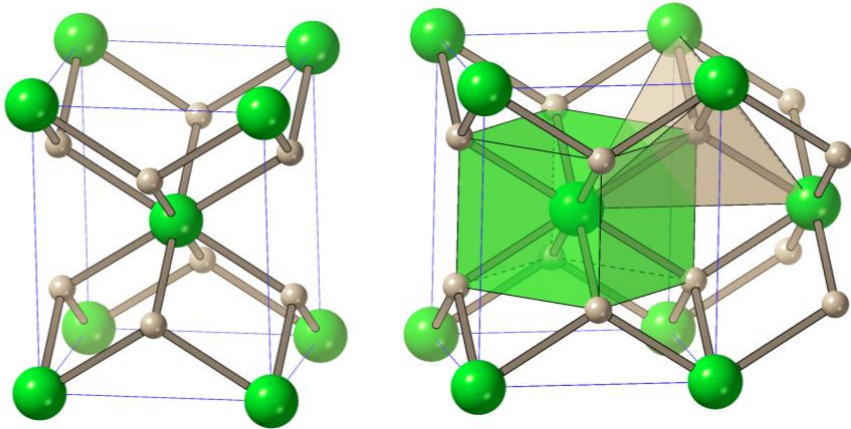
20. Describa la estructura del compuesto ZrH₂

BCS File Format

```
#H2 Zr1 :: I4/MMM :: CC=169457
139
3.50312 3.50312 4.45289 90. 90. 90.
2
Zr 1 2a 0 0 0
H 1 4d 0 0.5 0.25
V = 54.645
```

Compuesto que cristaliza en una celda tetragonal centrada en el cuerpo de lones circonio. Los H se sitúan en las caras no basales 2 por cara puenteando los correspondientes Zr.

El contenido de la celda unidad: 1 Zr (vértices) + 1 Zr (interior) = 2; 8 H (caras) = 4. Por lo tanto, el contenido de la celda unidad es Z = 2. El símbolo Pearson es tI6



$$Dx = \frac{Z \times PM}{V \times N_A} = \frac{2 \times (91.224 + 2 \cdot 1.008)}{2.50312^2 \cdot 4.45289 \times 0.6022} = 5.667 \text{ g} \cdot \text{cm}^{-3}$$

$$d(\text{Zr} - \text{H}) = \sqrt{\left(\frac{a}{2}\right)^2 + (c \cdot 0.25)^2} = \sqrt{\left(\frac{3.50312}{2}\right)^2 + (4.45289 \cdot 0.25)^2} = 2.0754 \text{ \AA}$$

$$d(\text{Zr} - \text{Zr}) = \sqrt{\left(\frac{a\sqrt{2}}{2}\right)^2 + \left(\frac{c}{2}\right)^2} = \sqrt{\left(\frac{3.50312\sqrt{2}}{2}\right)^2 + \left(\frac{4.45289}{2}\right)^2} = 3.3306 \text{ \AA}$$

$$d(\text{H} - \text{H}) = \frac{a\sqrt{2}}{2} = \frac{5.617\sqrt{3}}{4} = 2.477 \text{ \AA}$$

Poliedro de coordinación: Zr coordinación 8, cubo CU-8; H coordinación 4, tetraedro T-4.

21. Describa la estructura del compuesto FeH₃

BCS File Format

```
#H3 Fe1 :: PM-3M :: CC=187146
221
2.215 2.215 2.215 90. 90. 90.
2
Fe 1 1a 0 0 0
H 1 3c 0 0.5 0.5
```

Compuesto que presenta una celda cúbica primitiva (figura 3), donde los Fe se colocan en los vértices de la misma y los H en los centros de las caras. Esto da un contenido de 1 Fe y 3 H por celda, con lo que el contenido de la celda unidad es Z = 1. El símbolo Pearson es cP4.

Alternativamente se puede definir como un empaquetamiento cúbico compacto de capas como las de la figura 1 y 2.

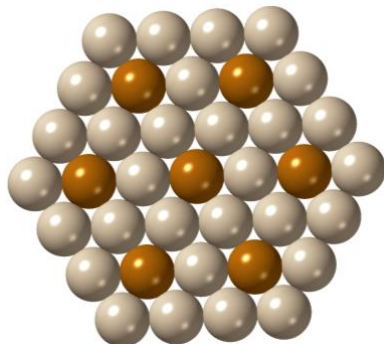


Fig. 1

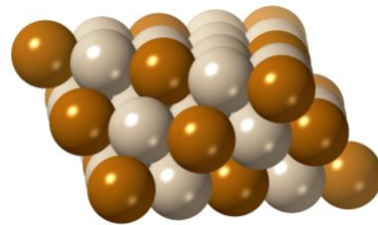


Fig. 2

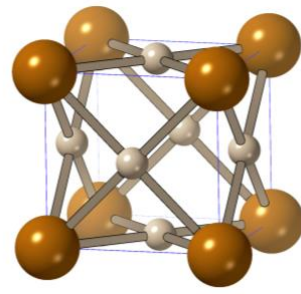


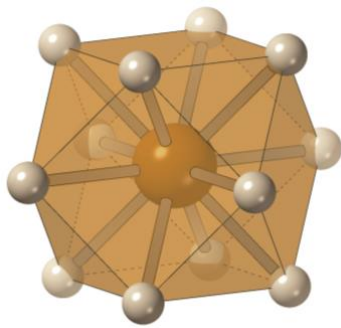
Fig. 3

$$Dx = \frac{Z \times PM}{V \times N_A} = \frac{1 \times (55.845 + 3 \cdot 1.008)}{2.215^3 \times 0.6022} = 8.995 \text{ g} \cdot \text{cm}^{-3}$$

$$d(Fe - H) = \frac{a\sqrt{2}}{2} = \frac{2.215\sqrt{2}}{2} = 1.566 \text{ \AA}$$

$$d(Fe - Fe) = a = 2.215 \text{ \AA}$$

Poliedro de coordinación del Fe CUOC-12, cuboctaedro, poliedro de coordinación del H SP-4, plano cuadrado.



22. Describa la estructura del compuesto MgH₂

BCS File Format

```
#H2 Mg1 :: P42/MNM :: CC=679081
```

```
136
```

```
4.49280 4.49280 3.00370 90 90 90
```

```
2
```

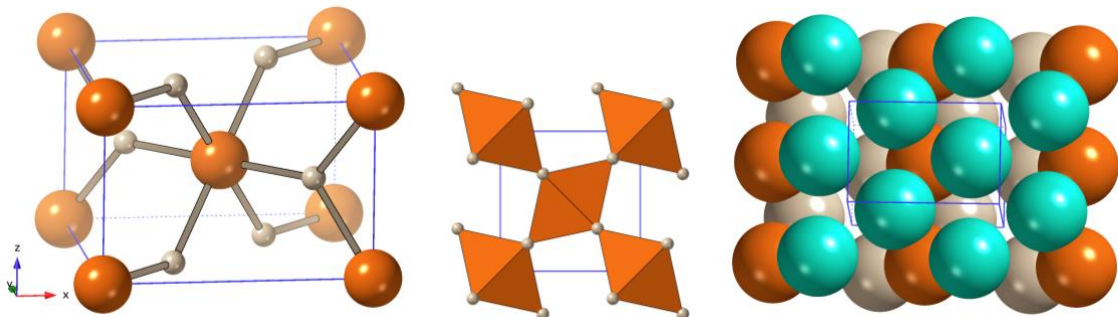
```
Mg 1 2a 0.000000 0.000000 0.000000
```

```
H 1 4f 0.304300 0.304300 0.000000
```

Compuesto que cristaliza en una celda tetragonal aparentemente centrada en el cuerpo de iones magnesio, pero es primitiva debido a la diferente orientación del Mg del interior. Los H se sitúan en las caras basales 2 por cara y otros 2 en el interior.

Alternativamente, se podría describir como un empaquetamiento compacto ligeramente corrugado de hidruros donde los cationes magnesio la mitad de los huecos octaédricos

El contenido de la celda unidad: 1 Mg (vértices) + 1 Mg(interior) = 2; 4 H (caras basales) + 2 (interior) = 4. Por lo tanto, el contenido de la celda unidad es Z = 2. El símbolo Pearson es tI6



$$Dx = \frac{Z \times PM}{V \times N_A} = \frac{2 \times (24.305 + 2 \cdot 1.008)}{4.4928^3 \times 0.6022} = 1.4418 \text{ g} \cdot \text{cm}^{-3}$$

$$d(\text{Mg} - \text{H}_{\text{axial}}) = a \cdot 0.3043 \cdot \sqrt{2} = 1.933 \text{ \AA}$$

Mg: 0.5 0.5 0.5

H: 0.3043 0.3043 0.0

$\Delta x = 0.1957 \Delta y = 0.1957 \Delta z = 0.5$

$$d(\text{Mg} - \text{H}_{\text{equatorial}}) = \sqrt{2 \cdot (a\Delta x)^2 + (c\Delta z)^2} = \sqrt{2 \cdot (4.4928 \cdot 0.1957)^2 + (3.0037 \cdot 0.5)^2} = 1.955 \text{ \AA}$$

$$d(\text{Mg} - \text{Mg}) = \sqrt{\left(\frac{a\sqrt{2}}{2}\right)^2 + \left(\frac{c}{2}\right)^2} = \sqrt{\left(\frac{4.4928\sqrt{2}}{2}\right)^2 + \left(\frac{3.0037}{2}\right)^2} 3.514 \text{ \AA}$$

H: 0.6957 0.6957 0.0

H: 0.3043 0.3043 0.0

$\Delta x = 0.3914 \Delta y = 0.3914 \Delta z = 0.0$

$$d(\text{H} - \text{H}) = \sqrt{2 \cdot (a\Delta x)^2 + (c\Delta z)^2} = \sqrt{2 \cdot (4.4928 \cdot 0.3914)^2 + (3.0037 \cdot 0.0)^2} = 2.4869 \text{ \AA}$$

	Describa la estructura (ICSD 28431)								
23	Cell parameter	3.0581(5) 3.0581(5) 3.0581(5) 90.0 90.0 90.0	Space group	I m -3 m (229)					
	Cell volume	28.59 Å ³	Z	2					
	Crystal system	cubic	Crystal class	m-3m					
	Laue class	m-3m							
	Structure type	W(filled)#NbHx							
	Pearson symbol	cI8							
	Calc. density	4.08 [g/cm ³]							
EL	Lbl	OxState	Wyck Symb	X	Y	Z	SOF	U	
S	1	-2.00	2 a	0.5	0.5	0.5	1.000000	0.05	
H	1	+0.67	6 b	0.0	0.5	0.5	1.000000	0.05	

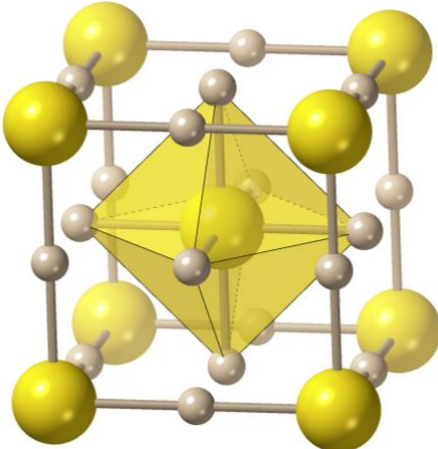
Celda cúbica centrada en el interior del cuerpo (basada en los S). Los hidrógenos se sitúan en los centros de las caras en los centros de las aristas, de tal manera que la coordinación del azufre es OC-6 y la del hidrógeno es L-2.

El contenido de la celda unidad:

$$\text{S: } 1 + 8 \cdot 1/8 = 2$$

$$\text{H: } 6 \cdot 1/2 + 12 \cdot 1/4 = 6$$

El Z es 2 y la fórmula del compuesto es SH₃.



$$Dx = \frac{Z \times PM}{V \times N_A} = \frac{2 \times (32.06 + 3 \cdot 1.008)}{3.0581^3 \times 0.6022} = 4.074 \text{ g} \cdot \text{cm}^{-3}$$

$$d(\text{Mg} - \text{H}_{\text{axial}}) = a \cdot 0.3043 \cdot \sqrt{2} = 1.933 \text{ Å}$$

$$\text{Mg: } 0.5 \ 0.5 \ 0.5$$

$$\text{H: } 0.3043 \ 0.3043 \ 0.0$$

$$\Delta x = 0.1957 \ \Delta y = 0.1957 \ \Delta z = 0.5$$

$$d(\text{Mg} - \text{H}_{\text{equatorial}}) = \sqrt{2 \cdot (a\Delta x)^2 + (c\Delta z)^2} = \sqrt{2 \cdot (4.4928 \cdot 0.1957)^2 + (3.0037 \cdot 0.5)^2} = 1.955 \text{ Å}$$

$$d(\text{Mg} - \text{Mg}) = \sqrt{\left(\frac{a\sqrt{2}}{2}\right)^2 + \left(\frac{c}{2}\right)^2} = \sqrt{\left(\frac{4.4928\sqrt{2}}{2}\right)^2 + \left(\frac{3.0037}{2}\right)^2} = 3.514 \text{ Å}$$

$$\text{H: } 0.6957 \ 0.6957 \ 0.0$$

	H: 0.3043 0.3043 0.0 $\Delta x = 0.3914 \Delta y = 0.3914 \Delta z = 0.0$
--	--

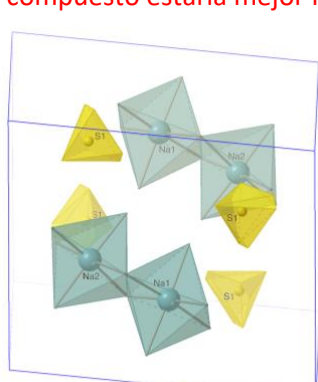
$$d(H - H) = \sqrt{2 \cdot (a\Delta x)^2 + (c\Delta z)^2} = \sqrt{2 \cdot (4.4928 \cdot 0.3914)^2 + (3.0037 \cdot 0.0)^2} = 2.4869 \text{ \AA}$$

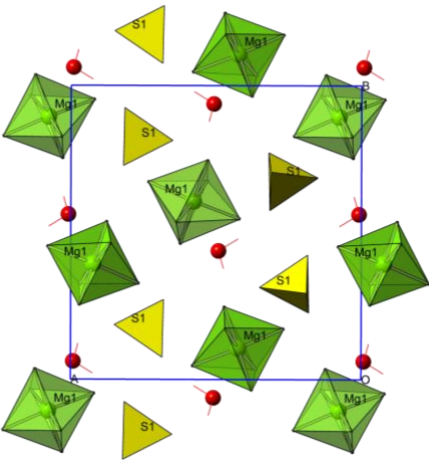
Así que era, pues, hidrógeno: el mismo que se quema en el sol y las estrellas y causa de cuya condensación se forman, en eterno silencio, los universos. Primo Levi

Tema 7 & 8. Metales del bloque s**Problemas****RAZONAD TODAS LAS RESPUESTAS**

1	<p>(a) To extinguish a fire caused by burning lithium metal, would you use water, CO₂, N₂ gas, or sand (SiO₂)?</p> <p>Lithium is a potent reductant that reacts with water to form LiOH and H₂ gas, so adding a source of hydrogen such as water to a lithium fire is likely to produce an explosion. Lithium also reacts with oxygen and nitrogen in the air to form Li₂O and Li₃N, respectively, so we would not expect nitrogen to extinguish a lithium fire. Because CO₂ is a gaseous molecule that contains carbon in its highest accessible oxidation state (+4), adding CO₂ to a strong reductant such as Li should result in a vigorous redox reaction. Thus water, N₂, and CO₂ are all unsuitable choices for extinguishing a lithium fire. In contrast, sand is primarily SiO₂, which is a network solid that is not readily reduced. Smothering a lithium fire with sand is therefore the best choice.</p> <p>a) Both LiNO₃ and CsNO₃ are highly soluble in acetone (2-propanone). Which of these alkali metal salts would you use to precipitate I⁻ from an acetone solution?</p> <p>The salt with the smaller cation has the higher lattice energy, and high lattice energies tend to decrease the solubility of a salt. However, the solvation energy of the cation is also important in determining solubility, and small cations tend to have higher solvation energies. "Solutions" that high solvation energies tend to increase the solubility of ionic substances. Thus CsI should be the least soluble of the alkali metal iodides, and LiI the most soluble. Consequently, CsNO₃ is the better choice.</p> <p>https://2012books.lardbucket.org/pdfs/principles-of-general-chemistry-v1.0m/s25-periodic-trends-and-the-s-bloc.pdf</p>
---	--

2	<p>Explain why LiH has greater thermal stability than the other Group 1 hydrides whereas Li_2CO_3 decomposes at a lower temperature than the other Group 1 carbonates.</p> <table border="1" style="width: 100%; border-collapse: collapse; text-align: center;"> <thead> <tr> <th>Compound</th><th>ΔH_f° (kJ/mol)</th><th>U_r (kJ/mol)</th><th>d M-H (Å)</th><th>mp (°C)</th><th>Compound</th><th>ΔH_f° (kJ/mol)</th><th>mp (°C)</th></tr> </thead> <tbody> <tr> <td>LiH</td><td>-89.1</td><td>916</td><td>2.042</td><td>688.7 d 900</td><td>Li_2CO_3</td><td>-1216.0</td><td>723; d 1310</td></tr> <tr> <td>NaH</td><td>-59.6</td><td>808</td><td>2.440</td><td>d 800</td><td>Na_2CO_3</td><td>-1130.8</td><td>851</td></tr> <tr> <td>KH</td><td>-63.6</td><td>720</td><td>2.850</td><td>d 400</td><td>K_2CO_3</td><td>-1150</td><td>891</td></tr> <tr> <td>RbH</td><td>-47.7</td><td>678</td><td>3.029</td><td>d 170</td><td>Rb_2CO_3</td><td>-1135</td><td>837; d 900</td></tr> <tr> <td>CsH</td><td>-42.6</td><td>644</td><td>3.188</td><td>d 170</td><td>Cs_2CO_3</td><td></td><td>d 610</td></tr> </tbody> </table> <p>The general 'polarising effect' is shown in the diagram below. Think of the M^{n+} cation as the Gp1 or Gp2 cation and the XO_3^{n-} anion as the nitrate ion or the carbonate ion (and think the same way for a hydroxide ion or a sulphate – in fact any 'oxyanion').</p> <p>The electrical field of the cation distorts or polarises the anion, and at the decomposition temperature, a 'residual' oxide ion is attracted to the cation and the rest of the original larger anion is released as a gas or gases.</p> <p>Notes:</p> <ul style="list-style-type: none"> (i) The residual oxide ion is smaller and less polarisable. (ii) These reactions eventually become favourable at higher temperature because of the large increase in the 'systems' entropy when gases formed. (iii) the smaller oxide ion means the resulting oxide has a higher lattice enthalpy than the carbonate or nitrate etc. and increases up the group making the decomposition more favourable. <p>Particularly for the tiny Li^+ and Be^{2+} ions, the polarising effect considerably reduces the stability of their compounds (e.g. BeCO_3 is quite unstable and Li_2CO_3 decomposes on gentle heating).</p>	Compound	ΔH_f° (kJ/mol)	U_r (kJ/mol)	d M-H (Å)	mp (°C)	Compound	ΔH_f° (kJ/mol)	mp (°C)	LiH	-89.1	916	2.042	688.7 d 900	Li_2CO_3	-1216.0	723; d 1310	NaH	-59.6	808	2.440	d 800	Na_2CO_3	-1130.8	851	KH	-63.6	720	2.850	d 400	K_2CO_3	-1150	891	RbH	-47.7	678	3.029	d 170	Rb_2CO_3	-1135	837; d 900	CsH	-42.6	644	3.188	d 170	Cs_2CO_3		d 610
Compound	ΔH_f° (kJ/mol)	U_r (kJ/mol)	d M-H (Å)	mp (°C)	Compound	ΔH_f° (kJ/mol)	mp (°C)																																										
LiH	-89.1	916	2.042	688.7 d 900	Li_2CO_3	-1216.0	723; d 1310																																										
NaH	-59.6	808	2.440	d 800	Na_2CO_3	-1130.8	851																																										
KH	-63.6	720	2.850	d 400	K_2CO_3	-1150	891																																										
RbH	-47.7	678	3.029	d 170	Rb_2CO_3	-1135	837; d 900																																										
CsH	-42.6	644	3.188	d 170	Cs_2CO_3		d 610																																										
3	<p>El hexafluoruro de platino, PtF_6^-, tiene una afinidad electrónica extremadamente grande (772 kJ·mol⁻¹). Sin embargo, cuando se hace reaccionar litio metálico con hexafluoruro de platino se forma el fluoruro de litio y no el LiPtF_6. Sugiera una razón.</p> <p>The PtF_6^- ion must be a very large, low charge anion. Lithium is the smallest of the alkali metal cations. It will not stabilize the large anion; instead it abstracts the fluoride ion. Cesium or any of the other lower alkali metals should form stable compounds, such as CsPtF_6.</p>																																																

4	<p>Suggest products for the following react and write balanced equations for the reactions. Comment on any of these reactions that are important in chemical manufacturing processes.</p> <p>((a) $\text{CaH}_2 + 2\text{H}_2\text{O} \rightarrow \text{Ca(OH)}_2(\text{aq}) + 2\text{H}_2(\text{g})$ (b) $2\text{BeCl}_2 + \text{LiAlH}_4 \rightarrow 2\text{BeH}_2 + \text{LiCl}(\text{s}) + \text{AlCl}_3$ (c) $\text{CaC}_2(\text{s}) + 2\text{H}_2\text{O}(\text{l}) \rightarrow \text{C}_2\text{H}_2(\text{g}) + \text{Ca(OH)}_2(\text{aq})$ (d) $\text{BaO}_2(\text{s}) + \text{H}_2\text{SO}_4(\text{aq}) \rightarrow \text{BaSO}_4(\text{s}) + \text{H}_2\text{O}_2(\text{aq})$ (e) $\text{CaF}_2(\text{s}) + \text{H}_2\text{SO}_4(\text{conc}) \rightarrow \text{HF}(\text{g}) + \text{CaSO}_4(\text{s})$ (f) $\text{MgO}(\text{s}) + \text{H}_2\text{O}_2(\text{l}) \rightarrow \text{MgO}_2(\text{s}) + \text{H}_2\text{O}(\text{l});$ $2\text{MgO} + 2\text{H}_2\text{O}_2 \rightarrow \text{Mg(OH)}_2 + \text{O}_2(\text{g})$ (g) $\text{MgCO}_3(\text{s}) \xrightarrow{\Delta} \text{MgO}(\text{s}) + \text{CO}_2(\text{g})$ (h) $\text{Mg}(\text{s}) + (\text{O}_2 + \text{N}_2 \text{ in air}) \xrightarrow{\Delta} \text{MgO}(\text{s}) + \text{Mg}_3\text{N}_2(\text{s})$</p> <p>11.19 Housecroft</p>												
5	<p>Write balanced chemical equations for each of the following reactions:</p> <p>a) sodium metal with water $2\text{Na}(\text{s}) + 2\text{H}_2\text{O}(\text{l}) \rightarrow 2\text{Na(OH)}(\text{aq}) + \text{H}_2(\text{g})$ (b) rubidium metal with dioxygen $2\text{Rb}(\text{s}) + \text{O}_2(\text{g}) \rightarrow \text{RbO}_2(\text{s})$ (c) solid potassium hydroxide with carbon dioxide $\text{KOH}(\text{s}) + \text{CO}_2(\text{g}) \rightarrow \text{KHCO}_3(\text{s})$ (d) heating solid sodium nitrate $\text{NaNO}_3 \rightarrow \text{NaO}(\text{s}) + \text{NO}_2(\text{g})$</p>												
6	<p>In the Downs cell for the preparation of sodium metal,</p> <p>(a) why can't the electrolysis be performed in aqueous solution? (b) why is calcium chloride added?</p> <p>(a) Because reduction of water requires a lesser potential than that for the reduction of sodium ion. Hence the following reaction would be preferred in aqueous solution: $2\text{H}_2\text{O}(\text{l}) + 2\text{e}^- \rightarrow \text{H}_2(\text{g}) + 2\text{OH}^-(\text{aq})$</p> <p>(b) Adding calcium chloride lowers the melting point of the sodium chloride, making the process commercially feasible.</p>												
7	<p>An alkali metal, designated as M, forms a hydrated sulfate, $\text{M}_2\text{SO}_4 \cdot 10\text{H}_2\text{O}$ (mineral: mirabilite). Is the metal more likely to be sodium or potassium? Explain your reasoning.</p> <table border="0"> <tr> <td>Ion</td> <td>z</td> <td>r_{ion}</td> <td>densidad carga</td> </tr> <tr> <td>Na^+</td> <td>+1</td> <td>116</td> <td>0.059</td> </tr> <tr> <td>K^+</td> <td>+1</td> <td>152</td> <td>0.034</td> </tr> </table> <p>Sodium. Hydration is favored by high charge density cations; and of the two monopositive ions, sodium is the smaller and will have the higher charge density.</p> $\text{densidad de carga}(ion) = \frac{z}{4\pi r_{\text{ion}}^2}$ <p>El compuesto estaría mejor formulado como $[\text{Na}_2(\text{H}_2\text{O})_{10}][\text{SO}_4]$ ICSD:411348</p> 	Ion	z	r_{ion}	densidad carga	Na^+	+1	116	0.059	K^+	+1	152	0.034
Ion	z	r_{ion}	densidad carga										
Na^+	+1	116	0.059										
K^+	+1	152	0.034										

8	<p>Write balanced chemical equations for the following processes:</p> <p>(a) heating calcium in dioxygen $2\text{Ca (s)} + \text{O}_2(\text{g}) \rightarrow 2\text{CaO (s)}$</p> <p>(b) heating calcium carbonate $\text{CaCO}_3(\text{s}) \rightarrow \text{CaO (s)} + \text{CO}_2(\text{g})$</p> <p>(c) evaporating a solution of calcium hydrogen carbonate $\text{Ca}(\text{HCO}_3)_2(\text{aq}) \rightarrow \text{CaCO}_3(\text{s}) + \text{H}_2\text{O (l)} + \text{CO}_2(\text{g})$</p> <p>(d) heating calcium oxide with carbon. $\text{CaO (s)} + \text{C (s)} \rightarrow \text{CaC}_2(\text{s}) + \text{CO (g)}$</p>												
9	<p>The common hydrate of magnesium sulfate is the heptahydrate, $\text{MgSO}_4 \cdot 7\text{H}_2\text{O}$. In the crystal structure, how many water molecules are likely to be associated with the cation? With the anion? Give your reasoning.</p> <p style="text-align: right;">Magnesium sulfate(VI) heptahydrate:</p>  <p style="text-align: right;">CC=29384 Calleri, M.;Gavetti, A.;Ivaldi, G.;Rubbo, M, <i>Acta Crystallographica B</i>, 1984, 40, 218-222</p> <p style="text-align: right;">P2₁2₁2₁ (19) 11.887(2), 12.013(2), 6.861(1) Å, V=979.74 R=0.030 TEM =295 K</p> <p style="text-align: right;">The formula is actually $[\text{Mg}(\text{H}_2\text{O})_6]^{2+}[\text{SO}_4]^{2-} \cdot \text{H}_2\text{O}$</p>												
10	<p>(a) Write an equation for the decay of ${}^{40}\text{K}$ by loss of a positron.</p> <p>(b) Determine the volume of gas produced when 1 g of ${}^{40}\text{K}$ decays according to this equation.</p> <p>(c) The decay of ${}^{40}\text{K}$ is the basis of a method for dating rock samples. Suggest how this method works.</p> <p>(a) D. W. Engelkemeir, K. F. Flynn, and L. E. Glendenin, Positron Emission in the Decay of K40, <i>Phys. Rev.</i> 1962, <i>126</i>, 1818–1822.</p> <p>${}^{40}\text{K} \xrightarrow{\text{positron emission}} {}^{40}\text{Ar} + e^+ + \nu_e$</p> <p>Potassium-40 (${}^{40}\text{K}$) is a radioactive isotope of potassium which has a very long half-life of 1.248×10^9 years. Potassium-40 is a rare example of an isotope that undergoes all three types of beta decay. About 89.28% of the time, it decays to calcium-40 (${}^{40}\text{Ca}$) with emission of a beta particle (β^-, an electron) with a maximum energy of 1.33 MeV and an antineutrino. About 10.72% of the time it decays to argon-40 (${}^{40}\text{Ar}$) by electron capture, with the emission of a 1.460 MeV gamma ray and a neutrino. Very rarely (0.001% of the time) it will decay to ${}^{40}\text{Ar}$ by emitting a positron (β^+) and a neutrino.</p> <table style="width: 100%; border-collapse: collapse;"> <thead> <tr> <th style="text-align: left; width: 15%;">nuclide</th> <th style="text-align: left; width: 15%;">Z(p)</th> <th style="text-align: left; width: 15%;">N(n)</th> <th style="text-align: left; width: 15%;">half-life</th> <th style="text-align: left; width: 15%;">Decay modes</th> <th style="text-align: left; width: 15%;">daughter isotopes</th> </tr> </thead> <tbody> <tr> <td style="text-align: left;">${}^{40}\text{K}$</td> <td style="text-align: left;">19</td> <td style="text-align: left;">21</td> <td style="text-align: left;">$1.248(3) \times 10^9$ y</td> <td style="text-align: left;"> β^- (89.28%) EC (10.72%) </td> <td style="text-align: left;"> ${}^{40}\text{Ca}$ ${}^{40}\text{Ar}$ </td> </tr> </tbody> </table>	nuclide	Z(p)	N(n)	half-life	Decay modes	daughter isotopes	${}^{40}\text{K}$	19	21	$1.248(3) \times 10^9$ y	β^- (89.28%) EC (10.72%)	${}^{40}\text{Ca}$ ${}^{40}\text{Ar}$
nuclide	Z(p)	N(n)	half-life	Decay modes	daughter isotopes								
${}^{40}\text{K}$	19	21	$1.248(3) \times 10^9$ y	β^- (89.28%) EC (10.72%)	${}^{40}\text{Ca}$ ${}^{40}\text{Ar}$								

	<p style="text-align: center;">$\beta^+ (0.001\%)$</p> <p>(b)</p> <p>$A(^{40}K) = 39.96399848(21)$</p> $\frac{1}{39.96399848} = 0.0250 \text{ mol } ^{40}K = 0.0250 \text{ mol } ^{40}Ar$ $pV = nRT \Rightarrow V = n \times 22.4L = \mathbf{0.56 L}$ <p>(c) Potassium-40 is especially important in potassium–argon (K-Ar) dating. Argon is a gas that does not ordinarily combine with other elements. So, when a mineral forms — whether from molten rock, or from substances dissolved in water — it will be initially argon-free, even if there is some argon in the liquid. However, if the mineral contains any potassium, then decay of the ^{40}K isotope present will create fresh argon-40, that will remain locked up in the mineral. Since the rate at which this conversion occurs is known, it is possible to determine the elapsed time since the mineral formed by measuring the ratio of ^{40}K and ^{40}Ar atoms contained in it. The argon found in Earth's atmosphere is 99.6% ^{40}Ar; whereas the argon in the Sun — and presumably in the primordial material that condensed into the planets — is mostly ^{36}Ar, with less than 15% of ^{40}Ar. It follows that most of the terrestrial argon derives from potassium-40 that decayed into argon-40, which eventually escaped to the atmosphere.</p>																																				
11	<p>A compound A was isolated from the reaction between a group 1 metal M and O_2. A reacts with water to give only MOH, while M reacts in a controlled manner with water giving MOH and another product, B. Suggest identities for M, A and B. Write equations for the reactions described. Compare the reaction of M with O_2 with those of the other group 1 metals with O_2.</p> <p>All the varieties of oxides are basic and react with water to give the OH^- ion by extraction of H^+ from H_2O in a Lewis acid base reaction:</p> <p><u>oxides</u></p> $Li_2O(s) + H_2O(l) \rightarrow 2 Li^+(aq) + 2 OH^-(aq) = Li(OH)(aq)$ <p><u>peroxides</u></p> $Na_2O_2(s) + 2 H_2O(l) \rightarrow 2 Na^+(aq) + 2 OH^-(aq) + H_2O_2(aq)$ <p><u>superoxides</u> $\Rightarrow M: K, Rb, Cs$</p> $2 MO_2(s) + 2 H_2O(l) \rightarrow 2 M^+(aq) + 2 OH^-(aq) + H_2O_2(aq) + O_2(g)$ <p>Como el único producto es el compuesto A (un hidróxido) M sólo puede ser Li.</p> $4Li(s) + O_2(g) \rightarrow 2 Li_2O(s)$ $2Li(s) + 2H_2O(l) \rightarrow 2LiOH(aq) + H_2(g)$ <p>M: Li; A: Li_2O; B: H_2</p> <table border="1" style="width: 100%; border-collapse: collapse;"> <thead> <tr> <th>G1</th> <th>Oxide</th> <th>Synthesis</th> <th>Estructura</th> <th>M-O (Å);</th> <th>polyhedra</th> </tr> </thead> <tbody> <tr> <td>Li</td> <td>M_2O</td> <td>M+O₂ (exc)</td> <td>anti-CaF₂</td> <td>2.000; T-4</td> <td></td> </tr> <tr> <td>Na</td> <td>M_2O_2</td> <td>M+O₂ (exc)</td> <td>Na₂O₂</td> <td>2.325; 2.369;</td> <td>TPR-6 (1x2+4)</td> </tr> <tr> <td>K</td> <td>MO_2</td> <td>M+O₂ (exc)</td> <td>FeS₂ (NaCl)</td> <td>2.839; 2.721;</td> <td>OC-6 (8eq;2ax)</td> </tr> <tr> <td>Rb</td> <td>MO_2</td> <td>M+O₂ (exc)</td> <td>BaO₂ (CaC₂)</td> <td>2.923; 3.047;</td> <td>OC-6 (8eq;2ax)</td> </tr> <tr> <td>Cs</td> <td>MO_2</td> <td>M+O₂ (exc)</td> <td>BaO₂ (CaC₂)</td> <td>3.079; 3.221;</td> <td>OC-6 (8eq;2ax)</td> </tr> </tbody> </table>	G1	Oxide	Synthesis	Estructura	M-O (Å);	polyhedra	Li	M_2O	M+O ₂ (exc)	anti-CaF ₂	2.000; T-4		Na	M_2O_2	M+O ₂ (exc)	Na ₂ O ₂	2.325; 2.369;	TPR-6 (1x2+4)	K	MO_2	M+O ₂ (exc)	FeS ₂ (NaCl)	2.839; 2.721;	OC-6 (8eq;2ax)	Rb	MO_2	M+O ₂ (exc)	BaO ₂ (CaC ₂)	2.923; 3.047;	OC-6 (8eq;2ax)	Cs	MO_2	M+O ₂ (exc)	BaO ₂ (CaC ₂)	3.079; 3.221;	OC-6 (8eq;2ax)
G1	Oxide	Synthesis	Estructura	M-O (Å);	polyhedra																																
Li	M_2O	M+O ₂ (exc)	anti-CaF ₂	2.000; T-4																																	
Na	M_2O_2	M+O ₂ (exc)	Na ₂ O ₂	2.325; 2.369;	TPR-6 (1x2+4)																																
K	MO_2	M+O ₂ (exc)	FeS ₂ (NaCl)	2.839; 2.721;	OC-6 (8eq;2ax)																																
Rb	MO_2	M+O ₂ (exc)	BaO ₂ (CaC ₂)	2.923; 3.047;	OC-6 (8eq;2ax)																																
Cs	MO_2	M+O ₂ (exc)	BaO ₂ (CaC ₂)	3.079; 3.221;	OC-6 (8eq;2ax)																																

12

A group 2 metal, **M**, dissolves in liquid NH₃, and from the solution, compound **A** can be isolated. **A** slowly decomposes to **B** with liberation of NH₃ and a gas **C**. Metal **M** gives a crimson flame test; through blue glass, the flame appears pale purple. Suggest identities for **M**, **A**, **B** and **C**.

	Be	Mg	Ca	Sr		Ba	Ra
mp/ °C	1287	650	842	777		727	700
bp/ °C	2468	1090	1484	1377		1845	1737
Flame color	White	Brilliant white	Brick-red	Crimson		Apple green	Crimson red

The colours of all glowing substances have the same starting point.

- They come from atoms and molecules that have been excited to states of energy.
- Atoms in burning fireworks and stars have become excited by absorbing energy as heat; then convert that energy into coloured light which is emitted.
- The colours shown by an atom depend on how its electrons are configured.
- Thus, by investigating the colours an atoms of an element emit, we can determine its atomic structure and work out which element it is.

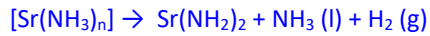
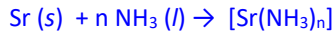
strontium light signature



What is the use of blue cobalt glass in a flame test?

The cobalt glass had turned everything either blue or purple. The purpose of the cobalt glass is to see if there was yellow in the flame then there was sodium present in the flame.

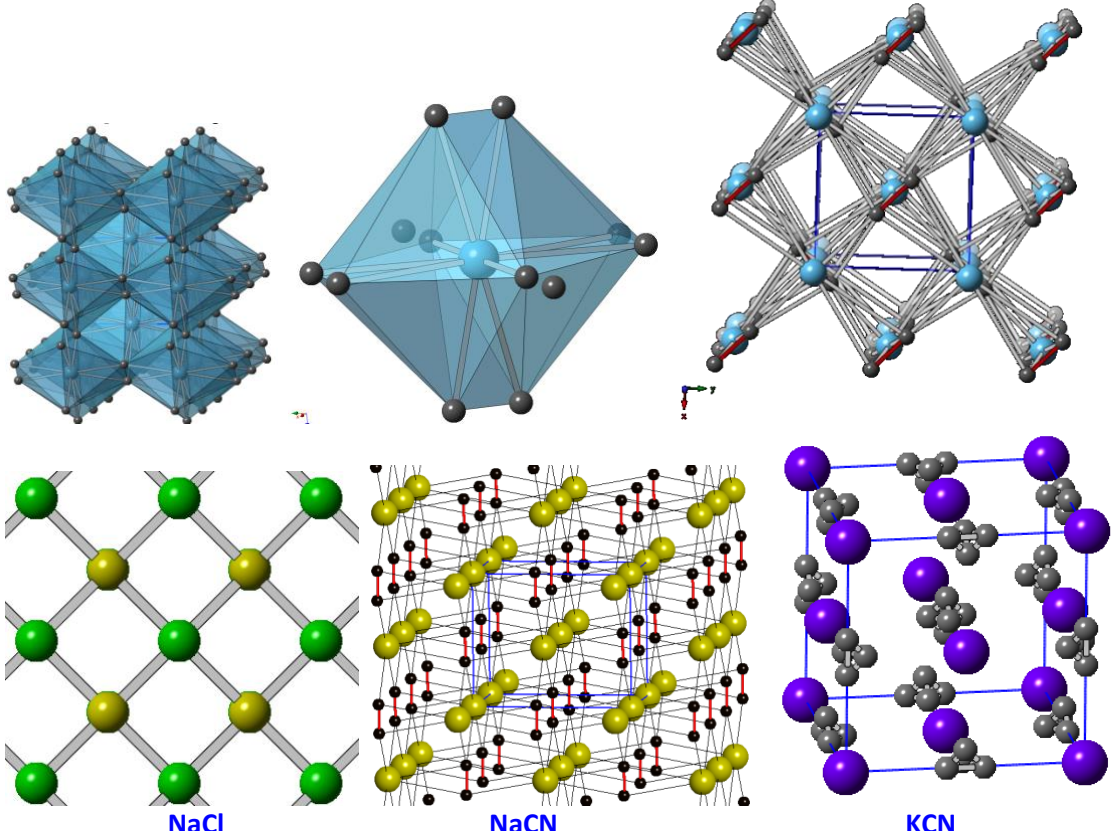
Sodium is so bright of a yellow-orange that it hides all other colors in the flame. the cobalt glass absorbs the wavelength that sodium emits & allows other flame colors to travel through it to your eyes, in particular we are able to see the light color of a potassium flame come through the glass...



M: Sr; **A:** [Sr(NH₃)_n]; **B:** Sr(NH₂)₂; **C:** H₂

Strontium ammonium is decomposed under reduced pressure, slowly at 20° C. and rapidly above that temperature, evolving a mixture of ammonia and hydrogen, and leaving a white mass of Strontium Amide, Sr(NH₂)₂.

13	<p>0.347 g de un metal A se disolvieron en HNO_3 (dil). Esta disolución da una coloración roja al test de la llama de un mechero Bunsen, y por evaporación produce 0,747 g del óxido metálico B. A también reacciona con nitrógeno para formar un compuesto C, con hidrógeno da el compuesto D. Cuando reaccionan 0.1590 g de D con agua se desprende un gas E y se forma un compuesto ligeramente soluble F, que da una disolución fuertemente básica y que requiere para su neutralización 200 mL de HCl 0.1000 M. Identifique las sustancia A a F y explique las reacciones.</p> <p>Las reacciones:</p> $\text{A} + \text{HNO}_3 \text{ (aq)} \rightarrow 2 \text{M}(\text{NO}_3)_x \text{ (aq)} + \text{H}_2\text{(g)}$ $2 \text{M}(\text{NO}_3)_x \text{ (aq)} \rightarrow 2 \text{M}_x\text{O}_y \text{ (s)} + \dots \quad (\text{B})$ $\text{M (s)} + \text{N}_2 \text{ (g)} \rightarrow 2 \text{M}_x\text{N}_y \text{ (s)} \quad (\text{C})$ $\text{M (s)} + \text{H}_2 \text{ (g)} \rightarrow 2 \text{MH}_x \text{ (s)} \quad (\text{D})$ $\text{MH}_x \text{ (s)} + \text{H}_2\text{O (l)} \rightarrow \text{M(OH)}_x \text{ (aq)} + \text{H}_2 \text{ (g)} \quad (\text{E}) + (\text{F})$ <p>Estequímicas posibles del óxido: (1) A_2O; (2) AO</p> <p>(1) n moles de A dan $\frac{1}{2}$ moles de A_2O</p> $\frac{0.347}{A(A)} \times 2 = \frac{0.747}{PM(\text{A}_2\text{O})} = \frac{0.747}{2x + 16} \Rightarrow x = 6.94 = A(\text{Li})$ <p>Por lo tanto junto con el dato del color de la llama podemos decir que el elemento es el Litio</p> $2 \text{Li (s)} + 2 \text{HNO}_3 \text{ (aq)} \rightarrow 2 \text{LiNO}_3 \text{ (aq)} + \text{H}_2\text{(g)}$ $\frac{0.347}{6.939} = 0.050 \text{ mol de Li}$ $4 \text{LiNO}_3 \text{ (aq)} \rightarrow 2 \text{Li}_2\text{O (s)} + 4 \text{NO}_2 \text{ (g)} + \text{O}_2 \text{ (g)}$ $\frac{0.747}{PM(\text{M}_2\text{O})} \times 2 = 0.050 \text{ mol de M} \Rightarrow PM(\text{M}_2\text{O}) = \frac{1.494}{0.050} = 29.88 \Rightarrow M = \text{Li}$ $6 \text{Li (s)} + \text{N}_2 \text{ (g)} \rightarrow 2 \text{Li}_3\text{N (s)}$ $2 \text{Li (s)} + \text{H}_2 \text{ (g)} \rightarrow 2 \text{LiH (s)}$ $\text{LiH (s)} + \text{H}_2\text{O (l)} \rightarrow 2 \text{LiOH (aq)} + \text{H}_2 \text{ (g)}$ $\frac{0.1590}{PM(\text{LiH})} = 0.2 \text{ L} \times 0.100 \text{ M} \Rightarrow PM(\text{LiH}) = \frac{0.1590}{0.020} = 7.95 \Rightarrow MH = \text{LiH}$ $\text{LiOH (aq)} + \text{HCl (aq)} \rightarrow \text{LiCl (aq)} + \text{H}_2\text{O (l)}$ <p>A: Li; B: Li₂O; C: Li₃N; D: LiH; E: H₂; F: LiOH</p>
----	---

14	<p>The first list below contains the formula of a group 1 metal or metal compound. Match these to the descriptions given in the second column.</p> <table border="1" style="width: 100%; border-collapse: collapse;"> <thead> <tr> <th style="text-align: left;">List 1</th><th style="text-align: left;">List 2</th></tr> </thead> <tbody> <tr> <td>Li_3N</td><td>Reacts explosively with water, liberating H_2</td></tr> <tr> <td>NaOH</td><td>Sparingly soluble in water</td></tr> <tr> <td>Cs</td><td>Basic compound with an antifluorite structure</td></tr> <tr> <td>Cs_7O</td><td>Possesses the highest first ionization energy of the group 1 metals</td></tr> <tr> <td>Li_2CO_3</td><td>Formed by direct combination of the elements, and possesses a layer structure</td></tr> <tr> <td>NaBH_4</td><td>Neutralizes aqueous HNO_3 with no evolution of gas</td></tr> <tr> <td>Rb_2O</td><td>Used as a reducing agent</td></tr> <tr> <td>Li</td><td>A suboxide</td></tr> </tbody> </table> <table border="1" style="width: 100%; border-collapse: collapse;"> <thead> <tr> <th style="text-align: left;">a) Li_3N</th><th style="text-align: left;">5) Formed by direct combination of the elements, and possesses a layer structure</th></tr> </thead> <tbody> <tr> <td>b) NaOH</td><td>6) Neutralizes aqueous HNO_3 with no evolution of gas</td></tr> <tr> <td>c) Cs</td><td>1) Reacts explosively with water, liberating H_2</td></tr> <tr> <td>g) Rb_2O</td><td>3) Basic compound with an antifluorite structure</td></tr> <tr> <td>d) Cs_7O</td><td>8) A suboxide</td></tr> <tr> <td>h) Li</td><td>4) Possesses the highest first ionization energy of the group 1 metals</td></tr> <tr> <td>e) Li_2CO_3</td><td>2) Sparingly soluble in water</td></tr> <tr> <td>f) NaBH_4</td><td>7) Used as a reducing agent</td></tr> </tbody> </table>	List 1	List 2	Li_3N	Reacts explosively with water, liberating H_2	NaOH	Sparingly soluble in water	Cs	Basic compound with an antifluorite structure	Cs_7O	Possesses the highest first ionization energy of the group 1 metals	Li_2CO_3	Formed by direct combination of the elements, and possesses a layer structure	NaBH_4	Neutralizes aqueous HNO_3 with no evolution of gas	Rb_2O	Used as a reducing agent	Li	A suboxide	a) Li_3N	5) Formed by direct combination of the elements, and possesses a layer structure	b) NaOH	6) Neutralizes aqueous HNO_3 with no evolution of gas	c) Cs	1) Reacts explosively with water, liberating H_2	g) Rb_2O	3) Basic compound with an antifluorite structure	d) Cs_7O	8) A suboxide	h) Li	4) Possesses the highest first ionization energy of the group 1 metals	e) Li_2CO_3	2) Sparingly soluble in water	f) NaBH_4	7) Used as a reducing agent
List 1	List 2																																		
Li_3N	Reacts explosively with water, liberating H_2																																		
NaOH	Sparingly soluble in water																																		
Cs	Basic compound with an antifluorite structure																																		
Cs_7O	Possesses the highest first ionization energy of the group 1 metals																																		
Li_2CO_3	Formed by direct combination of the elements, and possesses a layer structure																																		
NaBH_4	Neutralizes aqueous HNO_3 with no evolution of gas																																		
Rb_2O	Used as a reducing agent																																		
Li	A suboxide																																		
a) Li_3N	5) Formed by direct combination of the elements, and possesses a layer structure																																		
b) NaOH	6) Neutralizes aqueous HNO_3 with no evolution of gas																																		
c) Cs	1) Reacts explosively with water, liberating H_2																																		
g) Rb_2O	3) Basic compound with an antifluorite structure																																		
d) Cs_7O	8) A suboxide																																		
h) Li	4) Possesses the highest first ionization energy of the group 1 metals																																		
e) Li_2CO_3	2) Sparingly soluble in water																																		
f) NaBH_4	7) Used as a reducing agent																																		
15	<p>The structure of magnesium carbide, MgC_2, is of the NaCl type, elongated along one axis. (a) Explain how this elongation arises. (b) What do you infer from the fact that there is no similar elongation in NaCN, which also crystallizes with a NaCl lattice?</p> <p>MgC_2</p>  <p>MgC₂: Tiene una estructura tetragonal elongada, los aniones carburo (C_2^{2-}), que no son esféricos como en los Cl^- del NaCl, se orientan a lo largo de los eje a o b, existen tres tipos de distancias: corta: $\text{Mg1-C1: } 2.174 \text{ \AA}$</p> <p>NaCl</p> <p>NaCN</p> <p>KCN</p>																																		

	<p>media: Mg1-C1: 2.583 larga: Mg1-C1: 2.847 MgC_2: P4₂/mnm (136): 3.9342(7), 3.9342(7), 5.021(1) Å, 90., 90., 90°, V=77.71, Z=2</p> <p>NaCN (295 K): Immm (71) 3.74, 4.71, 5.61 Å, 90., 90., 90°, V=98.82; Z=2 Pero a 4.2 K el NaCN se ordena y cristaliza en una celda ortorrómica: NaCN: Pmmns (59): 3.63, 5.45, 4.85 Å, 90., 90., 90°. V=95.95.</p> <p>KCN (295 K): Fm3-m (225) 6.523, 6.523, 6.523 Å, 90., 90., 90°, V=277.55, Z=4</p>
16	<p>Marble and limestone buildings are eroded by contact with acid rain. Define the term 'acid rain' and discuss the origins of the acidity. Describe the processes by which the marble and limestone are attacked. List the compounds that are used as scrubbers in power plants to minimize emissions implicated in acid rain and describe how they are effective.</p> <p>Despite being recognized as far back as the 1870s, the environmental problems associated with 'acid rain' came to the fore in the 1960s with the decline of fish stocks in European and North American lakes. Two of the major contributors towards acid rain are SO₂ and NO_x. Although SO₂ emissions arise from natural sources such as volcanic eruptions, artificial sources contribute ~90% of the sulfur in the atmosphere. Fossil fuels such as coal contain ~2–3% sulfur and combustion produces SO₂, and the gas is released when metal sulfide ores are roasted in the production of metals such as Co, Ni, Cu and Zn. Once released, SO₂ dissolves in the atmospheric water vapor, forming H₂SO₃ and H₂SO₄. Acid formation may take several days and involves multistage reactions, the outcome of which is:</p> $2 SO_2 + O_2 + 2 H_2O \rightarrow 2 H_2SO_4$ <p>By the time acid rain falls to the Earth's surface, the pollutants may have travelled long distances from their industrial sources so, for example, prevailing winds in Europe may carry SO₂ from the UK, France and Germany to Scandinavia.</p> <p>The effects of acid rain can be devastating. The pH of lakes and streams is lowered, although the composition of the bedrock is significant, and in some cases provides a natural buffering effect. A second effect is that acid rain penetrating the bedrock can react with aluminosilicate minerals, or can leach heavy metal ions from the bedrock; as the acid rain makes its way through the bedrock and into waterways, it carries with it the metal pollutants. Acidified and polluted waters not only kill fish, but also affect the food chain. Acid rain falling on soils may be neutralized if the soil is alkaline, but otherwise the lowering of the pH and the leaching of plant nutrients has devastating effects on vegetation. The effects of acid rain on some building materials are all around us: crumbling gargoyles on ancient churches are a sad reminder of pollution by acid rain. Both marble and limestone have been used as building materials and for sculptures. Unfortunately, the material is readily attacked by acid rain; thus World Heritage buildings such as the Parthenon in Greece and the Taj Mahal in India are in danger of corroding away:</p> $CaCO_3(s) + H^+(aq) \rightarrow Ca^{2+}(aq) + CO_2(g) + H_2O$ <p>Reducing nitrogen oxide emission in a utility plant starts during the combustion phase. A procedure called Overfire Air is used to redirect a fraction of the total air in the combustion chamber. This requires the combustion process, which is redirected to an upper furnace. This causes the combustion to occur with less O₂ than required, thus slowing down the transformation of atmospheric nitrogen to nitrogen oxide. After combustion, a system of catalytic reductions are put into effect. This system embraces the injection of ammonia gas upstream of the catalytic reaction chamber. The gas will react with nitrogen oxide by this reaction.</p> $4 NO + 4 NH_3 + O_2 \rightarrow 4 N_2 + 6 H_2O$ <p>Then it will react with NO₂ by the following reaction.</p> $2 NO_2 + 4 NH_3 + O_2 \rightarrow 3 N_2 + 6 H_2O$ <p>The safe nitrogen can be released into the atmosphere.</p> <p>To reduce sulfur dioxide emission utility plants are required to do several steps by the Clean Air Act Amendment. Before combustion, these utility plants have to go through a process called coal cleaning. This process is performed gravitationally. Meaning, it is successful in removing pyritic sulfur due to its high specific gravity, but it is unsuccessful in removing chemically bound organic sulfur. This cleaning process is only limited by the percent of pyritic sulfur in the coal. Coal with high amount of pyritic sulfur is coal in higher demands. Another way to reduce sulfur dioxide before combustion is by burning coal with low sulfur</p>

	<p>content. Low sulfur content coals are called subbituminous coal. This process in reducing sulfur dioxide is very expensive due to the high demand of subbituminous coal.</p> <p>During combustion, a process called Fluidized Bed Combustion (FBC), is used to reduce sulfur dioxide emissions into the atmosphere. This process contains limestone or a sandstone bed that are crushed and diluted into the fuel. It is important that a balance is established between the heat liberated within the bed from fuel combustion, and the heat removed by the flue gas as it leaves. Flue gas is the mixture of gases resulting from combustion and other reactions in a chamber. This enables the limestones to react with sulfur dioxide and reduce emission by 90 percent. After combustion, a process known as wet flue gas desulfurization is taken into action. This process requires a wet scrubber at the downward end of the boiler. This process is very similar to FBC. This scrubber can be made of either limestone or sodium hydroxide. Limestone is more commonly used. As sulfur dioxide enters this area it reacts with the limestone in the following example:</p> $\text{CaCO}_3 + \text{SO}_2 + \text{H}_2\text{O} + \text{O}_2 \rightarrow \text{CaSO}_3 + \text{CaSO}_4 + \text{CO}_2 + \text{H}_2\text{O}$ <p>After being scrubbed, which is the term used for the phase after coal has past the wet scrubber, the flue gas is re-emitted and the waste solids are disposed.</p> <p>https://sites.google.com/site/acidrain1project/</p>																												
17	<p>Explique por qué tanto el BeCO₃ como el BeSO₄ son inestables frente al calor, mientras que el BaSO₄ y el BaCO₃ son estables.</p> <p>Debido a la gran diferencia de tamaño entre el catión Be²⁺ y los oxoaniones CO₃²⁻ y SO₄²⁻. En cambio, el catión Ba²⁺ es lo suficientemente voluminoso como para estabilizar ambos aniones.</p> <p>All the carbonates in this group undergo thermal decomposition to the metal oxide and carbon dioxide gas. The term "thermal decomposition" describes splitting up a compound by heating it.</p> <p>All the Group 2 carbonates and their resulting oxides exist as white solids. If "X" represents any one of the elements, the following describes this decomposition:</p> $X\text{CO}_3(s) \rightarrow X\text{O}(s) + \text{CO}_2(g)$ <p>Down the group, the carbonates require more heating to decompose.</p> <p>The carbonates become more thermally stable down the group.</p> $\text{CO}_3^{2-}(g) \xrightarrow{\Delta H \text{ for this reaction}} \text{O}^{2-}(g) + \text{CO}_2(g)$ $X^{2+}(g) + \text{CO}_3^{2-}(g) \rightleftharpoons X^{2+}(g) + \text{O}^{2-}(g) + \text{CO}_2(g)$ $\text{XCO}_3(s) \xrightleftharpoons{\Delta H} \text{XO}(s) + \text{CO}_2(g)$ <p style="color:red; text-align:center;">↑ the value we are interested in</p> <table> <thead> <tr> <th></th> <th>$\Delta_f G^\circ$</th> <th>$\Delta_f H^\circ$</th> <th>T_d (°C)</th> </tr> </thead> <tbody> <tr> <td>BeCO₃</td> <td></td> <td></td> <td>inestable</td> </tr> <tr> <td>BeSO₄</td> <td>-1093.8</td> <td>-1205.2</td> <td>550-600</td> </tr> <tr> <td>BaCO₃</td> <td></td> <td></td> <td>1300</td> </tr> <tr> <td>BaSO₄</td> <td>-1362.2</td> <td>-1473.2</td> <td>1580</td> </tr> <tr> <td>BeO</td> <td>-580.1</td> <td>-609.4</td> <td></td> </tr> <tr> <td>BaO</td> <td>-520.3</td> <td>-548.0</td> <td></td> </tr> </tbody> </table>		$\Delta_f G^\circ$	$\Delta_f H^\circ$	T_d (°C)	BeCO ₃			inestable	BeSO ₄	-1093.8	-1205.2	550-600	BaCO ₃			1300	BaSO ₄	-1362.2	-1473.2	1580	BeO	-580.1	-609.4		BaO	-520.3	-548.0	
	$\Delta_f G^\circ$	$\Delta_f H^\circ$	T_d (°C)																										
BeCO ₃			inestable																										
BeSO ₄	-1093.8	-1205.2	550-600																										
BaCO ₃			1300																										
BaSO ₄	-1362.2	-1473.2	1580																										
BeO	-580.1	-609.4																											
BaO	-520.3	-548.0																											

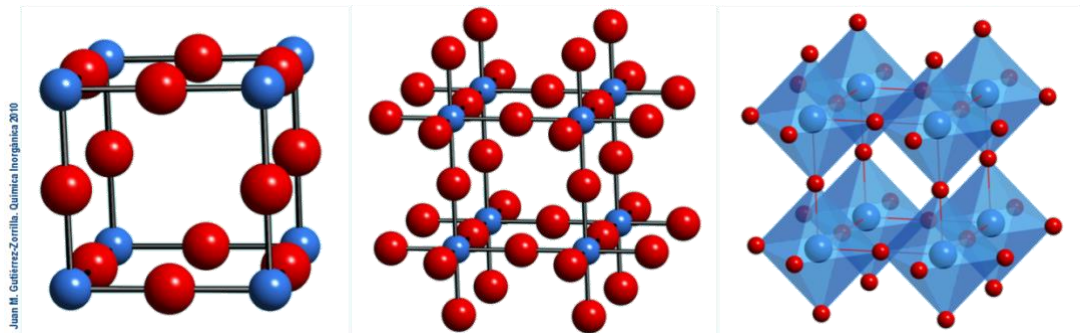
18	<p>We have noted that the alkali-metal hydroxides become stronger bases going down the group. However, even sodium hydroxide is considered to be completely ionized in aqueous solution. Could we measure the difference in basicities of the alkali-metal hydroxides in aqueous solution? What other type of solvent might give us additional information about relative basicities of these compounds? Rodgers, 12</p> <p>Un disolvente que es capaz de discriminar la basicidad de diferentes bases debe tener una baja tendencia a donar protones, recibe el nombre de disolvente diferenciador de bases. El amoniaco líquido es un buen ejemplo de este tipo de solventes.</p> <p>Los disolventes que tienen poca tendencia a aceptar o donar protones reciben el nombre de disolventes apróticos y pueden servir como disolventes diferenciadores tanto de ácidos como de bases, (benceno, tolueno, hexano).</p>																								
19	<p>Thermodynamically, lithium is less stable in water than sodium, but kinetically, lithium is more stable. Briefly explain the difference. Rodgers, 12</p> <p>Although lithium has the most negative E°, its reaction with water is considerably less vigorous than that of sodium, which has the least negative E° among the alkali metals. This behaviour of lithium is attributed to its small size and very high atomization and first potential energies.</p> <p>The lower the activation energy, the faster the reaction.</p> <p>The reactions become easier as the energy needed to form positive ions falls. This is in part due to a decrease in ionization energy as you go down the Group, and in part to a fall in atomization energy reflecting weaker metallic bonds as you go from lithium to cesium. This leads to lower activation energies, and therefore faster reactions.</p> <p>The reaction of sodium with water produces enough heat to melt it and hydrogen produced ignites in air. Other metals of the group with lower melting points react explosively with water. In all cases the reaction with water occurs as :</p> $M(s) + H_2O(l) \rightarrow M^+(aq) + OH^-(aq) + \frac{1}{2}H_2(g) \quad (M = \text{an alkali metal})$ <table style="width: 100%; text-align: center;"> <thead> <tr> <th></th> <th>$\Delta_A H(M)$</th> <th>$\Delta_I H(M)$</th> <th>$\Delta_{HYD} H(M^+)$</th> <th>$\Delta_F H(M^+aq)$</th> <th>$\Delta_R H(M + H_2O)$</th> </tr> </thead> <tbody> <tr> <td>Li</td> <td>159</td> <td>520.2</td> <td>-540</td> <td>-278.5</td> <td>-508.4</td> </tr> <tr> <td>Na</td> <td>107</td> <td>495.9</td> <td>-410</td> <td>-239.7</td> <td>-469.6</td> </tr> <tr> <td>OH⁻(aq)</td> <td></td> <td></td> <td></td> <td>-229.9</td> <td></td> </tr> </tbody> </table> <p>http://www.chemguide.co.uk/inorganic/group1/reacth2o.html</p>		$\Delta_A H(M)$	$\Delta_I H(M)$	$\Delta_{HYD} H(M^+)$	$\Delta_F H(M^+aq)$	$\Delta_R H(M + H_2O)$	Li	159	520.2	-540	-278.5	-508.4	Na	107	495.9	-410	-239.7	-469.6	OH ⁻ (aq)				-229.9	
	$\Delta_A H(M)$	$\Delta_I H(M)$	$\Delta_{HYD} H(M^+)$	$\Delta_F H(M^+aq)$	$\Delta_R H(M + H_2O)$																				
Li	159	520.2	-540	-278.5	-508.4																				
Na	107	495.9	-410	-239.7	-469.6																				
OH ⁻ (aq)				-229.9																					

20	<p>Each compound in List 1 has a matching description in List 2</p> <table border="0"> <thead> <tr> <th style="text-align: left;"><u>List 1</u></th><th style="text-align: left;"><u>List 2</u></th></tr> </thead> <tbody> <tr><td>CaCl₂</td><td>Polymeric in the solid state</td></tr> <tr><td>BeO</td><td>Soda lime</td></tr> <tr><td>Be(OH)₂</td><td>Strong oxidizing agent</td></tr> <tr><td>CaO</td><td>Used in qualitative analysis for sulfates</td></tr> <tr><td>BaCl₂</td><td>Amphoteric</td></tr> <tr><td>CaF₂</td><td>Hygroscopic solid, used for de-icing</td></tr> <tr><td>BeCl₂</td><td>Quicklime</td></tr> <tr><td>MgO₂</td><td>Crystallizes with a wurtzite-type structure</td></tr> <tr><td>Ca(OH)₂/NaOH</td><td>A prototype crystal structure 2º</td></tr> <tr><td> </td><td> </td></tr> <tr><td>CaCl₂</td><td>Hygroscopic solid, used for de-icing</td></tr> <tr><td>BeO</td><td>Crystallizes with a wurtzite-type structure</td></tr> <tr><td>Be(OH)₂</td><td>Amphoteric</td></tr> <tr><td>CaO</td><td>Quicklime</td></tr> <tr><td>BaCl₂</td><td>Used in qualitative analysis for sulfates</td></tr> <tr><td>CaF₂</td><td>A prototype crystal structure 2º</td></tr> <tr><td>BeCl₂</td><td>Polymeric in the solid state</td></tr> <tr><td>MgO₂</td><td>Strong oxidizing agent</td></tr> <tr><td>Ca(OH)₂/NaOH</td><td>Soda lime</td></tr> </tbody> </table>	<u>List 1</u>	<u>List 2</u>	CaCl ₂	Polymeric in the solid state	BeO	Soda lime	Be(OH) ₂	Strong oxidizing agent	CaO	Used in qualitative analysis for sulfates	BaCl ₂	Amphoteric	CaF ₂	Hygroscopic solid, used for de-icing	BeCl ₂	Quicklime	MgO ₂	Crystallizes with a wurtzite-type structure	Ca(OH) ₂ /NaOH	A prototype crystal structure 2º			CaCl ₂	Hygroscopic solid, used for de-icing	BeO	Crystallizes with a wurtzite-type structure	Be(OH) ₂	Amphoteric	CaO	Quicklime	BaCl ₂	Used in qualitative analysis for sulfates	CaF ₂	A prototype crystal structure 2º	BeCl ₂	Polymeric in the solid state	MgO ₂	Strong oxidizing agent	Ca(OH) ₂ /NaOH	Soda lime
<u>List 1</u>	<u>List 2</u>																																								
CaCl ₂	Polymeric in the solid state																																								
BeO	Soda lime																																								
Be(OH) ₂	Strong oxidizing agent																																								
CaO	Used in qualitative analysis for sulfates																																								
BaCl ₂	Amphoteric																																								
CaF ₂	Hygroscopic solid, used for de-icing																																								
BeCl ₂	Quicklime																																								
MgO ₂	Crystallizes with a wurtzite-type structure																																								
Ca(OH) ₂ /NaOH	A prototype crystal structure 2º																																								
CaCl ₂	Hygroscopic solid, used for de-icing																																								
BeO	Crystallizes with a wurtzite-type structure																																								
Be(OH) ₂	Amphoteric																																								
CaO	Quicklime																																								
BaCl ₂	Used in qualitative analysis for sulfates																																								
CaF ₂	A prototype crystal structure 2º																																								
BeCl ₂	Polymeric in the solid state																																								
MgO ₂	Strong oxidizing agent																																								
Ca(OH) ₂ /NaOH	Soda lime																																								
21	<p>Complete lo que falta y ajuste todas las reacciones en el siguiente esquema de preparación del litio a partir del espodumeno (Carriedo):</p> $\text{LiAl}(\text{Si}_2\text{O}_6) \xrightarrow{\text{H}_2\text{SO}_4} \text{A} \xrightarrow{\text{Na}_2\text{CO}_3} \text{B} \xrightarrow{\text{HCl}} \text{C} \xrightarrow{i?} \text{Li}$ <p>C. Dessemond et al., <i>Minerals</i> 2019, 9, 334 $\text{LiAlSi}_2\text{O}_6(s) + \text{H}_2\text{SO}_4(l) \rightarrow 2 \text{HAlSi}_2\text{O}_6(s) + \text{Li}_2\text{SO}_4(s)$ $\text{Li}_2\text{SO}_4(s) + \text{Na}_2\text{CO}_3 \rightarrow \text{Li}_2\text{CO}_3(s) + \text{Na}_2\text{SO}_4(aq)$ $\text{Li}_2\text{CO}_3(s) + \text{HCl} \rightarrow 2\text{LiCl}(s) + \text{CO}_2(g) + \text{H}_2\text{O}$ LiCl electrolisis $\rightarrow \text{Li} + \text{Cl}_2$</p>																																								

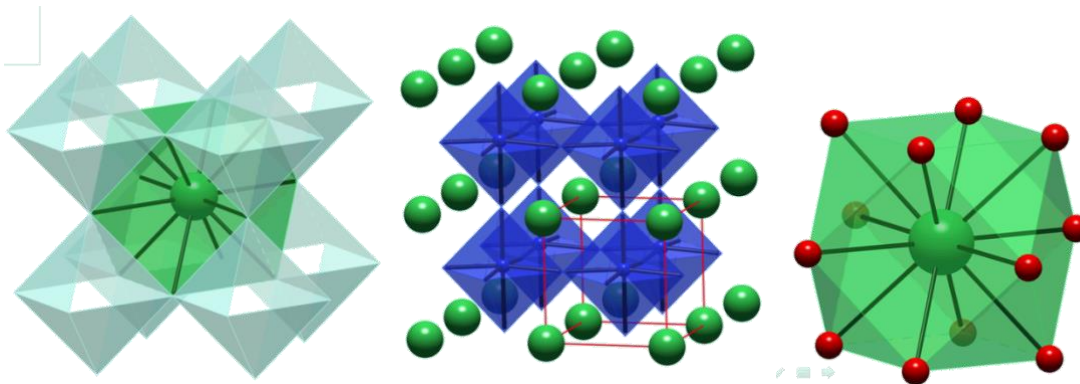
Ex 1
2014

Explique cómo se deriva la estructura de la perovskita de estroncio, SrTiO_3 , de la de ReO_3 dibuje la celda unidad de la misma, determine el número y tipo de coordinación de los iones metálicos. Determine las distancias de enlace Ti-O y Sr-O y la densidad del compuesto si la celda unidad de SrTiO_3 es una celda cúbica primitiva P m3-m (221), $a = 3.845 \text{ \AA}$.

La estructura de ReO_3 : Re(VI) basada en octaedros ReO_6 que comparten los 6 vértices. Esta disposición genera un hueco cubo-octaédrico en el centro de la celda ($\frac{1}{2} \ \frac{1}{2} \ \frac{1}{2}$), que cuando sustituimos el Re(VI) por Ti(IV) debe ser ocupado por un catión bivalente, en este caso Sr(II), para que se mantenga la electroneutralidad del cristal.



La estructura de la perovskita: La coordinación del Ti(IV) es 6 octaédrica y al del Sr(II) es 12 cubooctaédrica.



Determine las distancias de enlace Ti-O y Sr-O y la densidad del compuesto si la celda unidad de SrTiO_3 es una celda cúbica primitiva P m3-m (221), $a = 3.845 \text{ \AA}$.

$$d(\text{Ti} - \text{O}) = \frac{a}{2} = 1.9225 \text{ \AA}$$

$$d(\text{Sr} - \text{O}) = \frac{a\sqrt{2}}{2} = 2.719 \text{ \AA}$$

$$D_x = \frac{Z \times PM}{V \times N_A} = \frac{1 \times (47.867 + 3 \times 15.999 + 87.62)}{3.845^3 \times 0.6022} = \frac{182.617}{34.232} = 5.334 \text{ g} \cdot \text{cm}^{-3}$$

$$d(\text{Ti} - \text{O}) = \frac{a}{2} = 1.9225 \text{ \AA}$$

$$d(\text{Sr} - \text{O}) = \frac{a\sqrt{2}}{2} = 2.719 \text{ \AA}$$

$$D_x = \frac{Z \times PM}{V \times N_A} = \frac{1 \times (47.867 + 3 \times 15.999 + 87.62)}{3.845^3 \times 0.6022} = \frac{182.617}{34.232} = 5.334 \text{ g} \cdot \text{cm}^{-3}$$

Ex 2	<p>Cuando 1.00 g de un sólido blanco A se calienta enérgicamente, se obtiene otro sólido blanco B y un gas C, que ejerció una presión de 209 mm Hg en un balón de 450 mL a 25 °C. Al burbujejar este gas sobre una disolución de $\text{Ca}(\text{OH})_2$ da otro sólido blanco D. Si el sólido B se añade al agua, la disolución resultante vuelve de color azul el papel de tornasol. La adición de HCl a la disolución de B y posterior evaporación a sequedad da 1.055 g de un sólido blanco E. Finalmente, cuando la disolución acuosa de B se trata con ácido sulfúrico se produce un precipitado blanco F. Escriba todas las reacciones e identifique las sustancias A-F.</p>
------	---

Ex 3 2014	<p>Un metal del bloque s (A) reacciona lentamente con agua fría liberando un gas incoloro e inodoro (B) y una disolución (C). El metal litio reacciona con (B) para dar un sólido (D), el cual produce efervescencia cuando se mezcla con agua dando una disolución fuertemente básica (E). Cuando se burbujea dióxido de carbono a través de la disolución (C), inicialmente se forma un precipitado (F) que se redissuelve para dar una disolución (G) cuando se burbujea más CO₂. El precipitado (F) entra en efervescencia cuando se humedece con HCl (conc) y da un color carmesí a la llama de un mechero Bunsen.</p> <p>Identifique las sustancias (A) a (G) y escriba las reacciones ajustadas de cada paso.</p> <p>qi2_ex_2P_20140515b</p> <p>Estroncio da llama carmesí.</p> $A + H_2O \rightarrow B + C \quad Sr + 2 H_2O \rightarrow H_2(g) + Sr(OH)_2(aq)$ $Li + B \rightarrow D \quad 2Li + H_2(g) \rightarrow 2 LiH(s)$ $D + H_2O \rightarrow E + \text{gas} \quad LiH + H_2O \rightarrow LiOH + H_2(g)$ $C + CO_2(g) \rightarrow F(s) + CO_2(g) \rightarrow G(aq)$ $Sr(OH)_2(aq) + CO_2(g) \rightarrow SrCO_3(s) + H_2O(l)$ $SrCO_3(s) + CO_2(g) + H_2O(l) \rightarrow Sr(HCO_3)_2(aq)$ $F(s) + HCl \rightarrow \text{gas} \quad SrCO_3(s) + HCl(aq) \rightarrow CO_2 + SrCl_2(aq) + H_2O$	
--------------	--	---

No debemos olvidar que cuando se descubrió el radio nadie sabía que iba a ser útil en hospitales. Era un trabajo de ciencia pura. Y ello es prueba de que el trabajo científico no debe considerarse desde el punto de vista de su uso directo. Se debe realizar por sí mismo, por la belleza de la ciencia y luego siempre existirá la posibilidad de que un descubrimiento científico se convierta, como el radio, en un beneficio para la humanidad.

M. Curie

Tema 9. G13: B, Al, Ga, In, Tl, Nh

Problemas

RAZONAD TODAS LAS RESPUESTAS

1. Identifique el elemento X en cada uno de los siguientes:
- X forma XCl_3 que es plano.
 - El óxido de X es anfótero.
 - La adición de fluoruro a XF_3 sólo da XF_4^- .
 - El hidruro X_2H_6 ha sido descubierto recientemente y X tiene un punto de fusión bajo.
 - El cloruro XCl_3 es oxidante, sin embargo XCl es estable e insoluble en agua.
- a) Elementos del grupo 13: B, Al, Ga, In, Tl y el único que forma una molécula XCl_3 plana es el **boro**.

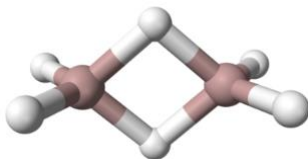
Cloruros de los elementos del grupo 13:

	Estructura	X coordinación	Estructura de BCl_3
BCl_3	(g)	TP-3	
AlCl_3	(s) RhBr_3	OC-6	
GaCl_3	(s) Al_2Br_6	T-4	
InCl_3	(s) RhBr_3	OC-6	
TlCl_3	(s) RhBr_3	OC-6	

- b) Los óxidos de los elementos del grupo 13 son:

 B_2O_3 : ácido Al_2O_3 : anfótero Ga_2O_3 : anfótero In_2O_3 : débilmente básico Tl_2O : básico

- c) La adición de iones fluoruro a XF_3 para dar únicamente XF_4^- sólo en el caso del **boro**, que no puede violar la regla del octeto, el resto de los elementos del grupo pueden adicionar más de un ligando hasta alcanzar un número de coordinación de 6.
- d) El hidruro X_2H_6 que ha sido descubierto “recientemente” (1989) es el de **Galio**, que además es un elemento con un punto de fusión bastante bajo (302.9 K).



- e) El tricloruro de talio, TlCl_3 , es oxidante y el cloruro de talio (I), TlCl , es más estable, debido a los efectos relativistas que afectan a la energía de los electrones 6s:
 TlCl_3 : estructura en capas con coordinación octaédrica del Tl.
 TlCl : estructura tipo CsCl , con coordinación cúbica del Tl, es posible que sea poco soluble debido a la alta energía reticular del compuesto.

2. Usando las reglas de Wade prediga las estructuras de los siguientes clústeres (dibújelas):

- a) $[\text{B}_6\text{H}_6]^{2-}$ b) $\text{B}_{10}\text{C}_2\text{H}_{12}$ c) B_4H_{10}

Type	Formula	Skeletal Electron Pairs	Examples
Coso	$[\text{B}_n\text{H}_n]^{2-}$	$n + 1$	$[\text{B}_5\text{H}_5]^{2-}$ to $[\text{B}_{12}\text{H}_{12}]^{2-}$
Nido	B_nH_{n+4}	$n + 2$	$\text{B}_2\text{H}_6, \text{B}_5\text{H}_9, \text{B}_6\text{H}_{10}$
Arachno	B_nH_{n+6}	$n + 3$	$\text{B}_4\text{H}_{10}, \text{B}_5\text{H}_{11}$
Hypho	B_nH_{n+8}	$n + 4$	
Klado	$\text{B}_n\text{H}_{n+10}$	$n + 5$	

a) $[B_6H_6]^{2-}$

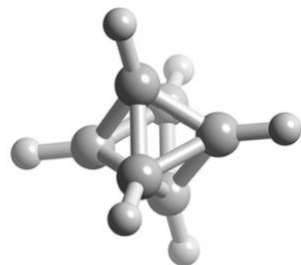
$$n_T = 6 \times 3 + 6 \times 1 + 2 = 26 \text{ e-}$$

nº grupos B-H = 6

$$\text{nº de electrones esqueletales} = 26 - 6 \times 2 = 14$$

⇒ 7 pares de electrones esqueletales (SEP)

$$7(\text{SEP}) = 6 (\text{B}) + 1 \Rightarrow \text{SEP} = n+1 \Rightarrow \text{closó} \Rightarrow 6 \text{ vértices} = \text{octaedro}$$



b) $B_{10}C_2H_{12}$

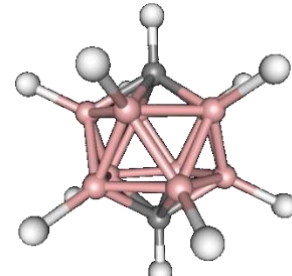
$$n_T = 10 \times 3 + 12 \times 1 + 2 \times 4 = 50 \text{ e-}$$

nº grupos E-H = 12

$$\text{nº de electrones esqueletales} = 50 - 12 \times 2 = 26$$

⇒ 13 pares de electrones esqueletales (SEP)

$$13(\text{SEP}) = 12 (\text{B}) + 1 \Rightarrow \text{SEP} = n+1 \Rightarrow \text{closó} \Rightarrow 12 \text{ vértices} = \text{icosaedro}$$



c) B_9H_{10}

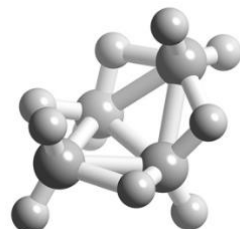
$$n_T = 4 \times 3 + 10 \times 1 = 22 \text{ e-}$$

nº grupos B-H = 4

$$\text{nº de electrones esqueletales} = 22 - 4 \times 2 = 14$$

⇒ 7 pares de electrones esqueletales (SEP)

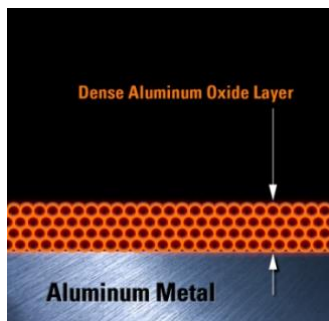
$$7(\text{SEP}) = 4 (\text{B}) + 3 \Rightarrow \text{SEP} = n+3 \Rightarrow \text{arachno} \Rightarrow 6 \text{ vértices} = \text{octaedro divacante}$$



3. Explain why...

- a) ...sheets of aluminum do not oxidize completely to aluminum oxide even though aluminum is a highly reactive metal.

El aluminio se pasiva, es decir se recubre de una capa de Al_2O_3 que queda adherida a la superficie del metal e impide el posterior ataque del oxígeno



Pure aluminium naturally forms a thin surface layer of aluminium oxide on contact with oxygen in the atmosphere through a process called oxidation, which creates a physical barrier to corrosion or further oxidation in most environments.

Aluminium alloys, however, offer little protection against corrosion. There are three main ways to passivate these alloys: *alclading*, *chromate conversion coating* and *anodizing*. Alclading is the process of metallurgically bonding a thin layer of pure aluminium to the aluminium alloy. Chromate conversion coating is a common way of passivating not only aluminum, but also zinc, cadmium, copper, silver, magnesium, and tin alloys. Anodizing forms a thick oxide coating. This finish is more robust than the other processes and also provides good electrical insulation, which the other two processes do not.

- b) ...solutions of aluminum chloride are strongly acidic.

El aluminio tiene un Z^2/r de 0.17, catión fuertemente ácido,



- c) ...aqueous solutions of $Al(NO_3)_3$ are acidic, but solutions of $TlNO_3$ are not.



Características de los iones que se forman:

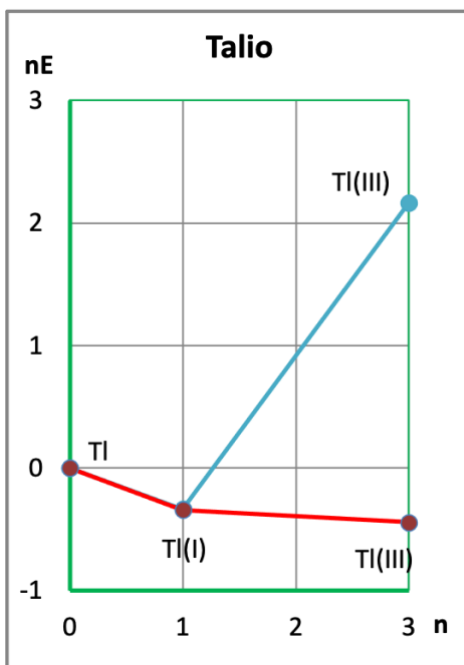
M	Z	r_{ion}	X _{Pauling}	Z^2/r
Al ³⁺	3	53	1.61	0.17
Tl ⁺	1	150	1.80	0.007

Cationes no ácidos son aquellos cuyo Z^2/r es menor de 0.01 como es el caso del Talio(I)

Cationes fuertemente ácidos: $0.16 < Z^2/r < 0.22$, que es el caso del aluminio(III), cuya reacción de hidrólisis es:



4. ¿Por qué el compuesto TlCl₃ contiene el ión Tl³⁺, pero el compuesto TlI₃ no?



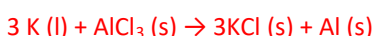
El cloro es más electronegativo que el yodo y por lo tanto es capaz de estabilizar los estados de oxidación altos muchos elementos más electropositivos con los que reacciona, el yodo en cambio al no ser tan electronegativo no es capaz de estabilizar los estados de oxidación elevados, además tiene una fuerte tendencia a formar aniones polinucleares como el I₃⁻, que es el que forma la sal con el ion Tl(I), que es la especie más estable del talio. El Tl(III) es una especie muy oxidante, otro ejemplo de los efectos relativistas.

Thallium(I) has a low charge density and thus behaves as a typical ionic species (like an alkali metal ion). Thallium(III) is a smaller, high charge ion; thus its high charge density favors covalent behavior.

5. Write balanced chemical equations for the following chemical reactions:

- a) liquid potassium metal with solid aluminum chloride

Metallic aluminum was first prepared by Hans Oersted, a Danish chemist, in 1825. He obtained the metal by heating dry aluminum chloride with potassium metal.



- b) solid diboron trioxide with ammonia gas at high temperature

Boron nitride has not been found in nature and therefore is produced synthetically. Hexagonal boron nitride is obtained by the reacting boron trioxide (B₂O₃) or boric acid, B(OH)₃, with ammonia (NH₃) or urea, CO(NH₂)₂, in a nitrogen atmosphere [S. Rudolph (2000). "Boron Nitride (BN)". *American Ceramic Society Bulletin* 79: 50]:



- c) aluminum metal with hydroxide ion



Aluminum reacts with potassium hydroxide and water forming potassium ions, tetrahydroxyaluminate ions and hydrogen gas.

- d) tetraborane, B₄H₁₀, and dioxygen



Because it is easily oxidized it must be kept under vacuum. Tetraborane ignites when it comes in contact with air, oxygen, and nitric acid.

6. El compuesto borazina reacciona con tres equivalentes mol de HCl para dar un material con la fórmula química $B_3N_3H_9Cl_3$. (a) ¿Cuál es la estructura del producto? (b) ¿Cómo reacciona el benceno (isoelectrónico de la borazina) con HCl?

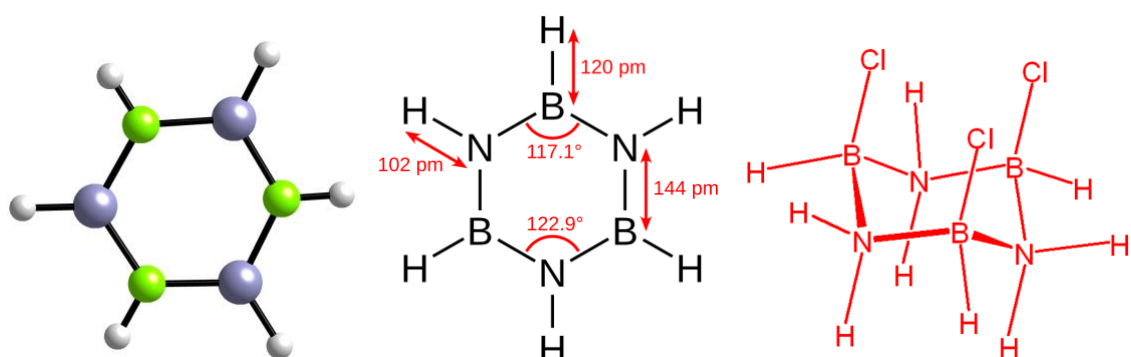
Es una reacción de adición al doble enlace B=N, el boro actúa de ácido de Lewis y en nitrógeno de base de Lewis.



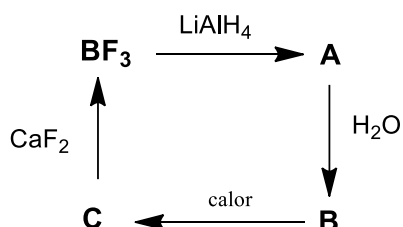
El enlace B-N está polarizado. En el N con una carga parcial negativa, pues es el más electronegativo, es donde se une el protón, mientras que el ion cloruro se une al elemento menos electronegativo, que soporta la carga parcial positiva.

En cambio, en el benceno los enlaces C-C no están polarizados y la adición de HCl no tiene lugar.

Borazine is more reactive than benzene. It reacts with hydrogen chloride in an addition reaction. Benzene, in contrast, is unreactive toward HCl.



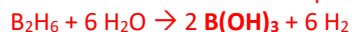
7. Identifique los compuestos A, B y C



A. El compuesto LiAlH_4 es un agente reductor que se emplea para preparar hidruros a partir de los correspondiente haluros:



B. La hidrólisis del diborano produce ácido bórico:



C. La deshidratación mediante el calor de ácido bórico conduce a la formación de óxido bórico:



El óxido bórico reacciona con fluorita para dar el compuesto de partida BF_3 :

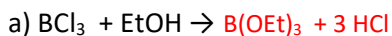


A: B_2H_6

B: B(OH)_3

C: B_2O_3

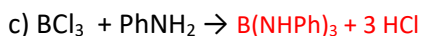
8. Sugerir los productos probables para las siguientes reacciones:



reacción de protólisis.



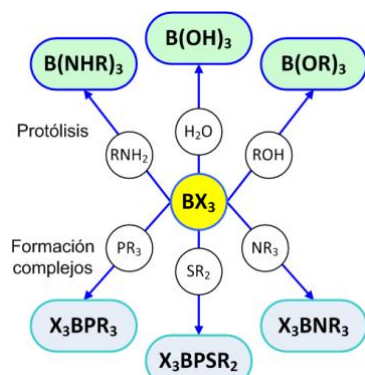
El BF_3 es un ácido de Lewis más débil que el BCl_3 y da una reacción de formación de aducto.



reacción de protólisis



formación de aducto.

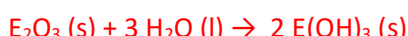


9. El compuesto **A** es un hidruro de un elemento del grupo 13 y es un gas incoloro e inestable a temperatura ambiente. Cuando 250 mL de **A** (medidos a 25 °C y 100 kPa) arden en el aire dan un sólido blanco **B**, éste absorbe agua lentamente para dar 1.250 g de un sólido molecular en forma de escamas **C**, que requirieron para su neutralización 20 mL de una disolución 1.010 M de NaOH. Cuando **C** reacciona con metanol en presencia de H_2SO_4 se produce **D**, un líquido volátil cuyo color del ensayo a la llama es característico del elemento. Cuando un mol de **A** reacciona con agua se produce el compuesto **C** y se desprenden 6 moles del gas **E**. Si hacemos reaccionar el gas **A** con amoniaco se forma un compuesto de adición **F**. Este es un sólido blanco que al calentar produce el compuesto **G**, que es un líquido incoloro. Escriba todas las reacciones e identifique los compuestos **A**, **B**, **C**, **D**, **E**, **F** y **G**. Explique el enlace en **A**, **F** y **G** y la estructura cristalina de **C**.

A: B_2H_6 (g), AlH_3 (s), Ga_2H_6 (g), InH_3 (s), por lo tanto A podría ser diborano o digalano

$$PV = nRT$$

$$n = \frac{PV}{RT} = \frac{100 \times 0.25}{8.314 \times 298} = 1.01 \times 10^{-2} \text{ mol de A}$$



1 mol de A da 1 mol de B cuando arde en aire y este da 2 moles de C cuando absorbe agua

$$PM(C) = \frac{1.250}{2 \times 1.01 \times 10^{-2}} = 61.881 = A(E) + 3 \times A(O) + 3 \times A(OH)$$

$$A(E) = 61.881 - 3 \times 1.008 - 3 \times 15.999 = 10.86 \Rightarrow \text{Por lo tanto E es el boro}$$

Reacciones



A: borano B_2H_6

B: óxido de boro B_2O_3

C: ácido bórico H_3BO_3

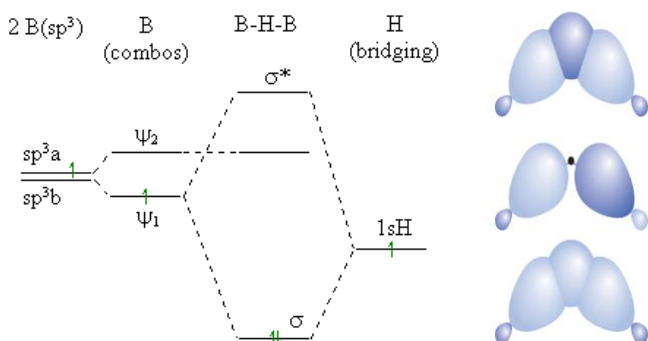
D: borato de trimetilo $\text{B}(\text{OCH}_3)_3$

E: hidrógeno H₂

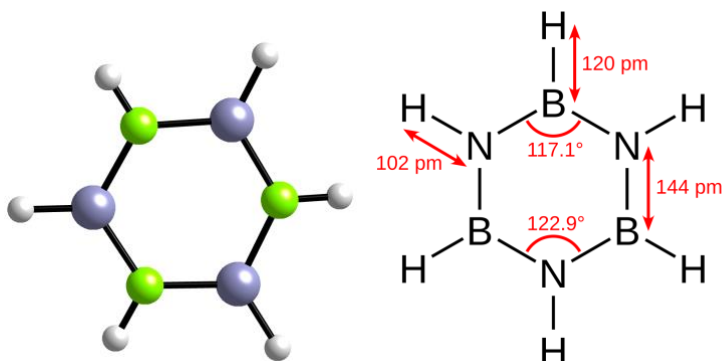
F: borazano BH₃.NH₃

G: borazina B₃N₃H₆

Enlace de A: 3 centros-2 electrones



Borazine is made up of boron (electropositive: Lewis acid) and nitrogen (electronegative: Lewis base). Therefore, its pi electron cloud is "lumpy," with the electrons spending more time near the nitrogens than near the borons. Note that although the electrons in the cloud spend more time near the nitrogens, the nitrogens have a positive formal charge! This should reinforce your understanding of formal charge as a book-keeping system only. It does give us valuable insight; nitrogen does get less electron density than it would like for having to share. Still, though, its natural electronegativity assures that it will get the lion's share of the pi cloud. We can see this from the resonance possibilities: one of the resonance structures has the electrons fully localized on nitrogen. Since benzene's electron cloud is more fully delocalized, and since electron delocalization is what gives aromatic molecules their special stability, benzene would be more stable than borazine.



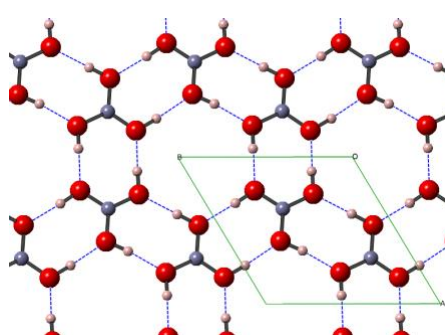
R. Boese, A. H. Maulitz P. Stellberg. Solid - State Borazine: Does it Deserve to be Entitled "Inorganic Benzene" ? *J. Chem. Ber.* **1994**, 127, 1887- 1889

B. Chiavarino† M. E. Crestoni, A. Di Marzio, S. Fornarini, :M. Rosi. Gas-Phase Ion Chemistry of Borazine, an Inorganic Analogue of Benzene. *J. Am. Chem. Soc.* **1999**, 121, 11204-11210

Estructura de C

Gajhede, M.; Larsen, S.; Rettrup, S. Electron density of orthoboric acid determined by X-ray diffraction at 105 K and ab initio calculations. *Acta Crystallographica, Section B: Structural Science* **1986**, 42, 545-552

```
#H3 B1 O3 :: P-1 :: CC=61354
2
7.0187 7.035 6.5472 92.49 101.46 119.76
14
B 1 2i 0.64860 0.42643 0.26043
B 2 2i 0.30896 0.75819 0.23916
O 1 2i 0.42575 0.30116 0.26380
O 2 2i 0.77240 0.32667 0.25093
O 3 2i 0.74622 0.65016 0.26318
O 4 2i 0.53521 0.88525 0.24894
O 5 2i 0.21322 0.53555 0.24351
O 6 2i 0.17963 0.85396 0.22843
H 1 2i 0.3606 0.3931 0.2662
H 2 2i 0.6848 0.1714 0.2582
H 3 2i 0.9012 0.7201 0.2542
H 4 2i 0.6106 0.8022 0.2631
```



H 5 2i 0.058 0.463 0.2513
H 6 2i 0.2619 1.013 0.2362

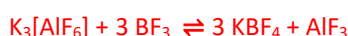
Estructura bidimensional formada por enlaces de hidrógeno del H_3BO_3 con 3 moléculas vecinas dando lugar a un ordenamiento 2D.

10. Comentar: AlF_3 es casi insoluble en HF anhídrico, pero se disuelve si está presente KF. El paso de BF_3 por la disolución resultante vuelve a precipitar AlF_3 .

AlF_3 es insoluble en HF anhídrico. El HF es un ácido débil que forma la base conjugada $[\text{F}-\text{H}-\text{F}]^-$, esta especie no forma aducto con el ácido de Lewis AlF_3 . Si se añade a la disolución KF, esta sal se disocia y libera iones fluoruro, F^- , que si forman un aducto aniónico con el AlF_3 y por lo tanto se solubiliza al ser una especie con carga:



Si se añade BF_3 , esta especie reacciona mejor con los iones fluoruro, para dar BF_4^- , así que al retirar fluoruros del equilibrio de arriba lo estamos desplazando hacia la izquierda y por consiguiente se produce la precipitación del AlF_3 de nuevo:

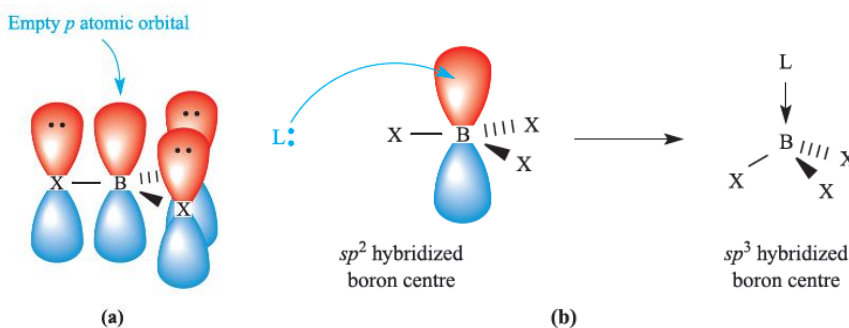


11. En el compuesto BF_3 , la distancia de enlace B-F es de 130 pm, pero en BF_4^- es ~ 145 pm. Explica estas diferencias en las longitudes de enlace B-F.

	B-F (pm)	B hibridación
BF_3	130	sp^2
BF_4^-	145	sp^3

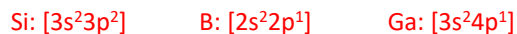
La distancia tan corta en el BF_3 indica que existe una importante contribución π al enlace por parte del flúor.

En el BF_4^- existen 4 enlaces B-F sencillos, que permiten al boro completar el octeto, además la hibridación sp^3 del mismo impide cualquier contribución π por parte de los átomos de flúor.



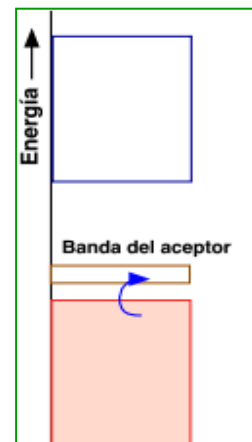
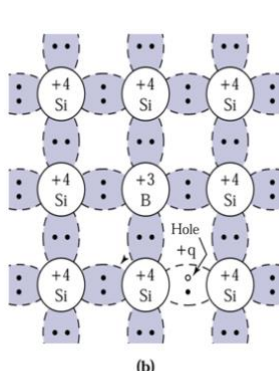
12. ¿Qué tipo de semiconductores se forman dopando Si con boro o galio? Usando la teoría de bandas explique cómo las propiedades semiconductoras del Si se ven alteradas por la presencia de impurezas de B o Ga.

Configuración electrónica de los electrones de valencia:



Se forman semiconductores tipo p, ya que la presencia de impurezas de elementos del grupo 13 (3 electrones de valencia) en una red de silicio genera la formación de vacantes electrónicas (holes), que son portadores de carga positiva y su movimiento a través de la banda de valencia.

Concepto de agujero. En los semiconductores, por cada electrón excitado en la banda de conducción se forma una vacante en un estado electrónico de la banda de valencia. Bajo la influencia de un campo eléctrico, la posición de la vacante dentro de la red cristalina puede considerarse en movimiento debido a sucesivas ocupaciones por otros electrones.



• P-type Extrinsic: ($p \gg n$)

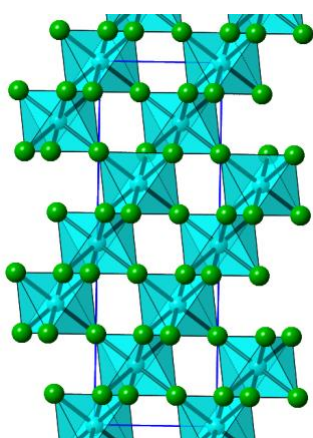
13. Gallium(III) fluoride, GaF_3 , sublimes at 950 °C, while gallium(III) chloride, GaCl_3 , melts at 78 °C. Suggest an explanation for the significant difference.



Sólido iónico F. intermol.: Iónico (con carácter covalente)

BCS File Format

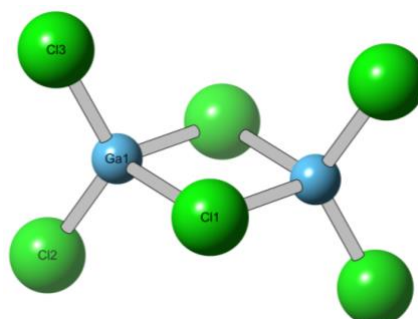
```
#F3 Gal :: R-3CH :: CC=409507
167
5.012 5.012 12.99 90. 90. 120.
2
Ga 1 6b 0 0 0
F 1 18e 0.0591 -0.2742 0.0833
```



Sólido molecular. F. intermol.: London

BCS File Format

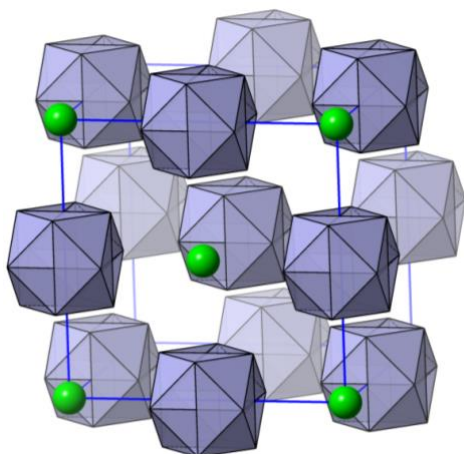
```
#C13 Gal :: C12/M1 :: CC=413455
12
11.948 6.855 7.050 90. 125.69 90.
4
Ga 1 4i 0.34131 0 0.76998
Cl 1 4i 0.30765 0 0.4409
Cl 2 4i 0.17873 0 0.8047
Cl 3 4g 0.5 0.2369 0
```



14. Zirconium forms a boride of formula ZrB_{12} , which adopts a sodium chloride lattice structure. Is it more likely that the compound is ionic — $[Zr^{4+}][B_{12}^{4-}]$ — or simply based on zirconium atoms and a neutral B_{12} cluster? Metallic radius, $Zr = 159$ pm; ionic radius, $Zr^{4+} = 72$ pm; covalent radius, $B = 88$ pm. Explain your reasoning.

BCS File Format

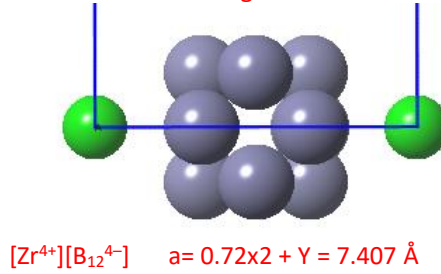
```
#B12 Zr1 :: FM-3M :: CC=409635
225
7.4075 7.4075 7.4075 90. 90. 90.
2
Zr 1 4a 0 0 0
B 1 48i 0.5 0.66981 0.66981
```



$$a = r(Zr) \times 2 + r(B) \times 6 = 7.407 \text{ \AA}$$

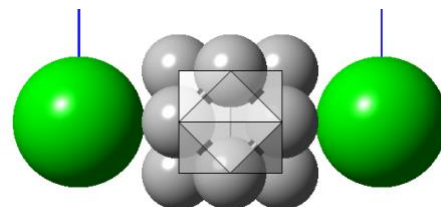
Zr radio metálico, $r(Zr) = 1.59 \text{ \AA}$
 Zr radio iónico, $r(Zr) = 0.72 \text{ \AA}$
 B radio covalente, $r(B) = 0.88 \text{ \AA}$

Modelo de esferas rígidas



$$[Zr^{4+}][B_{12}^{4-}] \quad a = 0.72 \times 2 + Y = 7.407 \text{ \AA}$$

$$Y = 5.97 \text{ \AA}$$



$$[Zr][B_{12}] \quad a = 1.59 \times 2 + Y = 7.407 \text{ \AA}$$

$$Y = 4.23 \text{ \AA}$$

Y: diámetro del grupo B_{12} .
 $Y = 0.88 \times 2 + 1.76 \times \sqrt{2} = 4.25 \text{ \AA}$

$$a = r(Zr) \times 2 + r(B) \times 2 + 2r(B)\sqrt{2} = r(Zr) \times 2 + 0.88 \times 2 + 1.76\sqrt{2} = 7.43 \text{ \AA}$$

$$r(Zr) = \frac{7.43 - 1.76(1 + \sqrt{2})}{2} = 1.59 \text{ \AA}$$

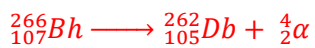
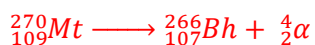
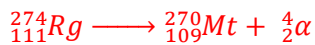
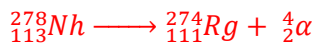
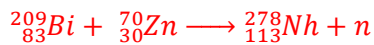
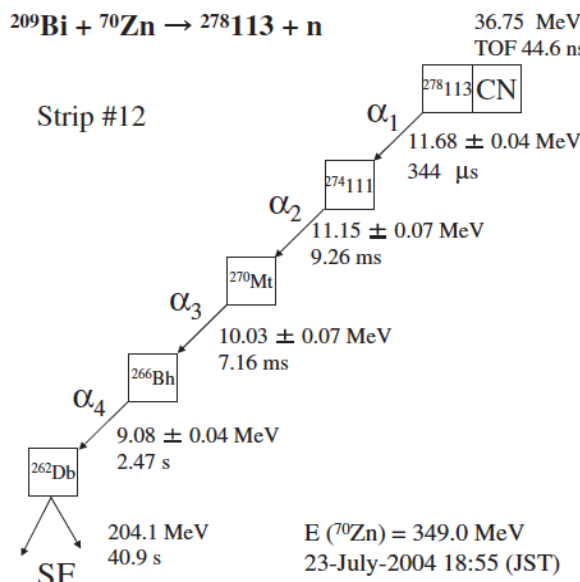
Por lo tanto la estructura se ajusta mejor a un modelo de átomos de Zr especies neutras B_{12} .

15. Cuando se bombardea con núcleos de ^{70}Zn un blanco de ^{209}Bi se forma ^{278}Nh . este sufre una cadena de desintegraciones alfa hasta llegar al isótopo dubnio-262, que se desintegra mediante un proceso de autofisión. Escriba todas las ecuaciones de la cadena de desintegración e identifique los isótopos que se forman. Este experimento se llevo a cabo según el procedimiento descrito por Morita y col.:

A ^{70}Zn ion beam of 352.6 MeV was extracted from RILAC. The beam energy was determined by measuring magnetic rigidity in a 90° bending magnet and by a time-off light method. The absolute accuracy was ± 0.6 MeV. The drift in the beam energy during the whole beam time was ± 0.3 MeV. The beam intensity was monitored by measuring projectiles elastically scattered by the targets with a PIN photodiode mounted at 45° with respect to the incident beam direction at a distance of 1.28m from the target position. The typical beam intensity on the target was $2.4 \times 10^{12} \text{ s}^{-1}$. Targets were prepared by vacuum evaporation of metallic bismuth onto carbon backing foils of $30 \mu\text{g/cm}^2$ thickness. The thickness of the bismuth layer was about $450 \mu\text{g/cm}^2$. The targets were covered by $10-\mu\text{g/cm}^2$ -thick carbon to protect them from sputtering. The energy loss of the beam in the target was estimated to be 5.4 MeV using range and stopping power tables. Beam energy at the half-depth of the targets was estimated to be 349.0 MeV. Sixteen targets were mounted on a rotating wheel of 30 cm diameter. The wheel was rotated during irradiation at 2000 rpm.

The reaction products were separated in-flight from the beam using a gas-filled recoil ion separator, GARIS and were guided into a detector box placed at the focal plane of GARIS.

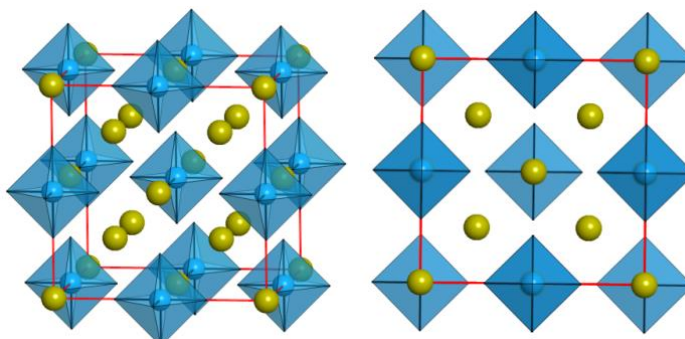
The convincing candidate event of the isotope of the 113th element, ^{278}Nh , and its daughter nuclei, ^{274}Mt and ^{270}Mt , were observed, for the first time, in the $^{209}\text{Bi} + ^{70}\text{Zn}$ reaction at a beam energy of 349.0 MeV with a total dose of 1.7×10^{19} . Alpha decay energies and decay times of the candidates, ^{278}Nh , ^{274}Mt , and ^{270}Mt , were (11.68 ± 0.04 MeV, 0.344 ms), (11.15 ± 0.07 MeV, 9.26 ms), and (10.03 ± 0.07 MeV, 7.16 ms), respectively.



Journal of the Physical Society of Japan, 2004, 73, 2593–2596

16. Describa la estructura de la criolita (Na_3AlF_6) que se muestra en las figuras adjuntas (ICSD 99660 T: 873 K). ¿Es esta estructura compatible con la estequiometría del compuesto? Determine las distancias más cortas Al-Na, Al-Al.

[Zhou Qing Di; Kennedy, B.J., High-temperature powder synchrotron diffraction studies of synthetic cryolite Na_3AlF_6 . *Journal of Solid State Chemistry (2004) 177, 654-659*]



```

Al1 F6 Na3 :: FM-3M ::  

CC=99660  

225  

7.935 7.935 7.935 90 90 90  

4  

Na 1 4a 0 0 0  

Al 1 4b 0.5 0.5 0.5  

Na 2 8c 0.250 0.250 0.250  

F 1 24e 0.000 0.000 0.2828

```

La estructura cristalina del compuesto Na_3AlF_6 puede describirse como un empaquetamiento cúbico compacto de iones Na^+ (vértices y centros de las caras) donde todos los huecos tetraédricos estarían también ocupados por iones Na^+ y todos los huecos octaédricos estarían ocupados por aniones AlF_6^{3-} . Como para un empaquetamiento compacto de N iones tenemos $2N$ huecos tetraédricos y N huecos octaédricos:

$$\text{Na}^+: N (\text{cúbico compacto}) + 2N (\text{huecos tetraédricos}) = 3N$$

$$\text{AlF}_6^{3-}: N (\text{huecos octaédricos})$$

Por lo tanto, la estequiometría es compatible con la estructura propuesta.

Otra forma de calcularlo es a partir del contenido de la celda unidad:

Otra forma de calcularlo es a partir del contenido de la celda unidad:

$$Z(Na^+) = 8 \times \frac{1}{8}(\text{vértices}) + 6 \times \frac{1}{2}(\text{caras}) + 8(T_d) = 12$$

$$Z(AlF_6^{3-}) = 12 \times \frac{1}{4}(\text{aristas}) + 1(\text{centro de la celda}) = 4$$

$$d(Al - Al) = a \frac{\sqrt{2}}{2} = 7.935 \times \frac{\sqrt{2}}{2} = 5.611 \text{ \AA}$$

$$d(Al - Na) = \frac{a\sqrt{3}}{4} = \frac{7.935\sqrt{3}}{4} = 3.436 \text{ \AA}$$

- Ex 2.** La reacción de Ga metal con fluoruro amónico a 620 K libera hidrógeno y amoníaco y produce una sal de amonio **X** en la que el galio esta como Ga(III). La estructura en estado sólido de **X** es bidimensional y consiste en cationes discretos situados entre las capas de octaedros AlF_6 que comparten vértices (sólo en un plano). Sugiera la identidad de **X**. Escriba la ecuación ajustada de la reacción entre Ga y NH_4F para dar **X**. Explique con ayuda de un diagrama cómo se mantiene la estequiotmetria de **X** en estado sólido.

FINAL: 2014.05.23

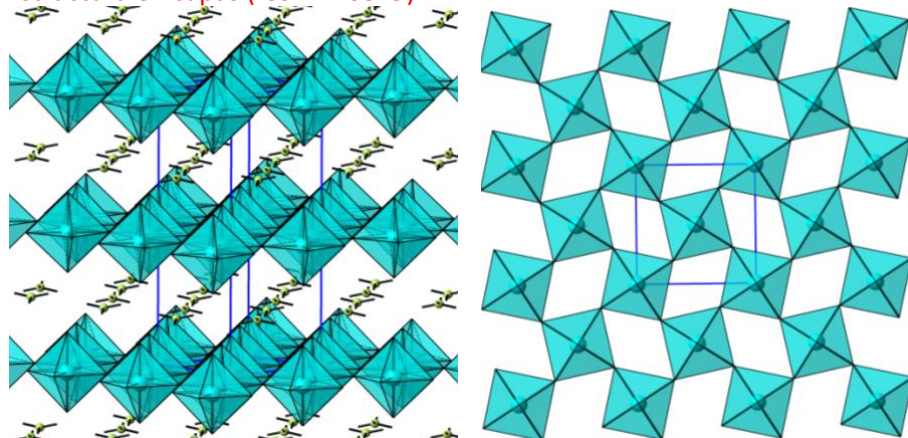
BCS File Format

```
#H4 F4 Ga1 N1 :: I4/MCM :: CC=410849  
140  
5.271 5.271 12.816 90. 90. 90.  
5  
Ga 1 4c 0 0 0  
F 1 8h -.1956 -.3044 0  
F 2 8f 0 0 0.1431  
N 1 4b 0 0.5 0.25  
H 1 161 0.104 0.396 0.237
```

Reacción de síntesis:



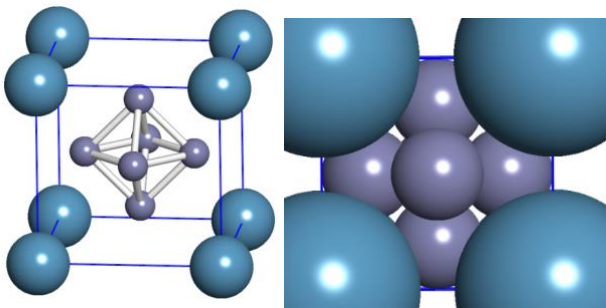
Estructura en capas (ICSD:410849):



En una capa cada octaedro AlF_6 comparte con sus vecinos 4 de los 6 F^- , por lo tanto el contenido de F^- por Ga es: $4 \times 0.5 + 2 = 4$, y la carga de cada octaedro es $n = +3 - (4 \times 0.5 + 2) = -1$. Por eso la fórmula es $NH_4[GaF_4]$.

Ex 1. puzz En las figuras adjuntas se muestran la estructura cristalina del compuesto CaB₆. Describa la estructura. ¿Es esta estructura compatible con la estequiometría del compuesto? Calcule la densidad del compuesto. Determine la distancia de enlace B-Ca sabiendo que la distancia B-B mide 1.756 Å.

[Grsoy, Murat., Synthese, Charakterisierung und thermoelektrische Eigenschaften ausgewählter Metallboride, Borcarbide und Carbaboride. Dissertation Technische Universität Darmstadt (2015) 2015, 1-211]



BCS File Format

```
#B6 Ca1 :: PM-3M :: CC=196516
221
4.1537 4.1537 4.1537 90. 90.
90.
2
Ca 1 1a 0 0 0
B 1 6f 0.5 0.5 0.201
```

La celda unidad del compuesto CaB₆ es cúbica primitiva, donde los iones Ca²⁺ ocupan los vértices de la misma y el anión octaédrico B₆²⁻ está situado en el centro (½, ½, ½).

El contenido de la celda unidad es:

$$Z(\text{Ca}^{2+}) = 8 \times \frac{1}{8} (\text{vértices}) = 1$$

$$Z(\text{B}_6^{2-}) = 1$$

$$D_x = \frac{Z \times PM}{V \times N_A} = \frac{1 \times (6 \times 10.814 + 1 \times 40.078)}{71.66 \times 10^{-24} \times 6.022 \times 10^{23}} = 2.434 \text{ g.cm}^{-3}$$

$$d = \sqrt{\left(\frac{a}{\sqrt{2}}\right)^2 + (0.201a)^2} = a\sqrt{0.540} = 3.053 \text{ Å}$$

Ex 3. puz A. Comente y complete las tablas de propiedades de los elementos del grupo 13.
FINAL: 2013.06.10; 2P: 2018.05.23

a)

- Al observar los potenciales de ionización podemos afirmar que los elementos de este grupo poseen 3 electrones de valencia y como es un grupo representativo (bloques s o p) será el grupo 13: B, Al, Ga, In, Tl, y Nh.

Propiedades atómicas

- Elementos del bloque p, grupo 3 → tienen 3 electrones de valencia: ns²np¹.
- Número atómico impar, todos excepto el Al presentan 2 isótopos estables, sus pesos atómicos con tres cifras decimales, excepto el aluminio que esta determinado con mucha precisión (1 isótopo).
- Los potenciales de ionización (PI) confirman que estos elementos sólo tienen 3 electrones de valencia ya que el cuarto potencial de ionización es varias veces superior al 3º ya que estaríamos arrancando un electrón del core.
- Se cumple la tendencia de los PI, que disminuyen al descender el grupo, ya que los electrones de valencias se sitúan cada vez en orbitales de mayor n. Solamente se observa unos valores anómalos para el Ga y el Tl. En el caso del Ga se debe al *efecto de alternancia* que surge del pobre apantallamiento que ejercen los electrones 3d sobre los electrones de valencia 4s y 4p que hace que los electrones alojados en estos orbitales estén más fuertemente unidos. En el caso del Tl se deben a los *efectos relativistas* que afectan a los electrones s de elementos con una gran número de protones en el núcleo, se produce una estabilización extra de los electrones ns y np.
- El boro presenta una afinidad electrónica baja, como todos los del segundo periodo (debido a su pequeño tamaño).
- La electronegatividad de Pauling disminuye al descender en el grupo, el repunte que se observa en el Ga se debe al *efecto de alternancia*.
- El tamaño de los átomos e iones aumenta al descender en el grupo, el Ga tiene un tamaño ligeramente menor que el Al por la presencia de electrones d en el core, que hace que los electrones 4s y 4p estén más fuertemente unidos (menos apantallados, más cerca del núcleo).

Propiedades físicas

- Son sólidos a temperatura ambiente con puntos de fusión altos, La dimensionalidad de los no metales del grupo 13 es: $18-13 = 5$, que solo la cumple el boro, cuya estructura se basa en icosaedros B12 de boro conectados en 3 D. El punto de fusión de los elementos por debajo de Al es bajo, debido a la contracción de las series d, no así su punto de ebullición.
- Los datos de conductividad indican que excepto el B todos son metales.
- El estado de oxidación +3 se hace inestable a medida que descendemos en el grupo.
- Conviene destacar el amplio intervalo de temperaturas en el que el galio permanece en estado líquido

Datos estructurales

Cada elemento cristaliza en un tipo de grupo espacial diferente, no hay isoestructuralidad entre los componentes de este grupo. La densidad aumenta al descender en el grupo.

- b) Indique qué isótopo se produce en la desintegración radiactiva del elemento más pesado del grupo.



- c) Determine las densidades, o el contenido de la celda unidad y las distancias de enlace de los dos elementos en los que no se han indicado dichos valores.

Distancia Al-Al

$$d(Al - Al) = \frac{a\sqrt{2}}{2} = 287.0 \text{ pm}$$

Distancias In-In

$$d(In - In) = \sqrt{\frac{a^2}{2} + \frac{c^2}{4}} = 337.6 \text{ pm}; d(In - In) = a = 325.1 \text{ pm}$$

Tabla 1. Propiedades atómicas de los elementos del grupo 13.

	B	Al	Ga	In	Tl	Nh
Número atómico, Z	5	13	31	49	81	113
Conf. electrónica	[He]2s ² 2p ¹	[Ne]3s ² 3p ¹	[Ar]3d ¹⁰ 4s ² 4p ¹	[Kr]4d ¹⁰ 5s ² 5p ¹	[Hg]6p ¹	[Cn]7p ¹
Nº isótopos naturales	2	1	2	2	2	(286) 19.6 s (α)
Peso atómico (IUPAC)	[10.806; 10.821]	26.9815385(7)	69.723(1)	114.818(1)	[204.382; 204.385]	286
$\Delta H_f \text{ kJ}\cdot\text{mol}^{-1}$						
[]ns ² np ¹ \rightarrow []ns ² I ₁	800.64	577.54	578.84	558.30	589.36	714
[]ns ² \rightarrow []ns ¹ I ₂	2427.07	1816.68	1979.41	1820.72	1971.03	2240
[]ns ¹ \rightarrow [core] I ₃	3659.74	2744.78	2964.59	2705.85	2880.28	3200
[core]n \rightarrow [core]n-1 I ₄	25025.54	11577.50	6101.83	5350.11	4934.26	4350
$\Delta H_{AE} \text{ kJ}\cdot\text{mol}^{-1}$	-26.98	-41.747	-41.474	-28.935	-36.375	
χ_{Pauling}	2.04	1.61	1.81	1.8	1.80	
r _{cov} (CSD) pm	84(3)	121(4)	122(3)	142(5)	145(7)	
r _{MET} (NC 12) pm	97.5	143.2	136.6	155	172.9	170
r _{ION} (M ³⁺) pm	27	53.5	62	94	98	
(M ⁺)			120	140	150	140

Tabla 2. Propiedades físicas de los elementos del grupo 13

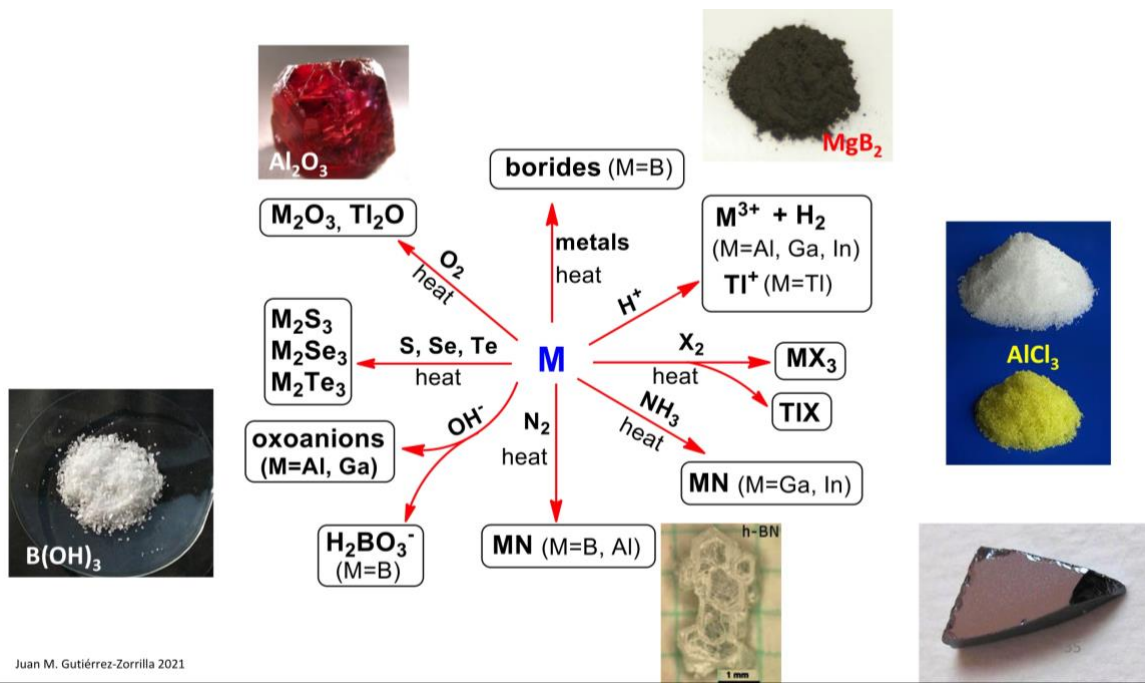
	B	Al	Ga	In	Tl	Nh
Punto de fusión °C	2077	660	29.76	157	304	430
Punto de ebullición °C	4000	2519	2229	2072	1473	1130
Entalpía de atomización kJ·mol ⁻¹	563	326	277	243	182	140
Densidad (20 °C) g·cm ⁻³	2.466	2.698	5.905	7.29	11.85	16
Conductividad eléctrica Ω ⁻¹ ·m ⁻¹	6.7×10^{-5}	3.77×10^7	3.88×10^6	1.195×10^7	5.5×10^6	
E ^o (M ³⁺ , M) V	-0.89	-1.68	-0.53	-0.34	+1.26*	
E ^o (M ⁺ , M) V			-0.79	-0.18	-0.336	0.6

Tabla 3. Datos estructurales

	B	Al	Ga	In	Tl
ICSD	94429	43492	43388	64794	44508
Sistema cristalino	romboédrico	cúbico	ortorrómbico	tetragonal	hexagonal
GE	<i>R</i> -3 <i>m</i>	<i>Fm</i> -3 <i>m</i>	<i>Cmca</i>	<i>I4/mmm</i>	<i>P6₃/mmc</i>
a Å	4.9179	4.0592(1)	4.523	3.251	3.455
b			7.661		
c	12.5805		4.524	4.945	5.519
V Å³	263.50	66.89	156.76	52.26	57.05
Z	3 (B_{12})	4	8	2	2
Dx g·cm⁻³	2.452	2.679	5.909	7.297	11.900
E-E pm	167–181	287	248–273	325	345–350

B. Describa un compuesto de uno de los elementos de este grupo que presente alguna aplicación.

Ex 4. Complete y comente la figura siguiente:



Tema 11. G.15: N, P, As, Sb, Bi, Mc

Problemas

RAZONAD TODAS LAS RESPUESTAS

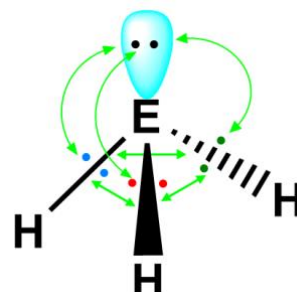
1.

Racionalice la tendencia en el valor de los ángulos de enlace H-E-H de la serie de hidruros: NH₃ (107°); PH₃ (93.5°); AsH₃ (92°), SbH₃ (91.5°).

	NH ₃	PH ₃	AsH ₃	SbH ₃	BiH ₃
	Ammonia (azane)	Phosphine (phosphane)	Arsine (arsane)	Stibine (stibane)	Bismuthane
$\chi_p(E)$	3.040	2.190	2.180	2,050	1.90
μ /D	1.47	0.57	0.20	0.12	
E-H bond distance /pm	101.7	142.0	151.9	170.7	177.6
Angle H-E-H/ °	107.8	93.5	91.8	91.7	90.5

Cuanto menor sea la distancia de enlace y mayor sea la electronegatividad de E, más cerca estarán entre sí los pares enlazantes de los enlaces E-H y por lo tanto mayor será su repulsión, lo que implica un mayor ángulo H-E-H.

$$E-H \downarrow + \chi_p(E) \uparrow \Rightarrow H-E-H \uparrow$$



La hibridación s-p se vuelve menos eficiente para los elementos de los períodos 3-6 como resultado de sus funciones radiales cada vez más dispares, siendo esta la principal razón por la que el enlace se establece a través de los orbitales p no hibridados.

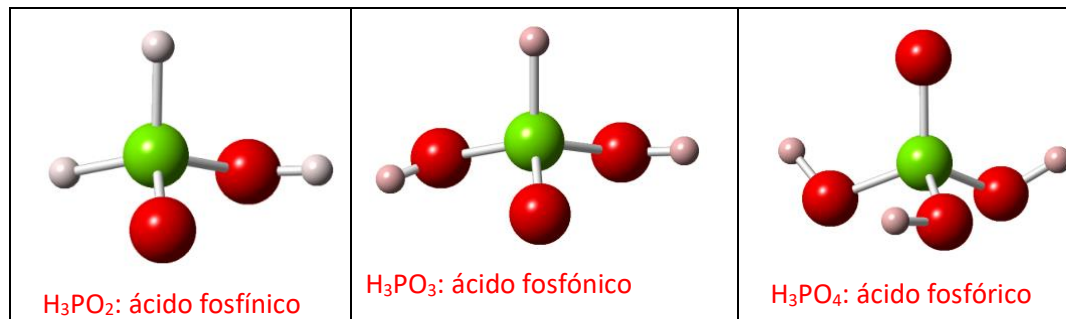
2.

Identifique el elemento X en cada uno de los siguientes casos:

- a) P, As, Sb y Bi presentan varias formas alotrópicas cada uno, en cambio el nitrógeno está presente sólo en forma de N₂ molecular. Sus óxidos son bien conocidos:

	N ₂ O	NO	N ₂ O ₃	NO ₂	N ₂ O ₄	N ₂ O ₅
Melting point / °C	-90.86	-163.6		-100.6		-11.2
Boiling point / °C	-88.48	-151.8		d 3.5		21.15
$\Delta H_f^\circ(298 K) / kJ mol^{-1}$	82.0	90.2		86.6	34.19	11.1
Dipole moment /D	0.166	0.15				11.3 (g)-43.

- b) El fósforo es el elemento del grupo 15 que forma los oxoácidos H_3PO_n ($n = 2, 3, 4$):

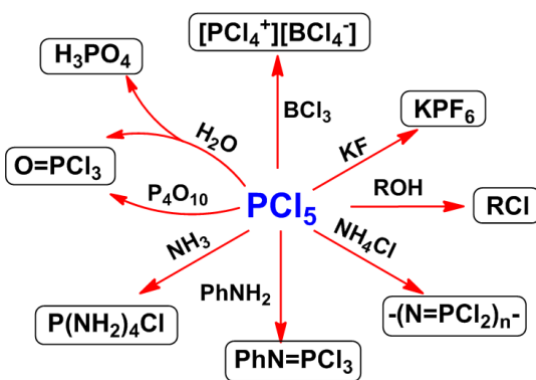


- c) Un EX_3 explosivo, EX_5 no existe: el único elemento del G15 que no puede violar la regla del octeto es el nitrógeno y forma el triyoduro, NI_3 , que es explosivo.
- d) El hidruro más inestable de los elementos del grupo 15 es el de bismuto

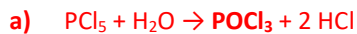
	NH_3	PH_3	AsH_3	SbH_3	BiH_3
Melting point /K	195.5	140	157	185	206
Boiling point /K	240	185.5	210.5	256	290
$\Delta H_{vap}(bp) / kJ mol^{-1}$	23.3	14.6	16.7	21.3	
$\Delta H_f^0(298 K) / kJ mol^{-1}$	-45.9	5.4	66.4	145.1	277

..

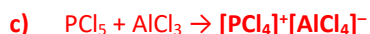
3. Escriba ecuaciones químicas ajustadas para las reacciones de los reactivos siguientes con PCl_5 e indique la estructura de los productos: (a) agua (1:1); (b) agua en exceso; (c) $AlCl_3$; (d) NH_4Cl



PCl_5 reacts violently with water to give HCl and but in equimolar amounts the reaction can be moderated to give $POCl_3$, (phosphorus oxychloric acid)



In hot water, hydrolysis proceeds completely to give o -phosphoric acid



d) When heated with NH_4Cl the phosphonitrilic chlorides are obtained:



4. A partir de $NH_3(g)$ y los reactivos que sean necesarios, dé las reacciones químicas y las condiciones de síntesis para preparar: (a) HNO_3 , (b) NO_2^- , (c) NH_2OH , (d) N_3^- .

Commercial grade nitric acid solutions are usually between 52% and 68% nitric acid. Production of nitric acid is via the Ostwald process. In this process, anhydrous ammonia is oxidized to nitric oxide, in the presence of platinum or rhodium gauge catalyst at a high temperature of about 500K and a pressure of 9 bar.



Nitric oxide is then reacted with oxygen in air to form nitrogen dioxide.



This is subsequently absorbed in water to form nitric acid and nitric oxide.

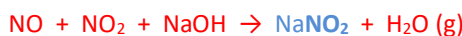
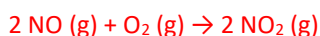


The nitric oxide is cycled back for reoxidation. Alternatively, if the last step is carried out in air:



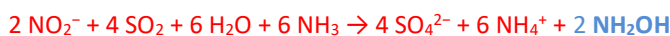
The aqueous HNO_3 obtained can be concentrated by distillation up to about 68% by mass.

b) NO_2^-



c) NH_2OH

NH_2OH can be produced via several routes. The main route is via **Raschig synthesis**: The net reaction is:



d) N_3^- .

The principal source of the azide moiety is sodium azide. Sodium azide is made industrially by the reaction of N_2O with NaNH_2 , in liquid ammonia as solvent.



5. When methylammonium chloride, $(\text{CH}_3\text{NH}_3)^+\text{Cl}^-$, is dissolved in heavy water, D_2O , only half of the hydrogen atoms in the compound are replaced by deuterium. Explain why this happens.

Only the hydrogen atoms attached to the ammonium unit are replaceable:



Rainer, 15.68

7. El ion N_3^- es isoelectrónico con el CO_2 . Dar otras tres especies que también sean isoelectrónicas del ion aziduro. Describir su enlace en términos de la teoría de OM.

El ion N_3^- es isoelectrónico con el CO_2 .

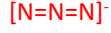


$$n_T = 3 \times 5 + 1(-) = 16 \text{ e}^-$$

$$n_D = 16 - 4 = 12$$

$$n_N = 6 \times 2 + 4 = 16$$

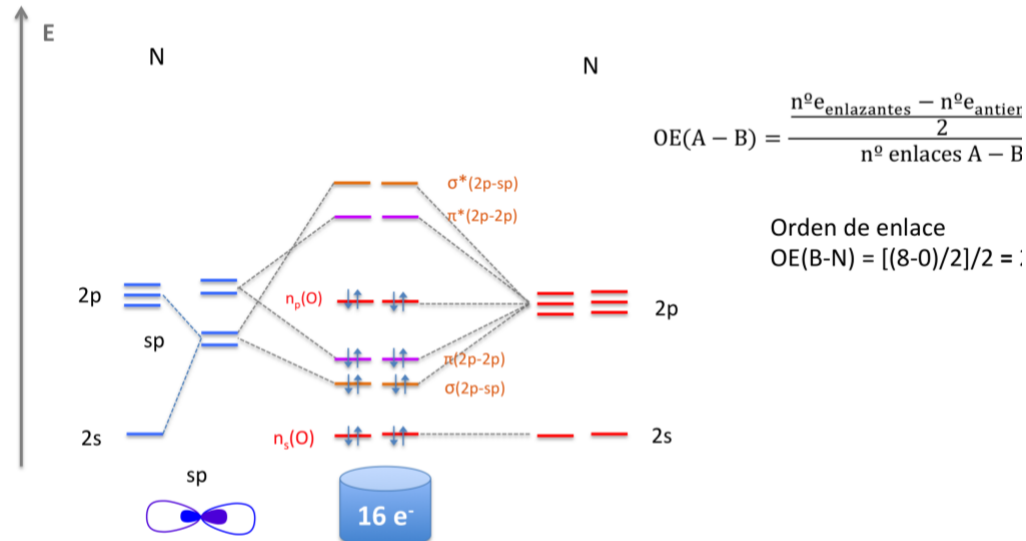
$$n(=) = (16 - 12)/2 = 2$$



$$n_{\text{est}} = 2 \Rightarrow \text{hibridación: sp} \Rightarrow \text{molécula lineal}$$

N_3^-

Formación de orbitales σ y π



B	3	CBN ⁴⁻ , BN ₂ ³⁻
C	4	C ₃ ⁴⁻ , CN ₂ ²⁻ , NCO ⁻ , NCF, CO ₂
N	5	CNO ⁻ , N ₃ ⁻ , NNO, NO ₂ ⁺
O	6	
F	7	

	A-B-C	A-B (pm)	B-C (pm)	nombre	ejemplos
CBN ⁴⁻	C=B=N	142.3	136.5	ion carburonitruroborato	Ca ₃ Cl ₂ CBN
BN ₂ ³⁻	N=B=N	130.2	130.2	ion dinitruoroborato	Ca ₃ (BN ₂) ₂
C ₃ ⁴⁻	C=C=C	133.2	133.2	ion aliluro	Mg ₂ C ₃
CN ₂ ²⁻	N=C=N	123.2	123.2	ion carbodiimida	CuCN ₂ , K ₂ CN ₂
NCO ⁻	N=C=O	117.1	121.4	ion cianato, isocianato	AgNCO
CO ₂	O=C=O	116.3	116.3	dióxido de carbono	CO ₂
NCF	N≡C-F	114.5	124.1	fluoruro de cianógeno	NCF
CNO ⁻	C≡N-O	115.4	125.9	ion fulminato	AgCNO
N ₃ ⁻	N=N=N	115.7	115.7	ion aziduro	NaN ₃
NNO	N≡N-O	112.6	118.6	óxido nitroso	N ₂ O
NO ₂ ⁺	O=N=O	115.4	115.4	ion nitronio	N ₂ O ₅ : NO ₂ ⁺ NO ₃ ⁻

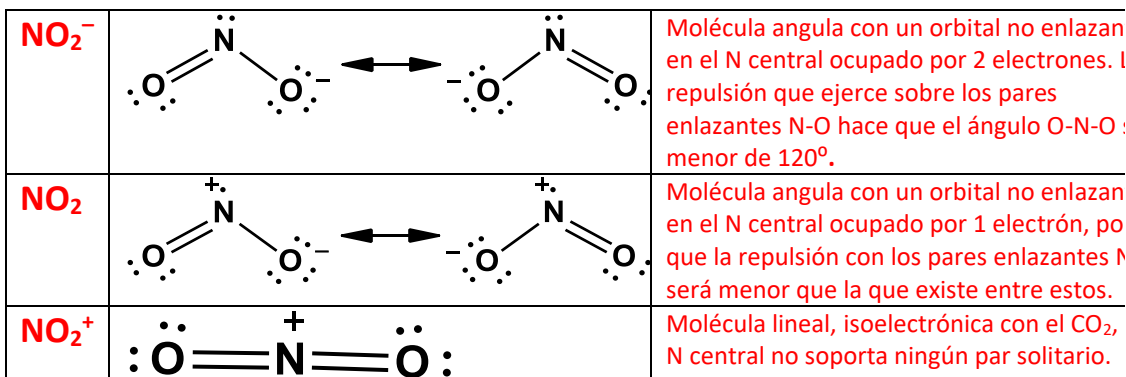
8. On warming, phosphorus pentachloride dissociates into phosphorus trichloride and dichlorine; however, phosphorus pentafluoride does not dissociate. Use bond energy arguments to explain the different behavior of the two pentahalides.

Assuming that the P-Cl bond has about the same energy in PCl_5 and PCl_3 , the dissociation energy is = 412 $\text{kJ}\cdot\text{mol}^{-1}$. For the decomposition of PF_5 , the energy change will be = 825 $\text{kJ}\cdot\text{mol}^{-1}$.

Rainer, 15.57

10. Comente el ángulo de enlace O-N-O las siguientes especies: ion nitronio, dióxido de nitrógeno, ion nitrito.

	n_T	N_D	N_N	Tipo	GP	Geometría	O-N-O ($^{\circ}$)	N-O (pm)
[O-N-O] ⁻	18	14	16	AB ₂ E	C _{2v}	Angular	117	125
O-N-O	17	13	17	AB ₂ E	C _{2v}	Angular	134	118
[O-N-O] ⁺	16	12	18	AB ₂	D _{∞h}	Lineal	180	108



11. When gaseous phosphine is bubbled into liquid hydrogen chloride, a conducting solution is formed. The product reacts with boron trichloride to give another ionic compound. Suggest the identity of each product. Write a balanced equation for each reaction and identify each reactant as a Lewis acid or base.

PH_4^+ and Cl^- , then BCl_4^- .



LB + LA (H^+) → adduct

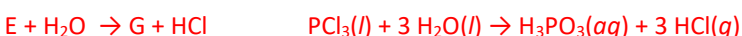
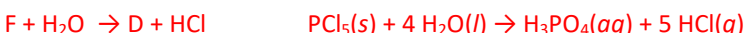


LB + LA (BCl_3) → adduct

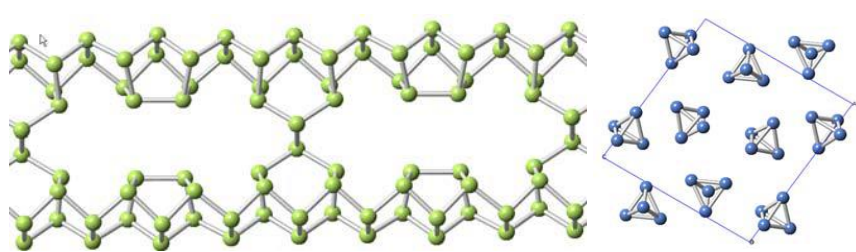
Rainer, 15.43

12. A red substance (A), when heated in the absence of air, vaporized and recondensed to give a yellow waxy substance (B). (A) did not react with air at room temperature, but (B) burned spontaneously to give clouds of a white solid (C). (C) dissolved exothermically in water to give a solution containing a triprotic acid (D). (B) reacted with a limited amount of chlorine to give a colorless fuming liquid (E), which in turn reacted further with chlorine to give a white solid (F). (F) gave a mixture of (D) and hydrochloric acid when treated with water. When water was added to (E), a diprotic acid (G) and hydrochloric acid were produced.

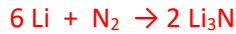
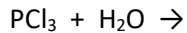
Identify substances (A) to (G) and write equations for all reactions.



	<p>[A] Red phosphorus; [B] white phosphorus; [C] tetraphosphorus decaoxide; [D] phosphoric acid; [E] phosphorus trichloride; [F] phosphorus pentachloride; [G] phosphorous/phosphonic acid.</p> <p><i>Rainer, 15.61</i></p>														
15.	<p>When magnesium metal is heated in nitrogen gas, a pale gray compound (A) is formed. Reaction of (A) with water gives a precipitate of (B) and a gas (C). Gas (C) reacts with hypochlorite ion to form a colorless liquid (D) of empirical formula NH_2. Liquid (D) reacts in a 1:1 ratio with sulfuric acid to produce the ionic compound (E) of empirical formula $\text{N}_2\text{H}_6\text{SO}_4$. An aqueous solution of (E) reacts with nitrous acid to give a solution that, after neutralization with ammonia, produces a salt (F), with empirical formula NH. The compound (F) contains one cation and one anion per formula unit. The gas (C) reacts with heated sodium metal to give a solid (G) and hydrogen gas. When the solid (G) is heated with dinitrogen oxide in a 1:1 mole ratio, a solid (H) and water are produced. The anion in (H) is the same as that in (F).</p> <p>Identify substances (A) to (H).</p> <table style="width: 100%; border-collapse: collapse;"> <tbody> <tr> <td style="width: 30%;">Mg + $\text{N}_2 \rightarrow \text{A}$</td> <td style="width: 70%;">$3 \text{Mg}(s) + \text{N}_2(g) \rightarrow \text{Mg}_3\text{N}_2(s)$</td> </tr> <tr> <td>A + $\text{H}_2\text{O} \rightarrow \text{B} + \text{C}$</td> <td>$\text{Mg}_3\text{N}_2(s) + 6 \text{H}_2\text{O}(l) \rightarrow 3 \text{Mg}(\text{OH})_2(s) + 2 \text{NH}_3(g)$</td> </tr> <tr> <td>C + $\text{HClO} \rightarrow \text{D}$</td> <td>$2 \text{NH}_3(g) \rightarrow \text{N}_2\text{H}_4(aq) + 2 \text{H}^+(aq) + 2 \text{e}^-$ $\text{ClO}^-(aq) + 2 \text{H}^+(aq) + 2 \text{e}^- \rightarrow \text{Cl}^-(aq) + \text{H}_2\text{O}(l)$</td> </tr> <tr> <td>D + $\text{H}_2\text{SO}_4 \rightarrow \text{E}$</td> <td>$\text{N}_2\text{H}_4(aq) + \text{H}_2\text{SO}_4(aq) \rightarrow \text{N}_2\text{H}_6\text{SO}_4(aq)$</td> </tr> <tr> <td>E + $\text{HNO}_2 \rightarrow \text{F}$</td> <td>$\text{N}_2\text{H}_6^{2+}(aq) + \text{HNO}_2(aq) \rightarrow \text{N}_3^-(aq) + 3 \text{H}^+(aq) + 2 \text{H}_2\text{O}(l)$ $\text{NH}_3(aq) + \text{H}^+(aq) + \text{N}_3^-(aq) \rightarrow \text{NH}_4\text{N}_3(aq)$</td> </tr> <tr> <td>C + Na → G + H₂</td> <td>$2 \text{NH}_3(g) + 2 \text{Na}(l) \rightarrow 2 \text{NaNH}_2(s) + \text{H}_2(g)$</td> </tr> <tr> <td>G + N₂O → H</td> <td>$\text{NaNH}_2(s) + \text{N}_2\text{O}(g) \rightarrow \text{NaN}_3(s) + \text{H}_2\text{O}(g)$</td> </tr> </tbody> </table> <p>[A] Magnesium nitride; [B] magnesium hydroxide; [C] ammonia; [D] hydrazine; [E] hydrazinium sulfate; [F] ammonium azide; [G] sodium amide; [H] sodium azide. (<i>Rainer, 15.62</i>)</p>	Mg + $\text{N}_2 \rightarrow \text{A}$	$3 \text{Mg}(s) + \text{N}_2(g) \rightarrow \text{Mg}_3\text{N}_2(s)$	A + $\text{H}_2\text{O} \rightarrow \text{B} + \text{C}$	$\text{Mg}_3\text{N}_2(s) + 6 \text{H}_2\text{O}(l) \rightarrow 3 \text{Mg}(\text{OH})_2(s) + 2 \text{NH}_3(g)$	C + $\text{HClO} \rightarrow \text{D}$	$2 \text{NH}_3(g) \rightarrow \text{N}_2\text{H}_4(aq) + 2 \text{H}^+(aq) + 2 \text{e}^-$ $\text{ClO}^-(aq) + 2 \text{H}^+(aq) + 2 \text{e}^- \rightarrow \text{Cl}^-(aq) + \text{H}_2\text{O}(l)$	D + $\text{H}_2\text{SO}_4 \rightarrow \text{E}$	$\text{N}_2\text{H}_4(aq) + \text{H}_2\text{SO}_4(aq) \rightarrow \text{N}_2\text{H}_6\text{SO}_4(aq)$	E + $\text{HNO}_2 \rightarrow \text{F}$	$\text{N}_2\text{H}_6^{2+}(aq) + \text{HNO}_2(aq) \rightarrow \text{N}_3^-(aq) + 3 \text{H}^+(aq) + 2 \text{H}_2\text{O}(l)$ $\text{NH}_3(aq) + \text{H}^+(aq) + \text{N}_3^-(aq) \rightarrow \text{NH}_4\text{N}_3(aq)$	C + Na → G + H ₂	$2 \text{NH}_3(g) + 2 \text{Na}(l) \rightarrow 2 \text{NaNH}_2(s) + \text{H}_2(g)$	G + N ₂ O → H	$\text{NaNH}_2(s) + \text{N}_2\text{O}(g) \rightarrow \text{NaN}_3(s) + \text{H}_2\text{O}(g)$
Mg + $\text{N}_2 \rightarrow \text{A}$	$3 \text{Mg}(s) + \text{N}_2(g) \rightarrow \text{Mg}_3\text{N}_2(s)$														
A + $\text{H}_2\text{O} \rightarrow \text{B} + \text{C}$	$\text{Mg}_3\text{N}_2(s) + 6 \text{H}_2\text{O}(l) \rightarrow 3 \text{Mg}(\text{OH})_2(s) + 2 \text{NH}_3(g)$														
C + $\text{HClO} \rightarrow \text{D}$	$2 \text{NH}_3(g) \rightarrow \text{N}_2\text{H}_4(aq) + 2 \text{H}^+(aq) + 2 \text{e}^-$ $\text{ClO}^-(aq) + 2 \text{H}^+(aq) + 2 \text{e}^- \rightarrow \text{Cl}^-(aq) + \text{H}_2\text{O}(l)$														
D + $\text{H}_2\text{SO}_4 \rightarrow \text{E}$	$\text{N}_2\text{H}_4(aq) + \text{H}_2\text{SO}_4(aq) \rightarrow \text{N}_2\text{H}_6\text{SO}_4(aq)$														
E + $\text{HNO}_2 \rightarrow \text{F}$	$\text{N}_2\text{H}_6^{2+}(aq) + \text{HNO}_2(aq) \rightarrow \text{N}_3^-(aq) + 3 \text{H}^+(aq) + 2 \text{H}_2\text{O}(l)$ $\text{NH}_3(aq) + \text{H}^+(aq) + \text{N}_3^-(aq) \rightarrow \text{NH}_4\text{N}_3(aq)$														
C + Na → G + H ₂	$2 \text{NH}_3(g) + 2 \text{Na}(l) \rightarrow 2 \text{NaNH}_2(s) + \text{H}_2(g)$														
G + N ₂ O → H	$\text{NaNH}_2(s) + \text{N}_2\text{O}(g) \rightarrow \text{NaN}_3(s) + \text{H}_2\text{O}(g)$														
16.	<p>A. ¿Por qué la reactividad del nitrógeno difiere de la del fósforo?</p> <p>El N₂ es un gas inerte ya que está formado por 2 átomos de N unidos por un enlace triple. Esto hace que se requiera una gran energía para romper dicho enlace (Ea muy altas). El fósforo está formado por tetraedros P₄ que bien pueden estar aislados o formando cadenas complejas donde la conectividad del P es 3. Liberar 2 mol átomos de N cuesta 946 kJ → 473 kJ/N, liberar 4 mol de átomos P 1254 kJ → 313 kJ/P</p> <p>B. El incremento en las dimensiones atómicas desde el As al Bi es pequeño comparado con el de N a P. Justifique su respuesta</p> <p>Contracción del bloque d, efecto de alternancia.</p> <p>C. ¿Por qué el fósforo rojo es menos reactivo que el fósforo blanco</p> <p>El P rojo presenta una estructura de dobles cadenas, el P blanco son tetraedros P₄ aislados con mayor reactividad</p>														



17. Completa las siguientes ecuaciones

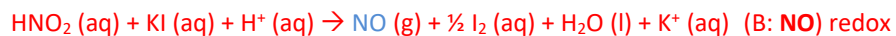
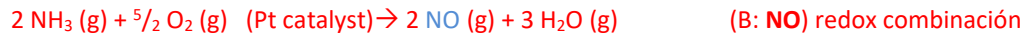


18

Ex 2013

Una sustancia **A** es un gas con una densidad de vapor de 8.5. Cuando se oxida a alta temperatura con un catalizador de platino da un gas incoloro **B**, el cual se vuelve rápidamente marrón en aire, formando un gas **C**. Los gases **B** y **C** condensan juntos para dar la sustancia **D**, que reacciona con agua para dar un ácido **E**. Cuando **E** se trata con una disolución acidificada de KI se desprende el gas **B**, pero cuando **E** se trata con una disolución de NH₄Cl, se desprende un gas incoloro estable **F**. Este gas **F** no soporta la combustión, pero el magnesio continúa ardiendo en él dando el compuesto **G**. Este compuesto es hidrolizado por el agua formando una disolución de la sustancia **A**, la cual vuelve amarillo el reactivo de Nessler. Identifique las sustancias **A** a **G** y escriba las reacciones implicadas.

Como es un compuesto de grupo 15, un gas con peso molecular 17 es el amoniaco, (A: NH₃);



El magnesio reacciona con nitrógeno para dar nitruro de magnesio

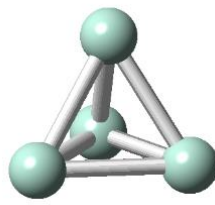


19

Ex.

A. ¿Por qué las moléculas de nitrógeno tienen la fórmula N₂ y las de fósforo P₄?

	E-E	E≡E
N	160	946
P	209	490



N y P tienen conectividad 3.

Una molécula P₄ tiene una energía de enlace total de 6x209 = 1254 kJ/mol (313/P); una molécula P₂ tiene 490 kJ/mol (245/P). Un molécula N₄ tendría 160x6 = 960 kJ/mol (240/N) mientras que el P₂ tiene 946/2 = 473/P.

B. Los compuestos de N(V) y Bi(V) son oxidantes más enérgicos que los estados de oxidación +5 de los elementos intermedios. Explicar.

El nitrógeno es un elemento de 2º periodo muy electronegativo, por lo tanto el estado de oxidación +5 sólo lo alcanzará si se combina con elementos más electronegativos que él, es decir O y F. Esto supone aplicar condiciones oxidantes enérgicas. Así, el ión N^VO₃⁻ resultará ser una especie oxidante.

El bismuto pertenece al conjunto de elementos del bloque p de 6º periodo, todos estos elementos vienen afectados por los efectos relativistas, “efecto del par inerte”, los electrones 6s tienen potenciales de ionización muy elevados y por lo tanto se necesitan condiciones oxidantes fuertes para arrancarlos, convirtiendo así a los compuestos de Bi(V) en especies oxidantes.

C. En fase sólida, el PCl₅ forma (PCl₄)⁺(PCl₆)⁻. Sin embargo, el PBr₅ forma (PBr₄)⁺Br⁻. Sugiera alguna razón por la que el compuesto de bromo tiene diferente estructura.

Steric hindrance by bromine around P center. (Rainer, 15.31)

“For more than 40 years I have selected my collaborators on the basis of their intelligence and their character and not on the basis of their grandmothers, and I am not willing to change this method which I have found so good.” (Haber, Nobel Prize 1918)

Tema 12. G.16: O, S, Se, Te, Po, Lv

Problemas

RAZONAD TODAS LAS RESPUESTAS

1. ¿Cómo se espera que sean los puntos de ebullición de los derivados orgánicos Me_2E ($\text{E} = \text{O}, \text{S}, \text{Se}, \text{Te}$) en comparación con los correspondiente hidruros, H_2E ?

Compuesto	p.f. (°C)	p.e. (°C)	μ (D)	PM	F. Intermol
Me_2O	-141.5	-24.0	1.30	46.07	dipolo-dipolo
H_2O	0.0	100.0	1.85	18.02	EH
Me_2S	-98.4	37.3		62.13	dipolo-dipolo
H_2S	-85.5	-60.7	0.97	34.08	dipolo-dipolo
Me_2Se	-87.2	57		109.03	dipolo-dipolo
H_2Se	-65.7	-41.3	0.62	80.98	dipolo-dipolo
Me_2Te	-10	82	0.2	157.67	dipolo-dipolo
H_2Te	-49	-2		129.62	dipolo-dipolo

Los puntos de fusión y ebullición de estos compuestos están de acuerdo con lo que se espera para moléculas polares que no pueden formar enlaces de hidrógeno fuertes y que sus pf y pe dependen de su peso molecular (a mayor PM mayor polarizabilidad y mayor pf).

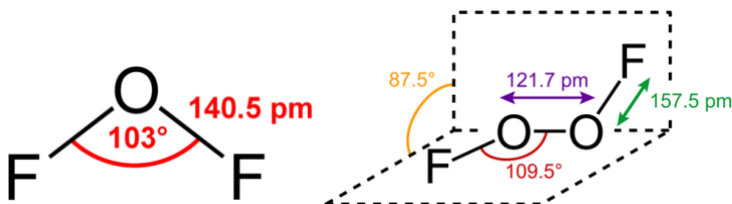
En comparación con los correspondientes compuestos H_2E , sus pf y pe son mayores, excepto en el agua, ya que es la una sustancia que forma enlaces de hidrógeno fuertes.

2. Identifique el elemento X del grupo 16 en cada uno de los siguientes casos:

- a) X tiene un estado de oxidación máximo de +2.

La configuración electrónica de los elementos del G16 es ns^2np^4 , lo que significa que sus estados de oxidación varían entre -2 y +6. Los elementos más electronegativos no suelen adoptar estados de oxidación positivos excepto cuando se combinan con otros más electronegativos.

En este caso el único elemento del grupo G16 que no alcanza el estado de oxidación +6 es el **óxigeno**, que es el segundo elemento más electronegativo, después del flúor. Es precisamente en sus combinaciones con este elemento con el que adopta estados de oxidación positivos: OF_2 (+2) y O_2F_2 (+1).



- b) Los oxoácidos y oxoaniones de X tienen un átomo X hexacoordinado

A medida que se desciende en el grupo el tamaño de los elementos aumenta y normalmente también lo hace su número de coordinación. En este caso en sus oxoácidos y oxoaniones el telurio suelen presentar un número de coordinación 6. Por lo tanto es el telurio que forma el ácido Te(OH)_6 .

- c) Los óxidos XO_2 y XO_3 son ambos poliméricos a temperatura ambiente
son los óxidos de telurio: TeO_2 presenta una estructura 2D y TeO_3 una 3D

	TeO_2	TeO_3
	3D	3D (FeO_3)
E-coordination	VOC-4	OC-6
E-O distance / pm	187.7 - 264.0	191.8
O-E-O angle/ °	78.0-167.9	89-91

d) El elemento forma un catión O_2^+

La molécula de **dioxígeno** se puede ionizar. Neil Bartlett while experimenting with fluorine and platinum, he had accidentally produced a deep-red solid whose exact chemical composition remained a mystery. With the assistance of his graduate student Derek Lohmann, he vigorously pursued the identity of the red solid. After much research, they eventually found that the known gaseous fluoride, platinum hexafluoride (PtF_6), was able to oxidize oxygen and produce the red solid, which he and Lohmann had identified as $\text{O}_2^+\text{PtF}_6^-$.

e) Todos los isótopos de X son radiactivos

Los únicos elementos radiactivos del grupo 16 son **polonio** y livermorio

3. ¿Cuáles de los siguientes compuestos contiene el ion peróxido: BaO_2 , H_2O_2 , K_2O_2 , PbO_2 ?

BaO_2	compuesto iónico formado por los iones: Ba^{2+} y O_2^{2-} (peróxido). [B:O-6; $4\eta^2, 2\eta^1$]	
K_2O_2	compuesto iónico formado por los iones K^+ y O_2^{2-} (peróxido)[K:T-4; $2\eta^2, 2\eta^1$]	
H_2O_2	molécula covalente discreta, GP: C_2	
PbO_2	Óxido tridimensional formado por los iones Pb^{2+} y O^{2-} . [Pb: OC-6]	

4. Escriba a) la reacción de formación de polonio-210 a partir de bismuto-209; b) la de descomposición del polonio-210.

a) Po is obtained when ^{209}Bi is bombarded by neutrons to give ^{210}Bi , the parent of polonium:



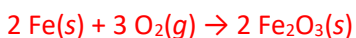


<http://www.nucleonica.net/polonium210.aspx>

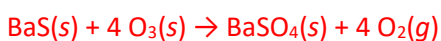
The element polonium was first discovered by Mme. Curie in 1898 while seeking the cause of radioactivity of pitchblende (uranium ore). The element is named after Poland, Mme Curie's native country. There are now 35 known radioactive isotopes of the element polonium – there are no stable isotopes. Polonium-210 (Po-210) is a naturally occurring radioactive material. Although it decays to stable lead-206, it is constantly being produced in nature from the decay of uranium-238 – the main component of uranium in the earth. Due to this “equilibrium”, the concentration of Po-210 in nature is approximately 75 μg of Po-210 for every ton of uranium-238.

5. Write balanced chemical equations for the following chemical reactions:

a) finely divided iron with dioxygen



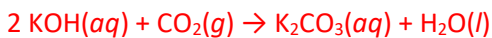
b) solid barium sulfide with trioxygen



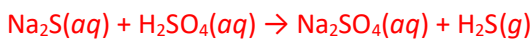
c) solid barium dioxide (2-) and water



d) potassium hydroxide solution with carbon dioxide



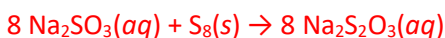
e) sodium sulfide solution with dilute sulfuric acid



f) sodium sulfite solution and sulfuric acid



g) sodium sulfite solution with *cyclo*-octasulfur



6. Establezca si los siguientes óxidos son ácidos, básicos, neutros o anfóteros: CO_2 , P_2O_5 , SO_3 , MgO , Ti_2O , CO .

	Grupo	Periodo	Propiedades	Especie en agua
CO_2	14	2	ácido débil	HCO_3^-
P_2O_5	15	3	ácido moderadamente fuerte	H_3PO_4
SO_3	15	3	ácido fuerte	H_2SO_4
MgO	2	3	base fuerte	Mg(OH)_2
Ti_2O	13	6	base fuerte	TiOH
CO	14	2	no ácido no base	CO

7. La entalpía de la conversión de $S_8(g)$ en $4S_2(g)$ es de 401 kJ y la energía de enlace promedio en la molécula S_8 es de $210.8 \text{ kJ} \cdot \text{mol}^{-1}$. Calcule la energía de enlace (E) de la molécula S_2 . ¿Es este valor consistente con que la forma alotrópica del azufre a TA sea el S_8 ?

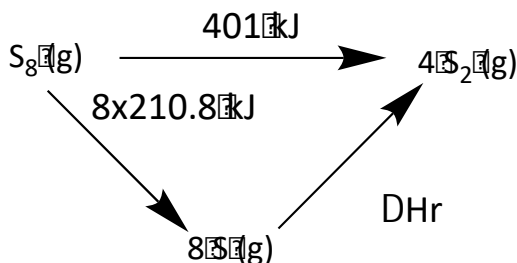
$$\Delta_rH(S_8 \rightarrow 4S_2) = \Delta_rH(S_8 \rightarrow 8S) + \Delta_rH(8S \rightarrow 4S_2)$$

$$\Delta_rH(S_8 \rightarrow 4S_2) = 8 \cdot BE(S-S) + 4 \cdot BE(S=S) = 8 \cdot 210.8 + 4 \cdot BE(S=S) = 401 \text{ kJ}$$

$$4 \cdot BE(S=S) = 401 - 8 \cdot 210.8 = 1285.4 \text{ kJ}$$

$$BE(S=S) = 1285.4 / 4 = 321.3 \text{ kJ} \cdot \text{mol}^{-1}$$

Este valor es menor del doble de un enlace sencillo S-S en el S_8 ; así que un enlace doble S=S es menos estable que dos enlaces sencillos en el S_8 , y por lo tanto el alótropo S_8 es la forma más estable a TA.



8. Comentar los siguientes valores de momento dipolar (D) en fase gaseosa: SeF_6 (0); SeF_4 (1.78); SF_4 (0.64); SCl_2 (0.36); SOCl_2 (1.45); SO_2Cl_2 (1.81).

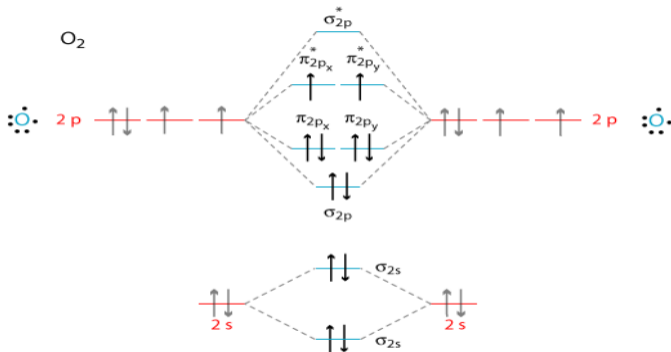
	$\mu(D)$	geometría	PM	$T_{\text{FUS}}(\text{°C})$	$T_{\text{BOL}}(\text{°C})$		$E-X(\text{pm})$	$X-E-X(\text{°})$
SeF_6	0	AB ₆ OC-6 O _h	192.95	-34	-46 (sub)			
SeF_4	1.78	AB ₄ E SS-4 C_{2v}	154.95	-9.5	101.6		167 eq 180 ax	96.9 eq 169.3 ax
SF_4	0.64	AB ₄ E SS-4 C_{2v}	108.07	-121	-38		155 eq 164 ax	
SCl_2	0.36	AB ₂ E ₂ A-2 C_{2v}	102.97	-121	59			
SOCl_2	1.45	AB ₂ B'E TPY-3 C_s	118.97	-104.5	74.6			
SO_2Cl_2	1.81	AB ₂ B'_2 T-4 C_{2v}	134.96	-54.1	69.4			

SeF_4 , SF_4 : La primera posee un mayor momento dipolar porque las distancias E-F son mayores y el Se posee un par solitario más voluminoso que el S por lo que el ángulo F-Se-F axial sea menor que en el caso del SF_4 , con lo que los momentos dipolares de enlace Se-F axiales contribuirán más a momento total. Todo ello teniendo en cuenta que S y Se tienen una electronegatividad Pauling muy similar.

En el caso del grupo de moléculas SCl_2 , SOCl_2 , SO_2Cl_2 se van sustituyendo los 2 pares solitarios del azufre por átomos de oxígeno muy electronegativos que contribuyen a incrementar el momento dipolar en su dirección.

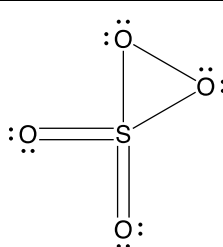
- 9.
- A. Las entalpías de vaporización (en el punto de ebullición) de H₂O, H₂S, H₂Se, H₂Te son 40.6, 18.7, 19.7, 19.2 kJ·mol⁻¹, respectivamente. Explicar la tendencia de estos valores.
- B. What would happen on this planet if hydrogen bonding ceased to exist between water molecules?
- A. La entalpía de vaporización una sustancia es la energía necesaria para pasar de líquido a gas un mol de dicha sustancia. El fenómeno físicamente consiste en romper las fuerzas intermoleculares que mantienen unidas a las moléculas en el líquido y liberarlas en fase gas como especies individuales. Por lo tanto, el valor la entalpía de vaporización estará relacionado con la naturaleza de las fuerzas intermoleculares que actúan en estado líquido. En el caso de los compuestos que nos ocupan, las fuerzas intermoleculares son interacciones dipolo-dipolo, excepto en el caso del agua que también presenta enlaces de hidrógeno fuertes. Por eso su entalpía de vaporización es tan elevada en comparación con el resto del grupo.
- B. The most apparent difference would be the vaporization of the waters in the seas, lakes, and rivers, as non-hydrogen bonded water would be expected to have a boiling point of about -90°C.

10. Las distancias de enlace en O₂, O₂⁺ y O₂²⁻ son 121, 112 y 149 pm, respectivamente. Describa el enlace en estas especies en términos de la teoría de OM y use esta para explicar las diferencias en las longitudes de enlace.



	Configuración electrónica	O-O (pm)	Orden de enlace
O ₂	(σ _{2s}) ² (σ _{2s*}) ² (σ _{2p}) ² (σ _{2p*}) ² (π _{2p}) ⁴ (π _{2p*}) ²	121	2
O ₂ ⁺	(σ _{2s}) ² (σ _{2s*}) ² (σ _{2p}) ² (σ _{2p*}) ² (π _{2p}) ⁴ (π _{2p*})	112	2.5
O ₂ ²⁻	(σ _{2s}) ² (σ _{2s*}) ² (σ _{2p}) ² (σ _{2p*}) ² (π _{2p}) ⁴ (π _{2p*}) ⁴	149	1

11. The unstable molecule SO_4 contains a three-membered ring of the sulfur atom and two oxygen atoms. The other two oxygen atoms are doubly bonded to the sulfur atom. Draw an electron-dot formula for the compound. Then derive the oxidation states of each atom in this molecule and show that no abnormal oxidation states are involved.

	$\text{CF(S)} = 6 - \frac{1}{2}(12) = 0$ $\text{CF(O=)} = 6 - 4 - \frac{1}{2}(4) = 0$ $\text{CF(O-)} = 6 - 4 - \frac{1}{2}(4) = 0$ $\text{EO(S)} = +6$ $\text{EO(O=)} = -2$ $\text{EO(O-)} = -1$
---	---

FORMAL CHARGE "RULES"

Here are some rules for determining the Formal Charge on each atom in a molecule or polyatomic ion:

1. Electrons within a Lone Pair on an atom are assigned exclusively to that atom.
2. Half of the electrons in each bond around an atom are assigned to that atom.
3. The Formal Charges on all atoms in a molecule must sum to zero; for a polyatomic ion the Formal Charges must sum to the charge on the ion (which may be positive or negative).

OXIDATION NUMBERS

We have also discussed electronegativity, which gives rise to polarity in bonds and molecules. Thus, sometimes it is helpful for us to define another somewhat artificial device - invented by chemists, not by molecules - which enables us to keep track of electrons in complicated reactions where electrons rearrange into new bonds.

We can obtain oxidation numbers by arbitrarily assigning the electrons of each covalent bond to the **more electronegative atom in the bond**.

12. Suggest an explanation why sulfur hexafluoride sublimes at 264°C while sulfur tetrafluoride boils at 238°C .

Sulfur tetrafluoride is polar and thus possesses dipole-dipole attractions between neighboring molecules. Sulfur hexafluoride is nonpolar and possesses only dispersion (London) forces

13. Identify each of the following reactants, writing balanced chemical equations for each reaction.

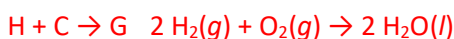
- a) A metal (A) reacts with water to give a colorless solution of compound (B) and a colorless gas (C). Common dilute diprotic acid (D) is added to (B), forming a dense white precipitate (E).

[A] Barium; [B] barium hydroxide; [C] dihydrogen; [D] sulfuric acid; [E] barium sulfate.



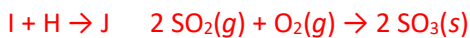
- b) A solution of (F) slowly decomposes to give a liquid (G) and a colorless gas (H). Gas (H) reacts with colorless gas (C) to give liquid (G).

[F] Hydrogen peroxide; [G] water; [H] dioxygen.



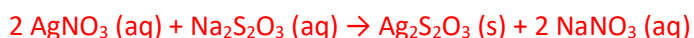
- c) Under certain conditions, colorless acidic gas (I) will react with gas (H) to give a white solid (J). Addition of (G) to (J) gives a solution of acid (D).

[I] Sulfur dioxide; [J] sulfur trioxide.

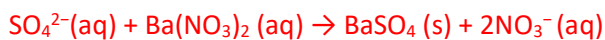


	<p>$G + J \rightarrow D \quad SO_3(s) + H_2O(l) \rightarrow H_2SO_4(aq)$</p> <p>d) (A) burns in excess gas (H) to give compound (K). Compound (K) dissolves in water to produce a solution of (B) and (F).</p> <p>[K] Barium dioxide(2-).</p> <p>$A + H \rightarrow K \quad Ba(s) + O_2(g) \rightarrow BaO_2(s)$</p> <p>$K + H_2O \rightarrow B + F \quad BaO_2(s) + 2 H_2O(l) \rightarrow Ba(OH)_2(aq) + H_2O_2(aq)$</p>												
14.	<p>A gas (A) was bubbled into a solution of a common monopositive hydroxide (B) to give a solution of the salt (C). The cation of (B) gives a precipitate with the tetraphenylborate ion. Heating yellow solid (D) with a solution of (C) and evaporating the water gives crystals containing anion (E). Addition of iodine to a solution of anion (E) gives iodide ion and a solution of anion (F). Addition of hydrogen ion to a solution of anion (E) initially produces acid (G), which decomposes to form solid (D) and gas (A). Identify (A) through (G), writing balanced equations for each step.</p> <p>[A] Sulfur dioxide; [B] potassium hydroxide; [C] potassium sulfite; [D] sulfur; [E] thiosulfate ion; [F] tetrathionate ion; [G] thiosulfuric acid.</p> <table style="width: 100%; border-collapse: collapse;"> <tbody> <tr> <td style="width: 30%;">A + B \rightarrow C</td> <td style="width: 70%;">$SO_2(g) + 2 KOH(aq) \rightarrow K_2SO_3(aq)$</td> </tr> <tr> <td>M(B) + [B(C₆H₅)₄]⁻ \rightarrow M[B(C₆H₅)₄]</td> <td>$K^+(aq) + [B(C_6H_5)_4]^{-}(aq) \rightarrow K[B(C_6H_5)_4](s)$</td> </tr> <tr> <td>C + D \rightarrow E</td> <td>$K_2SO_3(aq) + S(s) \rightarrow K_2S_2O_3(aq)$</td> </tr> <tr> <td>E + I₂ \rightarrow F</td> <td>$2 S_2O_3^{2-}(aq) + I_2(aq) \rightarrow S_4O_6^{2-}(aq) + 2 I^-(aq)$</td> </tr> <tr> <td>E + H⁺ \rightarrow G</td> <td>$S_2O_3^{2-}(aq) + 2 H^+(aq) \rightarrow H_2S_2O_3(aq)$</td> </tr> <tr> <td>G \rightarrow D + A + H₂O</td> <td>$H_2S_2O_3(aq) \rightarrow H_2O(l) + S(s) + SO_2(g)$</td> </tr> </tbody> </table>	A + B \rightarrow C	$SO_2(g) + 2 KOH(aq) \rightarrow K_2SO_3(aq)$	M(B) + [B(C ₆ H ₅) ₄] ⁻ \rightarrow M[B(C ₆ H ₅) ₄]	$K^+(aq) + [B(C_6H_5)_4]^{-}(aq) \rightarrow K[B(C_6H_5)_4](s)$	C + D \rightarrow E	$K_2SO_3(aq) + S(s) \rightarrow K_2S_2O_3(aq)$	E + I ₂ \rightarrow F	$2 S_2O_3^{2-}(aq) + I_2(aq) \rightarrow S_4O_6^{2-}(aq) + 2 I^-(aq)$	E + H ⁺ \rightarrow G	$S_2O_3^{2-}(aq) + 2 H^+(aq) \rightarrow H_2S_2O_3(aq)$	G \rightarrow D + A + H ₂ O	$H_2S_2O_3(aq) \rightarrow H_2O(l) + S(s) + SO_2(g)$
A + B \rightarrow C	$SO_2(g) + 2 KOH(aq) \rightarrow K_2SO_3(aq)$												
M(B) + [B(C ₆ H ₅) ₄] ⁻ \rightarrow M[B(C ₆ H ₅) ₄]	$K^+(aq) + [B(C_6H_5)_4]^{-}(aq) \rightarrow K[B(C_6H_5)_4](s)$												
C + D \rightarrow E	$K_2SO_3(aq) + S(s) \rightarrow K_2S_2O_3(aq)$												
E + I ₂ \rightarrow F	$2 S_2O_3^{2-}(aq) + I_2(aq) \rightarrow S_4O_6^{2-}(aq) + 2 I^-(aq)$												
E + H ⁺ \rightarrow G	$S_2O_3^{2-}(aq) + 2 H^+(aq) \rightarrow H_2S_2O_3(aq)$												
G \rightarrow D + A + H ₂ O	$H_2S_2O_3(aq) \rightarrow H_2O(l) + S(s) + SO_2(g)$												
15.	<p>Discutir la interpretación de cada una de las siguientes observaciones:</p> <p>(a) Cuando Cu metal se calienta en H₂SO₄ (conc), además de formarse CuSO₄ y SO₂, también se obtienen pequeñas cantidades de CuS.</p> <p>$Cu + 2 H_2SO_4 \rightarrow SO_2 + 2 H_2O + SO_4^{2-} + Cu^{2+}$</p> <p>$Cu + SO_2 + 2 H^+ \rightarrow CuS + H_2O$</p> <p>(b) El anión [TeF₅]⁻ pertenece al grupo puntual de simetría C_{4v}, y presenta un valor del ángulo de enlace F_{ap}-Te-F_{ba} = 80°.</p> <p>$N_T = 6+7\times 5+1 = 42 \rightarrow N_D = 42-10 = 32 \rightarrow N_N = 30$</p> <p>Molécula: AB₅E \rightarrow Disposición octaédrica de los pares \rightarrow Molécula con Grupo puntual: C_{4v}. El ángulo es menor de 90° porque el par solitario repele más los cuatro pares enlazantes basales que el par enlazante Te-F_{ap}.</p> <table style="width: 100%; border-collapse: collapse;"> <tbody> <tr> <td style="width: 25%; text-align: center;"> Square pyramidal </td> <td style="width: 25%; text-align: center;"> </td> <td style="width: 25%; text-align: center;"> Te1- F1 = 1.8990 Å (ap) Te1-F2 = 1.9812 Å (ba) Te1- F3 = 1.9392 Å 8ba </td> <td style="width: 25%; text-align: center;"> F1- Te1-F3 79.456° F1- Te1- F2 77.949° F1- Te1- F2 77.949° F1- Te1- F3 79.456° </td> </tr> </tbody> </table>	 Square pyramidal		Te1- F1 = 1.8990 Å (ap) Te1-F2 = 1.9812 Å (ba) Te1- F3 = 1.9392 Å 8ba	F1- Te1-F3 79.456° F1- Te1- F2 77.949° F1- Te1- F2 77.949° F1- Te1- F3 79.456°								
 Square pyramidal		Te1- F1 = 1.8990 Å (ap) Te1-F2 = 1.9812 Å (ba) Te1- F3 = 1.9392 Å 8ba	F1- Te1-F3 79.456° F1- Te1- F2 77.949° F1- Te1- F2 77.949° F1- Te1- F3 79.456°										

(c) El nitrato de plata da un precipitado blanco cuando se añade a una disolución acuosa de tiosulfato de sodio, el precipitado se disuelve en un exceso de anión $[S_2O_3]^{2-}$. Si el precipitado se calienta con agua se vuelve negro y el líquido sobrenadante da un precipitado blanco cuando se añade una disolución acidificada de $Ba(NO_3)_2$.



El precipitado es de tiosulfato de plata que se redissuelve en exceso de tiosulfato por formación de un anión complejo

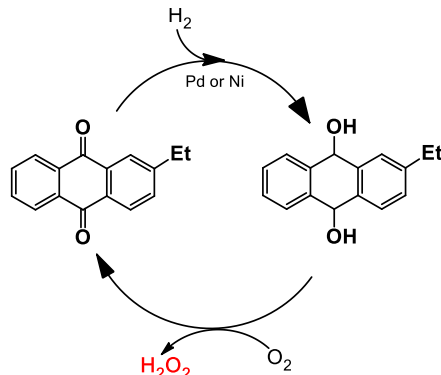
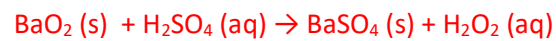


16

Describa un método de obtención del peróxido de hidrógeno. Dibuje y explique la estructura del H_2O_2 en fase gaseosa. Escriba ecuaciones ajustadas para la reacción de H_2O_2 con:

Ex. 1

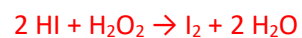
A catalytic cycle is used in the industrial manufacture of **hydrogen peroxide**: O_2 is converted to H_2O_2 during the oxidation of the organic alkyl-anthraquinol. The organic product is reduced by H_2 in a Pd- or Ni-catalysed reaction.



a) una disolución ácida (HCl) de $KMnO_4$



b) HI (aq)



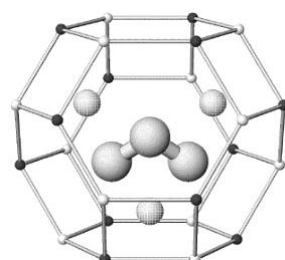
c) una disolución alcalina de Cl_2



17.

Ex. 2

Azul ultramar, azul ultramarino (Ultramarine) es el nombre dado a los pigmentos utilizados para obtener el color del mismo nombre, presenta una estructura basada en la de la sodalita con iones sodio y aniones a base de azufre ocupando las cavidades, tiene la fórmula $Na_x[Al_6Si_6O_{24}]_2(S_3)_2$ donde el azufre está como ion trisulfide, S_3^- . Determine el valor de x y explique su color.



Tarling et al., *Acta Cryst.* (1988). B44, 128-135

Al: $6x2x3=+36$, Si: $6x2x4=+48$

O: $24 \times 2x(-2) = -96$; S_3^- : $2x(-1) = -2$

Na: $48 + 36 - 96 - 2 = -14 \rightarrow x = 14$

The radical anion S_3^- has an intense blue colour. The ion is also called thiozonide, by analogy with the ozonide anion, O_3^- . The gemstone lapis lazuli and the mineral lazurite (from which the pigment ultramarine is derived) contain S_3^- . International Klein Blue, developed by Yves Klein, also contains the S_3^- radical anion. This is valence isoelectronic with the ozonide ion. T. Chivers, I. Drummond, Inorg. Chem., 1972, 11, 2525.

The spectrum of the colour shows a strong absorption band at 610–620 nm or 2.07 eV. The blue colour is due to the C^2A_2 transition to the X^2B_1 electronic state in the ion.

The intense blue color is due to the presence of the S_3^- radical anion in the crystal.[11] An electronic excitation of one electron from the highest doubly filled molecular orbital (No. 24) into the lowest singly occupied orbital (No. 25)[12] results in a very intense absorption line at $\lambda_{\text{max}} \sim 617$ nm

18. Cuando se bombardea con núcleos de ^{48}Ca un blanco de ^{248}Cm se forma ^{292}Lv este sufre una cadena de desintegraciones alfa hasta llegar al isótopo darmstatio-280, que se desintegra mediante un proceso de autofisión.
Escriba todas las ecuaciones de la cadena de desintegración e identifique los isótopos que se forman.
Este experimento se llevo a cabo según el procedimiento descrito por Oganessian y col.:
A beam of $^{48}\text{Ca}^{5+}$ ions was delivered by the U400 cyclotron at FLNR, JINR, operated with the ECR-4M ion source. The average beam intensity at the target was $0.7 \text{ p}\mu\text{A}$ at the consumption rate of the ^{48}Ca material of 0.3 mg h^{-1} . The 32-cm 2 rotating target consisted of the enriched isotope ^{248}Cm (96.3%) in the form of CmO_2 deposited onto 1.5- μm Ti foils to a thickness of 0.32 mg cm $^{-2}$.
We chose the bombarding energy for ^{48}Ca ions of 240 MeV in the middle of the target. With the 1.5-MeV beam energy resolution, variation of the beam energy during irradiation (± 0.9 MeV), and energy losses in the target (2.8 MeV), we expected the resulting compound nucleus $^{296}\text{116}$ to have an excitation energy between 30.4 MeV and 35.8 MeV. Thus, the compound nuclei should deexcite most probably by the evaporation of three or four neutrons and γ rays which would result in the production of isotopes of element 116 with neutron numbers $N = 176$ and 177. Alpha decays of the nuclides $^{292,293}\text{116}$ lead to the known isotopes of element 114 which were produced in our recent experiments via the reactions $^{244}\text{Pu}(^{48}\text{Ca}, 3 - 4 n)^{288,289}\text{114}$. Their chains of sequential decays should be observed, following α -particle emission from the parent nuclei with $Z = 116$.
- ["Observation of the decay of \$^{292}\text{116}\$ ". Physical Review 2000. C. 63\(1\): 011301.](#)
[doi:10.1103/PhysRevC.63.011301](https://doi.org/10.1103/PhysRevC.63.011301)

Problemas

RAZONAD TODAS LAS RESPUESTAS

1

A) Los puntos de fusión del diamante y grafito son superiores a 3550 °C, pero el C₆₀ sublima entre 450 y 500 °C. Explique esta observación.

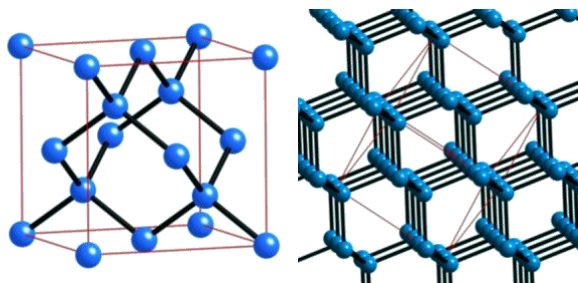
B) Explain why the boiling point of SnCl₂ is 652 °C but that of SnCl₄ is 114 °C.

A) Las dos formas alotrópicas del carbono que presentan estructuras infinitas son el diamante y el grafito, y por lo tanto habrá que romper enlace covalentes C-C para evaporar dichas sustancias.

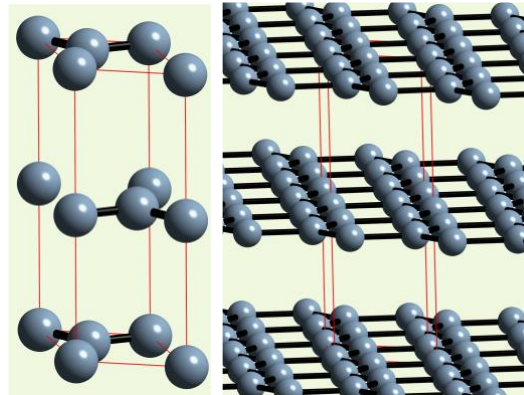
Diamante

Estructura 3D,

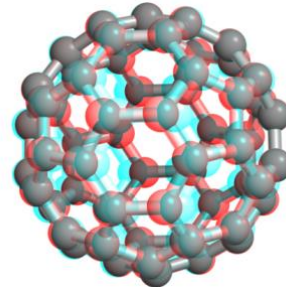
C tetraédricamente coordinado a otros cuatro.

**Grafito**

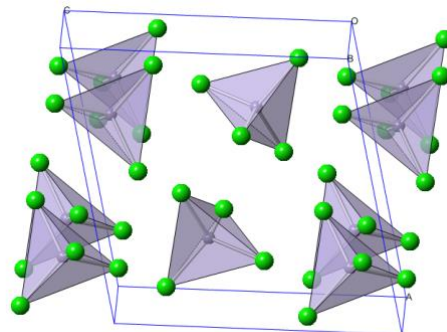
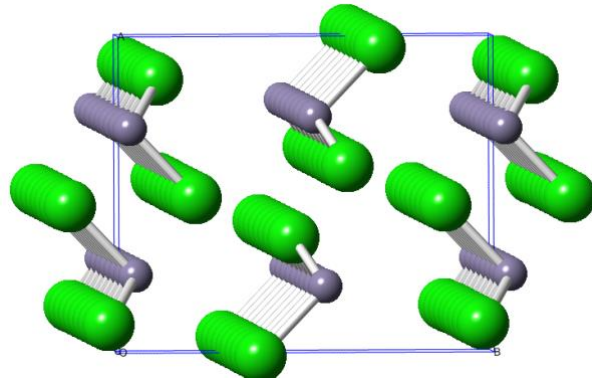
Estructura 2D, capas hexagonales formadas por átomos de C unidos a otros tres.



El C₆₀ es una molécula discreta, las uniones que es necesario romper para vaporizar la sustancia son fuerzas de Van der Waals.



B) El SnCl₂ presenta una estructura 1D, cadenas, (tipo PbCl₂), donde Sn²⁺ adopta una coordinación SPY-4. La estructura cristalina del compuesto SnCl₄ está constituida por moléculas discretas (SnCl₄) donde el Sn⁴⁺ está tetraédricamente coordinado a 4 Cl (T-4).



2

Identifique el elemento X en cada uno de los siguientes casos:

- El óxido XO_2 tiene un elevado punto de fusión, y es muy abundante en la Naturaleza.
- X forma 3 óxidos: XO , XO_2 , X_3O_2 .
- X forma compuestos principalmente en estado de oxidación +2, aunque existen algunos compuestos con estado de oxidación +4.
- X presenta varias formas alotrópicas, incluido una molecular.

- a) El silicio es el segundo elemento más abundante de la corteza terrestre y junto con el oxígeno, el más abundante, forma un gran número de compuestos, sílice, silicatos, etc.,

El cuarzo, SiO_2 , es un óxido con un elevado punto de fusión.

	Abund. corteza (ppm)	Prod. anual (Tm)
C	200	8 600 000 000
Si	282 000	7 290 000
Ge	1.5	118
Sn	2.3	277 000
Pb	14	4 400 000

- b) El único elemento que forma óxidos con la siguiente estequiométría es el carbono:

	CO	CO ₂	C ₃ O ₂
Melting point /K	-205	-57	-112
Boiling point /K	-191	(sub)-79	6.7
$\Delta_fH^\circ(298\text{ K})/\text{kJ mol}^{-1}$	-110.5	-393.5	+97.8
D(C-O) / kJ mol ⁻¹	1075	806	
C-O bond distance /pm	112.8	116.0	114.4-114.8
C-C bond distance /pm			128
Dipole moment /D	0.11	0	0

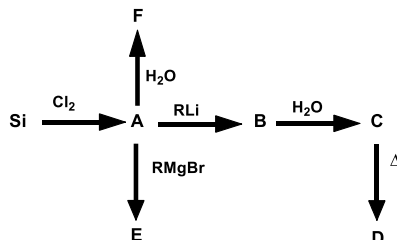
- c) Los elementos pesados del bloque p se ven afectados por los efectos relativistas, que hace que en sus compuestos más estables presenten un estado de oxidación 2 unidades menos que el resto de los elementos del grupo. Por lo tanto X es el plomo.

- d) El elemento que presenta varias formas alotrópicas es el carbono:

Diamond, Graphite, Lonsdaleite, fullerenes (C₆₀, C₇₀, ..., C₅₄₀), carbon nanotubes (SWNT, MWNT)

3

Identifique los compuestos A-F:



Compound A

In the laboratory, $SiCl_4$ can prepared by treating silicon with chlorine, it was first prepared by Berzelius in 1823:

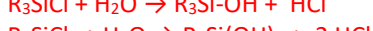


Compounds B

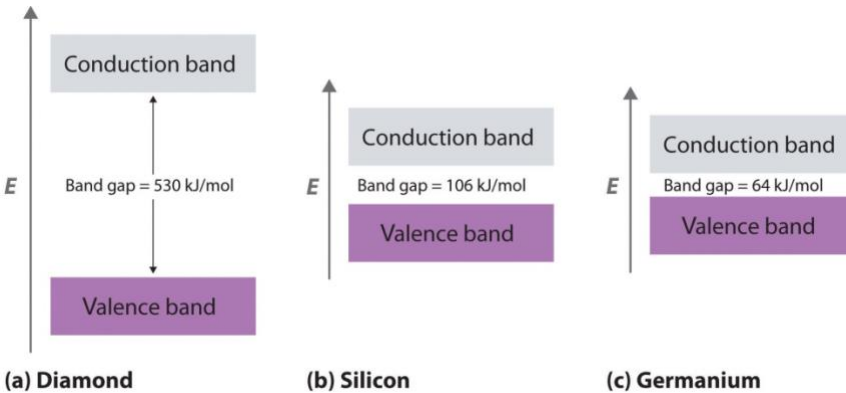
Silicon tetrachloride is a classic electrophile in its reactivity, it forms a variety of organosilicon compounds upon treatment with Grignard reagents and organolithium compounds:



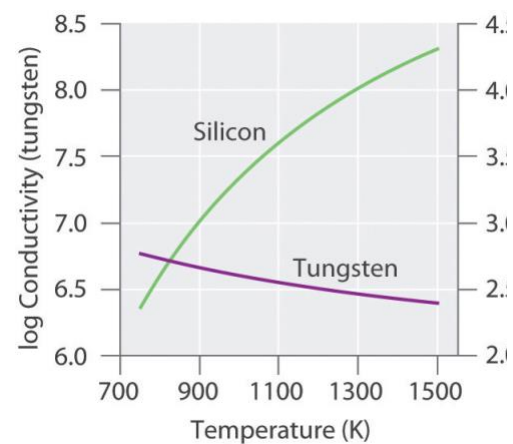
Compounds C



	<p>$\text{RSiCl}_3 + \text{H}_2\text{O} \rightarrow \text{RSi(OH)}_3 + 3 \text{ HCl}$</p> <p>Compounds D</p> <p>La deshidratación de los organosilanos produce especies poliméricas:</p> <p>$\text{R}_3\text{Si-OH} \rightarrow -\text{R}_3\text{Si-O-}$ terminal group</p> <p>$\text{R}_2\text{Si(OH)}_2 \rightarrow -\text{O-SiR}_2\text{-O-}$ chain forming group</p> <p>$\text{RSi(OH)}_3 \rightarrow -\text{RSi}(-\text{O-})_3$ branching and bridging group</p> <p>Compounds E</p> <p>Silicon tetrachloride forms a variety of organosilicon compounds upon treatment with Grignard reagents and organolithium compounds:</p> <p>$\text{SiCl}_4 + \text{RMgBr} \rightarrow (\text{R,Cl})_4\text{Si} + \text{n MgX}_2$</p> <p>Compounds F</p> <p>Silicon tetrachloride reacts readily with water:</p> <p>$\text{SiCl}_4 + 4 \text{ H}_2\text{O} \rightarrow \text{Si(OH)}_4 + 4 \text{ HCl}$</p>
4	<p>Write complete, balanced equations for the processes indicated.</p> <ol style="list-style-type: none"> The combustion of silane The preparation of PbO_2 The reaction of CaO with SiO_2 at high temperature The preparation of GeCl_2 The reaction of SnCl_4 with water The preparation of tetraethyllead <p>(a) The combustion of silane</p> <p>At room temperature, silane is a gas, and is pyrophoric — it undergoes spontaneous combustion in air, without the need for external ignition</p> <p>$\text{SiH}_4 + \text{O}_2 \rightarrow \text{SiO}_2 + 2 \text{ H}_2\text{O}$</p> <p>(b) The preparation of PbO_2</p> <p>Lead dioxide is produced commercially by several methods, which include oxidation of Pb_3O_4 in alkaline slurry in a chlorine atmosphere, reaction of lead(II) acetate with calcium chloride, or reacting Pb_3O_4 with dilute nitric acid:</p> <p>$\text{Pb}_3\text{O}_4 + 4 \text{ HNO}_3 \rightarrow \text{PbO}_2 + 2 \text{ Pb}(\text{NO}_3)_2 + 2 \text{ H}_2\text{O}$</p> <p>(c) The reaction of CaO with SiO_2 at high temperature</p> <p>Se pueden obtener diferentes silicatos de calcio variando la proporción de sílice y óxido de calcio:</p> <p>$3\text{CaO} \cdot \text{SiO}_2$, Ca_3SiO_5</p> <p>$2\text{CaO} \cdot \text{SiO}_2$, Ca_2SiO_4</p> <p>$3\text{CaO} \cdot 2\text{SiO}_2$, $\text{Ca}_3\text{Si}_2\text{O}_7$</p> <p>$\text{CaO} \cdot \text{SiO}_2$, CaSiO_3 ($\text{CaO} + \text{SiO}_2 \rightarrow \text{CaSiO}_3$)</p> <p>(d) The preparation of GeCl_2</p> <p>Solid GeCl_2 can be produced by passing GeCl_4 over Ge metal at 650°C.</p> <p>$\text{GeO}_2 + \text{HCl}$ (conc) $\rightarrow \text{GeCl}_4$</p> <p>$\text{GeCl}_4 + \text{Ge} \rightarrow 2\text{GeCl}_2$</p> <p>(e) The reaction of SnCl_4 with water</p> <p>$\text{SnCl}_4 + 2 \text{ H}_2\text{O} \rightarrow \text{SnO}_2 + 4 \text{ HCl}$</p> <p>(f) The preparation of tetraethyllead</p> <p>TEL is produced by reacting chloroethane with a sodium–lead alloy.</p> <p>$4 \text{ NaPb} + 4 \text{ CH}_3\text{CH}_2\text{Cl} \rightarrow (\text{CH}_3\text{CH}_2)_4\text{Pb} + 4 \text{ NaCl} + 3 \text{ Pb}$</p>

5	<p>Explicar el hecho de que cuando se añade una disolución acuosa de KCN a una disolución de sulfato de aluminio, se forma un precipitado de Al(OH)_3.</p> <p>La disolución de KCN en agua produce la dissociación del compuesto en iones K^+ y iones CN^-.</p> <p>El ion K^+ es un catión no ácido, el anión cianuro es la base conjugada del ácido débil HCN.</p> <p>$\text{KCN} \rightarrow \text{K}^+ (\text{aq}) + \text{CN}^- (\text{aq})$</p> <p>$\text{CN}^- (\text{aq}) + \text{H}_2\text{O} \rightleftharpoons \text{HCN} (\text{aq}) + \text{OH}^- (\text{aq})$</p> <p>$\text{Al}_2(\text{SO}_4)_3 \rightarrow 2\text{Al}^{3+} (\text{aq}) + 3\text{SO}_4^{2-} (\text{aq})$</p> <p>$\text{Al}^{3+} (\text{aq}) + 3\text{OH}^- (\text{aq}) \rightleftharpoons \text{Al(OH)}_3 (\text{s})$</p>																				
6	<p>A) Describe the trend in band gap energy, E_g, for the elements carbon (diamond) to tin (grey).</p> <p>For group 14 elements with the diamond structure, atoms and band gap energies are:</p> <table border="1" data-bbox="271 653 1489 1028"> <thead> <tr> <th>Material</th> <th></th> <th>E_g (eV)</th> <th>Description</th> </tr> </thead> <tbody> <tr> <td>Diamond</td> <td>C</td> <td>5.47</td> <td>Excellent thermal conductivity. Superior mechanical and optical properties. Extremely high mechanical quality factor.</td> </tr> <tr> <td>Silicon</td> <td>Si</td> <td>1.11</td> <td>Most common semiconductor, easy to fabricate. Good electrical and mechanical properties. Forms high quality thermal oxide for insulation purposes.</td> </tr> <tr> <td>Germanium</td> <td>Ge</td> <td>0.67</td> <td>Used in early radar detection diodes and first transistors; requires lower purity than silicon. A substrate for high-efficiency multijunction photovoltaic cells. Very similar lattice constant to gallium arsenide. High-purity crystals used for γ spectroscopy. May grow whiskers, which impair reliability of some devices.</td> </tr> <tr> <td>Grey tin, α-Sn</td> <td>Sn</td> <td>0.00, 0.08</td> <td>Low temperature allotrope (diamond cubic lattice).</td> </tr> </tbody> </table>  <p>What if the difference in energy between the highest occupied level and the lowest empty level is intermediate between those of electrical conductors and insulators? This is the case for silicon and germanium, which have the same structure as diamond. Because Si–Si and Ge–Ge bonds are substantially weaker than C–C bonds, the energy gap between the filled and empty bands becomes much smaller as we go down group 14 (part (b) and part (c) of Figure 12.23 "Energy-Band Diagrams for Diamond, Silicon, and Germanium").</p> <p>The valence-band structure of diamond, for example, is shown in part (a) in Figure 12.23. Because diamond has only 4 bonded neighbors rather than the 6 to 12 typical of metals, the carbon 2s and 2p orbitals combine to form two bands in the solid, with the one at lower energy representing bonding molecular orbitals and the one at higher energy representing antibonding molecular orbitals. Each band can accommodate four electrons per atom, so only the lower band is occupied. Because the energy gap between the filled band and the empty band is very large (530 kJ/mol), at normal temperatures thermal energy cannot excite electrons from the filled level into the empty band. Thus there is no pathway by which electrons can move through the solid, so diamond has one of the lowest electrical conductivities known.</p>	Material		E_g (eV)	Description	Diamond	C	5.47	Excellent thermal conductivity. Superior mechanical and optical properties. Extremely high mechanical quality factor.	Silicon	Si	1.11	Most common semiconductor, easy to fabricate. Good electrical and mechanical properties. Forms high quality thermal oxide for insulation purposes.	Germanium	Ge	0.67	Used in early radar detection diodes and first transistors; requires lower purity than silicon. A substrate for high-efficiency multijunction photovoltaic cells. Very similar lattice constant to gallium arsenide. High-purity crystals used for γ spectroscopy. May grow whiskers, which impair reliability of some devices.	Grey tin, α -Sn	Sn	0.00, 0.08	Low temperature allotrope (diamond cubic lattice).
Material		E_g (eV)	Description																		
Diamond	C	5.47	Excellent thermal conductivity. Superior mechanical and optical properties. Extremely high mechanical quality factor.																		
Silicon	Si	1.11	Most common semiconductor, easy to fabricate. Good electrical and mechanical properties. Forms high quality thermal oxide for insulation purposes.																		
Germanium	Ge	0.67	Used in early radar detection diodes and first transistors; requires lower purity than silicon. A substrate for high-efficiency multijunction photovoltaic cells. Very similar lattice constant to gallium arsenide. High-purity crystals used for γ spectroscopy. May grow whiskers, which impair reliability of some devices.																		
Grey tin, α -Sn	Sn	0.00, 0.08	Low temperature allotrope (diamond cubic lattice).																		

	<p>B) Does the electrical conductivity of silicon increase or decrease when its temperature is changed from 20°C to 40°C?</p> <p>Because thermal energy can excite electrons across the band gap in a semiconductor, increasing the temperature increases the number of electrons that have sufficient kinetic energy to be promoted into the conduction band. The electrical conductivity of a semiconductor therefore increases rapidly with increasing temperature, in contrast to the behavior of a purely metallic crystal. In a metal, as an electron travels through the crystal in response to an applied electrical potential, it cannot travel very far before it encounters and collides with a metal center. The more often such encounters occur, the slower the <i>net</i> motion of the electron through the crystal, and the <i>lower</i> the conductivity. This effect is, however, substantially smaller than the increase in conductivity with temperature exhibited by semiconductors. For example, the conductivity of a tungsten wire decreases by a factor of only about two over the temperature range 750–1500 K, whereas the conductivity of silicon increases approximately 100-fold over the same temperature range.</p>
7	<p>Write balanced chemical equations corresponding to the following chemical reactions:</p> <ol style="list-style-type: none"> solid beryllium carbide with water carbon monoxide with dichlorine hot magnesium metal with carbon dioxide solid sodium carbonate with hydrochloric acid heating barium carbonate carbon disulfide gas and chlorine gas tin(II) oxide with hydrochloric acid <p>(a) $\text{Be}_2\text{C}(s) + 4 \text{H}_2\text{O}(l) \rightarrow 2 \text{Be}(\text{OH})_2(s) + \text{CH}_4(g)$ (b) $\text{CO}(g) + \text{Cl}_2(g) \rightarrow \text{COCl}_2(g)$ (c) $2 \text{Mg}(s) + \text{CO}_2(g) \rightarrow 2 \text{MgO}(s) + \text{C}(s)$ (d) $\text{Na}_2\text{CO}_3(s) + 2 \text{HCl}(aq) \rightarrow 2 \text{NaCl}(aq) + \text{CO}_2(g) + \text{H}_2\text{O}(l)$ (e) $\text{BaCO}_3(s) \rightarrow \text{BaO}(s) + \text{CO}_2(g)$ (f) $\text{CS}_2(g) + 3 \text{Cl}_2(g) \rightarrow \text{CCl}_4(g) + \text{S}_2\text{Cl}_2(l)$ (g) $\text{SnO}(s) + 2 \text{HCl}(aq) \rightarrow \text{SnCl}_2(aq) + \text{H}_2\text{O}(l)$</p>



8

Ultramarine, the beautiful blue pigment used in oil-based paints, has the formula $\text{Na}_x[\text{Al}_6\text{Si}_6\text{O}_{24}]\text{S}_3^-$, where the sulfur is present as the trisulfide radical ion, S_3^- . Determine the value of x and describe the crystal structure.

$$x \times (\text{Na}^+) + 6 \times (\text{Al}^{3+}) + 6 \times (\text{Si}^{4+}) + 24 \times (\text{O}^{2-}) + 2 \times (\text{S}_3^-) = 0$$

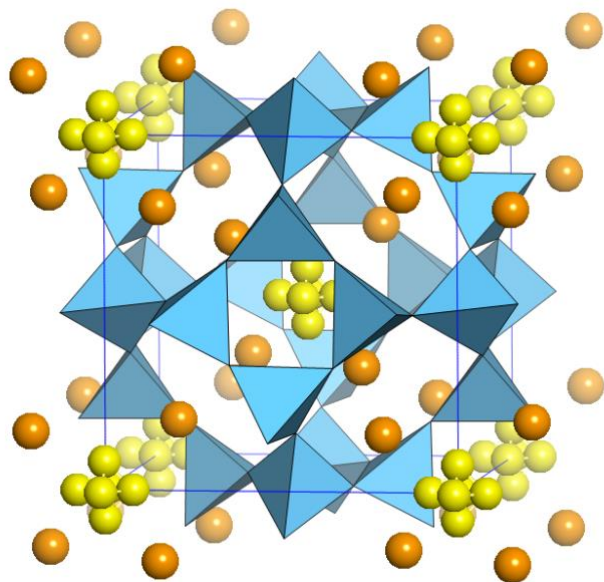
$$x(+1) + 6(+3) + 6(+4) + 24(-2) + 2(-1) = 0 = x+18+24-48-2 = x-8 \Rightarrow x = 8$$

ICSD: 63022

'I -4 3 m' (217)

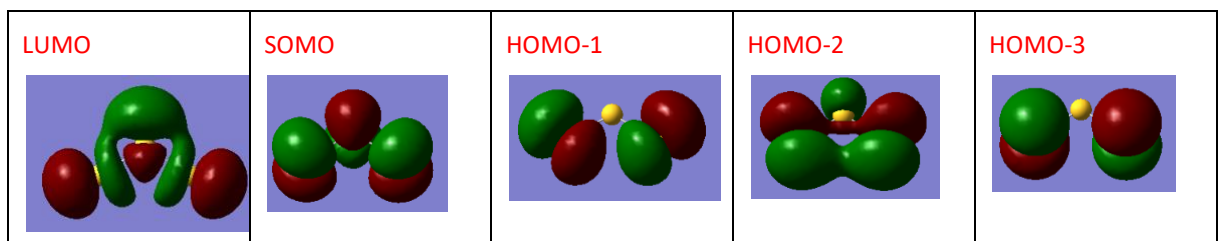
 $a = 9.0338(12) \text{ \AA}$ $V = 737.2407 \text{ \AA}^3$ $Z = 1$

Tarling, S.E.; Barnes, P.; Klinowski, J.,
Acta Cryst. **1988**, *B44*, 128

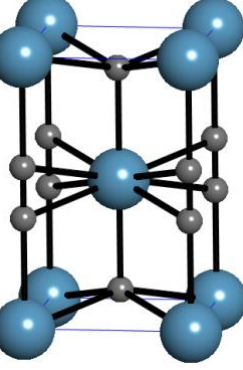


Ultramarine is the aluminosilicate [zeolite](#) with the [sodalite](#) structure. Sodalite consists of interconnected aluminosilicate cage. Some of these cages contain polysulfide]] ($\text{S}_x^{\text{R}-}$) groups that are the chromophore (color centre). The negative charge on these ions is balanced by Na^+ ions that also occupy these cages.

The framework structure is that of sodalite, and the pigments may be obtained synthetically by furnaceing a mixture of the appropriate amounts of kaolin, sulfur, sodium carbonate and minor ingredients. The search for the precise nature of the intensely blue colour group continued in the 1960's and 1970's, and involved extensive spectroscopic studies of the various ultramarines and sulfur-containing systems (doped alkali halides, sodalites etc.). S_2^- , S_2^{2-} , S_3^- , S_4^- were considered to be likely contenders. Opinions in favour of S_3^- gradually hardened (Morton, 1969), and a quantum-mechanical calculation (Cotton, Harmon & Hedges, 1976) on the S_3^- radical identified an antibonding $2b_2$ to non-bonding $1a_2$ transition at 13190 cm^{-1} which compared well with the spectroscopic observation (13500 cm^{-1}) for a C_{2v} S-S-S configuration with S-S distances between 2.0 and 2.1 \AA , and an S-S-S angle of about 110° . Thus the current picture of the ultramarine blue chromophore is that of an (S-S-S) $^-$ group trapped in the sodalite cage and isotropically disordered at room temperature.

Frontier orbitals of S_3^- 

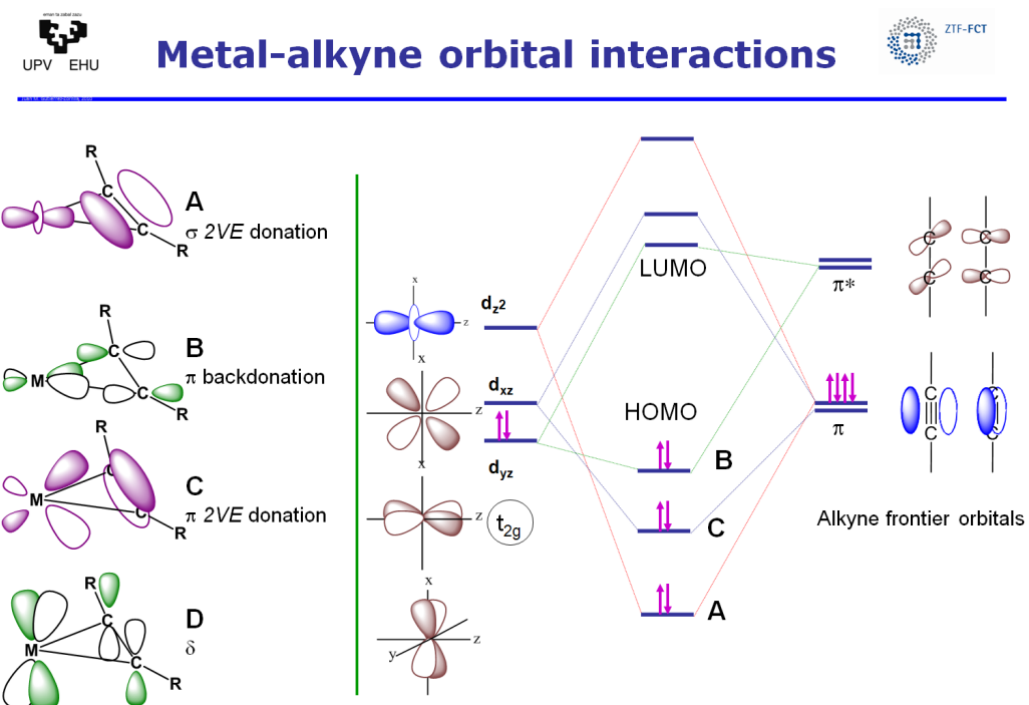
11	<p>A flammable gas (A) is reacted at high temperature with a molten yellow element (B) to give compounds (C) and (D). Compound (D) has the odor of rotten eggs. Compound (C) reacts with a pale green gas (E) to give as a final product compound (F) and element (B). Compound (F) can also be produced by the direct reaction of (A) with (E). Identify each species and write balanced chemical equations for each step.</p> <p>A = CH₄; B = S; C = CS₂; D = H₂S; E = Cl₂; F = CCl₄</p> <p>A + B → C + D $\text{CH}_4(g) + 4 \text{S}(s) \rightarrow \text{CS}_2(g) + 2 \text{H}_2\text{S}(g)$</p> <p>C + E → F + B $\text{CS}_2(g) + 2 \text{Cl}_2(g) \rightarrow \text{CCl}_4(g) + 2 \text{S}(s)$</p> <p>A + E → F + ... $\text{CH}_4(g) + 4 \text{Cl}_2(g) \rightarrow \text{CCl}_4(g) + 4 \text{HCl}(g)$</p>
12	<p>Magnesium silicide, Mg₂Si, reacts with hydronium ion to give magnesium ion and a reactive gas (X). A mass of 0.620 g of gas (X) occupied a volume of 244 mL at a temperature of 25°C and a pressure of 100 kPa. The sample of gas decomposed in aqueous hydroxide ion solution to give 0.730 L of hydrogen gas and 1.200 g of silicon dioxide. What is the molecular formula of (X)? Write a balanced chemical equation for the reaction of (X) with water.</p> <p>We can find the moles of gas X using the Ideal Gas Equation, PV = nRT:</p> $n(X) = \frac{PV}{RT} = \frac{(100 \text{ kPa})(0.244 \text{ L})}{(8.31 \text{ kPa} \cdot \text{l} \cdot \text{mol}^{-1}\text{K}^{-1})(298 \text{ K})} = 9.85 \cdot 10^{-3} \text{ mol}$ $\text{molar mass (X)} = \frac{0.620 \text{ g}}{9.85 \cdot 10^{-3} \text{ mol}} = 62.9 \text{ g mol}^{-1}$ <p>Next we calculate the moles of hydrogen gas:</p> $n(H_2) = \frac{PV}{RT} = \frac{(100 \text{ kPa})(0.730 \text{ L})}{(8.31 \text{ kPa} \cdot \text{l} \cdot \text{mol}^{-1}\text{K}^{-1})(298 \text{ K})} = 2.95 \cdot 10^{-2} \text{ mol}$ <p>and the moles of silicon:</p> $n(Si) = \frac{m}{M(SiO_2)} = \frac{1.200 \text{ g}}{60.1 \text{ g mol}^{-1}} = 2.00 \cdot 10^{-2} \text{ mol}$ <p>Thus in 1 mol of gas X, there are</p> $\frac{2.00 \cdot 10^{-2} \text{ mol (Si)}}{9.85 \cdot 10^{-3} \text{ mol (X)}} : \frac{2.95 \cdot 10^{-2} \text{ mol (H}_2\text{)}}{9.85 \cdot 10^{-3} \text{ mol (X)}} = 2.03 \text{ mol (Si)} : 2.99 \text{ mol (H}_2\text{)}$ <p>Molecular formula = Si₂H₆</p> <p>Si₂H₆(g) + 8 H₂O(l) → 2 Si(OH)₄(s) + 7 H₂(g)</p>

13	<p>Draw a Lewis structure for linear C_3O_2. (b) Consider possible Lewis structures for linear and non-linear (bent at the central atom) $[\text{OCNCO}]^+$ and $[\text{NCNCN}]^-$. Comment on these structures in view of the following X-ray diffraction crystallographic data:</p> <p>$[\text{OCNCO}]^+[\text{Sb}_3\text{F}_{16}]^-$ Ang.: C-N-C: 131°; N-C-O: 173°; Dist.: C-O: 112 pm; C.N: 125 pm $\text{Cs}[\text{NCNCN}]$ Ang.: C-N-C: 124°; N-C-N: 172°; Dist.: C-N_t: 115 pm; C.N_c: 128 pm</p> <p>(a) A Lewis structure for C_3O_2 is:</p> $\begin{array}{c} \cdot\ddot{\text{O}}=\text{C}=\text{C}=\text{C}=\ddot{\text{O}}\cdot \\ \cdot\quad\quad\quad\quad\quad\cdot \end{array}$ <p>(b) Possible Lewis structures can be drawn by considering isoelectronic relationships between C and N^+, O and N^-, and N and O^+.</p> <p>Therefore starting from linear C_3O_2, Lewis structures for linear $[\text{OCNCO}]^+$ and $[\text{NCNCN}]^-$ are:</p> $\begin{array}{cc} \begin{array}{c} \cdot\ddot{\text{O}}=\text{C}=\overset{+}{\text{N}}=\text{C}=\ddot{\text{O}}\cdot \\ \cdot\quad\quad\quad\quad\quad\cdot \end{array} & \begin{array}{c} \cdot\overset{-}{\text{N}}=\text{C}=\overset{+}{\text{N}}=\text{C}=\overset{-}{\text{N}}\cdot \\ \cdot\quad\quad\quad\quad\quad\cdot \end{array} \end{array}$ <p>However, the observed bond angles at the central atom show that the ions are non-linear in the solid state salts studied. For each ion, if a negative charge is localized on the central N atom, then a Lewis structure consistent with a non-linear structure can be drawn:</p> $\begin{array}{cc} \begin{array}{c} \begin{array}{c} \cdot\ddot{\text{O}}=\overset{+}{\text{C}}-\overset{\cdot\cdot}{\text{N}}-\text{C}=\ddot{\text{O}}\cdot \\ \cdot\quad\quad\quad\quad\quad\cdot \end{array} & \begin{array}{c} \cdot\ddot{\text{N}}=\overset{\cdot\cdot}{\text{C}}-\overset{+}{\text{N}}-\text{C}=\ddot{\text{N}}\cdot \\ \cdot\quad\quad\quad\quad\quad\cdot \end{array} \end{array} \end{array}$ <p>The observed bond lengths in salts of $[\text{OCNCO}]^+$ and $[\text{NCNCN}]^-$ are consistent with the above Lewis structures.</p>
14	<p>Las distancias C-C en carburos de fórmula MC_2 están en el rango 119 a 124 pm cuando M es un elemento del grupo 2. Pero la distancia se hace más larga (128-130 pm) cuando M es un metal del grupo 3 o un lantánido. Explique este hecho sabiendo que todos los compuestos cristalizan en una estructura tipo CaC_2, donde M: Ca, Sr, Ba; Y, La, Ce, Pr, Nd, Sm, Eu, Gd, Tb, Dy, Ho, Er, Tm, Yb, Lu</p> <p>10 Miessler</p> 

Alkynes have **two** sets of mutually orthogonal p-orbitals. These p-orbitals of alkynes can bind to the transition metal in a) σ -type fashion (**A**), b) π -backbond (**B**)

The orthogonal set can also bind in a π -type fashion using an orthogonal metal d-orbital (**C**)

The back-donation to the antibonding orbital (**D**) is a δ -bond and the degree of overlap is quite small as the two orbitals meet side-to-side rather than engaging in direct overlap. Therefore, the contribution of **D** to the bonding of alkynes is minimal at best.



15

Un posible nuevo alótropo de carbono que podría ser interesante por sus propiedades eléctricas es el carbino $^1\infty[\text{C}\equiv\text{C}-\text{C}\equiv\text{C}-]$, el cual contiene alternativamente enlaces sencillos y triples. (a) ¿Cuántos enlace σ y π por átomo de carbono tiene este alótropo? (b) ¿Cuál es el alótropo más estable de carbono? ¿ Cuántos enlace σ y π por átomo tiene? (c) calcule la entalpía para la conversión de 6 mol de átomos de carbono de la nueva hipotética forma alotrópica a la forma alotrópica más estable. ¿Está favorecida la reacción?

(a, b) El alótropo más estable del carbono es el grafito: $^2\infty[\text{C}]$

carbino: enlaces $\sigma/\text{C} = 1$; enlaces $\pi/\text{C} = 1$

grafito: enlaces $\sigma/\text{C} = 1.5$; enlaces $\pi/\text{C} = \frac{1}{2}$

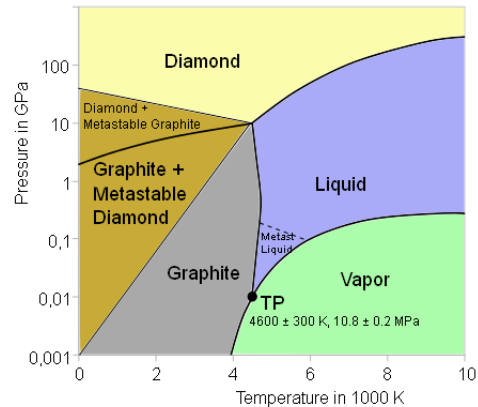
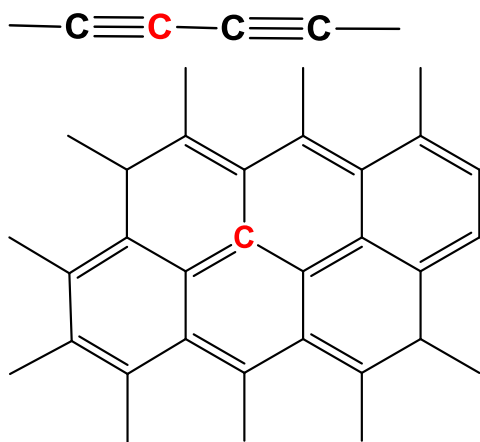
(c) $^1\infty[\text{C}\equiv\text{C}-\text{C}\equiv\text{C}-] \rightarrow ^2\infty[\text{C}]$

carbino \rightarrow grafito

La reacción convierte $\frac{1}{2} \pi / \text{C}$ en $\frac{1}{2} \sigma / \text{C}$:

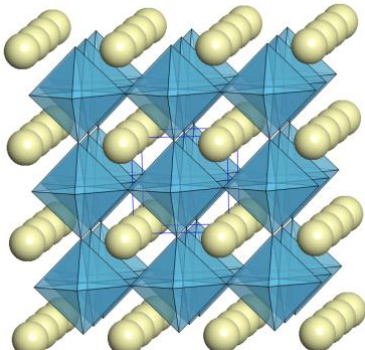
$$6 \cdot [0.5 \cdot (+256)] + 6 \cdot [0.5 \cdot (-346)] = -270 \text{ kJ}$$

La reacción está favorecida

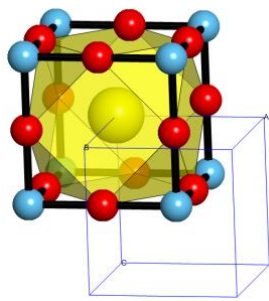


Enlace	D(kJ/mol)	D (σ) + D(π)	r (pm)
C-C	346	346 + 0	154
C=C	602	346 + 256	134

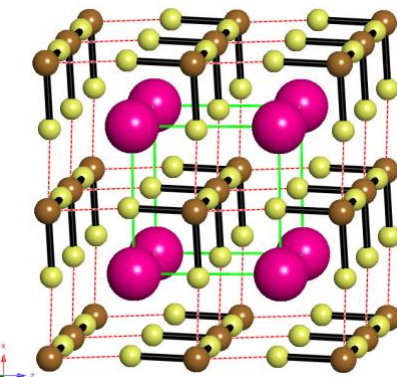
16	<p>Clasifique cada uno de los siguientes silicatos en función de su estructura: (a) bustamita $\text{CaMn}(\text{SiO}_3)_2$; (b) espodumeno $\text{LiAlSiO}_3)_2$; (c) tremolita $\text{Ca}_2\text{Mg}_5(\text{OH})_2(\text{Si}_4\text{O}_{11})_2$; (d) cofinita USiO_4; (e) kaolinita $\text{Al}_2(\text{OH})_4(\text{Si}_2\text{O}_5)$</p> <table border="1" style="width: 100%; border-collapse: collapse;"> <thead> <tr style="background-color: #92D050;"> <th style="padding: 5px;">Silicato</th><th style="padding: 5px;">Descripción</th><th style="padding: 5px;">Fórmula</th><th style="padding: 5px;">Si:O ratio</th></tr> </thead> <tbody> <tr> <td style="padding: 5px;">Nesosilicatos</td><td style="padding: 5px;">o ortosilicatos, poseen tetraedros aislados conectados a través de cationes intersticiales</td><td style="padding: 5px;">$[\text{SiO}_4]^{4-}$</td><td style="padding: 5px;">1:4</td></tr> <tr> <td style="padding: 5px;">Sorosilicatos</td><td style="padding: 5px;">poseen grupos aislados de dos tetraedros</td><td style="padding: 5px;">$[\text{Si}_2\text{O}_7]^{6-}$</td><td style="padding: 5px;">2:7</td></tr> <tr> <td style="padding: 5px;">Ciclosilicatos (anillo)</td><td style="padding: 5px;">poseen tetraedros unidos formando anillos de 3 (T_3O_9)⁶⁻ y 6 (T_6O_{18})¹²⁻ miembros</td><td style="padding: 5px;">$[\text{Si}_x\text{O}_{3x}]^{2x-}$</td><td style="padding: 5px;">1:3</td></tr> <tr> <td style="padding: 5px;">Inosilicatos (cadena)</td><td style="padding: 5px;">tienen cadenas entrelazadas de tetraedros de silicato, ya sean simples o dobles</td><td style="padding: 5px;">$[\text{SiO}_3]^{2x-}$ $[\text{Si}_4\text{O}_{11}]_x^{6x-}$</td><td style="padding: 5px;">1:3 4:11</td></tr> <tr> <td style="padding: 5px;">Filosilicatos (capa)</td><td style="padding: 5px;">o silicatos laminares, forman capas paralelas de tetraedros de silicato</td><td style="padding: 5px;">$[\text{Si}_2\text{O}_5]_x^{2x-}$</td><td style="padding: 5px;">2:5</td></tr> <tr> <td style="padding: 5px;">Tectosilicatos (armazón)</td><td style="padding: 5px;">tienen un armazón 3D de tetraedros de silicato. Representan el 75% de los silicatos de la corteza terrestre. Los tectosilicatos, a excepción del cuarzo, son aluminosilicatos</td><td style="padding: 5px;">$[\text{SiO}_2]_x$</td><td style="padding: 5px;">1:2</td></tr> </tbody> </table> <p style="margin-top: 10px;"> (a) bustamita $\text{CaMn}(\text{SiO}_3)_2$ inosilicato (cadena simple) (b) espodumeno $\text{LiAlSiO}_3)_2$ inosilicato (cadena simple) (c) tremolita $\text{Ca}_2\text{Mg}_5(\text{OH})_2(\text{Si}_4\text{O}_{11})_2$ inosilicato, anfíboles (cadena doble) (d) cofinita USiO_4 nesosilicatos (tetraedros aislados) (e) kaolinita $\text{Al}_2(\text{OH})_4(\text{Si}_2\text{O}_5)$ filosilicato (láminas de tetraedros) </p>	Silicato	Descripción	Fórmula	Si:O ratio	Nesosilicatos	o ortosilicatos , poseen tetraedros aislados conectados a través de cationes intersticiales	$[\text{SiO}_4]^{4-}$	1:4	Sorosilicatos	poseen grupos aislados de dos tetraedros	$[\text{Si}_2\text{O}_7]^{6-}$	2:7	Ciclosilicatos (anillo)	poseen tetraedros unidos formando anillos de 3 (T_3O_9) ⁶⁻ y 6 (T_6O_{18}) ¹²⁻ miembros	$[\text{Si}_x\text{O}_{3x}]^{2x-}$	1:3	Inosilicatos (cadena)	tienen cadenas entrelazadas de tetraedros de silicato, ya sean simples o dobles	$[\text{SiO}_3]^{2x-}$ $[\text{Si}_4\text{O}_{11}]_x^{6x-}$	1:3 4:11	Filosilicatos (capa)	o silicatos laminares , forman capas paralelas de tetraedros de silicato	$[\text{Si}_2\text{O}_5]_x^{2x-}$	2:5	Tectosilicatos (armazón)	tienen un armazón 3D de tetraedros de silicato . Representan el 75% de los silicatos de la corteza terrestre. Los tectosilicatos, a excepción del cuarzo, son aluminosilicatos	$[\text{SiO}_2]_x$	1:2
Silicato	Descripción	Fórmula	Si:O ratio																										
Nesosilicatos	o ortosilicatos , poseen tetraedros aislados conectados a través de cationes intersticiales	$[\text{SiO}_4]^{4-}$	1:4																										
Sorosilicatos	poseen grupos aislados de dos tetraedros	$[\text{Si}_2\text{O}_7]^{6-}$	2:7																										
Ciclosilicatos (anillo)	poseen tetraedros unidos formando anillos de 3 (T_3O_9) ⁶⁻ y 6 (T_6O_{18}) ¹²⁻ miembros	$[\text{Si}_x\text{O}_{3x}]^{2x-}$	1:3																										
Inosilicatos (cadena)	tienen cadenas entrelazadas de tetraedros de silicato, ya sean simples o dobles	$[\text{SiO}_3]^{2x-}$ $[\text{Si}_4\text{O}_{11}]_x^{6x-}$	1:3 4:11																										
Filosilicatos (capa)	o silicatos laminares , forman capas paralelas de tetraedros de silicato	$[\text{Si}_2\text{O}_5]_x^{2x-}$	2:5																										
Tectosilicatos (armazón)	tienen un armazón 3D de tetraedros de silicato . Representan el 75% de los silicatos de la corteza terrestre. Los tectosilicatos, a excepción del cuarzo, son aluminosilicatos	$[\text{SiO}_2]_x$	1:2																										
Ex 1	<p>A. ¿La conductividad eléctrica del silicio aumenta o disminuye con la temperatura?</p> <p style="color: red;">La conductividad de un semiconductor aumenta con la temperatura ya que al aumentar T aumentamos la concentraciones de electrones libres en la banda de conducción y por ende la concentración de huecos en la banda de valencia.</p> $n \times p = 4 \cdot \left(\frac{mk_B T}{2\pi\hbar^2} \right) \exp\left(-\frac{E_g}{k_B T}\right)$ <p>B. Above 328 K, CsGeCl_3 adopts a perovskite structure; at 298 K, the structure is distorted, but remains based on perovskite. Does solid CsGeCl_3 contain discrete $[\text{GeCl}_3]^-$ ions?</p> <p style="color: red;">No y Si. La estructura de este compuesto se basa en una red 3D de octaedros $[\text{GeCl}_6]^{3-}$ (Fig. A) que comparten vértices y los iones Cs^+ se colocan en los huecos cuboctaédricos (Fig. B). Aunque a TA la estructura está distorsionada lo suficiente como para que cada Ge esté unido a 3 Cl a 2.41 Å y a otros 3 a 3.04 Å (semicoordinación) con lo que podría describirse la estructura como un sistema de cationes Cs^+ y aniones piramidales $[\text{GeCl}_3]^-$ discretos, (Fig. C).</p>																												



(A)



(B)



(C)

- C. Explain why PbX_2 halides are more stable than PbX_4 halides.

Two types of halide for this group are known: MX_2 and MX_4 . The M(IV) halides dominate the top of the group while the M(II) halides dominate at the bottom. All the M(IV) halides MX_4 ($\text{M} = \text{C}, \text{Si}, \text{Ge}$; $\text{X} = \text{F}, \text{Cl}, \text{Br}, \text{I}$) are all known for the three elements carbon, silicon, and germanium at the top of the group. However, as the group is descended, the stability of the M(II) state increases relative to the M(IV) state. None of the dihalides MX_2 exist independently for carbon or silicon while most of the divalent halides MX_2 are known for germanium in addition to the germanium tetrahalides. At the bottom of the group the most stable lead halides are PbX_2 and the only known tetrahalide seems to be PbCl_4 (this decomposes exothermically to PbCl_2 and chlorine gas). $\text{CX}_2 < \text{SiX}_2 < \text{GeX}_2 < \text{SnX}_2 < \text{PbX}_2$

Stability : $\text{PbX}_2 > \text{PbX}_4$ (PbF_4) is the only stable example

PbCl_4 is a yellow oil and at 50 °C it decomposes to PbCl_2

mp for PbX_2 where $\text{X} = \text{F}$ (818 °C); Cl (500 °C); Br (367 °C); I (400 °C)

Kaupp, JACS, 1993, 115, 1061

The traditional “inert-pair effect” implies that the s-orbitals of the central atom are too low in energy to participate in bonding.

- D. In a sequence of rock samples arranged from oldest to the youngest, should the $^{206}\text{Pb}/^{204}\text{Pb}$ ratio increase, decrease, or stay constant? Justify your answer.

Atendiendo a las series de desintegración radiactiva. Los únicos isótopos que se forman en ellas son: plomo-208; plomo-207 y plomo-206, es decir no se forma en ninguna de las series plomo-204. Por lo tanto, las más antiguas contendrán un mayor ratio $^{206}\text{Pb}/^{204}\text{Pb}$.

Número máscico	Serie	Padre	Vida media (yr)	Producto final
$4n$	Torio	$^{222}_{90}\text{Th}$	1.41×10^{10}	$^{208}_{82}\text{Pb}$
$4n+1$	Neptunio	$^{237}_{93}\text{Np}$	2.14×10^6	$^{205}_{81}\text{Tl}$
$4n+2$	Uranio	$^{238}_{92}\text{U}$	4.51×10^9	$^{206}_{82}\text{Pb}$
$4n+3$	Actinio	$^{235}_{92}\text{U}$	7.07×10^8	$^{207}_{82}\text{Pb}$

Ex 2

¿Cómo es que la estructura del grafito explica

- (a) su uso como lubricante

El grafito presenta una estructura laminar formada por capas de átomos de carbono dispuestos hexagonalmente, la distancia entre estas capas es de 3.35 Å, distancia de fuerzas de Van der Waals, que permite el deslizamiento de una con respecto a otras.

- (b) el diseño de electrodos de grafito

Cada C presenta una hibridación sp^2 , quedando un orbital p sin hibridar que es el que forma la nube pi que permite deslocalizar electrones y por lo tanto cierta conductividad electrónica.

- (c) que posea un enlace C-C más fuerte que el diamante.

El orden de enlace C-C en cada capa de grafito es 1.5 con una distancia de 1.42 Å, que es menor que la distancia C-C en el diamante (1.54 Å).

- y (d) el hecho de que el alótropo de carbono más estable a altas presiones sea el diamante.

	<p>La densidad del diamante es 3.567 y la del grafito 2.439 Mg·m³. Por lo tanto al aumentar la presión las capas de grafito se aproximan lo suficiente como para transformar las fuerzas de Van der Waals en enlaces covalentes C-C.</p> 
17	<p>Cuando se bombardea con núcleos de ⁴⁸Ca un blanco de ²⁴⁰Pu se forma ²⁸⁵Fl. este sufre una cadena de desintegraciones alfa hasta llegar al isótopo rutherfordio-265, que se desintegra mediante un proceso de autofisión.</p> <p>Escriba todas las ecuaciones de la cadena de desintegración e identifique los isótopos que se forman.</p> <p>Este experimento se llevo a cabo según el procedimiento descrito por Utyonkov y col.:</p> <p><i>The experiments were performed at the Dubna Gas-Filled Recoil Separator using the ⁴⁸Ca beam accelerated at the U400 cyclotron of the Flerov Laboratory of Nuclear Reactions, JINR. The ⁴⁸Ca ion beam was delivered to the target with a maximum intensity of 1.3 particle μA. The beam energy was determined with a systematic uncertainty of 1 MeV by a time-of-flight system placed in front of the DGFRS.</i></p> <p><i>The target materials were provided by Oak Ridge National Laboratory (ORNL) (²⁴⁰Pu, enrichment of 98.97%) and JINR (²³⁹Pu and ²⁴⁰Pu, enrichment of 98.2% and 92%, respectively). The impurities in the ²³⁹Pu and ²⁴⁰Pu targets mainly consisted of ²⁴⁰Pu and ²³⁹Pu, respectively. The average thicknesses of the targets for the main isotopes were 0.50 ± 0.05 mg/cm² for ²³⁹Pu and 0.39 ± 0.04 mg/cm² for mixed ORNL/JINR ²⁴⁰Pu material in the ratio 1/5 (given uncertainties correspond to standard deviations of thicknesses measured for six sectors of each target). The targets were manufactured by depositing _{PuO₂} oxide onto 0.71–0.72 mg/cm² Ti foils. Each target had an area of 5.4 cm² in the shape of an arc segment with an angular extension of 60° and an average radius of 60 mm. The segments were mounted on a disk that was rotated at 1700 rpm such that the target was perpendicular to the direction of the incoming beam. In the course of the bombardment with the ⁴⁸Ca beam, the target layers were systematically monitored by counting α particles from the decay of the target isotopes.</i></p> <p><i>Experiments on the synthesis of superheavy nuclei ²⁸⁴Fl and ²⁸⁵Fl in the ^{239,240}Pu+⁴⁸Ca reactions.</i> <i>PHYSICAL REVIEW C, 2015, C 92, 034609; DOI: 10.1103/PhysRevC.92.034609</i></p>

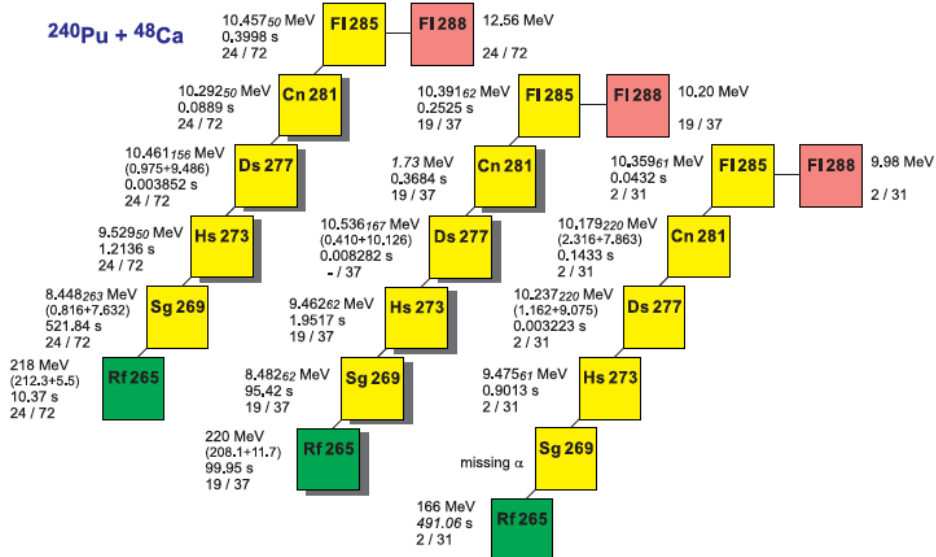


FIG. 1. (Color online) Decay properties of ^{285}Fl and descendant nuclei observed in the $^{240}\text{Pu}+^{48}\text{Ca}$ reaction at projectile energy of 245 MeV. The upper-right rows for each chain show ER (in pink) energies and strip numbers (front and back). The left rows provide energies, time intervals between events, and their strip numbers for α decay (in yellow) and SF (in green). Energies of summed signals are given in parentheses. Events marked with a shadow were registered during the beam-off periods. The α -particle-energy errors are shown by smaller italic numbers. The time interval for a SF event following a “missing α ” was measured from the preceding registered event and is shown in italics.

Rep. Prog. Phys. 78 (2015) 036301 (22pp) doi:10.1088/0034-4885/78/3/036301

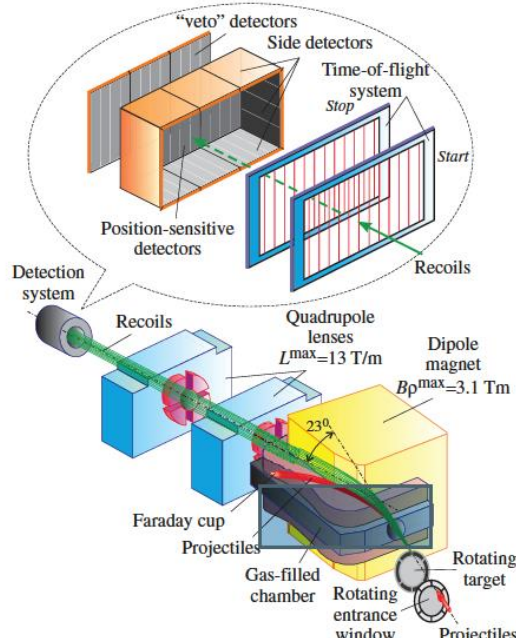


Figure 4. Layout of the DGFRS and detection system. L^{\max} and $B\rho^{\max}$ are maximum field gradient and magnetic rigidity, respectively.

$$n \times p = 4 \cdot \left(\frac{mk_B T}{2\pi\hbar^2} \right) \exp \left(-\frac{E_g}{k_B T} \right)$$

Tema 13. G.17: Halógenos

Problemas

RAZONAD TODAS LAS RESPUESTAS

- 1 El único interhalógeno poliatómico conocido de cloro es el ICl_3 , que cristaliza como dímero I_2Cl_6 . Prediga la forma de este compuesto usando VSEPR y dibuje su estructura.

$$n_T = 7 \times 8 = 56 \text{ e}$$

$$n_D = 56 - 2 \cdot 8 = 40 \text{ e}$$

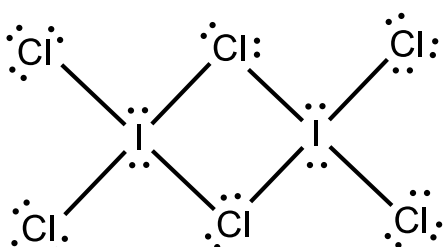
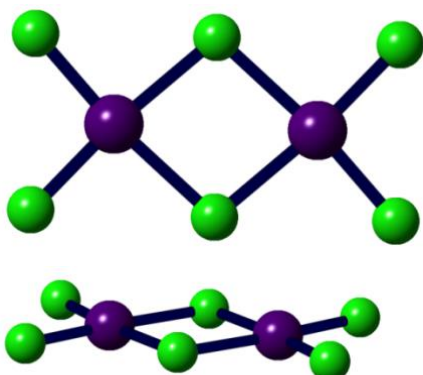
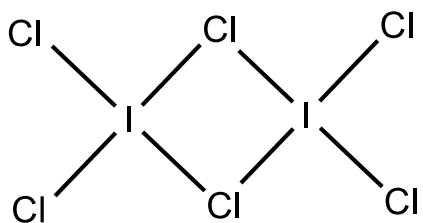
$$n_N = 6 \cdot 4 + 4 \cdot 2 = 32 \text{ e}$$

$$n_D - n_N = 40 - 32 = 8 \text{ e}$$

\Rightarrow 4 pares a repartir entre los dos I.

nº estérico (I): 6 \Rightarrow cada centro I: AB_4E_2

\Rightarrow geometría molecular: plano cuadrado.



- 2 Identifique el elemento X del grupo 17 en cada uno de los siguientes casos:
- X tiene el enlace X-X más fuerte de todos los elementos del grupo
 - X forma oxoaniones XO_n^- donde n es 1, 2, 3 ó 4, fluoruros XF_n donde n es 1,3, 5 o 7
 - X es el más electronegativo de todos los elementos
 - X forma óxidos que son poco o menos estables que los elementos situados por encima y por debajo de él.

a) El elemento del grupo 17 que tiene el enlace X-X más fuerte es el cloro:

F-F (158 kJ·mol⁻¹), Cl-Cl (242), Br-Br (193), I-I (151)

b) El único elemento que forma un XF_7 es el yodo:

Interhalogenados: IF, IF_3 , IF_5 , IF_7

Oxoaniones: IO_4^- , IO_2^- , IO_3^- , IO_4^- .

c) El elemento más electronegativo de la tabla periódica es el flúor.

d) El elemento de este grupo que forma los óxidos menos estables es el bromo, parece ser que la aparición de los electrones 3d tiene cierta influencia (efecto de alternancia o contracción d)

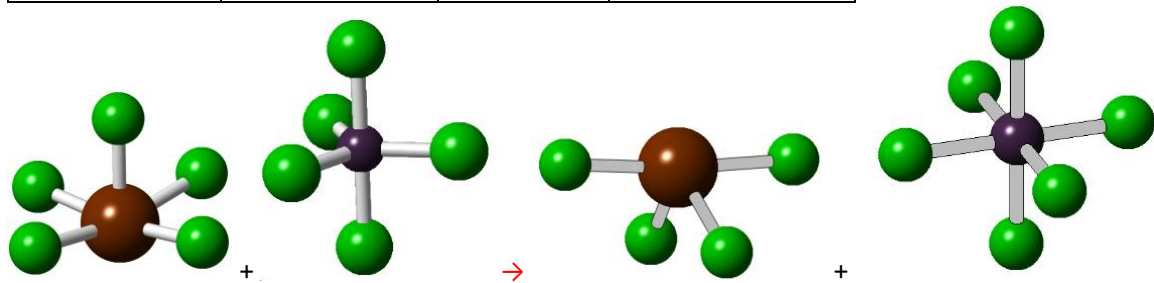
Br	+1	Br_2O	-17	+2.0	+110	Brown liquid
	+3	Br_2O_3	-40 (d)			orange
	+5	Br_2O_5	-20 (d)			Red liquid

3 Tanto el BrF_5 (l) como el AsF_5 (l) son pobres conductores de la electricidad, pero una mezcla de ambos líquidos es mucho más conductora. Explicar.

- Ácido de Lewis AsF_5 es un poderoso aceptor de haluros
- Base de Lewis BrF_5 es un poderoso agente fluorante
- $\text{BrF}_5 + \text{AsF}_5 \rightarrow \text{BrF}_4^+ + \text{AsF}_6^-$

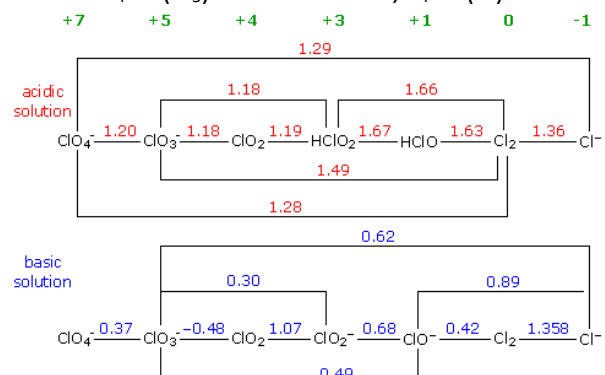
Azeem, M. et al., *Can. J. Chem.*, 1969, 47, 4159

	BrF_5	AsF_5	$[\text{BrF}_4^+][\text{AsF}_6^-]$
ICSD code	31690	65477	
X coord.	VOC-5	TBPY-5	
X-Y / pm	ap: 167.8 bs: 174-182	ax: 170 eq: 165	
Y-X-Y / °	167-171 80-87	180 120	



4 A) Demuestre que la desproporción de cloro a cloruro y clorato(I) está favorecida en medio básico.
B) IF sufre fácilmente desproporción en I_2 e IF_5 . Escriba una ecuación ajustada para la reacción y calcule la entalpía de la reacción.

DATOS: $\Delta_f H^\circ (\text{IF}_5) = -822 \text{ kJ} \cdot \text{mol}^{-1}$, $\Delta_f H^\circ (\text{IF}) = -94.5 \text{ kJ} \cdot \text{mol}^{-1}$.

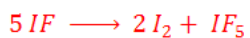


A) Las dos semirreacciones que ocurren en medio básico:



El potencial de la reacción global es positivo, por lo tanto la desproporción de cloro está favorecida en medio básico.

B) La ecuación de desproporción del IF es la siguiente:



$$\Delta_r H = \Delta_f H (\text{IF}_5) - 5 \times \Delta_f H (\text{IF}) = (-822) - 5 \times (-94.5) = -345 \text{ kJ}$$

La reacción es exotérmica pero la variación de entropía parece ser negativa. No obstante, podemos afirmar que la reacción es espontánea y por lo tanto favorable a la desproporción de IF.

- 5 ¿Qué ocurre con los valores de las siguientes propiedades de los elementos del G 17, en la secuencia **Cl, Br, I?** Razona las respuestas (a) entalpía de vaporización, energía de enlace de la molécula X_2 , (c) primer potencial de ionización, (d) radio atómico.

	Cl	Br	I
Atomic number, Z	17	35	53
Atomic weight	[35.44; 35.45]	79.90	126.90
Ionization energy, /(kJ mol⁻¹) I₁	1251	1140	1008
Electron affinity, Ea /(kJ mol⁻¹)	348.602	324.577	295.149
χ_p	3.160	2.960	2.660
Covalent radius/ pm (CSD)	102(4)	120(3)	139(3)
Atomic radius / pm	100	115	140
Energía de enlace X-X /(kJ mol⁻¹)	242	193	151
Entalpía de vaporización/(kJ mol⁻¹)	20.41	29.96	41.57

En este conjunto de elementos se cumplen las tendencias periódicas en cuanto a las propiedades que se estudian. Así, al descender en el grupo:

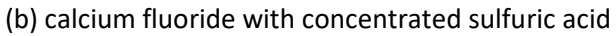
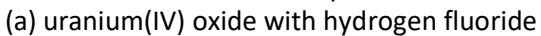
Aumenta:

1. el valor de los radios atómicos, covalentes y iónicos
2. la entalpía de vaporización, al igual que los puntos de fusión y ebullición, depende del estado de agregación y la naturaleza de las fuerzas intermoleculares.

Disminuye:

1. el valor del ΔH_{i1} , mayor valor del n de los electrones de valencia, que sufren un mayor apantallamiento y por lo tanto una menor carga nuclear efectiva (Z_{eff}).
2. la energía del enlace X-X: está relacionada con la distancia de enlace, que aumenta con el tamaño de los átomos.

- 6 Write balanced chemical equations for the following chemical reactions:



7

El ácido fluorídrico es un ácido débil, mientras que el resto de los haluros de hidrógeno son ácidos fuertes en disolución acuosa. Explique esta observación.

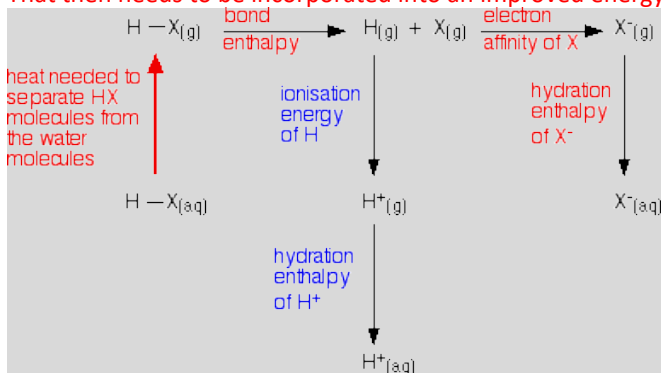
http://chemwiki.ucdavis.edu/Core/Inorganic_Chemistry/Descriptive_Chemistry/Elements_Organized_by_Block/2_p-Block/Elements/Group_17%3A_The_Halogens/1Group_17%3A_General_Reactions/The_Acidity_of_the_Hydrogen_Halides

Ayotte, Hébert, and Marchand, *J. Chem. Phys.* **2005**, *123*, 184501

The proper equation we should be working from is:



That then needs to be incorporated into an improved energy cycle:



kj mol^{-1}	$\Delta H_{\text{hyd}} \text{HX}$	BD HX	$\Delta H_{\text{f1}} \text{H}$	$\Delta H_{\text{AE}} \text{X}$	$\Delta H_{\text{hyd}} (\text{X}^- \text{ g})$	$\Delta H_{\text{hyd}} (\text{H}^+ \text{ g})$	$\Delta H_r (1)$
HF	-46	+570	1312	-328	-519	-1094	-13
HCl	-18	+432	1312	-349	-376	-1094	-57
HBr	-21	+366	1312	-324	-345	-1094	-64
HI	-20	+298	1312	-295	-300	-1094	-59

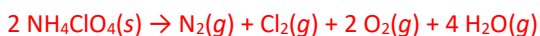
.

	$\Delta_r (1)$	$T\Delta S$	$\Delta G \text{ kJ mol}^{-1}$	$K_a \text{ mol dm}^{-3}$	pK_a
HF	-13	-29	+16	1.6×10^{-3}	2.8
HCl	-57	-13	-44	1.2×10^8	-8.1
HBr	-64	-4	-60	2.2×10^{10}	-10.3
HI	-59	+4	-63	5.0×10^{10}	-10.7

- Entropy decreases dramatically when the HF reacts with water. This is particularly noticeable with hydrogen fluoride because the attraction of the small fluoride ions produced imposes significant order on the surrounding water molecules and nearby hydronium ions. The effect decreases with larger halide ions.
- Very strong hydrogen bonding exists between the hydrogen fluoride molecules and water molecules. This costs a large amount of energy to break. This effect does not occur in the other hydrogen halides.

8

Why is ammonium perchlorate an explosive hazard while sodium perchlorate is much less hazardous? Use a balanced equation to illustrate your argument and identify which elements undergo a change in oxidation state.



N: -III → 0; Cl: +V → 0; O: -II → 0. Se forman tres elementos gaseosos ⇒ un gran aumento del volumen.

En el NaClO₄, es ion Na⁺ es muy estable, no puede sufrir una auto-reacción redox.

9 Se hacen reaccionar 1.84 g de IF_3 con 0.93 g de $[(\text{CH}_3)_4\text{N}]F$ para formar el producto X. (a) Identifique X; (b) utilice el modelo de VSEPR para determinar la geometría de IF_3 y de los componentes iónicos de X.

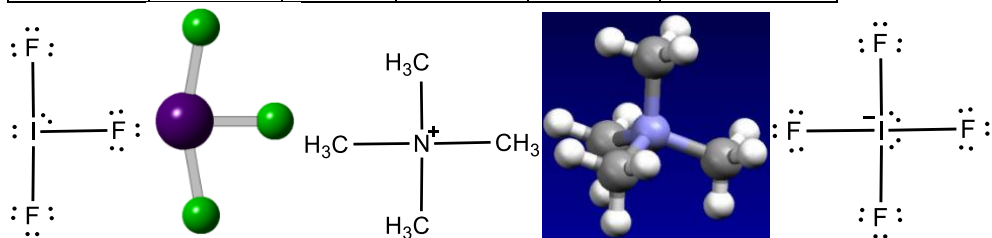
Estos compuestos reaccionan mol a mol

IF_3 (MW = 189.3)

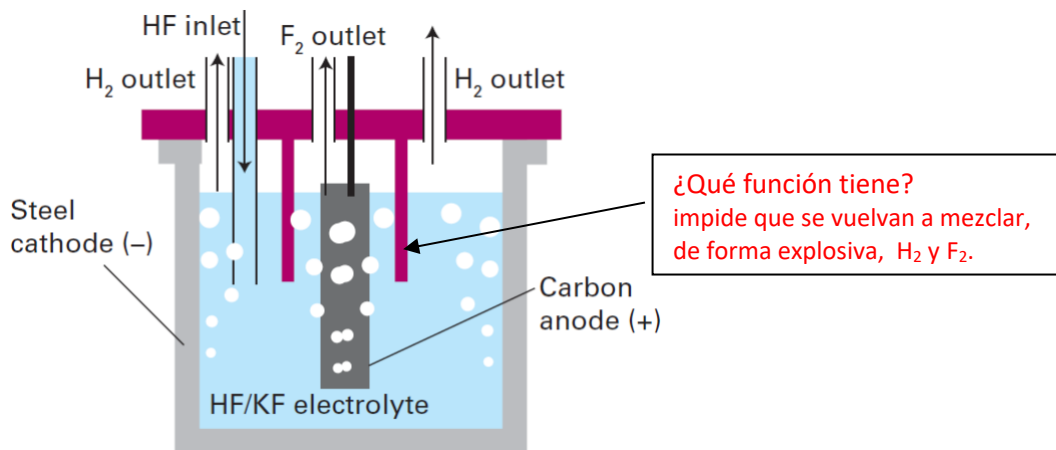
$[(\text{CH}_3)_4\text{N}]F$ (MW = 93.15)



	n_T (e-)	n_D (e-)	N_n (e-)	Lewis	Geometría
IF_3	28	22	20	AB_3E_2	vOC-3
$[(\text{CH}_3)_4\text{N}]^+$	24	18	18	AB_4	T-4
$[\text{IF}_4]^-$	36	28	24	AB_4E_2	SP-4

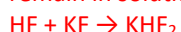


10 Explique el reactor para la obtención de F_2 .



A typical generator consists of a mild-steel pot (**cathode**) containing the electrolyte $\text{KF}\cdot2\text{HF}$ which is kept at 80-100°C. The **anode** consists of a central rod of compacted, ungraphitized carbon, and the product gases are kept separate by a skirt or diaphragm dipping below the electrolyte surface.

A mixture with the approximate composition $\text{KF}\cdot2\text{HF}$ melts at 70 °C and is electrolyzed between 70 °C and 130 °C. Potassium bifluoride increases the electrical conductivity of the solution and provides the bifluoride anion, which releases fluorine at the anode. If HF alone is electrolyzed, hydrogen forms at the cathode and the fluoride ions remain in solution. After electrolysis, potassium fluoride remains in solution:



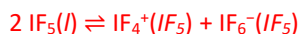
11 The concentration of hydrogen sulfide in a gas supply can be measured by passing a measured volume of gas over solid diiodine pentoxide. The hydrogen sulfide reacts with the diiodine pentoxide to give sulfur dioxide, diiodine, and water. The diiodine can then be titrated with thiosulfate ion and the hydrogen sulfide concentration calculated. Write chemical equations corresponding to the two reactions. (Rainer 17.23)



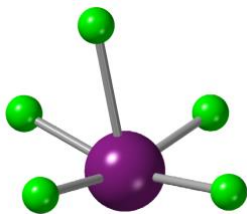
12

Iodine pentafluoride undergoes self-ionization. Deduce the formulas of the cation and anion formed in the equilibrium and write a balanced equation for the equilibrium. Construct electron-dot diagrams for the molecule and the two ions. Which ion is the Lewis acid, and which is the Lewis base? Explain your reasoning.

The self-ionization reaction would be:

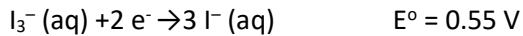
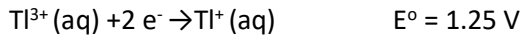


The IF_5 molecule is square-based pyramidal, the IF_4^+ ion is seesaw shaped, and the IF_6^- ion is pentagonal-based pyramidal. The IF_4^+ will be a Lewis acid and IF_6^- will be the Lewis base. Looking at the reverse reaction, IF_4^+ accepts a fluoride ion, and thus it accepts an electron pair; while IF_6^- donates a fluoride ion, and thus it donates an electron pair.



13

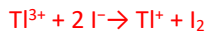
Thallium forms an iodide, TlI_3 . Suggest the actual formulation of the compound given the following information:



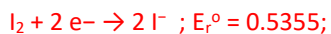
Why would this formulation be expected?

Thallium triiodide is a chemical compound of thallium and iodine with formula TlI_3 . Unlike the other thallium trihalides, which contain thallium(III), TlI_3 is a thallium(I) compound and contains the triiodide ion, I_3^- .

An appreciation as to why Tl^+ is not oxidised to Tl^{3+} in the reaction:



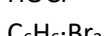
can be gained by considering the standard reduction potentials of the half cells which are:



The favoured reaction is therefore the reduction of Tl^{3+} ($1.252 > 0.5355$)

14 Which description in the second list below can be correctly matched to each element or compound in the first list? There is only one match for each pair.

List 1



List 2

Weak acid in aqueous solution

Charge transfer complex

Solid contains octahedrally sited chloride ion

Strong acid in aqueous solution

Contains a halogen atom in a square planar coordination environment

Its formation requires the use of an extremely powerful oxidative fluorinating agent

Anhydride of HIO_3

Adopts a prototype structure

Possesses a distorted octahedral structure

Used in the nuclear fuel industry to fluorinate uranium

Radical

Strong acid in aqueous solution

Adopts a prototype structure

Anhydride of HIO_3

Radical

Its formation requires the use of an extremely powerful oxidative fluorinating agent

Possesses a distorted octahedral structure

Weak acid in aqueous solution

Charge transfer complex

Used in the nuclear fuel industry to fluorinate uranium

Solid contains octahedrally sited chloride ion

Contains a halogen atom in a square planar coordination environment

15. Escoja un método de síntesis razonable para cada uno de los siguientes haluros: SF_6 , LiF , CoF_2 , y PbI_2 .

	Método
SF_6	SF_6 can be prepared from the elements through exposure of S_8 to F_2 $\text{S}_8 + 24 \text{ F}_2 \rightarrow 8 \text{ SF}_6$
LiF	LiF is prepared from lithium hydroxide and hydrogen fluoride or by dissolving lithium carbonate in excess hydrogen fluoride, evaporating to dryness and heating to red hot. $\text{LiOH} + \text{HF} \rightarrow \text{LiF} + \text{H}_2\text{O}$
CoF_2	Cobalt(II) fluoride can be prepared from anhydrous cobalt(II) chloride or cobalt(II) oxide in a stream of HF: $\text{CoCl}_2 + 2\text{HF} \rightarrow \text{CoF}_2 + 2\text{HCl}$ $\text{CoO} + 2\text{HF} \rightarrow \text{CoF}_2 + \text{H}_2\text{O}$
PbI_2	Lead iodide can be obtained as a yellow precipitate by reacting solutions of lead(II) nitrate and potassium iodide: $\text{Pb}(\text{NO}_3)_2(\text{aq}) + 2 \text{KI}(\text{aq}) \rightarrow \text{PbI}_2(\text{s}) + 2 \text{KNO}_3(\text{aq})$

16. En la mesa de laboratorio del profesor hay seis botellas que contienen los productos de la síntesis de los haluros siguientes: CrCl₃, HgI₂, NF₃, Ni₃, SnCl₂ y SnCl₄. Por desgracia las etiquetas de las botellas se han perdido. Examine las botellas e intente etiquetarlas de nuevo sabiendo que. La botella A contiene un sólido blanco, la botella B contiene un sólido rojo intenso, la botella C contiene un gas incoloro, la botella D contiene escamas de color violeta pálido, la botella E contiene un líquido incoloro y la botella F está rota debido a la explosión que se produjo en el intento de preparar el compuesto que debería contener.

	Características	botella
CrCl ₃	Escamas de color violeta cuando es anhidro, la forma hidratada es verde	D
HgI ₂	Compuesto de color rojo que se vuelve amarillo a alta temperatura. HgI ₂ crystallizes under ambient conditions from various solvents and by sublimation into three concomitant polymorphs whose colors are red, orange, and yellow. The orange and yellow phases are metastable and transform into the red phase when touched. A phase transition from red to yellow occurs at 400 K. [Hostettler et al, Helvetica Chimica Acta, 2003, 86, 1410]	B
NF ₃	Gas incoloro, inodoro y poco reactivo	C
Ni ₃	Sólido extremadamente sensible que explota por contacto	F
SnCl ₂	Sólido blanco	A
SnCl ₄	El SnCl ₄ anhidro es un líquido incoloro a TA	E



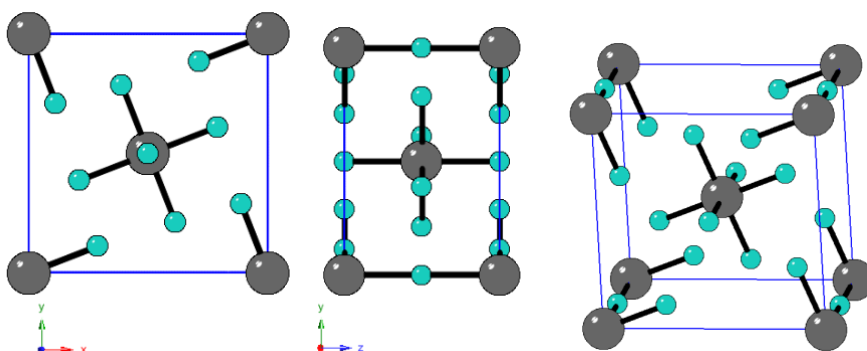
17. P3_2017

Los datos cristalográficas del compuesto UF₅ (icsd_35287) se dan a continuación

BCS File Format

```
#F5 U1 :: I4/M :: CC=35287
87
6.5259 6.5259 4.4717 90. 90. 90.
3
U 1 2a 0 0 0
F 1 2b 0 0 0.5
F 2 8h 0.2885 0.1123 0
```

La estructura cristalina se muestra en las figuras siguientes.



Describa la estructura cristalina e indique el contenido de la celda unidad.

Determine todas las distancias de enlace U-F (explique la diferencia), y las distancias intermoleculares U-U y F-F más cortas.

Dibuje el poliedro de coordinación del U.

- Es una celda tetragonal centrada en el interior del cuerpo I. El empaquetamiento cristalino se puede describir en bases a cadenas de octaedros UF_6 que comparten aristas y discurren a lo largo de la dirección [001], paralelas al eje c . Unas cadenas están centradas en $x=0$ y $=0$ y la otra en $x=\frac{1}{2}$ y $=\frac{1}{2}$. Cristalográficamente tenemos un único tipo de U por lo que ambas cadenas son equivalentes, y dos tipos de F: los terminales (F2) y los puente (F1); éstos son los conectan los octaedros para formar las cadenas.
- El contenido de la celda unidad se obtiene de las multiplicidades U: 2, F1: 2, F2: 8, lo que da U_2F_{10} , como la fórmula el UF_5 , el contenido es $Z = 2$

Otra forma

$$U = 8 \times (1/8) + 1 = 2;$$

$$F \text{ puente} = 4 \times (1/4) + 2 \times (1/2) = 2$$

$$F \text{ terminales} = 4 + 8 \times (1/2) = 8$$

$$\text{Total: } 2 \text{ U y } 10 \text{ F} \Rightarrow Z = 2$$

- Por lo tanto vamos a tener dos tipos de distancias de enlace U-F (UF-F1 y UF-F2)

$$d(U-F1) = c/2 = 4.4717/2 = 2.236 \text{ \AA}$$

$$d(U-F2) = [(0.2885a)^2 + (0.1123a)^2]^{1/2} = [1.8827^2 + 0.7329^2]^{1/2} = 2.020 \text{ \AA}$$

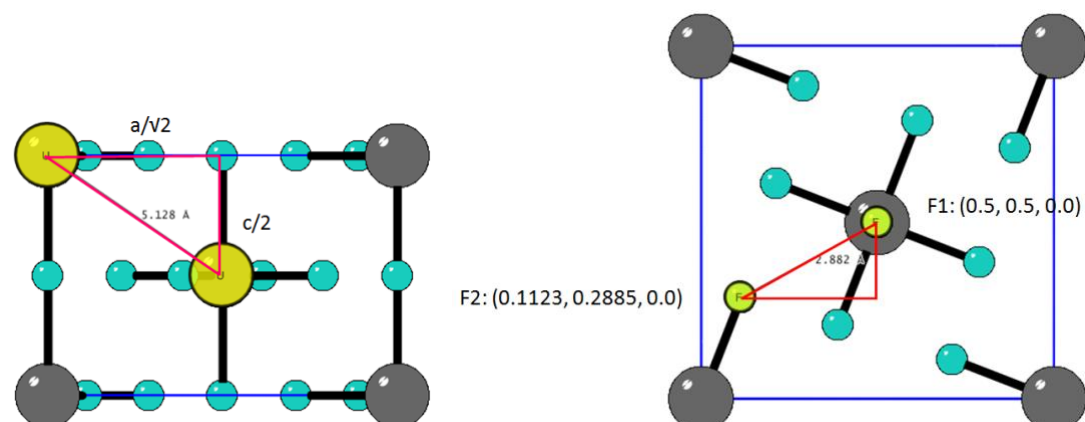
Las distancias $U-F_p$ son apreciablemente más largas que las $U-F_t$.

- La distancia U-U más corta es c (4.472 \AA), que es la distancia de separación entre 2 octaedros UF_6 consecutivos, pero estos corresponden a la misma molécula, por lo tanto la distancia intermolecular U-U será:

$$d(U-U) = [(a/\sqrt{2})^2 + (c/2)^2]^{1/2} = 5.128 \text{ \AA}$$

- Las distancias F-F más cortas, se dan en el plano xy entre los F terminales y los F puente de cadenas adyacentes

$$d(F-F) = [(a\Delta x)^2 + (a\Delta y)^2]^{1/2} = [(6.5259 \times 0.3877)^2 + (6.5259 \times 0.2115)^2]^{1/2} = 2.882 \text{ \AA}$$



Howard, C.J.; Taylor, J.C.; Waugh, A.B., Journal of Solid State Chemistry, 1982, 45, 396.

18

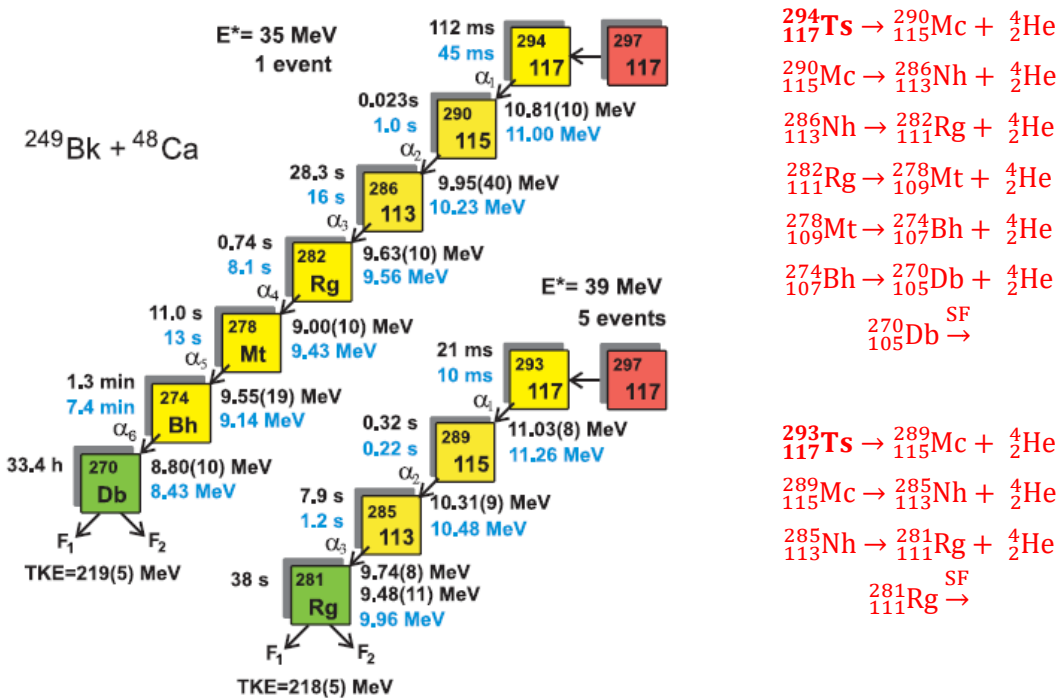
Cuando se bombardea con núcleos de ^{48}Ca un blanco de ^{249}Bk se forma ^{293}Ts . este sufre una cadena de desintegraciones alfa hasta llegar a los isótopos dubnio-270 o roengenio-281, que se desintegran mediante un proceso de autofisión.

Escriba todas las ecuaciones de la cadena de desintegración e identifique los isótopos que se forman. Este experimento se llevo a cabo según el procedimiento descrito por Oganessian y col.:

The discovery of a new chemical element with atomic number $Z = 117$ is reported. The isotopes ^{293}Ts and ^{294}Ts were produced in fusion reactions between ^{48}Ca and ^{249}Bk . Decay chains involving 11 new nuclei were identified by means of the Dubna gas-filled recoil separator. The measured decay properties show a strong rise of stability for heavier isotopes with $Z \geq 111$, validating the concept of the long sought island of enhanced stability for superheavy nuclei.

PRL, 2010, 104, 142502

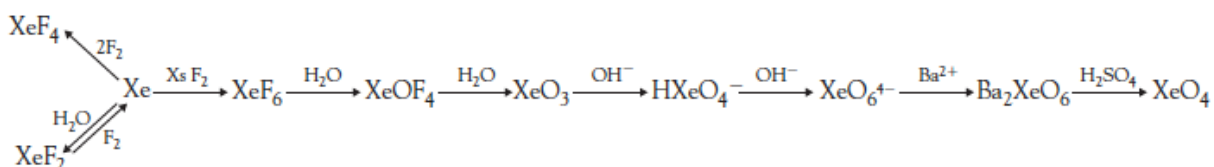
DOI: 10.1103/PhysRevLett.104.142502



Every aspect of the world today – even politics and international relations – is affected by chemistry. Linus Pauling

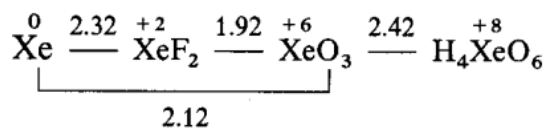
Tema 14. G.18: Gases Nobles**Problemas****RAZONAD TODAS LAS RESPUESTAS**

- 18.1 Write balanced chemical equations for the following chemical reactions: (a) xenon with difluorine in a 1:2 mole ratio; (b) xenon tetrafluoride with phosphorus trifluoride.
- 18.2 Write balanced chemical equations for the following chemical reactions: (a) xenon difluoride with water; (b) solid barium perxenate with sulfuric acid.
- 18.3 Describe the trends in the physical properties of the noble gases.
- 18.4 Why is argon (thermal conductivity $0.017 \text{ J}\cdot\text{s}^{-1}\cdot\text{m}^{-1}\cdot\text{K}^{-1}$ at 0°C) more commonly used as a thermal insulation layer in glass windows than xenon (thermal conductivity $0.005 \text{ J}\cdot\text{s}^{-1}\cdot\text{m}^{-1}\cdot\text{K}^{-1}$ at 0°C)?
- 18.5 What are the unusual features of liquid helium?
- 18.6 Why would we expect noble gas compounds to exist?
- 18.7 A bright green ion, Xe_2^+ , has been identified. Suggest the bond order for this ion, showing your reasoning.
- 18.8 Bartlett's noble gas compound is now known to contain the XeF^+ ion. Construct the electron-dot formula for this ion. By comparison with interhalogen chemistry, would this ion be predicted to exist?
- 18.9 What are the key thermodynamic factors in the formation of xenon-fluorine compounds?
- 18.10 For the formation of xenon tetrafluoride, $\Delta G_f^\circ = -121.3 \text{ kJ}\cdot\text{mol}^{-1}$ and $\Delta H_f^\circ = -261.5 \text{ kJ}\cdot\text{mol}^{-1}$. Determine the value for the standard entropy of formation of this compound. Why do you expect the sign of the entropy change to be negative?
- 18.11 Estimate the enthalpy of formation of xenon tetrachloride from the following data: bond energy ($\text{Xe}-\text{Cl}$) [estimated] = $86 \text{ kJ}\cdot\text{mol}^{-1}$; enthalpy of sublimation of solid xenon tetrachloride [estimated] = $60 \text{ kJ}\cdot\text{mol}^{-1}$. Obtain any other required data from the data tables in the appendices.
- 18.12 One of the few krypton compounds known is krypton difluoride, KrF_2 . Calculate the enthalpy of formation of this compound using the data in the appendices (the $\text{Kr}-\text{F}$ bond energy is $50 \text{ kJ}\cdot\text{mol}^{-1}$).
- 18.13 Construct an electron-dot structure for XeOF_4 with a xenon-oxygen (a) single bond; (b) double bond. Decide which is more significant on the basis of formal charge.
- 18.14 Determine the shapes of the following ions: (a) XeF_3^+ ; (b) XeF_5^+ ; (c) XeO_6^{4-} .
- 18.15 Determine the oxidation number of xenon in each of the compounds in Exercise 18.14.
- 18.16 Which of the noble gases would you choose as (a) the lowest-temperature liquid refrigerant? (b) the least expensive inert atmosphere? (c) an electric discharge light source requiring a safe gas with the lowest ionization energy?
- 18.17 It is possible to prepare a series of compounds of formula MXeF_7 , where M is an alkali metal ion. Which alkali metal ion should be used in order to prepare the most stable compound?
- 18.18 Suggest an explanation why xenon forms compounds with oxygen in the +8 oxidation state but with fluorine only up to an oxidation state of +6.
- 18.19 Write a balanced chemical equation for the reaction of krypton difluoride with gold to give $(\text{KrF})^+[\text{AuF}_6]^-$.
- 18.20 Briefly discuss why radon is a health hazard.
- 18.21 Write balanced chemical equations corresponding to each transformation in the element reaction flowchart for xenon (page 496).

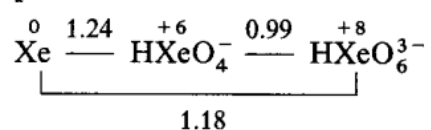


1. (a) Write the balanced half reaction of the reduction of XeO_3 to xenon gas in an aqueous acidic solution. (Include all states of matter in your equation.) (b) Calculate the skip potential for the XeO_3/Xe redox couple at $\text{pH} = 0$. (c) Calculate the reduction potential of this half reaction at $\text{pH} = 5$ with 1 mol/L concentrations of XeO_3 and 1 atm of xenon.

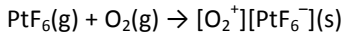
pH = 0



pH = 14



2. The historic experiment that led to the discovery of noble-gas reactivity by N. Bartlett at UBC was the oxidation of molecular oxygen by PtF_6 according to the equation given below. What is the mechanism of this redox reaction? What can you say about the rate of reaction that you would expect?



Tema 15. Metales de transición

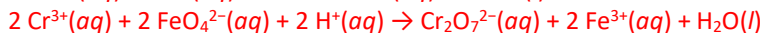
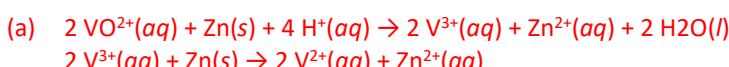
Problemas

RAZONAD TODAS LAS RESPUESTAS

- 20.1 Write balanced equations for (a) the reaction between titanium(IV) chloride and oxygen gas; (b) sodium dichromate with sulfur at high temperature; (c) the warming of copper(II) hydroxide.



- 20.2 Write balanced equations for (a) the reduction of vanadyl ion by zinc metal in acidic solution (two equations); (b) the oxidation of chromium(III) ion to dichromate ion by ferrate ion, which itself is reduced to iron(III) ion in acid solution (write initially as two half-equations); (c) the addition of excess hydroxide ion to copper(II) hydroxide; (d) the reaction between copper(II) ion and iodide ion.



- 20.3 Discuss briefly how the stability of the oxidation states of the 3d transition metals changes along the row.

The first four members of the period are found in oxidation states up to and including their group number. From iron through to copper, the stable oxidation states are much lower and decrease. Manganese, iron, and cobalt each form oxides in which one-third of the metal ions are in the +2 state and the other two-thirds in the +3 state. Unlike the main group metals, transition metals exhibit almost every possible oxidation number; for example, there are various compounds of manganese in which manganese has every oxidation number from +7 to -1.

1ST	Sc	Ti	V	Cr	Mn	Fe	Co	Ni	Cu	Zn
Grupo	3	4	5	6	7	8	9	10	11	12
Z	21	22	23	24	25	26	27	28	29	30
Config. [Ar]+	3d ¹ 4s ²	3d ² 4s ²	3d ³ 4s ²	3d ⁴ 4s ¹	3d ⁵ 4s ²	3d ⁶ 4s ²	3d ⁷ 4s ²	3d ⁸ 4s ²	3d ¹⁰ 4s ¹	3d ¹⁰ 4s ²
EO	-1	-4, -2, -1	-3, -2, -1	-2	-1					
	0	0	0	0	0	0	0	0		
		1	1	1	1	1	1	1	1	1
		2	2	2	2	2	2	2	2	2
3	3	3	3	3	3	3	3	3	3	3
4	4	4	4	4	4	4	4	4	4	
		5	5	5	5	5				
			6	6	6					
				7						
									I ₁ , I ₂ , I ₃ , (kJ/mol)	
								4000		Zn

- #### 20.4 Identify uses for (a) titanium(IV) oxide; (b) chromium- (III) oxide; (c) silver nitrate.

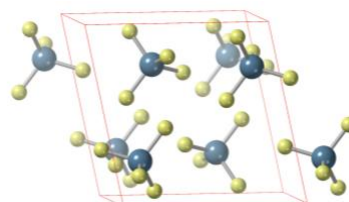
(a) White pigment

(b) green pigment;

(c) starting material for making other silver compounds (and as a laboratory reagent)

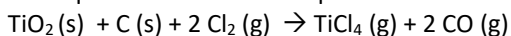
- 20.5 What evidence do you have that titanium(IV) chloride is a covalent compound? Suggest why this is to be expected.

Titanium tetrachloride is the inorganic compound with the formula TiCl_4 . It is an important intermediate in the production of titanium metal and the pigment titanium dioxide. TiCl_4 is a volatile liquid. Upon contact with humid air, it forms thick clouds of titanium dioxide (TiO_2) and hydrochloric acid, a reaction formerly exploited to produce fake smoke on film sets.



El TiCl_4 es un líquido a temperatura ambiente. Los haluros de los metales de transición en sus estados de oxidación más altos suelen ser moleculares.

- 20.6 The equation for the first step in the industrial extraction of titanium is

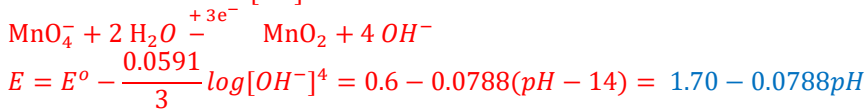
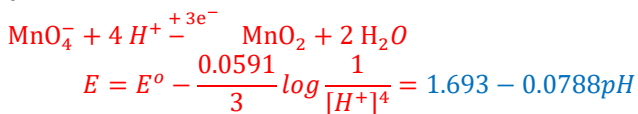


Which element is being oxidized and which is being reduced in this process?

Chlorine is being reduced (from 0 to -1), and carbon is being oxidized (from 0 to +2).

- 20.7 Write balanced half-equations for the reduction of permanganate ion in (a) acidic solution; (b) basic solution.

a1.



- 20.8 Aluminum is the most abundant metal in the Earth's crust. Discuss the reasons why iron, not aluminum, is the more important metal in the world's economy.

Although aluminum is plentiful in the Earth's crust, it is usually found in such minerals as clays, from which extraction is very difficult. It is only from the rare bauxite ore that aluminum is commercially obtainable. Even then, high-cost electrolytic methods must be used for the extraction process. Iron can be obtained from the plentiful deposits of iron oxides by a low-cost coke reduction process.

- 20.9 Contrast how iron(II) chloride and iron(III) chloride are synthesized.

Anhydrous iron(II) chloride, FeCl_2 , can be made by passing a stream of dry hydrogen chloride over the heated metal; the hydrogen produced acts as a reducing agent, preventing iron(III) chloride from being formed:



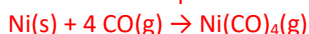
Fe_2Cl_6 , Iron(III) chloride can be made by heating iron in the presence of dichlorine:



La obtención de $\text{Fe}(\text{III})$ requiere condiciones más oxidantes que la obtención de $\text{Fe}(\text{II})$, por eso, hay que emplear Cl_2 para obtener el primero.

- 20.10 In the purification of nickel metal, tetracarbonylnickel(0) is formed from nickel at a lower temperature, while the compound decomposes at a higher temperature. Qualitatively discuss this equilibrium in terms of the thermodynamic factors, enthalpy, and entropy.

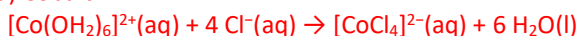
The chemical equation is



Formation of this compound requires a net decrease of three moles of gas, resulting in a decrease in entropy. Hence the forward reaction must be enthalpy driven (that is, exothermic). The decomposition reaction is favored at higher temperatures. This is logical when the relationship $\Delta G^\circ = \Delta H^\circ - T\Delta S^\circ$ is considered. For the reverse reaction, both ΔH° and ΔS° are positive, thus as the temperature increases, $(-\Delta S^\circ)$ will become increasing negative, to the point where the term exceeds ΔH° and the reverse reaction becomes spontaneous (negative ΔG°).

- 20.11 Identify each metal from the following tests and write balanced equations for each reaction: (a) Addition of chloride ion to a pink aqueous solution of this cation gives a deep blue solution. (b) Concentrated hydrochloric acid reacts with this metal to give a colorless solution. On dilution, a white precipitate is formed. (c) Addition of acid to this yellow anion results in an orange-colored solution.

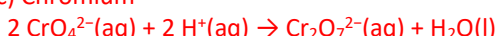
(a) Cobalt:



(b) Copper:



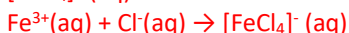
(c) Chromium



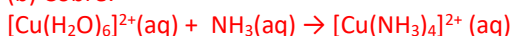
- 20.12 Identify each metal from the following tests and write balanced equations for each reaction: (a) Acidifying a solution of this cation gives a pale violet solution and, on addition of chloride ion, a yellow solution is formed. (b)

Addition of ammonia to this pale blue cation gives a deep blue solution. (c) Addition of thiocyanate solution to this almost colorless cation gives a deep red color.

(a) Hierro



(b) Cobre:



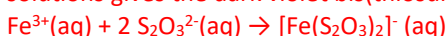
(c) Hierro:



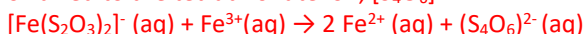
- 20.13 A solution containing a colorless anion is added to a cold solution containing a pale yellow solution of a cation. A violet solution is formed that becomes colorless on warming to room temperature. Identify the ions and write a balanced chemical equation for each step.

Disoluciones acuosas de los metales de la 1^a serie de transición que presentan color amarillo son el Fe(III) y V(V).

A unique reaction of iron(III) ion is that with an ice-cold solution of thiosulfate. Mixing these two nearly colorless solutions gives the dark violet bis(thiosulfato)ferrate(III) ion:



When the solution is warmed to room temperature, the iron(III) is reduced to iron(II) and the thiosulfate is oxidized to the tetrathionate ion, $[\text{S}_4\text{O}_6]^{2-}$:



- 20.16 When iron(III) salts are dissolved in water, a yellow-brown color is observed. Only after addition of a few drops of dilute nitric acid can the very pale purple color of the hexaaquairon(III) ion be seen. Explain.

The aqueous iron(III) ion hydrolyses in aqueous solution:



thus the yellow color of the hydroxy-species predominates unless acid is added to "drive" the equilibrium to the left to give the pale purple color of the hexaaquairon(III) ion.

- 20.17 The ferrate(VI) ion, FeO_4^{2-} , is such a strong oxidizing agent that it will oxidize aqueous ammonia to nitrogen gas, itself being reduced to iron(III) ion. Write a balanced equation for the reaction.



- 20.18 When iron(III) forms a complex with dimethylsulfoxide, $(\text{CH}_3)_2\text{SO}$, is the ligating atom likely to be the oxygen or the sulfur? Explain your reasoning.

Oxygen. Iron(III) is a hard acid, while oxygen is a hard base (and sulfur is a soft base).

- 20.19 Of the two common oxides of chromium, chromium(VI) oxide and chromium(III) oxide, which should have the lower melting point? Explain your reasoning.

Compuesto	aspecto	p.f.	solubilidad	acido-base	tipo sólido
CrO_3	cristales rojos	190	soluble	ácido	CEX 1D, oS16
Cr_2O_3	polvo verde	2450	insoluble	anfótero	iónico 3D, hR10

El CrO_3 es un compuesto covalente extendido de tetraedro CrO_4 que comparten vértices(1D) y el Cr_2O_3 es un compuesto iónico 3D con estructura tipo corindón.

- 20.20 Of the two common oxides of chromium, chromium(VI) oxide and chromium(III) oxide, which should be acidic? Explain your reasoning.

Chromium(VI) oxide should be acidic. It is the metal in the higher oxidation state (that is, with the more oxygens) that will exhibit the more acidic properties.

- 20.21 Suggest why chromium(III) nitrate dissolves in water to form an acidic solution.

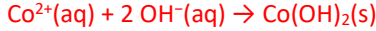
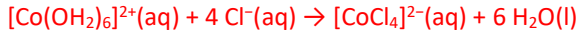
El Cr(III) es un catión ácido, por lo tanto, el acuocomplejo $(\text{Cr}(\text{H}_2\text{O})_6)^{3+}$ tenderá a liberar protones.

- 20.23 Suggest why copper(I) chloride is insoluble in water.

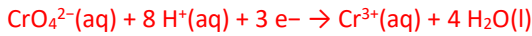
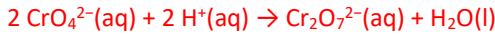
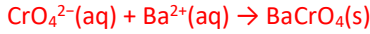
Es un compuesto iónico con estructura tipo ZnS cF8, que presenta carácter covalente. Las entalpías de hidratación no son suficientemente grandes como para superar la energía reticular.

- 20.26 Identify each of the following ions and write net ionic equations for each reaction: (a) A pale pink cation that gives a deep blue color with chloride ion. The cation gives a blue solid with hydroxide ion. (b) A yellow anion that gives a yellow precipitate with barium ion. Addition of acid to the anion causes a color change to orange. The orange anion is reduced by sulfur dioxide to give a green cation; the other product is a colorless anion that gives a white precipitate with barium ion. (c) A pale blue cation that reacts with zinc metal to give a red-brown solid. Addition of the pale blue cation to excess ammonia gives a deep blue color.

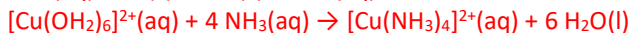
(a) Cobalt(II):



(b) Chromate:



(c) Copper(II):



- 21.1 Write balanced equations for

(a) the reaction between the dicyanoargentate ion and zinc metal;

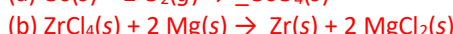
(b) the reaction between gold and dichlorine.



- 21.2 Write balanced equations for

(a) the heating of osmium in oxygen;

(b) the reaction of zirconium(IV) chloride with magnesium.



- 21.7 What evidence do you have that osmium(VIII) oxide is a covalent compound? Suggest why this is to be expected.

El OsO₄ es volátil: se sublima a temperatura ambiente. Es soluble en un amplio rango de disolventes orgánicos y moderadamente soluble en agua, con la cual reacciona reversiblemente para formar ácido ósmico. La molécula de tetróxido de osmio es tetraédrica y por lo tanto es no-polar. Esta no-polaridad ayuda al OsO₄ a penetrar las membranas celulares cargadas. El OsO₄ es 518 veces más soluble en CCl₄ que en agua. El que sea volátil significa que las fuerzas intermoleculares son débiles, por lo tanto, debe ser un compuesto covalente molecular.

- 21.10 Suggest why silver bromide and iodide are colored even though both silver and halide ions are colorless.

The charge transfer process can be represented as:



where X represents the halide ion. As the halide ion is more readily oxidized, the absorption of light will be of lower energy—more and more in the visible part of the spectrum. As iodide is the easiest oxidized and chloride the least, this represents the order of visible color intensity.

- 21.11 Suggest two possible reasons why the highest oxidation-state fluoride of manganese is MnF₄, while that of technetium is TcF₆ and of rhenium is ReF₇.

El numero de coordinación depende también del tamaño del átomo central.

- 21.16 Platinum(IV) fluoride has a melting point of about 600°C, while platinum(VI) fluoride has a melting point of 61°C and a boiling point of 69°C. Comment.

From the comparative melting points it can be inferred that the bonding in platinum(IV) fluoride is predominantly ionic while that in platinum(VI) fluoride is predominantly covalent.

- 21.20 Tungsten forms iodides of empirical formula WI₂ and WI₃. What do you suggest is the likely product from the reaction of tungsten metal with fluorine gas? Give your reasoning.

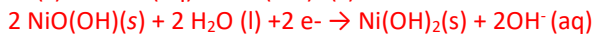
Fluorine tends to promote metals to their highest oxidation states, because it is a strong oxidizing agent, whereas iodide ion is a reducing agent; thus the most likely product with fluorine is WF₆.

- 22.1 Write balanced chemical equations for the following chemical reactions:

- (a) zinc metal with liquid bromine
 (b) the effect of heat on solid zinc carbonate
 (a) $Zn(s) + Br_2(l) \rightarrow ZnBr_2(s)$
 (b) $2 Au(s) + 3 Cl_2(g) \rightarrow Au_2Cl_6(s)$

22.7 Write the two half-equations for the charging process of the NiCad battery.

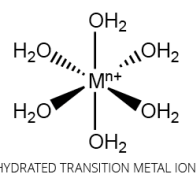
The most significant use of cadmium is in the rechargeable NiCad battery. In the discharge cycle, cadmium is oxidized to cadmium hydroxide, while nickel is reduced from the unusual oxidation state of 13 in nickel(III) oxide hydroxide, $NiO(OH)$, to the more normal 12 state, as nickel(II) hydroxide. The electrolyte is hydroxide ion:



Los metales saldrán de oscuras y lóbregas cavernas y pondrán a la raza humana en un estado de gran ansiedad, peligro y muerte. Leonardo da Vinci

TRANSITION METAL ION COLOURS

Transition metals form coloured compounds and complexes. These colours can vary depending on the charge on the metal ion, and the number and type of groups of atoms (called ligands) attached to the metal ion. In aqueous solutions, the ions form complexes with the colours shown to the right.



Electrons are arranged around the nucleus of the metal atom in orbitals. Transition metals, unlike other metals, have partially filled d orbitals, which can hold up to 10 electrons. When ligands are present, some d orbitals become higher in energy than before, and some become lower. Electrons can then move between these higher and lower d orbitals by absorbing a photon of light. This absorption of light affects the perceived colour of the compound or complex. The wavelength of the light absorbed is affected by the size of the energy gap between the d orbitals, which is in turn affected by the type of ligand and the charge on the metal ion.

2014 COMPOUND INTEREST WWW.COMPOUNDCHEM.COM

